

1961



საქართველოს სსრ

გეოგრაფიული კვარტელის

გ მ ა გ ე ც

გ მ გ ი მ ხ ვ ი ვ ი , № 4

ძირითადი, ეართობი გამოცემა

1961

მ ქ გ მ ა გ ე ც ი ს

საქართველოს სსრ გეოგრაფიული კვარტელის გამოცემა
თავმჯდომარეობის

1. ଧାନିରେ ଶ୍ରେଣୀଭାବରେ ଅରଗାନ୍ଡିମିଲ୍ଲେବିନାନ୍ତି ଗାନ୍ଦାଫିଲ୍ଲେବିଲ୍ ସିରିଜ୍‌କୁଟିରେ ରହୁଳ ଶ୍ରେଷ୍ଠରେତ୍ତା ଶ୍ରେଷ୍ଠ	ଶ୍ରେଷ୍ଠରେତ୍ତା
2. ଖରଣ ଦେଖିବାରେ ବିନାନ୍ତରେ କିମ୍ବା ଅରଗାନ୍ଡିମିଲ୍ଲେବିନାନ୍ତି ମିନରାନବିଲ୍ ଶ୍ରେଷ୍ଠ ଫିରି- ଶ୍ରେଷ୍ଠ ଉନ୍ନତିବାବାନ ରୁଗଲ୍ବିର	ଶ୍ରେଷ୍ଠ ଫିରି- ଶ୍ରେଷ୍ଠ
3. ଶ୍ରେଷ୍ଠ ଶ୍ରେଷ୍ଠରେ ବିନାନ୍ତରେ ଗାନ୍ଦାଫିଲ୍ଲେବିଲ୍ ପାଇଁ ଅନନ୍ତମାଲିଲ୍ ଶ୍ରେଷ୍ଠ ଅନନ୍ତମାଲିଲ୍ ପାଇଁ ବିନାନ୍ତରେ ବିନାନ୍ତରେ ବିନାନ୍ତରେ	ଶ୍ରେଷ୍ଠ
4. ପରିପରି ଶ୍ରେଷ୍ଠରେ ବିନାନ୍ତରେ ବିନାନ୍ତରେ ବିନାନ୍ତରେ ବିନାନ୍ତରେ ବିନାନ୍ତରେ	ଶ୍ରେଷ୍ଠ
5. ଲୁମରିଶ୍ରେଷ୍ଠରେ ବିନାନ୍ତରେ ବିନାନ୍ତରେ ବିନାନ୍ତରେ ବିନାନ୍ତରେ ବିନାନ୍ତରେ	ଶ୍ରେଷ୍ଠ
6. ଶ୍ରେଷ୍ଠରେ ବିନାନ୍ତରେ ବିନାନ୍ତରେ ବିନାନ୍ତରେ ବିନାନ୍ତରେ ବିନାନ୍ତରେ	ଶ୍ରେଷ୍ଠ
7. ଶ୍ରେଷ୍ଠରେ ବିନାନ୍ତରେ ବିନାନ୍ତରେ ବିନାନ୍ତରେ ବିନାନ୍ତରେ ବିନାନ୍ତରେ	ଶ୍ରେଷ୍ଠ
8. ଶ୍ରେଷ୍ଠରେ ବିନାନ୍ତରେ ବିନାନ୍ତରେ ବିନାନ୍ତରେ ବିନାନ୍ତରେ ବିନାନ୍ତରେ	ଶ୍ରେଷ୍ଠ
9. ଶ୍ରେଷ୍ଠରେ ବିନାନ୍ତରେ ବିନାନ୍ତରେ ବିନାନ୍ତରେ ବିନାନ୍ତରେ ବିନାନ୍ତରେ	ଶ୍ରେଷ୍ଠ
10. ଶ୍ରେଷ୍ଠରେ ବିନାନ୍ତରେ ବିନାନ୍ତରେ ବିନାନ୍ତରେ ବିନାନ୍ତରେ ବିନାନ୍ତରେ	ଶ୍ରେଷ୍ଠ
11. ଶ୍ରେଷ୍ଠରେ ବିନାନ୍ତରେ ବିନାନ୍ତରେ ବିନାନ୍ତରେ ବିନାନ୍ତରେ	ଶ୍ରେଷ୍ଠ
12. ଶ୍ରେଷ୍ଠରେ ବିନାନ୍ତରେ ବିନାନ୍ତରେ ବିନାନ୍ତରେ ବିନାନ୍ତରେ	ଶ୍ରେଷ୍ଠ
13. ଶ୍ରେଷ୍ଠରେ ବିନାନ୍ତରେ ବିନାନ୍ତରେ ବିନାନ୍ତରେ ବିନାନ୍ତରେ	ଶ୍ରେଷ୍ଠ
14. ଶ୍ରେଷ୍ଠରେ ବିନାନ୍ତରେ ବିନାନ୍ତରେ ବିନାନ୍ତରେ	ଶ୍ରେଷ୍ଠ
15. ଶ୍ରେଷ୍ଠରେ ବିନାନ୍ତରେ ବିନାନ୍ତରେ ବିନାନ୍ତରେ	ଶ୍ରେଷ୍ଠ
16. ଶ୍ରେଷ୍ଠରେ ବିନାନ୍ତରେ ବିନାନ୍ତରେ ବିନାନ୍ତରେ	ଶ୍ରେଷ୍ଠ
17. ଶ୍ରେଷ୍ଠରେ ବିନାନ୍ତରେ ବିନାନ୍ତରେ ବିନାନ୍ତରେ	ଶ୍ରେଷ୍ଠ
18. ଶ୍ରେଷ୍ଠରେ ବିନାନ୍ତରେ ବିନାନ୍ତରେ ବିନାନ୍ତରେ	ଶ୍ରେଷ୍ଠ
19. ଶ୍ରେଷ୍ଠରେ ବିନାନ୍ତରେ ବିନାନ୍ତରେ	ଶ୍ରେଷ୍ଠ
20. ଶ୍ରେଷ୍ଠରେ ବିନାନ୍ତରେ ବିନାନ୍ତରେ	ଶ୍ରେଷ୍ଠ
21. ଶ୍ରେଷ୍ଠରେ ବିନାନ୍ତରେ	ଶ୍ରେଷ୍ଠ

მათემატიკა

გ. მანია

შენიშვნები ორგანზომილებიანი განაწილების
სიმპზიუმის არაპარამეტრულ შეფასებათა
შესახებ

(წარმოადგინა აკადემიის წევრ-კორესპონდენტმა ლ. გოკიელმა 21.5.1961)

ამ შრომაში განხილულია ორგანზომილებიანი განაწილების სიმკვრივის შეფასების ზოგიერთი საკითხი.

მიღებულია საშუალო კვადრატული ცდომილების ასიმპტოტური მნიშვნელობა. ორგანზომილებიანი განაწილების სიმკვრივის შესაფასებლად აღებულია ემპირიული განაწილების ფუნქციის სხვაობითი ფარდობა. დასმული ამოცანა ერთი განზომილებისათვის განხილული იყო მ. როჩენბლატის მიერ [1].

განვიხილოთ ერთნაირად განაწილებულ ურთიერთდამოუკიდებელი შემთხვევით სიდიდეთა სისტემა

$$(X_1, Y_1), (X_2, Y_2), \dots, (X_n, Y_n), \quad (1)$$

რომელთაც აქვთ უწყვეტი განაწილების კანონი $f(x, y)$.

ვთქვათ,

$$f_n(x, y) = S \{ (x, y); (X_1, Y_1), (X_2, Y_2), \dots, (X_n, Y_n) \} \quad (2)$$

არის ორგანზომილებიანი განაწილების $f(x, y)$ სიმკვრივის შეფასება.

ერთი განზომილების შემთხვევის ანალოგიურად [1], აღვილია იმის ჩვენება, რომ არ არსებობს გადაუადგილებელი შეფასება $f(x, y)$ სიმკვრივისათვის.

$f(x, y)$ ფუნქციისათვის ბუნებრივი შეფასება იქნება $F_n(x, y)$ ემპირიული განაწილების ფუნქციის სხვაობითი ფარდობა

$$f_n(x, y) = \frac{F(x+h, y+k) - F(x+h, y-k) - F(x-h, y+k) + F(x-h, y-k)}{4hk}, \quad (3)$$

სადაც $h=h_n$ და $k=k_n$ არიან n -ის ფუნქციები, რომლებიც მიისწრაფიან ნულისკენ, როცა $n \rightarrow \infty$.

ამ შეფასების ასიმპტოტური ყოფაც ცვეთა, როცა $n \rightarrow \infty$, შესაძლებელია გამოკვლეულ იქნეს ანალოგიურად ერთგანზომილებიანი შემთხვევისა [2].

აღვილია იმის ჩვენება, რომ

$$E [F_n(x, y)] = F(x, y),$$





83

$$E [F_n(x, y) F_n(x', y')] = \frac{1}{n} F [\min(x, x'), \min(y, y')] + \\ + \frac{n-1}{n} F(x, y) F(x', y'). \quad (5)$$

აქევე შევნიშნოთ, რომ (5) სამართლიანია ყველა შემთხვევისათვის ($x \leq x'$; $y \leq y'$ და $x \leq x'$; $y' \leq y$).

როგორც ცნობილია,

$$\text{cov} [f_n(x, y), f_n(x', y')] = E [f_n(x, y) f_n(x', y')] - E [f_n(x, y)] E [f_n(x', y')]. \quad (6)$$

ჩავსვათ $x = x'$ და $y = y'$, მაშინ

$$\text{cov} [f_n(x, y), f_n(x', y')] = E \{[f_n(x, y)]^2\} - \{E [f_n(x, y)]\}^2 = D [f_n(x, y)] = \sigma^2 [f_n(x, y)]. \quad (7)$$

თუ მხედველობაში მივიღებთ (3)-სა და ჩასკვამთ $x=x'$ და $y=y'$, მაშინ
არართული გამოთვლების შემდეგ მივიღებთ

$$D[f_n(x, y)] = \frac{1}{16 h^2 k^2 n} \{ F(x+h, y+k) - F(x+h, y-k) - F(x-h, y+k) + F(x-h, y-k) - [F(x+h, y+k) - F(x+h, y-k) - F(x-h, y+k) + F(x-h, y-k)]^2 \}. \quad (8)$$

ახლა შევისწავლოთ $f_n(x, y)$ ფუნქციის ყოფაქცევა, როდესაც x და y ფიქსირებულია, ხოლო $n \rightarrow \infty$ და $h \rightarrow 0$, $k \rightarrow 0$.

ადგილად დავინახავთ, რომ

$$E[f_n(x, y) - f(x, y)]^2 = D[f_n(x, y)] + \{E[f_n(x, y) - f(x, y)]\}^2. \quad (9)$$

თუ მხედველობაში მივიღებთ (3) და (8)-ს, (9)-თვის გვექნება

$$E[f_n(x, y) - f(x, y)]^2 = \frac{1}{16 h^2 k^2 n} \{ F(x+h, y+k) - F(x+h, y-k) - F(x-h, y+k) + F(x-h, y-k) - [F(x+h, y+k) - F(x+h, y-k) - F(x-h, y+k) + F(x-h, y-k)]^2 \} + \\ + \left\{ \frac{F(x+h, y+k) - F(x+h, y-k) - F(x-h, y+k) + F(x-h, y-k)}{4 h k} - f(x, y) \right\}^2. \quad (10)$$

მიღებული მნიშვნელობა (10) არის იმის ოპტიმალური ზომა, თუ რამდენად კარგია $f(x, y)$ -ის შეცვლა $f_n(x, y)$ -ით (x, y) -ის მახლობლობაში.

განაწილების სიმკერივე იგულისხმება საკმაოდ რეგულარულად. მაგალითად, საკმარისია ვიგულისხმოთ, რომ არსებობენ მისი პირველი და მეორე

როგორც კერძო წარმოებულები x -ით და y -ით და ამასთანავე მეორე რიგში კერძო წარმოებულები შემოსაზღვრული არიან.

ამ პირობებში ადვილია იმის ჩვენება, რომ

$$\begin{aligned} F(x+h, y+k) - F(x+h, y-k) - F(x-h, y+k) + \\ + F(x-h, y-k) = \int_{x-h}^{x+h} \int_{y-k}^{y+k} f(u, v) du dv = \\ = 4hk f(x, y) + \frac{2}{3} kh [h^2 f''_{x^2}(x, y) + k^2 f''_{y^2}(x, y)] + o(h^3k + k^3h). \quad (11) \end{aligned}$$

თუ მხედველობაში მივიღებთ (11)-ს, დაგწერთ

$$\begin{aligned} \{E[f_n(x, y)] - f(x, y)\}^2 = \\ = \frac{1}{36} \{h^2 f''_{x^2}(x, y) + k^2 f''_{y^2}(x, y)\}^2 + o(h^5k + k^5h). \quad (12) \end{aligned}$$

ასევე (11)-ის დახმარებით $D[f_n(x, y)]$ -თვის (12)-დან დაგწერთ

$$\begin{aligned} D[f_n(x, y)] = \frac{1}{16 h^2 k^2 n} \left\{ 4hk f(x, y) + \frac{2}{3} kh [h^2 f''_{x^2}(x, y) + \right. \\ \left. + k^2 f''_{y^2}(x, y)] - \left[4hk f(x, y) + \frac{2}{3} kh (h^2 f'_{x^2} + k^2 f'_{y^2}) \right]^2 \right\} + \\ + o\left(\frac{1}{n}\right). \quad (13) \end{aligned}$$

როდესაც $h \rightarrow 0$ და $k \rightarrow 0$, მივიღოთ

$$D[f_n(x, y)] \cong \frac{f(x, y)}{4hkn}.$$

ვიგულისხმოთ

$$f''_{x^2}(x, y) \neq 0,$$

და

$$f''_{y^2}(x, y) \neq 0,$$

მაშინ (12)-დან გამომდინარეობს, რომ

$$\begin{aligned} \{E[f_n(x, y)] - f(x, y)\}^2 = \frac{h^4}{36} [f''_{x^2}(x, y)]^2 + \\ + \frac{h^2 k^2}{18} f''_{x^2}(x, y) f''_{y^2}(x, y) + \frac{k^4}{36} [f''_{y^2}(x, y)]^2 + o(h^5k + k^5h). \quad (14) \end{aligned}$$

თუ მხედველობაში მივიღებთ (12) და (14)-ს, მაშინ (10)-დან მივიღებთ

$$E[f_n(x, y) - f(x, y)]^2 \cong \frac{f(x, y)}{4hkn} + \frac{1}{36} [h^2 f''_{x^2}(x, y) + k^2 f''_{y^2}(x, y)]. \quad (15)$$

ಇಲ್ಲಿ ಉದಾಹರಣೆಗೆ ಅನುಸರಿಸಿ ಸಾಧ್ಯಾಲ್ಲಿ ಕ್ವಾಡ್ರಾಟ್‌ಎಲ್ಲಿ ಪಡಿತಿಲ್ಲಿನ ಅನಿಯಂತ್ರಿತ ಬ್ರೆಕ್ಯಾಕ್ಸ್‌ಎಲ್ಲಿ ಹಿಂದಿನ ವರ್ಷದಲ್ಲಿ $h \rightarrow 0$, $k \rightarrow 0$ ರೊಂದಿರುತ್ತಿರುತ್ತಾರೆ.

ಅಂತಹ ನಿರ್ದಿಷ್ಟ ಮಾನವರೂಪದಲ್ಲಿ $h = h_n$ ರೊಂದಿರುತ್ತಿರುತ್ತಾರೆ ಮತ್ತು $k = k_n$ -ನಿಂದ ಪಡಿತಿಲ್ಲಿನ ಅನಿಯಂತ್ರಿತ ಬ್ರೆಕ್ಯಾಕ್ಸ್‌ಎಲ್ಲಿನ ವರ್ಷದಲ್ಲಿ $h = h_n$ ರೊಂದಿರುತ್ತಿರುತ್ತಾರೆ.

ಈ ನಿರ್ದಿಷ್ಟ ಮಾನವರೂಪದಲ್ಲಿ $h = an^{-\alpha}$ ರೊಂದಿರುತ್ತಿರುತ್ತಾರೆ ಮತ್ತು $k = bn^{-\beta}$, $\alpha > 0$ ರೊಂದಿರುತ್ತಿರುತ್ತಾರೆ ಮತ್ತು $\beta > 0$. ಮಾನವರೂಪ (15)-ನಿಂದ ಪಡಿತಿಲ್ಲಿನ ಅನಿಯಂತ್ರಿತ ಬ್ರೆಕ್ಯಾಕ್ಸ್‌ಎಲ್ಲಿನ ವರ್ಷದಲ್ಲಿ $h = an^{-\alpha}$ ರೊಂದಿರುತ್ತಿರುತ್ತಾರೆ ಮತ್ತು $k = bn^{-\beta}$.

a ರೊಂದಿರುತ್ತಿರುತ್ತಾರೆ ಮತ್ತು b ರೊಂದಿರುತ್ತಾರೆ ಮಾನವರೂಪ (15)-ನಿಂದ ಪಡಿತಿಲ್ಲಿನ ಅನಿಯಂತ್ರಿತ ಬ್ರೆಕ್ಯಾಕ್ಸ್‌ಎಲ್ಲಿನ ವರ್ಷದಲ್ಲಿ $h = an^{-\alpha}$ ರೊಂದಿರುತ್ತಿರುತ್ತಾರೆ ಮತ್ತು $k = bn^{-\beta}$.

$$\varphi(a, b) = \frac{f(x, y)}{4ab} + \frac{1}{3^6} [a^2 f''_{x^2}(x, y) + b^2 f''_{y^2}(x, y)]^2,$$

ಈ ನಿರ್ದಿಷ್ಟ ಮಾನವರೂಪದಲ್ಲಿ a ರೊಂದಿರುತ್ತಿರುತ್ತಾರೆ ಮತ್ತು b ರೊಂದಿರುತ್ತಿರುತ್ತಾರೆ. ಅಂತಹ ನಿರ್ದಿಷ್ಟ ಮಾನವರೂಪದಲ್ಲಿ a ರೊಂದಿರುತ್ತಿರುತ್ತಾರೆ ಮತ್ತು b ರೊಂದಿರುತ್ತಿರುತ್ತಾರೆ.

$\varphi'_a(a, b) = -\frac{f(x, y)}{4a^2b} + \frac{a}{9} f''_{x^2}(x, y) [a^2 f''_{x^2}(x, y) + b^2 f''_{y^2}(x, y)] = 0$,

$\varphi'_b(a, b) = -\frac{f(x, y)}{4ab^2} + \frac{b}{9} f''_{y^2}(x, y) [a^2 f''_{x^2}(x, y) + b^2 f''_{y^2}(x, y)] = 0$.

ಈ ನಿರ್ದಿಷ್ಟ ಮಾನವರೂಪದಲ್ಲಿ a ರೊಂದಿರುತ್ತಿರುತ್ತಾರೆ ಮತ್ತು b ರೊಂದಿರುತ್ತಿರುತ್ತಾರೆ.

$$a = \left\{ \frac{9}{8} f(x, y) [f''_{x^2}(x, y)]^{-5/2} [f''_{y^2}(x, y)]^{1/2} \right\}^{1/6}, \quad (16)$$

ಈ ನಿರ್ದಿಷ್ಟ ಮಾನವರೂಪದಲ್ಲಿ a ರೊಂದಿರುತ್ತಿರುತ್ತಾರೆ ಮತ್ತು b ರೊಂದಿರುತ್ತಿರುತ್ತಾರೆ.

$$b = \left\{ \frac{9}{8} f(x, y) [f''_{x^2}(x, y)]^{1/2} [f''_{y^2}(x, y)]^{-5/2} \right\}^{1/6}. \quad (17)$$

ಅಂತಹ ನಿರ್ದಿಷ್ಟ ಮಾನವರೂಪದಲ್ಲಿ a ರೊಂದಿರುತ್ತಿರುತ್ತಾರೆ ಮತ್ತು b ರೊಂದಿರುತ್ತಿರುತ್ತಾರೆ.

$$\begin{aligned} E |f_n(x, y) - f(x, y)|^2 &\cong \frac{f(x, y)}{4hkn} + \frac{1}{3^6} [h^2 f''_{x^2}(x, y) + k^2 f''_{y^2}(x, y)]^2 = \\ &= \frac{f(x, y)}{4abn^{2/3}} + \frac{n^{-2/3}}{3^6} [a^2 f''_{x^2}(x, y) + b^2 f''_{y^2}(x, y)]^2. \end{aligned}$$

(16) ರೊಂದಿರುತ್ತಿರುತ್ತಾರೆ ಮತ್ತು (17) ರೊಂದಿರುತ್ತಿರುತ್ತಾರೆ.

$$\begin{aligned} E |f_n(x, y) - f(x, y)|^2 &\cong \frac{f(x, y)}{4abn^{2/3}} + \frac{n^{-2/3}}{3^6} [2a^2 f''_{x^2}(x, y)]^2 = \\ &= \frac{9f(x, y) + 4a^5b[f''_{x^2}(x, y)]^2}{36abn^{2/3}}. \end{aligned}$$

ಈ ನಿರ್ದಿಷ್ಟ ಮಾನವರೂಪದಲ್ಲಿ a ರೊಂದಿರುತ್ತಿರುತ್ತಾರೆ ಮತ್ತು b ರೊಂದಿರುತ್ತಿರುತ್ತಾರೆ.

$$E |f_n(x, y) - f(x, y)|^2 \cong \frac{9f(x, y) + 4a^6[f''_{x^2}(x, y)]^{5/2}[f''_{y^2}(x, y)]^{-1/2}}{36a^2n^{2/3}[f''_{x^2}(x, y)]^{1/2}[f''_{y^2}(x, y)]^{-1/2}}$$

ადვილად ვნახავთ, რომ ნახსენები მინიმუმი მიიღება a და b -ს შემდეგი
მნიშვნელობათათვის

$$a = \left\{ \frac{\frac{9}{4} \left(\int_{-\infty}^{\infty} \int_{-\infty}^{\infty} [f''_x(x, y)]^2 dx dy \right)^{-5/4} \left(\int_{-\infty}^{\infty} \int_{-\infty}^{\infty} [f''_y(x, y)]^2 dx dy \right)^{1/4}}{1 + \int_{-\infty}^{\infty} \int_{-\infty}^{\infty} f''_x f''_y dx dy \left(\int_{-\infty}^{\infty} \int_{-\infty}^{\infty} [f''_x]^2 dx dy \right)^{-1/2} \left(\int_{-\infty}^{\infty} \int_{-\infty}^{\infty} [f''_y]^2 dx dy \right)^{-1/2}} \right\}^{1/6} \quad (23)$$

და

$$b = \left\{ \frac{\frac{9}{4} \left(\int_{-\infty}^{\infty} \int_{-\infty}^{\infty} [f''_x(x, y)]^2 dx dy \right)^{1/4} \left(\int_{-\infty}^{\infty} \int_{-\infty}^{\infty} [f''_y(x, y)]^2 dx dy \right)^{-5/4}}{1 + \int_{-\infty}^{\infty} \int_{-\infty}^{\infty} f''_x f''_y \left(\int_{-\infty}^{\infty} \int_{-\infty}^{\infty} [f''_x]^2 dx dy \right)^{-1/2} \left(\int_{-\infty}^{\infty} \int_{-\infty}^{\infty} [f''_y]^2 dx dy \right)^{-1/2}} \right\}^{1/6} \quad (24)$$

თუ მხედველობაში მივიღებთ უკანასკნელ გამოსახულებებს, უბრალო გამოთვლების შემდეგ (19)-თვის მივიღებთ

$$\begin{aligned} & \int_{-\infty}^{\infty} \int_{-\infty}^{\infty} E |f_n(x, y) - f(x, y)|^2 dx dy = \\ & = \left(\frac{3}{128} \right)^{1/3} n^{-2/3} \left\{ \left(\int_{-\infty}^{\infty} \int_{-\infty}^{\infty} [f''_x(x, y)]^2 dx dy \int_{-\infty}^{\infty} \int_{-\infty}^{\infty} [f''_y(x, y)]^2 dx dy \right)^{1/2} + \right. \\ & \quad \left. + \int_{-\infty}^{\infty} \int_{-\infty}^{\infty} f''_x(x, y) f''_y(x, y) dx dy \right\}^{1/3}. \end{aligned} \quad (25)$$

საჭართველოს სსრ მეცნიერებათა აკადემია

გამოთვლითი ცენტრი

თბილისი

(რედაქტირას მოუვიდა 5.6.1961)

დამოუკიდებლი ლიტერატურა

1. M. Rosenblat. Remarks on some nonparametric estimates of a desity function, Ann. Math. statistics, 27, № 3, 1956.
2. E. Fix and J. L. Hodges, Jr., Discriminatory Analysis, Nonparametric Discri-mination consistency properties, USAF School of Aviation medicine, project No, 21—49—004, Report No. 4.

ჰიდროგენიკა

6. ჯორგენაძე

ბლანტი სითხის ორგანზოგილებიანი მოძრაობის
 შესახებ წრიულ ფორმა რჩოლოვან რჩოლები

(წარმოადგინა აკადემიის წევრ-კორესპონდენტმა ნ. ვეკუამ 16.12.1960)

განვიხილოთ ბლანტი უკუმში სითხის ორგანზოგილებიანი ნელი მოძრაობა ორი კოაქსიალური ფორმავანი ცილინდრული ზედაპირებით შემოსაზღვრულ არეში. სითხის ძირითადი ნაკადი მოძრაობს მილის ღერძის გასწვრივა- ამავე დროს წარმოქმნა ზედაპირების ფორებში სითხის გაფონვა, მოცემული კანონით.

იმ შემთხვევაში, როცა სითხის სიჩქარე იგულისხმება დამოკიდებელი კოორდინატისაგან, ანალოგიური ამოცანები განხილულია [1, 3]-ში.

ვიღოთ ცილინდრულ კოორდინატთა r , ζ , φ სისტემა ცენტრით საწყის პეტში და ζ ღერძი შევუთავსოთ მილის ღერძს დინების მიმართულებით. ცილინდრების რადიუსები a და b -თი ($a < b$).

დავუშვათ, რომ ζ ღერძის მიმართ მოძრაობა სიმეტრიულია და მასობრივი ძალები უგულებელყოთ.

ვინაიდან განვიხილავთ ნელ მოძრაობას, სითხის მოძრაობის დიფ. განტოლებები ცილინდრულ კოორდინატებში შემდეგი სახით დაიწერება:

$$\begin{aligned} \gamma \left(\frac{\partial^2 v_r}{\partial r^2} + \frac{\partial^2 v_r}{\partial \zeta^2} + \frac{I}{r} \frac{\partial v_r}{\partial r} - \frac{v_r}{r^2} \right) - \frac{\partial v_r}{\partial t} = \frac{I}{\rho} \frac{\partial p}{\partial r}, \\ \gamma \left(\frac{\partial^2 v_z}{\partial r^2} + \frac{\partial^2 v_z}{\partial \zeta^2} + \frac{I}{r} \frac{\partial v_z}{\partial r} \right) - \frac{\partial v_z}{\partial t} = \frac{I}{\rho} \frac{\partial p}{\partial \zeta}, \\ \frac{\partial(rv_z)}{\partial r} + \frac{\partial(rv_z)}{\partial \zeta} = 0, \end{aligned} \quad (1)$$

სადაც t დროა, v_r და v_z —სითხის სიჩქარის კომპონენტები, p —წნევა, ρ —სითხის სიმკვრივე, γ —სითხის სიბლანტის კინემატიკური კოეფიციენტი.

(1) სისტემის მესამე განტოლებიდან ცხადია, რომ

$$v_r = \frac{I}{r} \frac{\partial \psi}{\partial \zeta}, \quad v_z = - \frac{I}{r} \frac{\partial \psi}{\partial r},$$

სადაც $\psi(r, \zeta, t)$ დენის ფუნქციაა.



$\psi(r, \zeta, t)$ ფუნქციისათვის მივიღებთ შემდეგ დიფერენციალურ განტრანსფორმაციას:

$$\frac{\partial}{\partial r} - \frac{1}{r} \frac{\partial}{\partial r} \left[r \frac{\partial}{\partial r} - \frac{1}{r} \frac{\partial \psi}{\partial r} + \frac{\partial^2 \psi}{\partial \zeta^2} - \frac{1}{\gamma} \frac{\partial \psi}{\partial t} \right] + \\ + \frac{1}{r} \frac{\partial^2}{\partial \zeta^2} \left[\frac{\partial}{\partial r} r \frac{\partial}{\partial r} \frac{\psi}{r} + \frac{\partial^2 \psi}{\partial \zeta^2} - \frac{1}{\gamma} \frac{\partial \psi}{\partial t} \right] = 0. \quad (2)$$

ვიგულისხმოთ, რომ მიღები უძრავია და ერთგვაროვანი, ე. ი. გაუონგის სიჩქარე მხოლოდ დროის ფუნქციაა; მაშინ გვექნება შემდეგი ზღვრული პირობები:

$$\begin{aligned} \frac{\partial \psi}{\partial \zeta} \Big|_{r=a} &= av_a(t), & \frac{\partial \psi}{\partial \zeta} \Big|_{z=b} &= bv_b(t), \\ \frac{\partial \psi}{\partial r} \Big|_{r=a} &= \frac{\partial \psi}{\partial r} \Big|_{r=b} = 0, & \psi(r, \zeta, 0) &= 0, \end{aligned} \quad (3)$$

სადაც $v_a(t)$ და $v_b(t)$ სითხის სიჩქარის რადიალური მდგრენელის მნიშვნელობებია სასაზღვრო კედლებზე. ვიგულისხმოთ აგრეთვე, რომ ადგილი აქვს ტოლობას

$$v_r(t) = cv_a(t),$$

სადაც c ნებისმიერად აღებული მუდმივია.

სითხის უკუმშობის თანაბად, საწყის კვეთში გამავალი სითხის რაოდენობა ტოლი უნდა იყოს სასაზღვრო ზედაპირებში გაეკინილი სითხის რაოდენობას დამატებული $\zeta = l$ კვეთში გამავალი სითხის რაოდენობისა, ე. ი.

$$\pi(b^2 - a^2) \bar{u}(t) = \int_a^b 2\pi r v_z \Big|_{z=l} dr + 2\pi l v_a(t)(a + cb),$$

სადაც $\bar{u}(t)$ საწყის კვეთში სითხის საშუალო სიჩქარეა.

თუ მიღის $\zeta = l$ კვეთში სითხის სიჩქარე ნულის ტოლია, მივიღებთ

$$\frac{v_a(t)}{\bar{u}(t)} = \frac{b^2 - a^2}{2l(a + cb)} = \text{const.} \quad (4)$$

ჩვენ განვიხილავთ ისეთ დინებას, რომლისთვისაც ადგილი აქვს (4) პირობას.

$\psi(r, \zeta, t)$ დენის ფუნქცია ვეძებოთ შემდეგნაირად:

$$\psi(r, \zeta, t) = (1 + \lambda \zeta) \varphi(r, t),$$

სადაც

$$\lambda = \frac{2(cb - a)}{a^2 - b^2} \frac{v_a(t)}{\bar{u}(t)},$$

რომელიც (4)-ის ძალით მუდმივია.

(2) განტოლებისა და (3) პირობების გამოყენებით $\varphi(r, t)$ ფუნქციისათვის მივიღებთ

$$\frac{\partial^2}{\partial r^2} \left(\frac{\partial^2 \varphi}{\partial r^2} - \frac{1}{\gamma} \frac{\partial \varphi}{\partial t} \right) = \frac{2}{r} \frac{\partial^3 \varphi}{\partial r^3} - \frac{3}{r^2} \frac{\partial^2 \varphi}{\partial r^2} + \frac{3}{r^3} \frac{\partial \varphi}{\partial r} - \frac{1}{\gamma r} \frac{\partial^2 \varphi}{\partial r \partial t} \quad (5)$$

განტოლებას და ზღვრულ პირობებს

$$\varphi(a, t) = \frac{av_a(t)}{\lambda}, \quad \varphi(b, t) = \frac{bv_b(t)}{\lambda}, \quad (6)$$

$$\left. \frac{\partial \varphi}{\partial r} \right|_{r=a} = \left. \frac{\partial \varphi}{\partial r} \right|_{r=b} = 0, \quad \varphi(r, 0) = 0.$$

ამ ამოცანის ამოხსნა ვეძებოთ შემდეგი ჯამის სახით:

$$\varphi(r, t) = f(r, t) + F(r, t), \quad (7)$$

სადაც $f(r, t)$ აქმაყოფილებს (5)-ის შესაბამის ერთგვაროვან განტოლებას

$$\frac{\partial^2}{\partial r^2} \left(\frac{\partial^2 f}{\partial r^2} - \frac{1}{\gamma} \frac{\partial f}{\partial t} \right) = 0 \quad (8)$$

და (6) პირობებს, ხოლო $F(r, t)$ ფუნქცია ამოხსნაა

$$\frac{\partial^2}{\partial r^2} \left(\frac{\partial^2 F}{\partial r^2} - \frac{1}{\gamma} \frac{\partial F}{\partial t} \right) = \frac{2}{r} \frac{\partial^3 \varphi}{\partial r^3} - \frac{3}{r^2} \frac{\partial^2 \varphi}{\partial r^2} + \frac{3}{r^3} \frac{\partial \varphi}{\partial r} - \frac{1}{\gamma r} \frac{\partial^2 \varphi}{\partial r \partial t}$$

განტოლებისა (6)-ის შესაბამის ერთგვაროვან პირობებში.

$f(r, t)$ ფუნქცია შეიძლება წარმოვადგინოთ შემდეგი ფორმულით:

$$f(r, t) = \Phi(r, t) + r \left. \frac{\partial \Phi}{\partial r} \right|_{r=a} + \frac{1}{b-a} \left[\frac{ab}{\lambda} [v_a(t) - v_b(t)] + a\Phi(b, t) - b\Phi(a, t) \right],$$

სადაც $\Phi(r, t)$ ფუნქცია სითბოგამტარებლობის განტოლების

$$\frac{\partial^2 \Phi}{\partial r^2} - \frac{1}{\gamma} \frac{\partial \Phi}{\partial t} = 0$$

ისეთი ამოხსნაა, რომელიც საშუალების მომენტში ნული ხდება და აქმაყოფილებს პირობებს

$$\Phi(b, t) - \Phi(a, t) + (b-a) \left. \frac{\partial \Phi}{\partial r} \right|_{r=a} = \frac{bv_b(t) - av_a(t)}{\lambda},$$

$$\left. \frac{\partial \Phi}{\partial r} \right|_{r=a} = \left. \frac{\partial \Phi}{\partial r} \right|_{r=b}. \quad (9)$$

ადვილი შესამოწმებელია, რომ გამოსახულება

$$\Phi(r, t) = \sqrt{\frac{\gamma}{\pi}} \int_0^t \left\{ \exp \left[-\frac{(r-a)^2}{4\gamma(t-\tau)} \right] - \exp \left[-\frac{(r-b)^2}{4\gamma(t-\tau)} \right] \right\} \frac{\omega(\tau)}{\sqrt{t-\tau}} d\tau$$

ნული ხდება საშუალების მომენტში და აქმაყოფილებს (9)-ის მეორე პირობას. (9)-ის პირველი ტოლობიდან $\omega(t)$ -ს განსასაზღვრავად მივიღებთ შემდეგ ინტეგრალურ განტოლებას:

$$\omega(t) + \int_0^t \omega(\tau) L(t-\tau) d\tau = \frac{bv_b(t) - av_a(t)}{\lambda(a-b)}, \quad (10)$$

სადაც

$$L(t-\tau) = \sqrt{\frac{\gamma}{\pi}} \frac{1}{a-b} \left\{ \exp \left[-\frac{(a-b)^2}{4\gamma(t-\tau)} \right] - 1 \right\} \frac{1}{Vt-\tau} + \\ + \frac{b-a}{2V\gamma\pi} \frac{1}{(t-\tau)^{3/2}} \exp \left[-\frac{(b-a)^2}{4\gamma(t-\tau)} \right].$$

ამგვარად, $\omega(t)$ ვოლტერას მეორე გვარის რეგულარული გულიანი ინტეგრალური განტოლების ამოხსნაა და იგი მოიძებნება მიმდევრობითი მიახლოების მეთოდით.

ერთგანზომილებიანი ჰიდროდინამიკური გრინის ფუნქციის გამოყენებით $F(r, t)$ წარმოიდგინება შემდეგი სახით [2]:

$$F(r, t) = \int_0^t d\tau \int_a^b \left[\frac{2}{\eta} \frac{\partial^3 \varphi}{\partial \eta^3} - \frac{3}{\eta^2} \frac{\partial^2 \varphi}{\partial \eta^2} + \right. \\ \left. + \frac{1}{\eta^3} \frac{\partial \varphi}{\partial \eta} - \frac{1}{\eta \eta} \frac{\partial^2 \varphi}{\partial \eta \partial \tau} \right] G(r, \eta, t-\tau) d\eta, \quad (10)$$

სადაც

$$G(r, \eta, t) = S(r, \eta, t) + g(r, \eta, t);$$

ამასთან

$$S(r, \eta, t) = \frac{1}{2V\pi\gamma t} \int_a^r dr \int_a^r \exp \left[-\frac{(r-\eta)^2}{4\gamma t} \right] dr \quad (11)$$

და $g(r, \eta, t)$ (8) განტოლების ამოხსნაა, რომელიც საწყის მომენტში ნული ხდება და აკმაყოფილებს შემდეგ სასახლვრო პირობებს:

$$g(a, \eta, t) = \left. \frac{\partial g}{\partial r} \right|_{r=a} = 0, \quad g(b, \eta, t) = -S(b, \eta, t),$$

$$\left. \frac{\partial g}{\partial r} \right|_{r=b} = -\left. \frac{\partial S}{\partial r} \right|_{r=b}, \quad t > 0, \quad a < \eta < b.$$

$f(r, t)$ ფუნქციის ანალოგიურად $g(r, \eta, t)$ გამოისახება შემდეგნაირად:

$$g(r, \eta, t) = X(r, \eta, t) - r \left. \frac{\partial X}{\partial r} \right|_{r=a} + a \left. \frac{\partial X}{\partial r} \right|_{r=a} - X(a, \eta, t),$$

სადაც

$$X(r, \eta, t) = \sqrt{\frac{\gamma}{\pi}} \int_0^t \left\{ \omega_1(\eta, \tau) \exp \left[-\frac{(r-a)^2}{4\gamma(t-\tau)} \right] + \right. \\ \left. + \omega_2(\eta, \tau) \exp \left[-\frac{(r-b)^2}{4\gamma(t-\tau)} \right] \right\} \frac{d\tau}{Vt-\tau}.$$

$\omega_1(\eta, t)$ და $\omega_2(\eta, t)$ უცნობი ფუნქციები განისაზღვრებიან ვოლტერას ტიპის შემდეგ ინტეგრალურ განტოლებათა სისტემიდან

$$\begin{aligned} \omega_1(\eta, t) + \int_0^t [\omega_1(\eta, \tau) L_1(t - \tau) + \omega_2(\eta, \tau) L_2(t - \tau)] d\tau &= \frac{S(b, \eta, t)}{b - a}, \\ \omega_2(\eta, t) - \int_0^t [\omega_1(\eta, \tau) L_2(t - \tau) - \omega_2(\eta, \tau) L_1(t - \tau)] d\tau &= \\ &= \frac{\partial S}{\partial r} \Big|_{r=b} + \frac{S(b, \eta, t)}{b - a}, \end{aligned}$$

სადაც

$$\begin{aligned} L_1(t - \tau) &= \sqrt{\frac{\gamma}{\pi}} \frac{1}{b - a} \left\{ \exp \left[-\frac{(a - b)^2}{4\gamma(t - \tau)} \right] - 1 \right\} \frac{1}{Vt - \tau}, \\ L_2(t - \tau) &= \sqrt{\frac{\gamma}{\pi}} \frac{1}{b - a} \left\{ 1 - \frac{1}{Vt - \tau} \exp \left[-\frac{(a - b)^2}{4\gamma(t - \tau)} \right] + \right. \\ &\quad \left. + \frac{b - a}{V2\pi\gamma(t - \tau)} \exp \left[-\frac{(a - b)^2}{4\gamma(t - \tau)} \right] \right\}. \end{aligned}$$

(7) და (10) ფორმულების გამოყენებით საძიებელი $\varphi(r, t)$ ფუნქციისათვის მივიღებთ შემდეგ ინტეგრო-დიფერენციალურ განტოლებას:

$$\begin{aligned} \varphi(r, t) &= f(r, t) + \int_0^t d\tau \int_a^b \left[\frac{2}{\eta} \frac{\partial^3 \varphi}{\partial \eta^3} - \frac{3}{\eta^2} \frac{\partial \varphi}{\partial \eta^2} + \right. \\ &\quad \left. + \frac{3}{\eta^3} \frac{\partial \varphi}{\partial \eta} - \frac{1}{\eta \eta} \frac{\partial \varphi}{\partial \eta} \right] G(r, \eta, t - \tau) d\eta. \end{aligned}$$

ამ განტოლების ნაცვლად განვიხილოთ იგივე განტოლება ა პარამეტრით ინტეგრალური წევრის წინ და მოვახდინოთ $\frac{\partial^n}{\partial r^n}$, $\frac{\partial^2}{\partial r \partial t}$ ($n = 1, 2, 3$) ოპერაციები ტოლობის ორივე მხარეზე, მივიღებთ

$$\frac{\partial^n \varphi}{\partial r^n} = \frac{\partial^n f}{\partial r^n} + \alpha \int_0^t d\tau \int_a^b \left[\frac{2}{\eta} \frac{\partial^3 \varphi}{\partial \eta^3} - \frac{3}{\eta^2} \frac{\partial^2 \varphi}{\partial \eta^2} + \frac{3}{\eta^3} \frac{\partial \varphi}{\partial \eta} - \frac{1}{\eta \eta} \frac{\partial^2 \varphi}{\partial \eta \partial \tau} \right] \frac{\partial^n G}{\partial r^n} d\eta, \quad (12)$$

$$\frac{\partial^2 \varphi}{\partial r \partial t} = \frac{\partial^2 \varphi}{\partial r \partial t} + \alpha \int_0^t d\tau \int_a^b \left[\frac{2}{\eta} \frac{\partial^3 \varphi}{\partial \eta^3} - \frac{3}{\eta^2} \frac{\partial^2 \varphi}{\partial \eta^2} + \frac{3}{\eta^3} \frac{\partial \varphi}{\partial \eta} - \frac{1}{\eta \eta} \frac{\partial^2 \varphi}{\partial \eta \partial \tau} \right] \frac{\partial^2 G}{\partial r \partial t} dr.$$



(12) օրու ֆիզիկական գանգողացքատա և սուբյեմա $\frac{\partial^n \varphi}{\partial r^n}$, $\frac{\partial^2 \varphi}{\partial r \partial t}$ ($n=1, 2, 3$) պահանջության մեջ մուտքած է ըստ (12) սուբյեմու ամուսնության մեջ առաջանալու վեճությունը:

$$\frac{\partial^n \varphi}{\partial r^n} = \sum_{k=0}^{\infty} \alpha^k \frac{\partial^n \varphi_k}{\partial r^n}, \quad \frac{\partial^2 \varphi}{\partial r \partial t} = \sum_{k=0}^{\infty} \alpha^k \frac{\partial^2 \varphi_k}{\partial r \partial t}, \quad (n=1, 2, 3) \quad (13)$$

(13) Թիվայի պահանջության մեջ մուտքած կամ գումարությունը կազմվում է այսպիս:

$$\frac{\partial^n \varphi_0}{\partial r^n} = \frac{\partial^n f}{\partial r^n}, \quad \frac{\partial^2 \varphi_0}{\partial r \partial t} = \frac{\partial^2 f}{\partial r \partial t},$$

$$\frac{\partial^n \varphi_{k+1}}{\partial r^n} = \int_a^t d\tau \int_a^b \left[\frac{2}{\eta} \frac{\partial^3 \varphi_k}{\partial \eta^3} - \frac{3}{\eta^2} \frac{\partial^2 \varphi_k}{\partial \eta^2} + \frac{2}{\eta^3} \frac{\partial \varphi_k}{\partial \eta} - \frac{1}{\eta \eta} \frac{\partial^2 \varphi_k}{\partial \eta \partial \tau} \right] \frac{\partial^n G}{\partial r^n} d\eta, \quad (14)$$

$$\frac{\partial^2 \varphi_{k+1}}{\partial r \partial t} = \int_a^t d\tau \int_a^b \left[\frac{2}{\eta} \frac{\partial^3 \varphi_k}{\partial \eta^3} - \frac{3}{\eta^3} \frac{\partial^2 \varphi_k}{\partial \eta^2} + \frac{2}{\eta^3} \frac{\partial \varphi_k}{\partial \eta} - \frac{1}{\eta \eta} \frac{\partial^2 \varphi_k}{\partial \eta \partial \tau} \right] \frac{\partial^n G}{\partial r^n} d\eta. \quad (n=1, 2, 3)$$

(13) Թիվայի պահանջության մեջ մուտքած կամ գումարությունը կազմվում է այսպիս:

$$\int_a^b V t - \tau \left| \frac{\partial^3 S}{\partial r^3} \right| d\eta = \frac{1}{2 \sqrt{\pi}} \left\{ 2 - \exp \left[- \frac{(r-a)^2}{4\gamma(t-\tau)} \right] - \exp \left[- \frac{(b-\eta)^2}{4\gamma(t-\tau)} \right] \right\},$$

$$\begin{aligned} \int_a^b V t - \tau \left| \frac{\partial^2 S}{\partial r \partial t} \right| d\eta &= \frac{1}{2} \sqrt{\frac{\gamma}{\pi}} \left\{ 3 - \exp \left[- \frac{(r-a)^2}{4\gamma(t-\tau)} \right] - \right. \\ &\quad \left. - \exp \left[- \frac{(r-b)^2}{4\gamma(t-\tau)} \right] - \exp \left[- \frac{(a-b)^2}{4\gamma(t-\tau)} \right] \right\}, \end{aligned}$$

$$\int_a^b V t - \tau \left| \frac{\partial^n g}{\partial r^n} \right| d\eta, \quad \int_a^b V t - \tau \left| \frac{\partial^2 g}{\partial r \partial t} \right| d\eta, \quad (n=1, 2, 3)$$

Ցանկացած մասնաւորությունը:

$$\int_a^b V t - \tau \left| \frac{\partial^n G}{\partial r^n} \right| d\eta, \quad \int_a^b V t - \tau \left| \frac{\partial^2 G}{\partial r \partial t} \right| d\eta \leq M, \quad n=1, 2, 3)$$

Ցանկացած,

$$\left| \frac{\partial^n f}{\partial r^n} \right|, \quad \left| \frac{\partial^2 f}{\partial r \partial t} \right| \leq N, \quad \max \left\{ \frac{2}{a}, \frac{3}{a^3}, \frac{1}{\gamma a} \right\} = D,$$

მაშინ (14) ფორმულების ძალით ადგილი აქვს შემდეგ შეფასებას:

$$\left| \frac{\partial^n \varphi_0}{\partial r^n} \right|, \quad \left| \frac{\partial^2 \varphi_0}{\partial r \partial t} \right| \leq N,$$

$$\left| \frac{\partial^2 \varphi_1}{\partial r \partial t} \right|, \quad \left| \frac{\partial^n f_1}{\partial r^n} \right| \leq 4DNM \int_0^t \frac{d\pi}{\sqrt{t-\tau}} = 4MND \sqrt{t} \frac{\Gamma(1/2)}{\Gamma(3/2)}, \quad (n=1, 2, 3)$$

სადაც Γ ეილერის გამა-ფუნქციაა.

თუ გავაგრძელებთ შეფასების ამ პროცესს, მივიღებთ

$$\left| \frac{\partial^2 \varphi_k}{\partial r \partial t} \right|, \quad \left| \frac{\partial^n \varphi_k}{\partial r^n} \right| \leq N (4DM)^k t^{\frac{k}{2}} \frac{\Gamma(\frac{k}{2})}{\Gamma(\frac{k}{2}+1)} = E_k.$$

აქედან ცხადია, რომ $\sum_{k=0}^{\infty} E_k$ წარმოადგენს (13)-ის მაფორენტულ მწყრივს და

$$\frac{E_{k+1}}{E_k} = 4DM \sqrt{t} \Gamma(1/2) \frac{\Gamma(\frac{k}{2}+1)}{\Gamma(\frac{k+1}{2})},$$

რომელიც მიისწრაფვის ნულისაკენ, როცა $k \rightarrow \infty$, ყოველი t -თვის სასრული შუალედიდან; ე. ი. (13) მწყრივები კრებადია აბსოლუტურად და თანაბრად, როცა $a \leq r \leq b$, $0 \leq t \leq T < \infty$. $\alpha = 1$ -თვის (13) მწყრივები გვაძლევს ჩვენი ამოცანის ამოხსნას.

წევა გამოვთვალოთ (1)-დან, მივიღებთ

$$p(r, \zeta, t) = (2\zeta + \lambda\zeta^2) B(r, t) + A(r, t),$$

სადაც

$$B(r, t) = \frac{\rho}{2r} \left\{ \frac{\partial \varphi}{\partial t} - \frac{\partial}{\partial r} \left[r \frac{\partial}{\partial r} \left(\frac{1}{r} \frac{\partial \varphi}{\partial r} \right) \right] \right\},$$

$$A(r, t) = \rho \lambda \int \frac{1}{r} \left[\gamma \frac{\partial}{\partial r} \left(r \frac{\partial}{\partial r} \frac{\varphi}{r} \right) - \frac{\partial \varphi}{\partial t} \right] dr + P(t)$$

$P(t)$ ნებისმიერი ფუნქციაა.

კ მონაკვეთზე წევის დაცემისათვის ვლებულობთ შემდეგ ფორმულას:

$$p - p_0 = (2\zeta + \lambda\zeta^2) B(r, t),$$

სადაც p_0 არის წევის მნიშვნელობა საწყის ($\zeta = 0$) კვეთში.

მიღებული ამოხსნის ზოერის გამოთვლა, როცა $t \rightarrow \infty$, დიდ მათემატიკურ სიძნელეებთანაა დაკავშირებული, ამიტომ სტაციონარული ამოცანა დამოუკიდებლად განვიხილოთ.

სტაციონარული მოძრაობის შემთხვევაში დენის $\psi(r, \zeta)$ ფუნქციის განსასაზღვრავად მივიღებთ შემდეგ განტოლებას:

$$\frac{\partial}{\partial r} \frac{1}{r} \frac{\partial}{\partial r} \left[r \frac{\partial}{\partial r} \frac{1}{r} \frac{\partial \psi}{\partial r} + \frac{\partial^2 \psi}{\partial \zeta^2} \right] + \frac{1}{r} \frac{\partial^2}{\partial \zeta^2} \left[\frac{\partial}{\partial r} r \frac{\partial}{\partial r} \frac{\psi}{r} + \frac{\partial^2 \psi}{\partial \zeta^2} \right] = 0$$

სტაციონარული მოძრაობის შემთხვევაში დენის $\psi(r, \zeta)$ ფუნქციის განსასაზღვრავად მივიღებთ შემდეგ განტოლებას:

და სასაზღვრო პირობებს

$$\frac{\partial \psi}{\partial \zeta} \Big|_{r=a} = av_a, \quad \frac{\partial \psi}{\partial \zeta} \Big|_{r=b} = bv_b, \quad \frac{\partial \psi}{\partial r} \Big|_{r=a} = \frac{\partial \psi}{\partial r} \Big|_{r=b} = 0,$$

სადაც v_a და v_b მუდმივი სიდიდეებია.

$\psi(r, t)$ ფუნქცია კვლავ წარმოვადგინოთ შემდეგნაირად:

$$\psi(r, t) = (1 + \lambda t) \varphi(r), \quad \lambda = \frac{2(bv_b - av_a)}{\bar{u}(b^2 - a^2)};$$

გაშინ $\varphi(r)$ ფუნქციისათვის მივიღებთ შემდეგ ჩვეულებრივ დიფერენციალურ განტოლებას:

$$\frac{d}{dr} \frac{1}{r} \frac{d}{dr} r \frac{d}{dr} \frac{1}{r} \frac{d\varphi}{dr} = 0$$

და სასაზღვრო პირობებს

$$\varphi(a) = \frac{av_a}{\lambda}, \quad \varphi(b) = \frac{bv_b}{\lambda}, \quad \frac{d\varphi}{dr} \Big|_{r=a} = \frac{d\varphi}{dr} \Big|_{r=b} = 0.$$

ამ ამოცანის ამოხსნა გამოისახება ზემდეგი ფორმულით:

$$\varphi(r) = A_1 \left[r^2 \ln \frac{b}{a} + (a^2 - b^2) \ln r^4 + A_2 \right] r^2 + A_3,$$

სადაც

$$A_1 = \frac{b v_b - av_a}{\lambda (b^2 - a^2) [(b^2 - a^2) \ln b + (a^2 - b^2) \ln a + b^2]}, \quad A_2 = 2 (b^2 \ln a - a^2 \ln b + b^2 - a^2),$$

$$A_3 \{4 \lambda (b^2 - a^2) [(b^2 - a^2) \ln b + (a^2 - b^2) \ln a + b^2]\} = ab [b^3 v_a - v_b (2a^2 - a^3)] \ln a^4 + [ab v_a (2b^3 - b^2) - 2b v_b] \ln b^2 + ab^2 v_a (4b^2 - a^2) - a^2 b v_b (a + b^2).$$

წნევისათვის მივიღებთ

$$p(r, \zeta) = (2\zeta + \lambda \zeta^2) B(r) + A(r),$$

სადაც

$$A(r) = \rho \gamma \lambda A_1 \left[2 (4r^3 + r^2) \ln \frac{b}{a} + 2r(a^2 - b^2) (\ln r^4 + 2) + 2A_2 r + (a^2 - b^2) \ln r^4 + \frac{A_3}{r A_1} + A_2 \right] + C,$$

$$B(r) = -8A_1 \gamma \rho \left[4 \ln \frac{b}{a} + \frac{2(b^2 - a^2)}{r^2} + \frac{a^2 + b^2}{r^2} \right],$$

ი ნებისმიერი მუდმივია.

საქართველოს სსრ მეცნიერებათა აკადემია

ა. რაზმაძის სახელობის

თბილისის მათემატიკის ინსტიტუტი

(რედაქციას მოუვიდა 16.12.1960)

დამოუმჯობესებული ლიტერატურა

1. A. S. Berman. Laminar flow in annulus with porous walls. I. of. Appl. Phys. 29, № 1, 1958.
2. დ. ე. დოლიძე. Некоторые задачи нестационарного течения вязкой жидкости, Изд. АН ГССР, 1960.
3. ჩ. პ. დжорбенадзе. О нестационарном течении вязкой жидкости в пористой круглой кольцевой трубе. Сообщения АН ГССР, т. XXIV, № 5, 1960.

გეოფიზიკა

გ. შენგელაძა

გრავიტაციული ველის გაყოფისა და ლიკალური
ანომალიის გაოღობიური ინტერპრეტაციის
საკითხებისათვის

(წარმოადგინა აკადემიკოსმა პ. გამყრელიძემ 18.4.1961)

მეცნიერების განვითარების თანამედროვე საფეხურზე უკვე დადგენილდა შეიძლება ჩაითვალის, რომ სიმძიმის ძალის ანომალია ძირითადად დედამიწის ქერქის არაერთგვაროვნებითაა გამოწვეული. ეს საკითხი დეტალურად გაშუქებულია ბ. ბალაკაძის მიერ [1] კავკასიის მაგალითზე. მან სიმძიმის ძალის ანომალია წარმოადგინა როგორც დედამიწის ქერქში არსებული სამი ძირითადი გამყოფი ზედაპირის (გრანიტის, ბაზალტისა და მოხოროვი-ჩიჩის ზედაპირები) გავლენით გამოწვეული ჯამური გრავიტაციული ეფექტი.

ამავე ავტორმა პირველმა დაყო დაკვირვებით შილებული ჯამური სიმძიმის ძალის ანომალია ცალკეული ზედაპირების შესაბამის შემადგენელ ნაწილებად.

მიუხედავად ამგვარი დაყოფის რიგი უპირატესობისა, სასარგებლო ნამარხების ძებნა-ძიების მიზნით უმეტეს შემთხვევაში დაკვირვებით მიღებული ჯამური გრავიტაციული ანომალიის ინტერპრეტაციის მიმართავენ. ამგვარი მიღვიმა, ჩვენი აზრით, სამართლიანი შეიძლება იყოს მხოლოდ ცალკეულ შემთხვევებში და ისიც ანომალიის თვისობრივი შეფასებისას, ხოლო რაც შეეხება ოდენობით ინტერპრეტაციის, მისი შედეგები არ შეესაბამება სინამდვილეს და გამოყენებას არ პოულობს.

ეს მოვლენა გასაგებიცაა, ვინაიდან სასარგებლო ნამარხთა სტრუქტურები უმეტეს შემთხვევაში დანალექ ფენებთანაა დაკვაშირებული. აქედან გამომდინარე ბუნებრივია, რომ ამ სტრუქტურათა გამოვლინება უნდა ხდებოდეს მხოლოდ და მხოლოდ დანალექი ფენის მიერ გამოწვეული სიმძიმის ძალის ანომალიის მნიშვნელობით და არა დაკვირვებით მიღებული ჯამური მნიშვნელობით, რომელიც, როგორც აღვნიშნეთ, შეიცავს აგრეთვე უფრო ქვეით მდებარე ბაზალტური ფენისა და ქერქსქვეშა სუბსტრატის გავლენას. ზოგ შემთხვევაში მე-2 და მე-3 ზედაპირების ჰორიზონტალური მდებარეობის დრის მათი გავლენა ნულის ტოლია და ანომალია შეიძლება მიეწეროს მხოლოდ დანალექ ფენაში არსებულ სიმკვრივეთა დიფერენციაციას, რასაც ადგილი აქვს დედამიწის ქერქის ბაქნური ტიპის აგებულების პირობებში და



ისიც იშვიათად. რაც შეეხება ნაოჭა გეოსინკლინურ ზონებს, აქ დედამიწის ქერქის აგებულებას, როგორც ცნობილია, გაცილებით რთული სახე აქვს, ძველი ფენების გრავიტაციული გავლენა ძლიერია და ამიტომ დანალექი ფენის მიერ გამოწვეული ანომალიის გამოყოფა მთ უფრო აუცილებელია.

ეს ამოცანა თავისი შინაარსით დაიყვანება გრავიტაციული ველის რეგიონალურ და ლოკალურ ველებად გაყოფაზე, რომელიც შესაბამისად გამოწვეული არიან დედამიწის ქერქის დიდ სიღრმეში ანომალური მასების არათანაბარი განაწილებით და დანალექ ფენებთან დაკავშირებული გეოლოგიური სტრუქტურების გავლენით.

წინამდებარე სტატიაში მიზნად დავისახეთ ამ ამოცანის ამოხსნის ცდა სამხრეთ კახეთის ტერიტორიის ერთ-ერთი უბნის მაგალითზე.

აღნიშნული ტერიტორიის დასავლეთ უბანზე ყვარელი—აქსტაფის პროფილზე ჩატარდა რეგიონალური აგეგმვით მიღებული სიმძიმის ძალის ანომალიის მრუდის გეოლოგიური ინტერპრეტაცია და შედგენილ იქნა დედამიწის ქერქის აგებულების ჭრილი (ნახ. 1). ინტერპრეტაცია ჩატარდა შერჩევის მეთოდით, რისთვისაც ვისარგებლეთ სხვა გეოფიზიკური და გეოლოგიური მონაცემებით და ბ. ბალვაძის [1] მიერ მოცემული Δg -ის საანგარიშო ფორმულით.

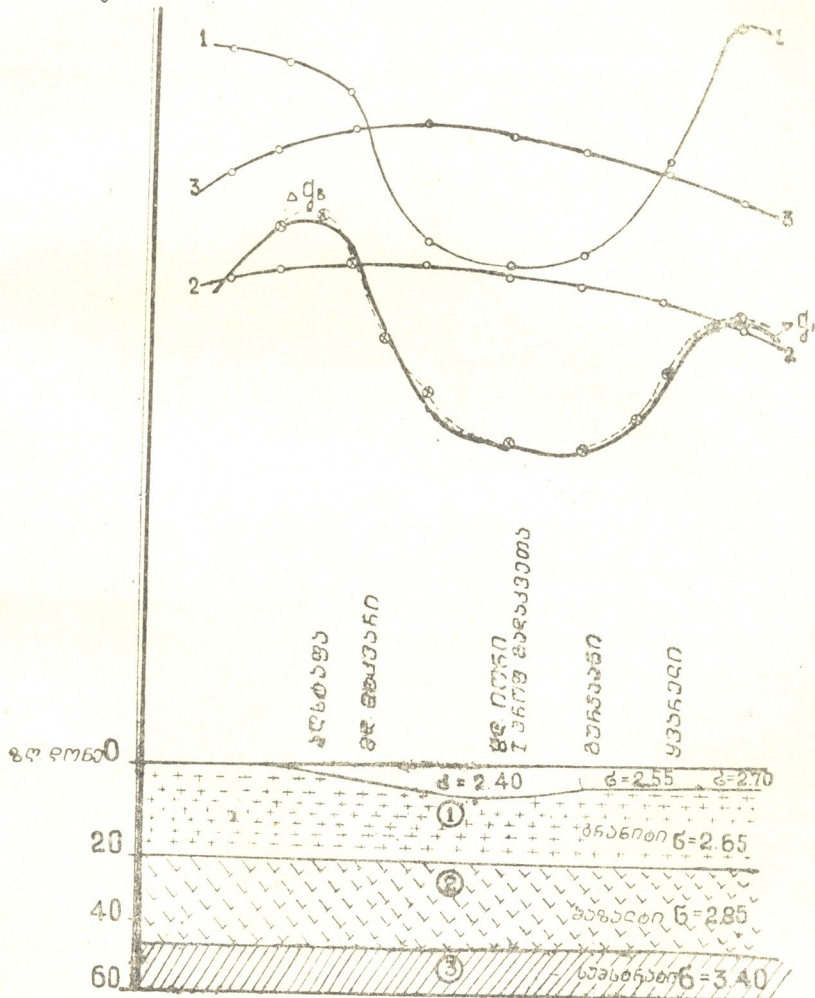
გარდა დედამიწის ქერქის აგებულების ჭრილისა, ამ ნახაზზე მოცემულია აგრეთვე სიმძიმის ძალის ანომალიის მრუდები, რომელთაგან Δg_H და Δg_B -თი აღნიშნულია შესაბამისად დაკვირვებით და გამოთვლით მიღებული სიმძიმის ძალის ანომალიის მრუდები, ხოლო დანარჩენი სამი—1, 2 და 3—შესაბამისად დანალექი გრანიტული და ბაზალტური ფენების გავლენით გამოწვეულ ანომალიის მრუდებს წარმოადგენენ. ცხადია, რომ 1, 2 და 3 მრუდების ოლგებრული ჯამი Δg_B მრუდს უდრის.

ცხადია აგრეთვე, რომ 2 და 3 მრუდების ჯამი ასახავს ერთად აღებული გრანიტისა და ბაზალტის ფენების გავლენას. განგსაზღვრავთ რა ამგარად დედამიწის ქერქში ღრმად მდებარე ფენების გრავიტაციული ეფექტის რიცხვით მნიშვნელობას (რეგიონალური ფონი), უნდა გამოვყენოთ იგი სიმძიმის ძალის ანომალიის დაკვირვებულ ჯამურ მნიშვნელობას (რომელიც მიღებულია დეტალური აგეგმვით) პროფილის ნებისმიერ წერტილში, რის მეოხებითაც ვლებულობთ გრავიტაციულ მრუდს, რომელიც შეესაბამება დანალექ ფენს (ლოკალური ველი). ამ უკანასკნელ მრუდზე ასეთი გამოკლების შემდეგ ცალკეული მაქსიმუმები და მინიმუმები, რომელიც დაიკვირვებიან ჯამურ მრუდზე, თავიანთი მნიშვნელობებით იმისდამიხდვით, თუ როგორია რეგიონალური ველის რიცხვითი მნიშვნელობა, შეიძლება გაიზარდონ ან შემცირდნენ. შესაძლებელია აგრეთვე ექსტრემალური წერტილების გადაადგილება.

ასეთი გზით სიმძიმის ძალის ლოკალური ანომალიის მრუდის მიღების შემდეგ ჩვენ მიერ მოხდენილია მისი რაოდენობითი ინტერპრეტაცია (ლამბალო—მთ. გოკტების უბანზე), რომლის შედეგებიც ქვემოთ არის მოყვანილი.

საკვლევი უბანი მდებარეობს საქართველოს ბელტის ე.წ. ბაზალტების შირაქის ქვეზონაში [2], რომლის იგებულებაში მონაწილეობას ღებულობენ ნალექები ეოცენიდან დაშეებული აფშენონამდე ჩაოვლით. განსაკუთრებით ფართო გაფრცელებას პოულობენ ზედა მიოცენის (ზედა სარმატის ნაცხორის

$\Delta \rho$ (მგლ)



ნახ. 1

წყება) და ქვედა პლიოცენის (დუშეთისა და შირაქის წყებები მეოტ-პონტისა) მტკნარი წყლის კონტინენტური ნალექები, რომლებიც ქმნიან დიდ გაშლილ სინკლინებს ფართო დეპრესიების სახით. ეს ფართო სინკლინები გამიჯნული არიან ვიწრო და ციცაბო, სამხრეთით გადაყირავებული ანტიკლინებით, რომელთა მიმართულება კავკასიონის ნაოჭების მიმართულებას ემთხვევა.

ამ ქვეზონისათვის, ისევე როგორც საქართველოს ბელტის სხვა ქვეზონებისათვის, დამახასიათებელი ზეწრული ნაოჭები, რომელთა ინტენსივობა სიღრმის მიხედვით სწრაფად მცირდება [2, 3, 4].

როგორც ნახ. 2-დან ჩანს, პროფილი მართებულად კვეთს ამ უბანში კარგად გამოვლინებულ ნაოჭებს (ლამბალოს, მწარე ხევის და სათიბის ანტიკლინებს და ნაომარის, ბერების სერისა და სათიბის სინკლინებს).

ინტერპრეტაციის დროს შეძლებაში მივიღეთ ბურღვისა და გეოლოგიურ მოსაზრებათა მასალები ცალკეული სტრატიგრაფიული ერთეულების სიმბლაგრისა და მათი ლითოლოგიის შესახებ, აგრეთვე ნალექების ძირითადი ჟემადგენელი ქანების სიმკვრივეთა მნიშვნელობები. აქ გავრცელებული სტრატიგრაფიული ერთეულების საშუალო სიმკვრივეები საკმაოდ დეტალურად არის შესწავლილი სხვადასხვა ავტორის მიერ და შემდეგნაირად ხასიათდება:

სტრატიგრაფიული ერთეული

სიმკვრივე

გ/სმ³

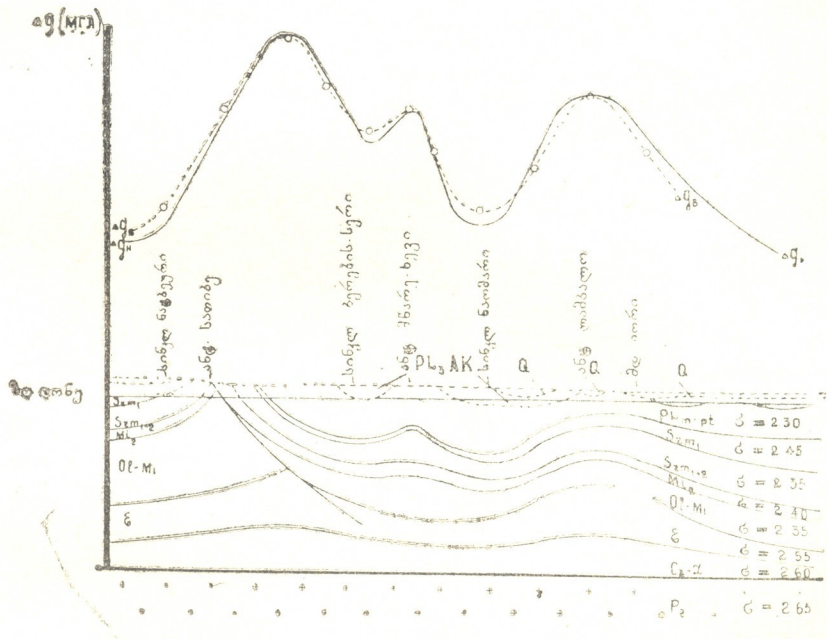
აფშერონ—ალჩაგილი (კონგლომერატები, ქვიშაქვები)	2,30
შირაქის წყება (კონგლომერატები, თიხები)	2,30
ზედა სარმატი (კონგლომერატები, თიხები)	2,45
შუა და ქვედა სარმატი (თიხები, ქვიშაქვები)	2,35
შუა მიოცენი (თიხები)	2,40
მაიკობი (თიხები)	2,35
ეოცენი (ქვიშაქვები)	2,55
მეზოზოური (კირქვები, პროფ. ტუფები)	2,60

აქედან ჩანს, რომ კვლევის უბანზე, ისე როგორც საერთოდ სამხრეთ კახეთის ტერიტორიაზე, გავრცელებული ნალექების სიმკვრივეთა დიფერენციაცია შევეთრი არ არის, რაც ინტერპრეტაციის დროს გარკვეულ სიძნელეებს ქმნის. ოდენობითი ინტერპრეტაციის შედეგი მოცემულია ნახ. 2-ზე, საიდანაც ჩანს, რომ სიმძიმის ძალის ანამალიის მრუდზე მოცემული მაქსიმუმები შეესაბამება სათიბის, მწარე ხევისა და ლამბალოს ანტიკლინებს, ასეთსავე შესაბამისობას პოულობენ ნატებეურის და ნაომარის სინკლინი თავის გამოხატულებას, ვერ პოულობს როგორც დაკვირვებით მიღებულ, ისევე გამოთვლით მიღებულ გრავიტაციულ მრუდებზე. ამასთან ერთად ზედაპირზე კარგად გამოვლინებულ, საკმაოდ დიდი სტრუქტურის სათიბის ანტიკლინის თაღთან შედარებით აქ გამოვლინებული მისი შესატყვისი მაქსიმუმი ნაწილობრივ ჩრდილო-თითაა გადანაცვლებული.

გამოთვლებმა გვიჩვენა, რომ ეს მაქსიმუმი გამოწვეული უნდა იყოს მის ქვეშ შედარებით მკვრივი, ეოცენისა და მეზოზოური ნალექების ამოწვევით, ხოლო ეოცენის შემდგომი ნალექები ამ სტრუქტურაზე შესატყვისად არ არიან მორგებული. ისინი გადაადგილებული არიან სამხრეთით, აქ არსებული ლრმა რღვევის ზოლის გასწვრივ. უნდა ვითიქროთ, რომ ამ გარემოებითაა აგრეთვე

გამოწვეული ბერების სერის სინკლინის შეუსაბამობა გრავიტაციულ მინიმუმ-თან, ვინაიდან სიღრმეში მკვრივი ქანების ამოწევა გარევეულ გავლენას ახდენს ტეზობელ უბნებზედაც.

მეორე დიდი მაქსიმუმი, როგორც აღნიშნეთ, შეესაბამება ლამბალოს ანტიკლინის დაძირულ ნაწილს. აქ ნეოგენის ნალექები მორგებული არიან. უფრო ძველი ნალექების სტრუქტურას და შესაბამისობა Δg_H მაქსიმუმისა ნაოჭის თაღთან დარღვეული არ არის.



ნახ. 2

მშარე ხევის ნაოჭი, რომელიც თავის გამოხატულებას Δg_H მრუდზე მცირე მაქსიმუმის სახით პოულობს, ჩვენი გამოთვლების თანახმად სიღრმის მიხედვით სწრაფად, თითქმის მთლიანად, ქრება და მაიკობის დროში ამ ანტიკლინისა, ბერების სერისა და ნაომარის სინკლინების ქვეშ ჩვენ საქმე გვაქვს ერთ დიდ დეპრესიასთან.

ამრიგად, გრავიტაციული ანომალიის ფონს ზედა მესამეულ ნალექებთან ერთად ერცენისა და უფრო ძველი ნალექების სტრუქტურებიც ქმნიან.

ზემოაღნიშნული გვაძლევს საფუძველს დავუშვათ, რომ ჩვენს პროფილზე სიმტკიცირებული ანომალია გამოწვეულია 7 კმ. სისქის დანალექი ფენის გავლენით. უნდა ვიფიქროთ, რომ მისი ამგები ნალექების სიმტკიცეები და წოლის ფორმები ისეთ სურათს იძლევიან, როგორც წარმოდგენილ ნახაზზეა მოცემული.

უნდა აღინიშნოს, რომ ეს სურათი არ უნდა ეჭინააღმდეგებოდეს ზოგიერთ გეოლოგიურ მოსაზრებასაც.

დასასრულს მიზანშეწონილად მიგვაჩნია აღვნიშნოთ, რომ ნახაზ 2-ზე შოცემული სურათი წარმოადგენს ოდენობითი ინტერპრეტაციის ცდას და შედეგები პირველ მიახლოებითად შეიძლება ჩაითვალოს. შედარებით ზუსტი შედეგები შეიძლება მიღებულ იქნეს დანალექ ფენზი უფრო მკვეთრი გამყოფი ზედაპირების არსებობის შემთხვევაში (იგულისხმება სიმკვრივეთა მკვეთრი დიფერენციალი), მაგალითად, მეზოზოური ნალექების სტრუქტურების ძიებისას, როცა ეს უკანასკნელი ზედა მესამეულის ნალექებითაა დაფარული.

საქართველოს სსრ მეცნიერებათა აკადემია

გეოფიზიკის ინსტიტუტი
თბილისი

(რედაქტორის მოუვიდა 16.2.1961)

დამომხმარებლი ლიტერატურა

1. Б. К. Балавадзе. Гравитационное поле и строение земной коры Грузии. Изд. АН ГССР. Тбилиси, 1957.
2. Д. А. Булейшили. Геологическое строение и перспективы нефтеносности третичной полосы Восточной Грузии. Изд. Геолтехиздат, 1960.
3. А. И. Джанелидзе. О складчатости притбилисской части Гаре-Кахети. Сообщения АН ГССР, т. II, № 9, Тбилиси, 1950.
4. О. А. Сепашвили. Итоги геофизических исследований и план дальнейших работ в Грузии. Труды ВНИГНИ, вып. XXI. Ленинград, 1959.

გ 0 9 0 5

8. ციციშვილი (საქართველოს სსრ მეცნიერებათა აკადემიის აკადემიკოსი),
თ. ანდრიაშვილი, ლ. ლაფერაშვილი და ც. გვარაძე

მოლეკულური საცნობის ზოგიერთი ფორმის სინთეზი

უკანასკნელ ხანებში ქიმიური მრეწველობის ზოგიერთ დარგში დიდ გა-
მოყენებას პოლიმერ შედარებით ახალი ტიპის სორბენტები, ეგრეთ წოდებუ-
ლი მოლეკულური საცნობი [1,2,3].

ეს სორბენტები წარმოადგენ ცეოლიტური ბუნების სინთეზურ კრის-
ტალურ ალუმინიუმის რომელთაც ახასიათებთ ერთგვაროვანი ფორმისა
და ზომის ფორები. ისინი ამჟაღნებენ შეჩრევით სორბციულ თვისებებს
რის გამოც მიიღეს მოლეკულური საცნობის სახელწოდება. ამჟამად სა-
წარმოო მასშტაბით მიღებულია 4A, 5A, 13X ტიპის მოლეკულური საც-
ნობი. ამითგან პირველი ორი წარმოადგენს 4 და 5 Å დიამეტრის ფორებიან
ნატრიუმისა და კალციუმის ფორმის ცეოლიტებს. შემდეგი ორი აგრეთვე—ნა-
ტრიუმისა და კალციუმის ფორმის (ფორაზიტის ტიპის) ცეოლიტებია, რომელ-
თა ფორების დიამეტრი 8—10 Å-ს აღწევს.

„წმინდა“ შეჩრევით-სორბციული („საცნობი“) თვისებების გარდა, რო-
მელიც გამოწვეულია მათში მეტად წვრილი ზომით და ერთგვაროვანი ფორ-
მით ფორების არსებობით, ეს ცეოლიტები აგრეთვე ხასიათდებიან სხვადასხვა
ქიმიური ნერითების მიმართ შეჩრევითი სორბციული თვისებებით. ყველაფერი
ეს სახავს მოლეკულური საცნობის ფართო პრაქტიკულ გამოყენებას ისეთ
მნიშვნელოვან ქიმიურ პროცესებში, როგორიც არის აირებისა და სითხეების
გაშრობა, აირების გაწმენდა, აირადი ქრომატოგრაფია, ძირიფასი კომპონენ-
ტების გამოყოფა გადამუშავებული აირებიდან, ნაფთობის პროდუქტების კა-
რალიზი და სხვა.

ამჟამად სინთეზური მოლეკულური საცნობის მცირე ასორტიმენტია მი-
ღებული, მაგრამ ისინი უკვე პოლიმერ მეტად ფართო გამოყენებას ქიმიური
მრეწველობის მნიშვნელოვან დარღებში. ამასთანავე შესაძლებელია სინთეზირე-
ბულ იქნეს სხვადასხვა ტიპისა და სტრუქტურის ხელოვნური ცეოლიტების
უფრო დიდი ჯგუფი, რომელიც პრაქტიკაში დიდ გამოყენებას მოიპოვებს.

პირველი კვლევითი სამუშაოები მოლეკულური საცნობის სინთეზის დარ-
გში უმთავრესად ჩატარებული აქვთ ინგლისელ მეცნიერ ბარერს [4—8] და
ლინდეს ფირმას (აშშ) [9,10].

უკანასკნელ ხანებში საბჭოთა კავშირში მიმდინარეობს ფართო კვლევი-
თი მუშაობა მოლეკულური საცნობის სინთეზის, თვისებების შესწავლისა და
გამოყენების დარგში.



მოლეკულური საცრები ძირითადად სინთეზირდება ჰიდროთერმული ქრისტალიზაციის გზით ალუმინგელისა და სილიკაგელის წყლის სუსპენზიები-დან და აგრეთვე ელექტროლიტების მოქმედებით ხელოვნურ ან ბუნებრივ ცეოლიტებზე (იონთა მიმოცვლა). თავდაპირველად ჰიდროთერმული კრისტალიზაციის და იონთა მიმოცვლის პროცესებს ატარებდნენ უჯანგავი ფოლადისაგან დამზადებულ სპეციალურ რეაქტორებში. ამასთანავე გელის კრისტალიზაციისათვის ან იონთა მიმოცვლისათვის საჭირო ტემპერატურა არ აღემატებოდა 400°C, ამ პირობებში წნევა რეაქტორში აღწევდა 200—300 ატ. შემდგომ დადგენილ იქნა, რომ ცეოლიტების სინთეზი შესაძლებელია განხსნოւკიელდეს შედარებით დაბალი ტემპერატურისა და ატმოსფერული წნევის პირობებში. ცეოლიტების საცენტრით დამაკმაყოფილებელი გამოსავალი იყო მიღებული ალუმინიუმისაგან 100°C ტემპერატურაზე ატმოსფერული წნევის დროს. სწორედ ასეთ სამუშაო პირობებში მიმდინარეობს მოლეკულური საცრების საწარმოო სინთეზი.

ჩვენს ლაბორატორიაში სხვა მკვლევარებისაგან დაძირულიდებლად შემუშავებულ იქნა მოლეკულური საცრების ზოგიერთი ფორმების სინთეზის მეთოდი.

პირველ რიგში ჩვენი სამუშაოების მიზანს წარმოადგენდა ლინდეს ფირმის 4A და 5A ტიპის მოლეკულური საცრების სინთეზი, ანუ ნატრიუმისა და კალციუმის A ფორმის ცეოლიტების მიღება.

შემდგომ შევიმუშავეთ სპილენძის ფორმის ცეოლიტის მიღების მეთოდი.

A ტიპის ცეოლიტის ნატრიუმის ფორმის მიღება

ნატრიუმის ცეოლიტური ალუმინიუმიკატები მზადდება ნატრიუმის ალუმინატისა და ნატრიუმის სილიკატის ურთიერთობების საფუძველზე. ნატრიუმის ალუმინატის ვიღებდით ნატრიუმის ტუტის მოქმედებით მეტალურ ალუმინზე. ნატრიუმის ალუმინატის ხსნარს ვთილტრავდით უხსნადი ნაწილაკების მოცილების მიზნით. შეორე კომპონენტად გამოყენებულ ნატრიუმის სილიკატს ვხსნიდით წყლის განსაზღვრულ რაოდენობაში სრულ გასხვამდე და ვათავსებდით სარეაქციო ჭურჭელში. აღნიშნული ხსნარების ურთიერთშერევის შედეგად წარმოშობილ მოყვითალო-თეთრ გელს ვაყოვნებდით 42 საათის განმავლობაში. ამის შედეგ გელს ვათბობდით განსაზღვრული დროის განმავლობაში, რის შედეგადაც მიღებოდა ცეოლიტების კრისტალები. კრისტალიზაციის პროცესში ვრეცხავთ ბიუსნერის ძაბრში ცხელი გამოხდილი წყლით, კრისტალიზაციის პროცესში წარმოქმნილი მარილების მოცილების მიზნით. ხსნადი მარილების გამორიცხვის შემდეგ ფილტრზე რჩება თვით ცეოლიტი, რომელსაც ვაშრობდით 80—90°C-ზე.

4A ტიპის მოლეკულური საცრების მიღებისათვის ნატრიუმის ალუმინატისა და სილიკატის ოპტიმალურ თანაფარდობას წარმოადგენს $\frac{\text{Na}_2\text{SiO}_3}{\text{NaAlO}_2} = 2$

(ნიმუში 31) და $\frac{\text{Na}_2\text{SiO}_3}{\text{NaAlO}_2} = 1$ (ნიმუში 43). ორივე ნიმუშის დებაეგრამები პრაქტიკულად ღინდეს ფირმის (4A) ნატრიუმის ფლორის ცეოლიტის დებაეგრამების იდენტიურია (ცხრილი 1)⁽¹⁾.

ცხრილი 1

№	ჩვენ მიერ სინთეზირებული NaA და CaA ცეოლიტები				ლინდეს ფირმის CaA ცეოლიტი ჩვენი გაზომვებით			ცეოლიტები 4A და 5A (ბრეკის [11] მონაცემებით)		
	ნიმუში № 31 NaA	ნიმუში № 31 CaA	CaA		NaA	CaA		NaA	CaA	
I	—	—	—	—	—	—	—	100	12,294	
2	8	8,863	8	8,863	8	8,822	69	8,706	39	
3	7	7,176	7	7,176	8	7,130	35	7,109	32	
4	1	6,302	2	6,285	2	6,303	—	—	12	
5	7	5,579	7	5,525	6	5,57	25	5,508	20	
6	—	—	—	—	—	—	2	5,031	4	
7	—	—	—	—	—	—	6	4,357	—	
8	7	4,194	7	4,107	7	4,118	36	4,107	35	
9	—	—	—	—	—	—	—	—	2	
10	8	3,735	7	3,735	8	3,736	53	3,714	34	
11	—	—	—	—	—	—	—	—	4	
12	—	—	—	—	—	—	16	3,417	18	
13	8	3,335	8	3,324	9	3,32	47	3,293	38	
14	—	—	—	—	—	—	—	—	—	
15	8	3,000	8	2,991	8	2,996	55	2,987	32	
16	—	—	—	—	—	—	9	2,904	9	
17	—	—	—	—	—	—	—	—	—	
18	3	2,791	1	2,745	1	2,748	12	2,754	7	
19	—	—	—	—	—	—	4	2,688	3	
20	7	2,656	7	2,611	7	2,617	22	2,626	24	
21	2	2,519	3	2,514	2	2,503	5	2,515	7	
22	—	—	—	—	—	—	4	2,464	7	
23	—	—	—	—	—	—	—	—	—	
24	2	2,383	2	2,359	1	2,381	3	2,371	3	
25	2	2,278	2	2,267	—	—	1	2,289	—	
26	—	—	—	—	—	—	3	2,249	3	
27	3	2,199	3	2,168	4	2,199	7	2,177	8	
28	—	—	2	2,107	—	—	10	2,144	8	
29	—	—	—	—	3	2,115	3	2,113	5	
30	4	2,065	3	2,034	3	2,053	4	2,083	2	
31	—	—	—	—	—	—	9	2,053	4	
32	6	1,940	4	1,900	7	1,935	7	1,924	4	
33	—	—	—	—	—	—	4	1,910	3	
34	2	1,830	—	—	—	—	2	1,858	—	
35	—	—	1	1,830	—	—	3	1,837	—	
36	—	—	—	—	—	—	2	1,759	—	
37	6	1,752	6	1,734	7	1,739	13	1,743	11	
38	4	1,702	3	1,675	6	1,687	6	1,692	4	
39	—	—	—	—	—	—	2	1,676	2	
40	—	—	—	—	—	—	2	1,667	—	
41	2	1,646	—	—	3	1,638	4	1,632	2	
42	3	1,613	1	1,594	2	1,599	6	1,604	—	

(1) მონაცემები ეხება მხოლოდ № 31 ნიმუშს.

კრისტალიზაციის პერიოდი თრივე ნიმუშისათვის შეადგენს 6 საათს. შესწავლილ იქნა თვით კრისტალიზაციის პროცესის დამოკიდებულება და-ყოვნების დროზე (განუწყვეტელი მორევის პირობებში) 100°C , წყლის აბაზი-ნაზე. რვა საათის განმავლობაში ყოველი ნახევარი საათის შემდეგ ისინჯე-ბოდა აღნიშნული ნიმუშების სტრუქტურა დებავერამების საშუალებით.

როგორც დებავერამები გვიჩვენებენ, კრისტალების წარმოქმნა იწყება ორი საათის შემდეგ (სუსტად გამოხატული კრისტალური მესერი), ხოლო 3 საა-თის შემდეგ მიიღება მკვეთრად გამოხატული კრისტალური მესერი. შემდეგი დროის განმავლობაში, ალბათ, ხდება ცეოლიტის მცირე ზომის კრისტალების შემდგომი ზრდა.

რენტგენოგრამები მიღებულია დანადგარზე YPC—55^a, PKD ტიპის კა-მერაში ($\lambda=57,3 \text{ მმ}$). გამოსხივების წყაროს წარმოადგენდა სპილენძის ანთ-დიანი მილი BCVLT ($\text{CuK}\alpha=1,54\text{\AA}$). ნიმუშები გადასალებად მზადდებოდა სტანდარტული მეთოდით. ნიმუშის ფხვნილი ავსებული კპილარის დიმეტ-რი შეადგენდა $0,5 \text{ მმ}$. ექსპოზიცია გრძელდებოდა 3 საათს. გადაღების რე-ჟიმი: დაძაბულობა—35 კილოვოლტი, დენის ძალა—14 მილიამპერი, ხაზების ინტენსივობა ფასდებოდა ერთგანმანათელ 10-ქულიან სისტემაში.

1 ცხრილში მოცემულია ჩვენ მიერ სინთეზირებული NaA და CaA კრის-ტალური ცეოლიტების და ლინდეს ფირის 5A გრანულირებული ცეოლი-ტის სიბრტყეთა ზორის მანძილები. გარდა ამისა, გ-4 და გ-5 სვეტში მო-ცემულია ბრევის [11] მონაცემები NaA და CaA ცეოლიტებისათვის. სათანა-დო მონაცემების შედარებიდან ცხადი ხდება, რომ ჩვენ მიერ სინთეზირებულ და A ტიპის ცეოლიტების სიბრტყეთა ზორის მანძილები კარგად ემთხვევა ერთი-მეორეს.

კალციუმის ფორმის ცეოლიტის შინაღებად გამოყენებულ იქნა იონთა მიმო-ცვლის რეაქცია, ე. ი. ნატრიუმის ფორმის ცეოლიტში ნატრიუმის იონის ჩანა-ცვლება კალციუმის იონით. ჩვენ მიერ მომზადებული 10 გ № 31 ნატრიუმის ფორმის ცეოლიტს ვუმატებდით კალციუმის ქლორიდის 60 მლ 0,1 ნ ხსნარს. მიღებული სუსხენშია 20 წუთის განმავლობაში განუწყვეტელი მორევის შემ-დეგ გადაგვინდა ფილტრზე ბიუხნერის ძაბრში და ვრეცხავდით ცხელი გა-მოხდილი წყლით ხსნადი მარილების მოცილებამდე. ნატრიუმის იონის კალ-ციუმის იონით ჩანაცვლების ხარისხის გაზრდის შინით ზემოთ აღწერილი პროცესი მომდებოდა რამდენიმეჯერ, ჩვენ შემთხვევაში ექვსჯერ.

მე-2 ცხრილში მოცემულია იონთა მიმოცვლის ხარისხი ანალიზური მონა-ცემების მიხედვით.

რენტგენოგრამებიდან ჩანს, რომ Ca-ფორმას ახასიათებს ლინდეს 5A (Ca ფორმა) ტიპის საცრების სტრუქტურა.

ცხრილი 2

ნ ი მ ჟ ჟ ი	Na რაოდენობა %-ით
ნატრიუმის საწყისი ფორმა ერთჯერადი დაპუშ. პოლუეტი	13,96
ორჯერადი " "	11,53
სამჯერადი " "	9,38
ოთხჯერადი " "	7,71
ხუთჯერადი " "	5,96
ექვსჯერადი " "	4,88
	3,16

სპილენძის ფორმის ცეოლიტები

ქიმიური და ნავთობის ქიმიის მრეწველობის მნიშვნელოვან დარგებში შეიძლება დიდი გამოყენება ჰიდროკარბონ სპილენძის ფორმის მოლეკულურმა საცრებმა.

ჩვენ შევიმუშავეთ სპილენძის ფორმის ცეოლიტების მიღების შემდეგი მეთოდები.

პირველი მეთოდი მდგრამარეობს შემდეგში: ვამზადებდით Cu_2Cl_2 -ის 0,1 ნ ხსნარს (Cu -ის მიმართ) NH_4OH -ში (დაქტიურად ეს წარმოადგენდა სპილენძის კომპლექსურ ამონიაკატის ხსნარს) და 5 გ ნატრიუმის ფორმას (ნიმუში № 31) ვუმატებდით 30 მლ Cu_2Cl_2 -ის ამონიაკურ ხსნარს.

მიღებულ სუსტენზიას ვურევდით 20 წუთის განმავლობაში, შემდეგ ნარევი გადავვქონდა ქალალდის დილტრზე ბიუხნერის ძაბრში და ნალექს ვრეცხავდით ცხელი გამოხდილი წყლით. გაფილტრულ ნალექს ვაშრობდით თერმოსტატში 100°C. იონთა მიმოცვლის ეს ოპერაცია მეორდებოდა რამდენჯერმე (ჩვენს შემთხვევაში 4-ჯერ). მიღებული ცეოლიტის სპილენძის ფორმის კრისტალები შეფერილია ღია ცისფრად.

სინთეზის მეორე მეთოდით გამოვიყენეთ CuBr_2 -ის 0,1 ნ წყალსნარი. იონური მიმოცვლის პროცესი იგივეა, რაც სინთეზის პირველ ვარიანტში. ამ შემთხვევაში ჩვენ მიერ მიღებული სპილენძის ფორმა წარმოადგენს იონთა ოთხჯერადი მიმოცვლის შედეგს. სინთეზირებულ ცეოლიტს ახასიათებს ღია-სალათის ფერი.

მიღებული ცეოლიტების ქიმიური ანალიზის შედეგები მოცემულია მე-3 ცხრილში.

ცხრილი 3

მოლეკულური საცრების ნიმუში	$\text{SiO}_2\%$	$\text{Al}_2\text{O}_3\%$	$\text{Na}_2\text{O}\%$	$\text{CaO}\%$	$\text{CuO}\%$	$\text{H}_2\text{O} < 110^\circ\text{C}$	$\text{H}_2\text{O} > 110^\circ\text{C}$
1 № 31 ნატრიუმის ფორმა	30,4	29,61	6,5	—	—	10,40	12,80
2 № 31 Ca ფორმა	29,63	29,57	2,77	13,37	—	10,20	13,96
3 № 31 Cu (I) ფორმა	30,50	29,52	8,54	—	7,69	10,92	12,60
4 № 31 Cu (II) ფორმა	30,40	29,60	6,17	—	10,33	10,65	12,31

დასკვნა

1. 100°C და ატმოსფერული წნევის პირობებში ჰიდროთერმული რეაქციის ჩატარების შედეგად სინთეზირებულ იქნა A ტიპის ნატრიუმის ფორმის ცეოლიტები.

2. სინთეზირებულ ნატრიუმის ცეოლიტიდან იონთა მიმოცვლის რეაქციით მიღებულ იქნა ცეოლიტების კალციუმისა და სპილენდის ფორმები.

ცეოლიტების ანალიზურ დახასიათებაში დახმარების გაწევისათვის მაღლობას ვუძღვნით ე. დავითაშვილსა და ვ. ნათიძეს.

საქართველოს სსრ მეცნიერებათა აკადემია

3. მელიქიშვილის სახელობის
ქიმიის ინსტიტუტი

(რედაქციას მოუციდა 9. 2. 1961)

დამოუმუშავდი ლიტერატურა

1. Г. В. Цицишвили, Т. Г. Айроникашвили. Молекулярные сита. Приложение к Бюллетеню научно-технической информации ГНТК СМ ГССР, 1960.
2. В. Я. Николина, И. Е. Неймарк, М. А. Пионтковская. Молекулярные сита (получение, свойства и применение). Успехи химии, том XXIX, вып. 9, стр. 1088, 1960.
3. Я. В. Мирский, М. Г. Митрофанов. Новые адсорбенты-молекулярные сита. Химия и технология топлив и масел, № 10, стр. 11, 1960.
4. R. M. Barrer. Ion-exchange and Ion-sieve Processes in Crystalline Zeolites, J. Chemical Society, № 9, 2342, 1950.
5. R. M. Barrer. Preparation of some Crystalline Hydrogen Zcolites. Nature, vol. 164, № 4159, p. 112, 1949.
6. R. M. Barrer. Syntheses and Reactions of Mordenite. J. Chem. Soc., № 12, 2158, 1958.
7. R. M. Barrer. Synthesis of Zeolitic Mineral with Chabazite like Sorptive Properties, J. Chem. Soc., № 2, 127, 1948.
8. R. M. Barrer, E. A. White. The hydrothermal Chemistry of Silicates. Part I, Synthetic Lithium Aluminosilicates. J. Chem. Soc. № 5, 1267, 1951.
9. R. A. Labine. Molecular Sieve Process Revealed. Chemical Engineering, August 10, 104, 1959.
10. Molecular Sieves. Canadian Chemical Processing, July, 55, 1958.
11. D. W. Breck, W. C. Eversole, R. M. Milton, T. B. Read T. L. Thomas. Crystalline Zeolites. I. The Properties of a New Synthetic Zeolite Type A. J. Am. Chem. Soc., 78, № 23, 5963, 1956.

სპეციალობის

ლ. მარუბაშვილი

ოდიშის სპეციალობის კვლევის შედეგები

(წარმოადგინა აკადემიკოსმა ნ. კეტოველმა 25.10.1960)

სპეციალობის თვალსაზრისით ოდიში (სამეგრელო) ფრიად საყურადღებო რაიონია. ოდიში მდვიმეების თართო გავრცელება ჯერ კიდევ XVII საუკუნეში იტალიელმა მისიონერმა არქანგელო ლამბერტიმ აღნიშნა [1]. თუ არ ჩავთვლით ამ ცნობას, პირველი სპეციალობის კვლევები აღმოჩენი მიმდინარე საუკუნის 30-იანი წლების დამლევს და 40-იან წლებში ჩატარდა.

1938 წ. გრ. დ ე ვ დ ა რ ი ა ნ მ ა აღმოაჩინა მაზანდარას (წალენჯიხის რაიონი) კონგლომერატული მდვიმე; 1943 წელს ამ სტრიქონების ავტორმა რიკი მარშრუტები შეასრულა ოდიშის კირქვისნა და კონგლომერატულ ზონებში და გამოაღლინა მანამდე უცნობი მნიშვნელოვანი მდვიმეები; ერთი წლის შემდეგ ზოგიერთი ამ მდვიმეთაგანი შეისწავლა საქართველოს აღმური კლუბის ექსპედიციამ, რომლის შემადგენლობაშიც შედიოდნენ ა. სადოგსკი, გ. კოჭახვილი, გ. დევდარიანი და სხვები.

სამულო ომის შემდეგ ჩატარებული სპეციალოგიური გამოკვლევებიდან აღსანიშნავია ახალგაზრდა მკვლევრის ბ. გ ე რ გ ე დ ა ვ ა ს მიერ სოფ. ჯგალთან კიდევ ერთი ახალი მდვიმის აღმოჩენა კონგლომერატიგბში 1957 წელს და გრ. დ ე ვ დ ა რ ი ა ნ ი ს მუშაობა ჯორშეული მდვიმეში, რის შედეგებსაც მიეძღვნა დასახელებული მკვლევრისა და დ. დ ვ ა ლ ი ს სპეციალური წერილი [2].

ზემოხამოთვლილი გამოკვლევების მეოქებით გამოიჩვა ღონიშის ძირითადი სპეციალოგიური თავისებურებანი. განსაკუთრებით აღსანიშნავია ის გარემოება, რომ ოდიშის ფარგლებში გამოვლინებულია ნგრეულ ქანებში კურსტის ისეთი მასშტაბებით განვითარების ფაქტი, როგორიც ჯერჯერობით მსოფლიოს არც ერთ სხვა კუთხებში არ არის ცნობილი. ოდიშის ზედამეტამეტლ კონგლომერატებსა და ქვიშაქვებში არსებული 1—2 კილომეტრამდე სიჯობის შენებები მღვიმეები კლასტროკარსტული წარმონაქმების კლასიკურ ნიმუშებად ჩაითვლება. ოდიშის ამ სპეციალოგიურმა თავისებურებებმა განაპირობა სწორებდ ამ რაიონის განსაკუთრებულ ერთეულად გამოყოფა კავკასიის კარსტის დარაიონების სქემაში [3].

1960 წელს გახსნებით ბაგრატიონის სახელობის გეოგრაფიის ინსტიტუტის გეომორფოლოგიურმა ჯგუფმა ვეტორისა და ჭ. ჯანელიძის შემადგენლობით შეასრულა ოდიშის ზოგიერთი რაიონის სპეციალოგიური კვლევაც. შესწავლილ იქნა ქართველის, ასხის მასივის სამხრეთი პერიფერიისა და ყვირას მასივებს კარსტული ნაჩენები. აღნიშნული მოგზაურობის დროს აღმოჩენილ ყვირას მასივზე მდგრად უფლესობის შესასწავლად საქართველოს სსრ მეცნიერებათა ცადების ბრეზიდიუმთან არსებულმა სპეციალოგიურმა კომისიიმ მოაწყო (1960 წ. ივლისის ბოლოს) სპეციალური ექსპედიცია, რომლის შემადგენლობაში შევიდნენ გ. კურდოლაიძე, ჭ. ჯანელიძე, ბ. გრძელიძე, შ. უნაფერშვილი და ლ. მარუბაშვილი (ზემდღვანელი). ექსპედიცია ჩაეშვა არ უფსკროლში, რომელთ სილმეც ეთანასწორება 45 და 77 მ. წინამდებარე წერილი მიღვნილია ორივე ექსპედიციის სპეციალოგიური დაკვირვებების შედეგისადმი.



ე კი ს-თ ა. ოდიშის სამხრულ კირქვიან ზოლში შემავალი ეს კარსტული მასივი, როგორც ცნობილია, წარმოადგინს ზედაცარცული კირქვების ბრაქიან-ტიკლინურ სტრუქტურას ჩა-სდ მიმართული გრძელი ღვრით. მასივის სდ ბოლოში, სოფ. საჭულეისკირიოში 1943 წელს დავათვალიერეთ მღვიმე, რომლის შიერ დაკარგვული წყლის ნაკადიც მეჟამდ უფრო დაბალ დონეზე გაშოდის კოკლუზის სახით. 1960 წელს ჩვენი სპელეოლოგიური კვლევის ობიექტს წარმოადგენდა ეკის-მთის ჩა ბოლო, ეკის თემში (კვაკაის რ-ნი) შემავალი სოფლების საგუნიოს, კვარჩღალისა და საადამიოს სანახებში აჩსდგული მღვიმებით.

საგუნიოს ორივე მღვიმე მდებარეობს ნათლისმცემლის ხევში, რომლის გარცხენა მხარეზეც განლაგებულია ოვით ეს მღვიმები და ქართული ხუროთ-პოდვრების X I — X III სს. ძეგლი ნათლისმცემლის მონასტერი. მღვიმეები ორ სართულს ქმნიან, რომელთა შორისაც ჰიტოსმეტრიული სხვაობა 10—15 მ უდირს. ქვედა მღვიმე (აბსოლუტური სიმაღლე 280 მ) წარმოადგენს 20—25 მ სიგრძის გვირაბს, რომლიდანაც კვირი, ანკარა ნაკადული გამოდის; სწორედ ეს ნაკადული გაედინება ნათლისმცემლის ხევის ფსკერზე მუდმივად. ამ მღვიმის შესასვლელთან დარჩენილია აგურ-ქვიტკირული ნაგებობის კვალი. ადგილობრივ მცხოვრებთა სიტყვით, მღვიმის წყალი იყვანილი ყოფილა ნათლისმცემლის მონასტერში. თუ ეს ცნობა სწორია, მაშინ მღვიმე ჰქებეტიულად დატული უნდა ყოფილიყო კაშხლით და წყალი ბუნებრივი წნევის ძალით ავიდოდა მონასტერში, რომელიც მღვიმეზე მოლოა. ზედა მღვიმე იწყება მშრალი დარბაზით, რომლის სიგრძეც 15—20 მეტრამდეა, სიგანე 3—4 მ, სიმაღლე 3—5 მ. უფრო ღრმად მღვიმის ფსკერი დაბლა ეშვება, ჭერიც სწრაფად დაბლდება და ფსკერი თიხით იფარება; აյ მოძრაობა მხოლოდ ხოხვით შეიძლება მარადეამს სკელ თხესახე. საჭიროა აღინიშნოს, რომ ამ გვირაბში, რომლის სიმაღლეც 0,35—0,45 მეტრით განისაზღვრება, ადამიანის სტუმრობისას შეფრინავენ ხოლო მეზობელ ეხში მობინადრე დამურები და მათი ფრთხების მოძრაობათ გამოწვეული ექმ მოწმობს სიღრმეში საგრძნობი სიღრუვეებს არსებობას. მღვიმეში შორს შესასვლელად საჭიროა თიხის გამოწმენდა, თუმცა დაგილობრივ მკვიდრთა მოსაზრება საგუნიოს მღვიმის საწულეისკირიოს მღვიმესთან კაშშირის შესახებ, რაც თითქოს მექებრის მიერ დევნილ კურდღლელს დაუდასტურება, სარწმუნოდ არ გვეჩვენება. ყოველ შემთხვევაში, ამ მღვიმის ბოლო-მდე გამოკვლევა და მისი შესავალი ნაწილის გათხრა ინტერესს მოკლებული იქნებოდა.

ამოღებული მასალა შედგებოდა თიხის, ხრეშისა და კირქვის სხვადასხვა ზომის ნატეხებისაგან. ლიცი ლოდები (ერთი მათგანის ამოსათხრელად თოკის მოხმარება გახდა საჭირო) ძირითადად მღვიმის ჭერის ნგრევითა გაჩენილი. ნაფენებში, ზედაპირის ახლოს, ნაპონია ნეოლითური კერამიკის ნატეხები, უფ-

რო ღრმად კი ზედაპალეოლიტური იერის მქონე კაუის იარაღები და ნამსხვეობები. პირველყოფილ ადამიანს გვარგლალის მღვიმეში მუდმივად არ უცხოვდნა, იგი დორგამოშვებით ეწვეოდა მას და შემთხვევით ტოვებდა აქ სხვდასხა საგნებს. შეიძლება დარწმუნებით ითქვას, რომ ზედამეოთხეული ეპოქის მნიუ-გნებლენანი მონაკვეთის განმავლობაში მღვიმის ჰიდროლოგიური რეაქტი (მუდმივი ან პერიოდული წყლის ნაკადის არსებობა) არ იძლეოდა ადამიანის ხანა-ჩლოვად ბინალრობის შესაძლებლობას და ამიტომ მნიშვნელოვან ქსეროთერ-მულ კლიმატურ ფაზებს აქ ადგილი არ ჰქონია.

კვარგლალის ტერიტორიის მახლობლადვე, ეკის-მთის თხემთან. ზღ. დონიანან 420 მ სიმაღლეზე, ილარიონ კვარგლელიას კარმიდამოსთან შესწავლილა იქნა კარსტული ჭე, რომელშიც თოკით ჩაეშვა ჭ. განელიძე. ჭის სიღრმე 23. მეტრამდეა, დიამეტრი 15—20 მ. ჭისთან შეერთებულია სტალაქტიტებისანი დარბაზი, რომლის დაქანებულ ფსკირზეც ხარჯისა და სხვა შინაური პირუტყვის ჩონჩხები ყრია (ადგილობრივი მცხოვრებნი ამ ჭაში აგდებენ დახოცილი პირუტყვების ლეშს).

სოფ. საადამიოში დავათვალიერეთ მეორე, არანაკლებ ბინძური ჭა— მღვიმე, რომელიც შედარებით პატივით ჩასავლებოა. მაღლი დარბაზის ჭერზე წრიპინი გააქვს უამრავ ღამურას, რომელთა განვლითაც მოფენილია ფსკირა. განავალი სავსეა თეთრი მატლებით, ხოლო ჰაერში საშინელი სუნი დგას და მღვიმეში ჩასული ადამიანი მიისწრაფის უმაღლ უკანვე ამღვიდეს, რათა არ გაიგოდოს. ეჭვს გარეშეა, ორივე ზემოალწერილი მღვმე საფრთხეს წარმოადგენს სანიტარული პირობებისათვის.

ას ხის სამხრული პერიფერია. სოფ. ინჩხურისა და ბალდის (გეგეჭკორის რ-ნა) მიდამოებში ჩვენ შევისწავლეთ ოთხი მღვიმე, რომლებიც მნიშვნელოვან ინტერესს წარმოადგენენ საქართველოს პრეისტორიული და ისტორიული წარსულის თვალსაზრისით.

ინჩხურის მიდამოებში მდებარეობს გაუფი მღვიმეებისა, რომლებიც დაკავშირებულია ასწის მასივის უკიდურესი სამხრეთ-დასავლეული ნაწილის, ე. წ. ტაბაკელის მასივის სამხრულ ფერდობთან. ჩვენ მოვახერხეთ ორი მათვანის გამოკვლევა.

ინჩხურის პირველი მღვიმე მდებარეობს ზღვის დონიდან 380 მ სიმაღლეზე და 160 მეტრით მაღლა ინჩხურის დაწყებითს სკოლაზე. შესასვლელი ორიენტირებულია სამხრეთისაკენ და საქმაოდ მცირეა. მღვიმე გაჭიმულია ლა-მართულებით (ტაბაკელის სამხრული ფერდობის პარალელურად) და შესასვლელი მის დაახლოებით შუა ნაწილს უკავშირდება. შესასვლელიდან ჩაყრილი მიწის მეოხებით მღვიმის შუა ნაწილში წარმოქმნილია ამაღლებული კანუსი და მღვიმე გაყოფილია ორ (და ა) ნაწილებად. მღვიმე მდიდარია სტალაგმიტებით, რომლებიც ზოგან ციცაბო ფერდობებზე სხედას და ამ უკანასკნელებზე ასასვლელად ბუნებრივ სამეცნო საყრდენებს იძლევიან. მღვიმის აღმოსავლური ნაწილი ორსართულიანია. დასასვლურ განტოტებაში არის სამური სასმელი წყლის შემცველი პაწია ტბა. ინჩხურის პირველი მღვიმის შესასვლელში გათხრილ იქნა 2,7 მ სიღრმის შურდი, რომელმაც გამოავლინა თხა-დორდის შასა ცალკეული (ზოგ შემთხვევაში დიდი) ქვებითა და ლოდებით. კულტურული ნაშთები ამ ნაფენებში თითქმის არ გვინახავს, რაც უნდა მოწმობდეს მღვიმის დაუსახლებლობას პალეოლიტში. საფიქრებელია, რომ ინჩხურის პირველი მღვიმის ნესტიან (და ოდესლაც აღბათ წყლით უფრო მდიდარ) სათესოში ადამიანს ბინალრობა არ მიაჩნდა ხელსაყრელად, იგი მხოლოდ დროგამოშვებით მოდიოდა აქ თავის შესაფარებლად ან წყლისათვის.

ინჩხურის მეორე მღვიმე, ანუ, როგორც ადგილობრივი მკენოვნებინა უწოდებენ, „ქვაბი“⁽¹⁾ ინტერესს აძრავს თავისი გამოყენებით საშუალო საუკუნეებში. იგი მდებარეობს პირველი მღვიმის დასავლეთით, იმავე ფრენულობზე და ოდნავ დაბლა (370 მ. ზღ. დ.). ამ მღვიმის გრძელი ლერძიც განედურად არის მიმართული. მღვიმის სიგრძე 25—30 მეტრია, სიგანე—3—4 მ, ჰერის მაჭინალური სიძალლე — 2,5—3 მ. იგი გამომუშავებულია კირქვის ქვრივ ბრექჩიებში, რომელსაც ქვეშ მასივი კირქვის ფენა უდევს. მღვიმეში არის ნაღვენთი ფორმებისტალუტტიტები, სტალაგმიტები. მღვიმეს შესასვლელი სამხრეთიდან აქვს, მაგრამ აღმოსავლეთითაც არის გასაძრომი ჩერელი 3—4 ნაღვენთი კალციტური სვეტით. შესასვლელს ემჩნევა ხელოვნურად გამოკვეთილი საკარებულე, რომელშიც სქელი (15 სმ) ხის კარი იქნებოდა ჩასმული. შესასვლელშივე, საკარებულების უკან, იქვე, მარცხენა მხარეზე, კირქვის შრეში მოკვეთილია პატარა მოგრძო აუზი, რომელშიც დგას ანკარა, სასმელად გარეისი წყალი. ეს წყალი მოურნავს კირქვისა და ბრექჩიის კონტაქტიდან და დიდი რაოდენობით შეიცავს გახსნილ კიროვან ნივთიერებას, რაც დასტურდება მღვიმის შესასვლელში ტრავერტინის საკმაოდ მძლავრი ფენის არსებობით. ეს ტრავერტინი ავსებს შესასვლელის ქვედა ნაწილს და საგმაოდ სქელი ჯაშნის სახით ფარავს ხელოვნური საკარებულების ზედაპირსაც, რაც მშენების დიდ სიძველეზე მეტყველებს.

ინჩხურის ქვაბის ზემოაღწერილი თავისებურებანი ცხადყოფინ მის ისტორიულ მნიშვნელობას: იგი წარმოადგენს ტიპობრივ ქართულ, კლდეში მოთავსებულ ეკლესიას სამხრული შესასვლელითა და აღმოსასვლური სარგმლით და ამახასიათებელი აღრინდელი ქრისტიანობის ეპოქისათვის. როგორც ჩანს, ამ ძეგლის მშენებელთ გამოუყენებიათ ბუნებრივი (კარსტული) ეზი, რომელიც მოუწყვაით საეკლესიო მშენებლობის წესებისა და თავდაცვითი ამოცანების შესაბამისად. ტრავერტინში ნანახია თიხის ჭურჭლის ნატეხები.

სოფ. ბალდის მიღამოებში (აბაშის ზემო წელის აუზში) გამოვიყვლიერ ჯორწყუსა და მოთხნას მღვიმები, რომლებიც აგრეთვი ხსნიან ჩვენ წინაშე საქართველოს წარსელის ფურცლებს.

ჯორწყუს მღვიმე დაწვრილებით აღწერეს გ. დ ე ვ დ ა რ ი ა ნ მ ა და ღ. დ ვ ა ლ მ ა [2], ამიტომაც ექვემდებარებით მხოლოდ დამატებითს მასალებზე, რომელიც მოპოვებულა 1960 წელს.

მღვიმეში შესასვლელი მდებარეობს აბაშის მარჯვენა შენაკადის მდ. ჯორწყუს ხეობის მარცხენა გვერდზე, ზოგის დონიდან 670 და ხეობის ფსკერიდან 30 მ სიმაღლეზე. მღვიმე აღმარცვალია. მისი საწყისი ნაწილი ისხნება სამხრეთისაკენ. ამ შესავალ ნაწილს, ანუ დარბაზს, აქვთ სიგრძე 12—13 მ, სიგანე 4 მ და სიმაღლე 3—5 მ. შერი თითქმის მშრალია, მკვდარი სტალაქტიტებით სავსე. ფსკერი თხნარია, ბრტყელი. უფრო ღრმად მღვიმე ლებულობს საკმაოდ ვიწრო, კლაკნილი გვირაბის სახეს და ვრცელდება დაახლოებით 200 მ მანძილზე. ნაკლებ, რომელიც ამ გვირაბში გადინება, შესავალ დარბაზში კი არ გამოიდის. არამედ მარჯვნივ არსებულ ხერელში იქანგება და ზედაპირზე გამოსავალს მეზობელ ხევში პოულობს. წყალდიდობისაც მღვიმურ მდინარეს მეორე გამოსავალიც აქვს აღმავალი პერიოდზე გოჭუნის სახით.

როგორც გ. დევდარიანისა და ღ. ლვალის ნაშრომიდან არის ცნობილი, ჯორწყუს მღვიმეში გვირაბში არსებული თიხის მძლავრი შრის ქვეშ ნაბოვნის მღვიმებრი დათვის, ფოცხვერისა და პირველყოფილი დომბას ძვლები. იმავე

⁽¹⁾ ეს ზოგადი ქართული ტერმინი, რომლითაც აღინიშნებოდა სამხედრო და სხვა მიზნებისათვის განკუთვნილი მღვიმე-გამოქვაბულები, რდებული მოსახლეობას შეუნახავს სხვა მღვიმებისათვისაც (მაგალითად, მოთხნას და გაჭედილის მღვიმეებისათვის).

ავტორების მიერ გამოთქმულია მოსაზრება ამ მღვიმეში პრეისტორიული ჰქონიანი კვლების პოვნის შესაძლებლობის შესახებ. ეს მოსაზრება დაიდასტურებულია ჩვენი გამოკვლევით. შესავალ დარბაზში გათხრილ იქნა 3—5 მ სიღრმის შურცი, რომელმაც გავვეთა პლასტიკური თიხა ფალკული კირქვის ნატეხებით. 1 მ სიღრმეში ნახულია კულტურული შრე — 3 სმ სისქის წითლად გამომწვარი თიხა ნატეხებითა და კუსის ანატეკეცებით, რომლებიც ზედაპალეალითურ იქნას ატარებენ. რამდენადაც ჩვენთვის ცნობილია, ეს პირველი ძეგლია სამეგრელოს ქვის ხანისა.

ზემოთქმულის საფუძველზე, ჯორშეყვანის მღვიმის ისტორიის უკანასკნელი ეტაპები შემდგენაირად წარმოგვიდგება. ოდესალიც (ალბათ შუა ან ქვედა ნალეოლითის ხანაში) მღვიმერი ნაკადული შესავალი დარბაზით გამოდიოდა. მღვიმეში ცხოვრობდნენ მტაცებლები (მღვიმერი დათვი და ფოცხვერი), რომლებსაც შეუტანიათ მღვიმეში დომბას ძვლები. შესაძლოა იმ დროს მღვიმეში დამიანიც შედიოდა, რის სასარგებლოდაც ლაპარაკობს გვირაბის სიღრმეში თიხის ქვეშ ასესქებულ ხრეშის ფენაში ნახული ქვის იარაღი. შემდევ მღვიმის შესავალთან ჩამოინგრა მისი ჭირი. წყალი შეგუბდა და დაილექა 3—4 მ სისქის თიხა. ნაკადულმა იძოვა გასავალი მარჯვნივ ასესქებული ხვრელით, ტბა დაიცალა და ჩატრილ იქნა კანიონი, რომელმაც გააშიშვლა თიხნარის მთვლი სისქე. შესავალ დარბაზს ამ დროს ესტუმრებოდა ხოლმე ზედაპალეოლითური ადამიანი, რომლის კოცონის ნაშთსაც წარმოადგენს შესავალი დარბაზის ნალექებში 1 მ სიღრმეში ნახული კულტურული შრე.

შოთენას მღვიმე მდებარეობს სოფ. ბალდასთან, აბაშის ხეობის მარცხნა ფერდობზე, ზღვის დონიდან 570 მ და აბაშის დონიდან 250 მ სიმაღლეზე. იგი საშუალო საუკუნეების გვიანდელ ხანაში (მკვიდრთა გადმოცემით, თურქობისას) გამოყენებული ყოფილა სამხედრო-თავდაცვითი მიზნით. მღვიმე აღმაცალია. მის შესასვლელში ამოშენებულია ქვითვირის კიდელი სიმაღლით 8—9 და სიგანით 7—8 მ. კედელში გაკეთებულია კრი (სიმაღლე 1,5 მ, სიგანე 0,7 მ) და წის ზემოთ მრგვალი სარკმელი. კედელს ქვემოდან სამკუთხისებრი თაღი აქვა, რომელშიც გამოდის მღვიმური მდინარე. კედლის წინ მღვიმის ჭირი დასახლოებით 10 მეტრზე წარმოწეული, ასე რომ კედლის დამცველ ადამიანებს წვიმა ცერ დასაველებდა. კედლის შიდა მხრიდან საფეხური აქვს, რომელზედაც ალბათ დაბჯენილი იყო მეომართა სადგომი ხის ბაქანი. მღვიმური მდინარე, რომელიც მღვიმის მთველი სიგრძეზე გაედინება, საკმარის დიდი ხარჯით ხასიათდება: მღვიმის გავლა შედარებით დავილად შეიძლება 100 მ სიგრძეზე. მასში არის ორი გრუელი (სიმაღლით 20—25 მ) დარბაზი და ტრავერტინის მძლავრი დანაგროვები, რომელშიც მღვიმეს ორ საორთულად ყოფენ. მღვიმის შიდა ბოლოში ანკარაწყლიანი ტბა (15×20 მ, სიღრმე 2 მ), რომელიც სიფონის საშუალებით უნდა უკავშირდებოდეს მღვიმის გამოუკალევილ გაგრძელებას. გვირაბში გვედება ხრეშვანი ნაფეხები, სტალქტიტური ფარდები და კონები. მღვიმე ორქეოლოგიურად უპირსკეტიტი ჩანს, რამდენადაც მას კლდოვანი ფსკერი აქვს და წყალდიდობისას გვირაბი თოთქმის იგსება წყლით. ბალდის მცხოვრებ უორუ ჯანგზავას 1940 წელს ამ მღვიმეში უპოვა „ადამიანის (?—ლ. მ.) უზარმაზარი ძვლები“ და თავის ქალა. უკანასკნელი დარბაზის შევულ კედელზე, ფსკერიდან 10—12 მ სიმაღლეზე მოჩანს გვირაბი, რომელშიც ჯერ არავინ შესულა. მოთენას მღვიმის ნაკადულის წყალი რკინის მილით ჩაყვანილია ბალდის მეცნობელების ფერმაში.

კვირას მას იგ ის ეს კირქვიანი მასივი ბოლო დრომდე სპელეოლოგიური თვალსაზრისით სრულიად გამოკვლევები იყო. 1960 წლის გამოკვლევამ გამოავლინა ყვირას მასივზე რიგი კარსტული მღვიმეების ასებობა. ყვირას სამხერული კალთებიდან გამომდინარე მდ. მდ. მოროვასა და ინტრას (ჭანის-



წყლის სისტემა) ხეობებში — სოფელ ჩქვალერის სანახებში აღნისხულ განვითარების მაღალი მდგრადები, ხოლო ყვირის მასივის მაღალ ნაწილებში — რიგი კერტეკალური (დაღმაფალი) მდგრადები ჰქიბის, შახტებისა და უფსკრულების სახით.

ჩეენ მიერ გამოკვლეული მოროვას მდგრადები, ანუ, როგორც ადგილობრივ უწოდებენ, „დემიშ-ფოქება“ (დევის მდგრადები), მდგრადებობს ლეშამგეს ტერიტორიაზე, ზღვის დონიდან 665 მ სიმაღლეზე და იხსნება დასაკლეიტისაჭინ. შესასვლელის სიმაღლე 5 მეტრია. სიგანე კი 5—6 მ. ჭერი თალისებრია, ფსკერი — კლდოვანი. მდგრადის გავლა შეიძლება 90—100 მ მანძილზე. მდგრადებში კირქვის შრებს ფლეშსურული გაღინვები იმჩნევა. განვითარებულია სტალქტიტები და სვეტები, რომელთა ნაწილიც ზრდას განავრმობს. მდგრადებში გაედინება ნაკადული, რომელიც იწყება მდგრადის შიდა ბოლოში არსებული ტბიდან და მიედანება შესასვლელის მიმართულებით. მაგრამ სანამ სანა მიღწევდეს მას, იკარება გვერდითს ხერელში (მარჯვენა შესარეზე). ტბის ზომებია 6×2 მ. იგი ნამგლისებრი მოყვანილობისაა. მდგრადებში თიხა მკირე რაოდენობით გვერდება. არქოლოგიური თვალსაზრისით მოროვას მდგრადები უპერსპექტივოა, რამდენიმე მასში ფხვიერი ნაფენების დაგრავებას არ ჰქონია ადგილი.

ყვირის მაღალ (ტყიანსა და უტყეო) ზონებში ადგილობრივი მკენვრების ნ. ფიფიას მითითებით მივაკრლიერ რამდენიმე გერტიფიკალურ მდგრადებს. ერთი მათგანი თვით ნ. ფიფიას ბინასთან მდგრადებობს. ზღ. დ. 1580 მ სიმაღლეზე და ცნობილია „ინჭას“ სახლწოდებით. მასში წყარო, რომლითაც მარაგდებან ყვირის საძოვრებზე მომუშავე მწყევსები. ჭები არის სხვა ადგილებშიც — ილაკელარში. (აბს. სიმაღლე 1300 მ. ჭის სილრმე 8 მ). ონტყოლში (აბს. სიმ. 1550 მ, სილრმე 2 მ) და „სათირო-ინჯაში“ (აბს. სიმ. 1710 მ, სილრმე 12 მ, ზაფხულის ბოლომდე თოვლს ინახავს).

ერთ-ერთი საინტერესო კარსტული ნაჩენი ყვირას მასივზე არის „ფართო ინჭა“, ანუ ალბოვის უფსკრული. რომელიც მდებარეობს ზღვის აონიდან 1900 მ სიმაღლეზე, ყვირას მთავარი მწვერვალის დასაკლეიტით და მოქანავი ლოცვის „ქიაწანცალიას“ ახლოს. უფსკრული უკირალ იხსნება ბრტყელ დამრაც თერდობზე, მერიდიანულად განიმოლი. 9 მ სიგრძისა და (უკიროეს ნაწილში) 3 მ სიგანის ნაპრალის სახით. ჩაშეგბით გამოირყა. რომ ალბოვის უფსკრულის საერთო სილრმე 45 მეტრამდეა. მის ფსკერთან მდებარე სტალქტიტებან დარბაზში გაიღინება ნაკადული, რომლის გამოყენებაც შეიძლება ყვირას საძოვრების სასმელი წყლით მოსმარაგებლად. უფსკრულის ზედა ნაწილში გაშენდილია ჩამოვარდნილი უზარმაზარი ლოდი.

ყველაზე უფრო ღრმა და რთულ მდგრადება ყვირაზე ზემოხსენებული „ინჭა“ წარმადგენს როგორც გამოირკვა, წყარითან ჭა არის მხოლოდ დასაწყისი ვრცელი ლაბირინტისა. ჩვენი გაუფის მიერ ამ მდგრადის ტალანტებსა და ჭებში განვლილია 300—400 მ მანძილი და მიღწეულია 77 მ სილრმე. მდგრადების მრავალსართულიანია, მასში დადგენილია ხუთ განსხვავებულ დონეზე განლაგებული ჰორიზონტულური გვირაბები. გვირაბები და მთი დარბაზისებრი გაღართოებანი შეგრძნებილია ნაირნაირი ნაღვენთი იორქებით — სტალქტიტებით, სტალაგმიტებით, სვეტებით, ფარდებით, ბუქებისებრი კელიანი წარმონაქმებით, ტრაკერტინის ტერასებითა და კასკადებით. მდგრადის უღრმეს ნაწილში პარა ტბაა. მდგრადის სრული შესწავლისათვის საჭიროა დამატებითი კვლევა. ამ მართლაც შესანიშნავ მიზისქვეშა ლაბირინტს. რომელიც მკვლევრისათვის მოულოდნელობებითა აღსავს, კოტნე დადიანის უფსკრული ვუშოდეთ.

დასკვნები

ოდიშის ფარგლებში სადღეისოდ გამოვლინებული და აღწერილია 30 კარსტული მდგრადები; კორცხელი, მაზანდარა, ჭგალი, ლეშურწუმე, გარახა, საცეკვო,

საზოგადავო, ნოღა, ურთა [2], ცაიში, ხეთა, საწულეისკირო, საგუნდის ტერიტორია, კვარჩღალა [2], სააღამიო, ალბოვის უფსკრული. ცოტნე დადიანის უფსკრული, პოროვა, ინწრა, მუხური, წიფურია, ჭორწყა, მოთენა, ინჩხური [2], სკურავი ანუ გაშედილი, და საცივი. ბირველი 8 მღვიმე ზედამესამეულ ნგრეულ ქანებშია გამომუშავებული, დანარჩენი 22 კი ცარცულსა და პალეოგენურ კირძებში.

ზემოხამოთვლილ მღვიმეთაგან ჩრდილო კირქვიან ზოლში (კვეყასიონის კალთებზე) მოქცეულია 11 მღვიმე, სამხრულ კირქვიან ზოლში (უჩთასა და უნგირის სერებზე) 1, ხოლო ცენტრალური სამეგრელოს პლატოს ფარგლებში — დანარჩენი 8. გამოვლინებულ მღვიმეთა უმრავლესობა (25 მღვიმე) ჰორიზონტალური მღვიმეების ტიპს იკავთვნის, 5 კი ვერტიკალურს.

ოდიშის შესწავლილი მღვიმეები მეტწილად არ გამოირჩევა სიდიდით. ყველაზე გრძელი მღვიმეები აღწერილია კირქვალური სამეგრელოს კონგლომერატებსა და ქვიშავებში: ნაზოდელავოს მღვიმის გვირაბთა ჯამური სიკრქე 2 კილომეტრამდე, კორცხელისა კი 1,1 კმ. კირქვებში გამომუშავებული მღვიმეები სადღეისოდ გავლილია 100—200 მ მანძილზე (მაქსიმალურად), თუ არ ჩავთვლით ცოტნე დადიანის უფსკრულს, რომელშიც გავლილ იქნა 300—400 მ მანძილი.

მეოთხეულ ფხვიერი მღვიმური ნაფენების დაგროვებას ადგილი ჰქონდა ზედა საგუნიოს, კვარჩღალის, ჭორწყუსა და ინჩხურის მღვიმეებში. ნალვენთუბი განვითარებულია კირქვული მღვიმეების მნიშვნელოვან ნაწილში, განსაკუთრებით მოთენას, ჭორწყუს, ინჩხურის, კვარჩღალის მღვიმეებში და ცოტნე დადიანის უფსკრულში. ზედამესამეულ ნგრეულ წყებებში გამომუშავებული მღვიმები ნალვენთუბის მხრივ ღატაკია.

კლასტროკარსტულ (ნგრეულ ქანებში გამომუშავებულ) მღვიმეთა უმრავლესობას შესასვლელებში დარბაზები (ცესტიბიულები) აქვთ, რითაც განსაკუთრებით შესანიშნავია ნაზოდელავოს მღვიმე. კირქვული მღვიმეებიდან ყველაზე საკრძნობი სიდიდის დარბაზული გაფართოებებინი მოთენას და ჭორწყუს მღვიმებს აქვთ. წყლის მექანიკური ეროზით ჩამოყალიბებული ფორმები (კანიონები, ტერასები) კარგად არის გამოსახული კლასტროკარსტულ მღვიმეებში და პირველ რიგში ნაზოდელავოსა და სავეკუროში. საგუნიოსა და ურთის რაიონებში მღვიმეები განლაგებულია ორ სართულად (ჰიფსომეტრიული შუალედი სართულებს შორის 10—20 მეტრია).

საყინულებები ოდიშში ჯერჯერობით არ ყოფილა აღწერილი. თოვლი მთელი წლის განმავლობაში ძლებს ე. წ. საცივში ასხის მასივზე და ყვირას მასივის ერთ-ერთ ქვში.

ოდიშის მღვიმეები სხვადასხვა ეპოქებში იზიდავდნენ ადამიანს და მისთვის თავშესაფარს წარმოადგენდნენ. პრეისტორიული (პელეოლიტური და ნეოლიტური) ნამთები სადღეისოდ მხოლოდ ჭორწყუს და კვარჩღალის მღვიმეებშია აღნიშნული. ისტორიულ ეპოქაში (საშუალო საუკუნეებში) სამხედრო და ნაწილობრივ რელიგიური მიზნით გამოყენებული იყო ინჩხურის ქვაბი, მოთენა, ქვედა საგუნიო, სკურდი ანუ გაშედილი. ჩამოთვლილ მღვიმეებში დაცული ძველ ნაგებობათა ნაშებში გამოავლინებენ მღვიმე-გამოქვაბულთა გამოყენების საერთო ქართული ტრადიციის გარეკალებას ოდიშში ტერიტორიაზე. თანამედროვე პრაქტიკული მიზნებისათვის გამოსაღევება და ნაწილობრივ გამოყენებულიც ზედა საგუნიო, ქვედა საგუნიო, ინჭა (ცოტნე დადიანის უფსკრული), საცივი, მოთენა, ინჩხურის ქვაბი. სპორტული თვალსახრისით განსაკუთრებით საინტერესოა ალბოვის უფსკრული აგირაზე.

ოდიშის კარსტული მღვიმეები კიდევ ელიან თავიანთ მკვლევრებს, რომლებიც თანადროული სპელეოლოგიური თეორიისა და ტექნიკის გამოყენებით გამოაქვეყნებენ მათ თავისებურებებს.

საქართველოს სსრ მეცნიერებათა აკადემია
სპელეოლოგიური კომისია

(ოდიშის მოუკიდა 15.8.1960)

დამოუკიდული ლიტერატურა

1. ა. რ. ქან ჯელა ლამბერტი. სამეცნიერო აღწერა. თარგმანი იტალიურიდან ალ. ჭყონიასი. თბილისი, 1938.
2. გ. დევდარიანი და დ. დვალი. ჯორშეცუს გამოქვაბული. ქუთაისის სახელმწ. პედაგოგიური ინსტიტუტის შრომები, XVIII, ქუთაისი, 1958.
3. Н. А. Гвоздецкий. Опыт районирования карста Большого Кавказа. Географический сборник, I. Изд. АН СССР, М.—Л., 1952.
4. გ. დევდარიანი. მასალები სამეცნიერო ბორცვიანი ზოლის გეომორფოლოგიისათვის. ქუთაისის სახელმწიფო პედაგოგიური ინსტიტუტის შრომები, ტ. X, 1950—51.
5. Л. И. Маруашвили. Карст в обличных породах Мегрелии. Природа, № 7, 1949.
6. ლ. მარუაშვილი. ოდიშის უცარულებები. გაზეთი „ლელა“, 9 და 11 აგვისტო, 1960.

გეოლოგია

ე. ვახანია

ახალი მონაცემები სამეზრელოსა და მოსაზღვრელი რაიონების
ოლიგოცენური ნალექების სტრატიგიული უსახება

(ჭარმალებინა აკადემიკოსმა ი. კაჭარავამ 11.1.1960)

ამიერკავკასიის მთათაშუეთ დეპრესიაში ფართოდ გავრცელებული გა-
იკოპური წყების ქვედა ნაწილი სამეგრელოსა და მოსაზღვრე რაიონების
სრულ ჭრილებში შედარებით აღვილად ნაწილდება ხადუმის ჰორიზონტად
და ხადუმსტებად შრეებად.

ხადუმის ჰორიზონტი, რომელიც პირველად ნ. შატსკიმ [1] გამოყო
დაღუსტნის გაიკოპური წყების ჭრილში, ტიპობრივი ლითოფაციესით წარმო-
დგენილია ცენტრული სამეგრელოს დეპრესიის (ა. ჯანელიძის მიხედვით [2])
ჩრდილო ფრთის გასწვრივ, საღაც ის თანხმობითაა განლაგებული პრიაბონული
სართულის ბოლივინიანი ზონის მომწვანო-მოყვითალო უსტრუქტურო თიხეინ
მერგელებსა და ტიპობრივ მაიაკოპურ თიხებს ზორის. ჰორიზონტის ქვედა
ნაწილი (40—60 მ) წარმოდგენილია მუქი ნაცრისფერი, სუსტად ფიქლებრივი
კარბონატული თიხებით, ალევროლისტებისა და უფრო იშვიათად მერგელე-
ბისა და წვრილმარცვლოვანი ქვიშაქვების შუა შრეებით. ჰორიზონტის ზედა
ნაწილში ასეთსავე ნალექებს ტიპობრივი მაიაკოპური თიხების ცალქეული
შრეები და მათი დასტებიც გამოერევა. მაშასადამე, თუკი ხადუმის ჰორი-
ზონტის საზღვარი ეოცენთან როგორც ლითოლოგიურად, ისე ფაუნისტუ-
რად მკაფიოდ გამოიყოფა, სამაგიეროდ მისი ზედა საზღვარი შეიძლება გა-
ტარებულ იქნეს პირობითად იქ, საღაც კარბონატული და არაკარბონატული
თიხების მორიგეობას ზევითქვენ ცვლის ტიპობრივი მაიაკოპური თიხები.

ხადუმის ჰორიზონტი შეიცავს თევზების უამრავ ქერცლს, პლანორბე-
ლების ნიჟარებსა და მიკროფაუნას. გარდა ამისა, მასში ჩვენ მიერ დ. პა-
ბავასთან, ე. დევდარიანთან და რ. თოროზოვთან ერთად ს. ს. ჯგალის, შუ-
ხურის, ნაფიხხუს და კურზუს მიდამოებში შეგროვილ იქნა ქვემოთ ჩამოთვ-
ლილი ქვედა ოლიგოცენური ფაუნა: *Leda chadumica* Korobk., *Lucina bata-
laphashinica* Korobk., *Limopsis retifera* Sem., *Psamobia sandbergeri* Koen., *Cuspidaria variocostata* Korobk., *Dentalium novaki* Koen., *Nucula comptata* Goldf. (განსაზღვრა ი. კაჭარავამ).

უკანასკნელი სამი ფორმა პლანორბელებთან ერთად ნაპოვნია ჰორი-
ზონტის ქვედა ნაწილში, მაშინ როცა ჰორიზონტის ზედა ნაწილის ნალე-
ქებში ოსტრაკოდებთან ერთად აღმოჩნდა ზემოთ მოყვანილი სის პირველი
ოთხი ფორმა.

სამეგრელოს სამხრეთ ნაწილში (ეკისა და ურთის ანტიკლინური მთები) და სამხრეთ-აღმოსავლეთ აფხაზეთში (სათანჯოს ქედი, ს. რეჩხი) ხადუმის ჰორიზონტს უთუოდ უნდა მიეკუთვნოს მაიკოპური წყების ქვედა ნაწილი, რომელიც ისეთივე ფაციესითაა წარმოდგენილი, როგორითაც ცენტრული სამეგრელოს დეპრესიის ჩრდილო ფრთაზე. ეკის, ურთისა და სათანჯოს ანტიკლინების ფრთებზე ხადუმის ჰორიზონტი იწყება გლაუკონიტიანი ქვიშაქვის შრით (0,5 მ), რომელიც ზოგან მერგელების, კირქვებისა, ტუფოგენური ქანების ნატეხებისა და ქვარგალებისაგან შემდგარ კონგლომერატ-ბრექჩიაში გადადის, მ. ძველიას [3] და ა. ულიანოვის [4] მოსაზრებათა საწინააღმდეგოდ, რიგ ჭრილებში (ს. ს. კოტიანეთი, შეცი, მენჯი, საეკიბიო, სახარბედიო, ცაში, რუხი, რეჩხი, რეჩხოცხირი, წკელიქარი და ქ. ცხაჭაი) აშკარა უთანხმოდ, ტრანსგესულად ადვეს ქვედა ბალეოგენის სხვადასხვა ჰორიზონტს. ამ ბაზალურ შრეში, ისე როგორც ლექსუმის დეპრესიის მაიკოპური წყების ფუძეში განლაგებულ გლაუკონიტიანი ქვიშაქვების დასტაში (1 მ), ხშირად გვხვდება კავკასიის ქვედაოლიგოცენური დროისათვის დამახასიათებელი ზვიგენის ქბილები.

ფაუნისტურად დახასიათებული ხადუმის ჰორიზონტი სამხრეთ სამეგრელოსა და სამხრეთ-აღმოსავლეთ აფხაზეთში მცირე სიმძლავრისაა. ეკის მთის სამხრეთ კალთაზე მისი სიმძლავრე არ აღმატება 10—15 მ, ხოლო ურთის მთის ჩრდილო ფერდობზე ს. პირველ მასთან, მდ. მუნჩის ხეობაში 30 მ აღწევს; იგი თანხმობითაა განლაგებული ბოლივინიანი ზონის თიხიან მერგელებზე და პლანორბელებთან ერთად შეიცავს შემდეგ მიკროფაუნას: *Lagena squamosa* (Mont.), *L. sulcata* (W. et I.), *L. striata* Will., *L. substriata* Will., *Entosolenia ovulum* Subb. et Chutz., *Ent. marginata* (W. et I.), *Nonion umbilacatum* (Mont.), *Bolivina advena* Cushman., *B. nobilis* Hantken, *B. aenariensis* (Costa), *Gümbelina globulosa* (Ehrenb.), *Globigerina bulloides* d'Orb. (განსაზღვრა ქ. არჩეადემ).

ჰორიზონტის ზედა საზღვარი აქაც პირობითია და შეიძლება გატარებულ იქნეს ხადუმსზედა შრების ერგაროვანი ტიპობრივ მაიკოპური თიხების ფუძეში. თუმცა შესაძლებელია, რომ ამ თიხების ქვედა დასტაც ჯერ კიდევ ხადუმის ჰორიზონტს ეკუთვნოდეს და შესატყვისებოდეს უკანასკნელის ზედა ნაწილს, ანუ ისტრაკოდებიან ფენებს, რომლებიც ცენტრული სამეგრელოს დეპრესიის ჩრდილო ფრთაზე კარბონატული და არაკარბონატული თიხების შორიგეობითაა წარმოდგენილი.

პალეოგენური ნალექების ლითოფაციესებისა და სიმძლავრეების განაწილების საქმაოდ განსხვავებული სურათია სამეგრელოს აღმოსავლეთ ნაწილში, ტებურსა და ცხენისწყალს შორის. აქ მაიკოპურ წყებაში, კერძოდ ხადუმის ჰორიზონტში, გვაქვს ფაციესთა ჭიდილი, რაც პირველად ბ. მეფე ერთმა [5] აღნიშნა; იგი თვალსაჩინოდ ჩანს ს. ინჩხურის ჭრილში, რომელიც ჩვენ მიერ [6] დეტალურადა შესწავლილი. ამ ჭრილში შორიგეობენ ნაცრისფერი კარბონატული თიხები პლანორბელებით, მუნჯი ტიპობრივი მაიკოპური თიხები, სპონგოლითური და გლაუკონიტიანი ალევროლითები და ქვიშაქვები ოლიგოცენური მიკროფაუნით.

აღმოსავლეთით ნალექების ეს მორიგეობა (30 მ) ცენტრალურის ხეობაში გადადის სპონგოლითურ და გლაუკონიტიანი ქვიშაქვების ერთან ჰორიზონტში (20 მ), ხოლო იმავე სოფლის დასავლეთით — ხაღუმის ჰორიზონტის მაკრო და ნიკროფაუნით დახასიათებულ კარბონატულ თიხებში.

ოლიგოცენური ნალექების ასეთი ფაციისური ცვალებადობა აძნელებს; ხაღუმის ჰორიზონტის სახლვრების დადგენას რიგ ჭრილებში. სამეგრელოს აღმოსავლეთ ნაწილში, იმერეთსა და რაჭა-ლეჩხუმში, ა. ულიანოვისა [4] და სხვა ავტორების აზრით, ოლიგოცენურ და ეოცენურ ნალექებს შორის საზღვარი ემთხვევა ტრანსგრესიული მაიკობური წყების ბაზალური დასტის ფუძეს, რომელიც უთანხმოდა განლაგებული ბალეოგენური და მეზოზოური ნალექების უფრო ბევრ ჰორიზონტებზე. ამასთან ერთად მაიკობური წყების ქვედა, ტრანგრესიული, ნაწილი, რომელიც ამ რაიონებში ზემოთ აღნიშნული ბაზალური დასტის ქვიშაქვების (1—30 მ) გამოკლებით, ისეთივე ტიპობრივი მაიკობური თიხებით არის წარმოდგენილი, როგორითაც ხაღუმისხედა შერები სამეგრელოსა და აფხაზეთში, ა. ულიანოვი შეუა ლიგოცენის ტრანსგრესიულ ნალექებს მიაკუთვნა, მაშინ როცა მაიკობური წყების ქვედა ნაწილში ს. ორბეგლთან (ლეჩხუმში) ჩვენ მიერ [7] ნაპოვნია ხაღუმის ჰორიზონტის მაკრო- და მიკროფაუნა.

სამეგრელოს აღმოსავლეთ ნაწილში, უფრო ზუსტად ინჩხურის სინკლინის ჩრდილო ფრთაზე და მდ. ცენტრალურის ხეობაში, ოლიგოცენურ და ეოცენურ ნალექებს შორის საზღვარს ჩვენ, წინა ავტორების მონაცემებზე დაყრდნობით, ვატარებდით სპონგოლითური და გლაუკონიტიანი ქვიშაქვების ჰორიზონტებსა და მის ქვეშ განლაგებულ მერგელებს შორის, მაგრამ უფრო გვიან ამ ნალექების მდ. ცენტრალურის მარჯვენა ნაპირზე ს. ხუნწთან გამიშვლებული ჭრილი დამატებითმა შესწავლამ საშუალება მოგვცა ეს საზღვარი რამდენადმე ქვევით გადაგვეტანა.

ხუნწის ჭრილში ლიროლებისიან ფიქლებრივ მერგელებს თანხმობით მოსდევეს მოთეთრო და ლია მოყვითალი ფერის არაშერებრივი თიხიანი შერგელების ჰორიზონტი (15 მ) პრიაბონული სართულის მდიდარი მიკროფაუნით. ზევით განლაგებულია, პირველი შეხედვით, ერთგვაროვანი ქვიშიანი გლაუკონიტიანი მერგელების დასტა (2 მ) უამრავი *Pyrenodonta bronniarti* Bron. და *Ostrea queteleti* Nyst-ის ნიერებით (განსაზღვრა ი. კაჭარავამ). ანალოგიური ფაუნის შემცველი აღვის ჰორიზონტის (ბ. მეფერტიას მიხედვით) ზედა ნაწილის (10—12 მ) ქვიშიანი კირქვები, რომლებიც ლეჩხუმის აუზის ქვედა პალეოგენური ნალექების უწყვეტ ჭრილს აბოლობენ მდ. ცენტრალურის სარეწკელის ხეობაში, ი. კაჭარავაში [8] ჯერ კიდევ 1944 წ. შეუპირისპირა ხუნწის ჭრილის ზემოაღნიშნულ ქვიშიანი მერგელების დასტას და მიაკუთვნა ზედა ეოცენის ვარიაციულიან ზონას.

ცოტა გვიან ანალოგიური ფაუნა *Pyrenodonta* და *Ostrea* ჩვენ ვაძლევთ ლეჩხუმის აღმოსავლეთითაც, ს. ცხმორთან (ზემო რაჭა), როგორც ზედა ეოცენის სულ ზედა ნაწილის ქვიშიან მერგელებში, ისე ზევითქვენ მომდევნო კიბოებიანი კვარცარკოზული ქვიშაქვების ჰორიზონტის (ი. კუზნეცოვის მიხედვით) ქვედა



წაწილში, რომელიც შეიცავს აგრეთვე *Coeloma vigil* M. Edw. (განსაზღვრული კაჭარავამ) და ტრანსგრესიული გაიკობური წყების ფუძეს წარმოადგენს.

ამ მონაცემებმა ი. კაჭარავა და ჩვენ მიგვიყვანა ვარაუდამდე, რომ *Pycnodonta brongniarti* Bron. და *Ostrea queteleti* Nyst., რომელიც აღრე ვარიამუსიუმიანი ზონის სახელმძღვანელო ფორმებად ითვლებოდნენ, გადადიან ოლიგოცენურ ნალექებშიც, რაღაც რაჭისა და სამხრეთ ოსეთის კიბოებიანი ქვიშაქვების ჰორიზონტისა და აფხაზეთ-სამეგრელოს ხადუმის ჰორიზონტის მდიდარი ფაუნით დახასიათებული კარბონატული თიხების ქვედა ოლიგოცენური ასაკი ახლა უკვე ეჭვს არ იშვევს. ეს ვარაუდი დასტურდება იმითაც, რომ ამასწინათ დ. პაპავამ *Pycnodonta* და *Ostrea* იპოვა კიბოებთან ერთად მაიკობური წყების ფუძეში განლაგებულ კვარც-არკოზული ქვიშაქვების დასტაში (5 მ), რომელიც რაჭის მესამეული დეპრესიის ჩრდილო ფრთაზე ს. ქვემო ბართან უთანხმოდ აღვს ქვედა ნეოკომურ კირქვებს.

ვუბრუნდებით რა ხუნწის ჭრილის დახასიათებას, უნდა იღინიშნოს ის გარემოება, რომ ამ ჭრილის ხსენებული ქვიშიანი მერგელების დასტა (2 მ), როგორც ეს დეტალურმა დაკვირვებამ გვიჩვენა, შედგება ორი თითომეტრიანი ზრისაგან. ქვედა მათგანი ლინავ ქვიშიანია, ლია ნაცრისფერი და *Pycnodonte* და *Ostrea*-ს გარდა შეიცავს ბოლივინიანი ზონისათვის დამახასიათებელ მიკროფაუნას: *Anomalina affinis* (Hantken), *Bolivina aenariensis* (Costa), *Bolivina nobilis* Hantken, *Bulimina sculptilis* Cushman, *Gyroidina soldanii* d'Orb., *Eponides umbonata* (Reuss), *Globigerina bulloides* d'Orb. (განსაზღვრა ქ. არჩვაძემ).

დასტის ზედა შრე უფრო ქვიშიანია, მუქი ნაცრისფერი და, მართალია, მაკროფაუნის იმგვარსავე ასციაციას შეიცავს, როგორსაც ქვედა შრე, მაგრამ მასთან ერთად მასში აღმოჩნდა ხადუმის ჰორიზონტში ფართოდ გავრცელებული ლაგნიდები: *Lagenaria squamosa* (Montagu), *L. striata* Will., *L. sulcata* (W. et I), *L. vulgaris* Will., *L. substriata* Will., *L. gracilicosta* Reuss. (განსაზღვრა ქ. არჩვაძემ).

გარდა ამისა, მერგელის ზედა შრე გადარეცხვის აშეარა ნიშნებით დაუთანხმოდაა განლაგებული იმავე დასტის მერგელის ქვედა შრის უსწორმასწორო ზედაპირზე, ხოლო ზევით მას საესებით თანხმობით მოჰყვება სპონ გოლითური და გლაუკონიტიანი ქვიშაქვების ჰორიზონტი.

ეს მონაცემები საზუალებას გვაძლევს ზემოაღნიშნული დასტის მერგელის ქვედა შრე მივაკუთვნოთ ბოლივინიან ზონას, ხოლო დასტის ზედა შრე — ოლიგოცენური ასაკის სპონგოლითური და გლაუკონიტიანი ქვიშაქვების ჰორიზონტის ტრანსგრესიურ საეგბს, რაც დასტურდება ეოცენური და ოლიგოცენური ნალექების ჭრილების შედარებით და მათი ურთიერთდამოკიდებულების ხასიათით.

აღწერილი ქვიშიანი მერგელების დასტის ქვედა შრეს თუ ფეხდაფეხ გავედევნებით, აღვილად შეიძლება დაკრწმუნდეთ, რომ ს. ხუნწიდან სამხრეთ-დასავლეთით ის იცვლება დასავლეთ საქართველოს ზედა ფორამინიფერებიანი ჰორიზონტისათვის დამახასიათებელი თიხიანი მყრაველებით, რომელიც ჯერ კიდევ აბაშის ხეობაში კარგავენ *Pycnodonta* და *Ostrea*-ს.

ანალოგიური მოვლენა შეიძლება შეგამჩნიოთ დასტის ზედა შრის გავრცელებაზე, იმ განსხვავებით, რომ ეს შრე ს. ხუნწის სამხრეთ-დასავლეთით თანდათან იცვლება ჯერ თიხიანი გლაუკონიტიანი მერგელების ფაციესით, ხოლო შემდეგ კარბონატული თიხებით. გლაუკონიტიანი მერგელების შრეში (1 მ) რომელიც განლაგებულია უშუალოდ ზედა ეოცენის მერგელებზე, ს. ს. სალხინოს, ბარდას, სკურდის, ბეთლემისა და სერგიეთის მიდამოებში, ჩვენ და გ. გუჯაბიძემ (1954 წ.) შევაგროვეთ შემდეგი ქვედა ოლიგოცენური ფაუნა: *Arca (Batiarea) saxonica* Koen., *Cryptodon unicarinatus* Nyst, *Crepidaria variocostata* Korobk., *Nucula compta* Goldf., *Dentalium novaki* Koenen., *Planorbella* sp. (განსაზღვრა ი. კაჭარავამ).

ს. ს. სალხინოს, სკურდისა და ბეთლემის მიდამოებში ფაუნის ამ ას ოციაციაში ჩვენ ვიპოვეთ თხელ ნიჟარებიანი ცუდად დაცული მცირე ზომის *Pyrenodonta* და *Ostrea*-ს. ეს ფორმები სავსებით ისპობიან დასტის ზედა შრის თიხიან ფაციებში, რომელიც სამეგრელოს უფრო დასავლეთ რაიონებსა და აფხაზეთში ხალუმის ჰორიზონტის მდიდარ ფაუნას 'მეოცავს, მათ შორის პლანორბელებსაც. მაგრამ ამ ჰორიზონტის ქვიშაქვეიანი ფაციესი აღმოსავლეთ სამეგრელოსა და იმერეთში (ოკრიბის აზვების სამხრეთი ფრთა) არ შეიცავს პლანორბელებს ან სხვა ოლიგოცენური დროის რაიმე სახელმძღვანელო ფორმას. ამავე დროს დეტალურმა დაკვირვებამ გვიჩვენა, რომ *Pyrenodonta* და *Ostrea*-ს დაქნინებული ფორმები გეხვდება მდ. ცხენისწყლის ხეობის ოლიგოცენური ასაკის სპონგოლითური და გლაუკონიტიანი ქვიშაქვების ჰორიზონტის ქვედა ნაწილიც.

ხადუმის კარბონატულ თიხებს სამეგრელოში (მისი აღმოსავლეთ ნაწილის გამოქლებით) თანხმობით მოსდევს ხადუმსზედა შრეები, წარმოდგენილი ერთგვაროვანი მუნჯი, არაკარბონატული ყავისფერი, ფურცელი მაიკობური თიხებით, თევზების უამრავი ქერცლით, იაროზიტისა და თაბაშირის ზედა-პირული გამონაყოფებით, სიდერიტის და მერგელების ლინზებითა და კონკრეციებით, რომელთაც ცენტრული სამეგრელოს დეპრესიის ჩრდილო ფრთაზე ემატება კიდევ ალევროლითებისა და წვრილმარცვლოვანი ქვიშაქვების თხელი შუაშრეებიც.

ხადუმსზედა შრეების სიმძლავრე მერყეობს რამდენიმე ათეული მეტრიდან (ეკის მთის სამხრეთ ფერდობზე) 300 მეტრამდე სამეგრელოს ქედის სამხრეთ შერიცერის გასწვრივ, ცენტრული სამეგრელოს დეპრესიის ჩრდილო ფრთზე, სადაც ის, ისევე როგორც აფხაზეთსა (ს. კვეზანთან) და ლეჩხუმში (ს. ორბელთან), სავსებით თანხმობითა განლაგებული ფაუნისტურად დახასიათებულ ხადუმისა და სეყარაულოს ჰორიზონტებს შორის. ხადუმის ჰორიზონტის დახასიათება ზევით იყო ბოყვანილი, რაც შეეხება საყარაულოს ჰორიზონტს, ის ს. ს. კვეზანის, ჯგალის, ორბელისა და ჭკუმის მიდამოებში წარმოდგენილია თიხიან-ქვიშაქვეიანი ნალექებით და შეიცავს უთუოდ ქვედა მიოცენურ მაკრო და მიკროფაუნას, მათ შორის *Pectunculus deshayesi* Mayer. და *Non ion saka-raulensis* Djan.

მოყვანილი მასალის ანალიზი საშუალებას გვაძლევს სამეგრელოსა და მისი მოსაზღვრე რაიონების ხადგინის ჰორიზონტის ნალექები ქვედა ოლიგოცენს მივაკუთვნოთ. რადგანაც საყარაულოს ჰორიზონტი ლ. დ ა ვ ი თ ა-შვილის [9], ი. კორობკოვის [10], გ. ხარატაშვილის, ბ. უიქენი ნ-კოსა და რიგი სხვა მკვლევრების მონაცემებით ეკუთვნის ქვედა მიოცენს (ბურდიგალური სართული და აქვიტანური?), თუ მივიღებთ მხედველობაში მაიკოპური წყების სედიმენტაციურ უშვევეტობას, უნდა ვიგულისხმოთ, რომ ხადუმსხედა შრეების ასაკი ძირითადად შუა და ზედაოლიგოცენურია.

მაიკოპური წყების ლითოფაციისთა და სიმბლავრეთა განაწილების კანონზომიერება, რაც მცირდოდაა დაკავშირებული ტექტონურ მოვლენებთან, მიგვითოთებს ბოლოვინიანი ზონისა და ქველამიოცენური ნალექების რეგრესულობაზე, მათინ როცა ოლიგოცენური ნალექები ტრანსგრესიულნი ჩანან.

მრავალი ჭრილის შესწავლის და მთამა ურთიერთდაკავშირებამ გამოავლინა ოლიგოცენური ფაუნის მცირდო კავშირი ნალექების ფაციესურ განაწილებასთან. ზედა ეოცენიუმან გადმოსული ფორმები *Pycnodonta bronniarti* Bron. და *Ostrea queteleti* Nyst, როგორც ეს აღმოსავლეთ სამეგრელოსა და რაჭის მაგალითებიდან ჩანს, შედარებით კარგად გრძნობდნენ თავს ქვედა ოლიგოცენის საწყისის ქვიშიანი მერგელებისა და კარბონატული ქვიშაქვების ფაციესებში, მაგრამ უკანასკნელა თიხიანი მერგელებით შეცვლას ვერ შეგვავნენ. ამასთან თიხიანი მერგელებისა და კარბონატული თიხების ფაციესებში ვხვდებით ქვედა ოლიგოცენისათვის დამხასიათებელ სხვა ფორმებს, რომელთა შორის ყველაზე გავრცელებულია პლანორბელებშია; უფრო ზევით განლაგებულ ტიბობრივ მაიკოპური თიხების ფაციესში, რომელიც იუზის გოგირდშავლადით მოწამვლის პირობებშია დალექილი, ფაუნა, თევზის ნამთების გამოკლებით, არ ჩანს.

ანალიგიური ტიბობრივი მაიკოპური თიხებითაა წარმოდგენილი (ხადუმის ჰორიზონტის გამოკლებით) მთელი გაიკაბური წყება ეკის მთას სამხრეთ კალთაზე. მაიკოპური წყების პირველადი სიმბლავრე სამეგრელოს ამ სამხრეთ რაიონში 100—150 მ არ აღვმატება. სრულ ჭრილებში ის თანხმობით იფარება თარხნული ჰიანზონტია. უკანასკნელა წარმოდგენილა თახიან-მერგელოვანი დასტრით (0,5—2 მ), ხოლო კურიორტ მენტანი, მდ. ცივის კალაბოტიში. მოთეთრო მერგელის შრით (0,5 მ). ეს შრე გ. გუჯაბიძის [11] მიერ შეცდიმითაა მიღებული ტრანსგრესიული მეოტური სართულის ფუძის ბრექჩიალ, რომელიც თიქოს მაიკოპური წყების ქვედა ნაწილზეა უთანხმოდ განლაგებულა, მათი როკა ცრიპალუ, რომ მენჯის ჭრალშა ქვედა და მიოცენურიც არსებობს თარხნულის ქვებ.

მაიკოპური წყების, კერძოდ მისი ქვედა (ან ოლიგოცენური) ნაწილის სიმბლავრის მცენარი შემცატებას სამეგრელოს სამხრეთ ნაწილის სრულ ჭრილებში, რიგი ავტორების [3,4,11,12] მოსაზრების საწინააღმდეგოდ, პირველადი ხასიათი იქნება. რაც წყებება გარაუზს ხშელეთის არსებობის შესახებ კოლხიდის ველის ფარგლებში ოლიგოცენ-მიოცენის განმავლობაში, უნდა აღვნიშნოთ, რომ ეკის მთასა და უჩათას ფურზაბებშე გამიშვლებულ მაიკ-

პური წყების ჭრილებში არ იგრძნობა ხმელეთის სიახლოვე სამხრეთით, რა თქმა უნდა, ამ წყების ტრანსგრესიული ფუძის ქვიშაქვისა და მიკრობრექჩიის თხელი შრის გამოკლებით.

უნდა ვიფიქროთ, რომ კოლხიდის დაბლობი ოლიგოცენისა და ქვედა მიოცენის განმავლობაში საქართველოს ბელტის დასევლეთ ნაწილს წარმოადგენდა, რომელმაც მეზობლად მდებარე გურიისა და ცენტრული სამეგრელოს დეპრესიებთან განსხვავებით უმნიშვნელო დაძირვა განიცადა და ამიტომ მასზე მაიკოპური წყება მცირე სიმძლავრის თიხების ფაციესში დაიღექა.

საქართველოს სახალხო მეურნეობის საბჭო

ტრესტი „საქნავთობი“

(რედაქციას მოუვიდა 5.1.1960)

დამოუბნელი ლიტორალური

1. Н. С. Шатский. О надвигах восточной части Черных гор на Северном Кавказе. Бюлл. МОИЦ, нов. сер., т. 33, № 3—4, 1925.
2. А. И. Джанелидзе. К вопросу о геологическом строении центральной части Мегрелии. Сообщ. АН ГССР, т. II, № 3, 1941.
3. М. Ф. Дзвелая. Схема стратиграфии майкопских отложений Мегрелии. Бюлл. треста „Грузнефть“, 1—2, 1947.
4. А. В. Ульнов. Геологическая история Западной Грузии в третичное время. Труды Инст-та Нефти АН СССР, 1954.
5. Б. Ф. Месферт. Геологическое исследование в Мингрелии. Труды ГГРУ, вып. 64, 1931.
6. Е. К. Вахания. Стратиграфия и фации майкопской свиты и смежных горизонтов междууречья Абаша и Цхенис-Цкали (Зап. Грузия). Труды ГПИ им. Кирова, Горно-геол. журн., № 3 (33), 1955.
7. Е. К. Вахания. О присутствии хадумского и сакараульского горизонтов в Рачинско-Лечхумской депрессии. Труды ГПИ им. Кирова, Горно-геол. журн. № 3 (38), 1955.
8. И. В. Кацарава. Рачинско-Лечхумский бассейн и смежные районы в палеогеновое время. Труды АН ГССР, сер. геол., т. II (УП), 1944.
9. Л. Ш. Давиташвили. О стратиграфическом положении Коцахурских слоев. Труды НГРИ, 1933.
10. И. А. Коробков. О возрасте сакараульского горизонта. ДАН СССР, т. XX, № 2, 1939.
11. Г. Е. Гуджабидзе. Новые данные о геологическом строении Экской антиклинали. Сб. трудов Геол. инст. АН ГССР, 1959.
12. А. Г. Лалиев. К вопросу геотектонической природы и истории геологического развития Колхидской низменности. Труды Геол. инст. АН ГССР, сер. геол. т. X (XV), 1957.

გეოლოგია

მ. კოტეტიშვილი

**ახალი მონაცემები ძირულის მასივის პრიცენტის გვედა-
ცარცული ნალექების სტრატიგრაფიის შესახებ**

(წარმოადგინა აკადემიკოსმა ი. კაჭარავამ 16.6.1960)

ძირულის მასივის პრიცენტის გვედაცარცული ნალექები ცალკეულ სინკლინებშია შერჩენილი და ლიკალური გავრცელებით სარგებლობს; ისინი მრავალი მცვლევრის [1, 2, 4, 5, 6, 7, 8, 9, 10] მიერ არის შესწავლილი. 1958—59 წწ. მუშაობა მოვისწდა ამ ნალექების სტრატიგრაფიის დასახუსტებლად ახალი მასალების საფუძველზე. წინამდებარე წერილში მოქლედ ვეხებით ახლად მო-პოვებულ ფაქტებს, რომლებიც დღემდე არ იყო ცნობილი.

გვედაცარცული ნალექები შესწავლილი იყო ხარაგოულის და მოლითის სინკლინებში, ჭიათურა-საჩხერის ზოლში და წითელი კლდის სინკლინში (სოფ. მუხურის მიდამოები). ძირულის მასივის ჩრდილო პრიცენტიაზე და წითელი კლდის სინკლინში გვედაცარცული ნალექები იწყება კვარციან-არკოზული ქვიშაქვების დასტით, რომელსაც ზევით შეებრუივი კირქვები მოჰყვება. ეს დასტები ფართოდ არის გავრცელებული საქართველოს ბელტზე ცარცული სისტემის ფუძეში; კირქვებში გეხვდება მუცელთფეხიანები და იშვიათად ამონიტები, რომლებიც ამ დასტის ვალანჯინურ ასაკს მოწმობენ. ფაუნისტურად და აგრეთვე სტატიგრაფიული მდებარეობით ორივე დასტა ვალანჯინურ-ჰო-ტრიგულად არის დათარიღებული. თვით კვარციან-არკოზულ ქვიშაქვებში კი დღემდე ფაუნა არ იყო ცნობილი. ჩვენ მიერ აღნიშნულ დასტაში მუხურის გადასასვლელზე ნაპოვნია მუცელთფეხიანებისა და ორსაგდულიანების ფაუნა: *Natica laevigata* (Desh.) d'Orb., *Trochus* sp., *Cerithium* sp. და გვარ *Cyrena*-ს რამდენიმე ათეული წარმომადგენელი. (ჩვენს ხელთ იყო აგრეთვე ორ-საგდულიანების ფაუნა ინჯ.-გეოლ. რ. ლევინიძის კალექციიდან, აღმდებული ამავე ადგილებში). პირველი მუცელთფეხიანი ქვედანეოკარბონია; რაც შეეხება ორსაგდულიანებს, ამ გვარის წარმომადგენლები დღემდე არ იყვნენ ცნობილი საქართველოს ქვედაცარცულ ნალექებში. ჩვენს მასალაში ამ გვარის 2 ახალი სახე გამოიყოფა. უნდა აღინიშნოს, რომ ეს სახეები ძალიან ახლოს დგანან საფრანგეთისა და შეეიცარის ვალანჯინურ-ჰოტრიგულ *Cyren*-ებთან, (ამგვა-რად, ნაწილობრივ ეს მსგავსება იძლევა საფუძველს, რომ ეს ფორმები ვალან-ჯინურ-ჰოტრიგულად ჩავთვალოთ, უფრო კი შემცველი დასტის სტრატიგ-რაფიული მდებარეობა და ქვედანეოკარბონი მუცელთფეხიანის არსებობა ადასტურებს ამ ფაუნის აღნიშნულ ასაკს).

ზევითმდებარე კირქვების დასტაში ფაუნა არ მიპოვნია.

ვალანჯინურ-ჰოტრივულს ამ ადგილებში თანხმობით მოჰყვება ბარემული, წარმოდგენილი ურგონული კირქვებით. ამ კირქვებში ცნობილია რუდისტებისა და მხართფეხიანების ფაუნა [2,7]. ჩვენ მათში ვაბონეთ არი გარემონტი, რომლებიც საქართველოს ცარცულ ნალექებში არ იყო დღემდე ცნობილი. ესენია *Eugyra interrupta* From. და *Chaetetidae*-ს წარმომადგენელი (განსაზღვრა ნ. ბენდუქეძისა).

ძირულის მასივის სამხრულ პერიფერიაზე ბარემული ნალექები ტრანსგრესიულად არის განლაგებული ძირულის მასივის კრისტალურ ქანებსა და ბაიოსის პორფირიტულ წყებაზე. ბარემული ნალექები იწყება ფუქსის კონგლომერატით (4–5 მ), რომელზედაც ცემლებადი სიმძლავრის შრებრივი კირქვებია განლაგებული (2–5 მ); მათ ზევით მოჰყვება ურგონული კირქვები (10–30 მ) და შემდეგ შრებრივი კირქვები ეგზოგირებით (5 მ). უკანასკნელი დასტა ბარემულის სულ ზედა ნაწილს წარმოდგენს. მდ. კვადაურის ხეობაში ამ დასტაში ეგზოგირებთან ერთად ნაბოვნია ზედაბარემული ფორმა *Matheronites soulieri* Math. უშუალოდ ამ დასტას თავზე განლაგებულ კირქვიან მერგელებში უკვე კოლხიდიტესები გვხვდება. ამავე შრებში ხშირია *Matheronites khwamliensis* Rouch. ეს გარემოება იმ მხრივ არის საყურადღებო, რომ ზოგი გეოლოგის აზრით (ლუპოვი, დრუშჩიცი) კოლხიდიტესებიანი პორიზონტი ზედა ბარემულს უნდა შეიქუთხონს, რაღაც კოლხიდიტესებთან ერთად *Matheronites* არის გავრცელებული. ამ ჭრილში კი ნათლად ჩას, რომ შრეები *Matheronites soulieri* Math.-ით სტრატიგრაფიულად გამიჯნულია კოლხიდიტესებიანი შრეებისაგან.

აბტური ნალექები თითქმის ყველგან თანხმობით მოჰყვება ბარემულს. ისინი ჩვეულებრივ წარმოდგენილია თხელშრეებრივი კირქვიანი მერგელებით (20–30 მ); ალაგ შერგელები მეტ-ნაკლებად თანხიანია, მაგ., მდ. ჩხერიმელის ხეობაში, ალაგ კი—სოფ. ღორეშისა და წიფის მიდამოებში—შეიმჩნევა მათი გამდიდრება ქვიშის მასალით. ეს უკანასკნელი გარემოება შესაძლებელია ნაპირის შედარებით სიახლოეს შოასწვევებდეს.

აბტური სართული კარგად არის დახასიათებული ფაუნისტურად, განსაკუთრებით მისი ქვედა ნაწილი. ჩვენი მასალებით დასტურდება იმ ზონების არსებობა, რომლებიც აქ წინათ იყო დადგენილი [7]. ჩვენს მასალაში ქვედა აბტურის ქვედა—*Colchidites securiformis*-ის ზონა წარმოდგენილია შემდეგი ფაუნით: *Colchidites rionensis* Rouch., *C. rotundus* Djan., *C. (Imerites) sparcicostatus* Rouch., *Argrethites laschensis* Rouch., *A. minor* Rouch., *Matheronites khwamliensis* Rouch. ქვედა აბტურის შეორე ზონა—*Deshayesites deshayesi* Leym., *Cheloniceras cornueli* d'Orb. და სხვ. ამავე ზონისათვის არის დამახასიათებელი *Dufrenoya dufrenoyi* d'Orb., რომელიც ნაყარშია ნაბოვნი. ზედა-აბტურში ფაუნა ნაკლებია, გვხვდება *Zürcherella zürcheri* Jac. და ზოგიერთი არადამახასიათებელი ფორმა.

ალბური ნალექები გავრცელებულია წითელი კლდის სინკლინია და ძირულის მასივის სამხრულ პერიფერიაზე. ეს ნალექები თანხმობით არის განლაგებული აპტურზე. ალბურის ფალიერები და ფაუნა საკმაოდ მრავალფეროვანია.

მდ. კვადაურის ხეობაში ქვედაალბური ნალექები წარმოდგენილია თხელ-შრებრივი თიხიანი მერგელებით, რომელთა ზედა ნაწილში ტუფოგენური ქანები გამოერევა. თიხიან მერგელებში ქვედა ალბურის ორი ზონი გამოიყოფა: *Acanthoplites nolani*-ს ზონა, რომელიც წინათ იყო დადგენილი [7] და *Hypacanthoplites jacobi*-ს ზონა, რომელიც ჩვენი მასალის საფუძველზე დგინდება შემდეგი ფაუნით: *Hypacanthoplites aff. sarasini* Collet, *H. tscharlokensis* Glas., *Hypacanthoplites* sp. ind. და სხვა.

მოლითის მიღამოებში, სადაც ქვედა ალბური მთლიანად გულკანოგენური წყებით არის წარმოდგენილი, ორი ზონა გამოიყოფა: *Leymeriella tardifurcata*-ს ზონა, რომელიც დგინდება ჩვენ მიერ ნაპოვნი *Leymeriella bogdanovitschi* (Natzki) Glas. var. *angustumbilicata* Glas.-ს საფუძველზე და *Dourvilleiceras mammilatum*-ის ზონა, რომელიც წინათ იყო დადგენილი [2].

შუა და ზედა ალბური მდ. კვადაურისა და ჩერიმელის ხეობებში წარმოდგენილია ე.წ. გლაუკონიტიანი ქვიშაქვების წყებით [2,3]. ჩვენი დაკვირვებით, ეს წყება, სიმძლავრით 60—100 მ, შედგება თიხიანი მერგელების, ალევროლიტებისა და გლაუკონიტიანი ქვიშაქვების მორიგეობით; ამ დასტის ქვედა ნაწილში მდ. კვადაურის ხეობაში ჩვენ მიერ ნაპოვნი ფაუნა: *Kossmatella agassizi* Pict., *Latidorsella* cf. *latidorsata* Mich., *Hamites turgidus* (Sow.) var. *robusta* Spath., *Actinoceramus sulcatus* Park. შუა ალბურის *Kossmatella renucoreensis*-ისა და *Neohibolites minimus*-ის ზონის არსებობას მოწმობს.

ზემოაღნიშნული დასტის ზედა ნაწილი უკვე ზედა ალბურს მიეკუთვნება. მდ. კვადაურის ხეობაში ამ ნალექებში ნაპოვნია *Hysteroceras orbignyi* (Spath) და რამდენიმე მეტრით ზევით (ჭრილში) *Pervinquieria pricei* (spat.) var. *intermedia* spat. აღსანიშნავია, რომ საფრანგეთში ზედა ალბური ორ ზონად ნაწილდება: 1. *Dipoloceras cristatum*-ისა და *Hysteroceras symmetricum*-ისა და 2. *Pervinquieria pricei*-სა და *Hysteroceras carinatum*-ის ზონებად. მეორე ზონის შესატყვისის არსებობა ამ ჭრილში უდავოა. რაც შეეხება *Hysteroceras orbignyi* (Spath)-ს, ეს ფორმა ორივე ზონაში გხხვდება, მაგრამ უფრო ქვედასათვის არის დამახსიათებელი. იქნებ ეს ფორმა აქაც ქვედა ზონის გამომხატველი იყოს, მით უმეტეს, რომ მის შემცველ შრეებში ამ სახის მრავალი წარმომადგენელი გვხვდება. მაგრამ ეს ჯერ-ჯერობით სავარაუდო მოსაზრებაა.

წითელი კლდის სინკლინში ალბური წარმოდგენილია თიხიანი მერგელებით, რომელიც ჩვენი მასალის საფუძველზე—*Acanthoplites cf. multispinatus* Anth. და სხვა—ქვედა ალბურს მიეკუთვნება. ამ დასტის ზევით მოყვება სენომანური გლაუკონიტიანი ქვიშაქვები (8 მ), რომელშიც ჩვენ მიერ მოგროვებულია: *Neohibolites minimus* List., *N. minimus* List. var. *oblonga* Stol., *N. aff. subtilis* Krim., *N. stylioides* Rennig. აღნიშნული ფორმებიდან

ზოგი შუა ალბურისათვის არის დამახასიათებელი, ზოგი ზედა ალბურისათვის. რადგან ამ რაიონში ცნობილია სენომანურის ტრანსგრესია, შეიძლება და-ვუშვათ, რომ ბელემნიტები მეორეულ განლაგებაშია, თუმცა გადარეცხვის ნი-შნები მათ არ ეტყობათ. ეს გარემოება შესაძლოა დასტურებს ზოგიერთი მკვლევრის აზრს (შ. გეგუჩაძე, 1959), რომ აյ შუა და ზედა ალბური სენომა-ნურის ტრანსგრესიით არის გადარეცხილი.

საქართველოს სსრ მეცნიერებათა აკადემია

გეოლოგიური ინსტიტუტი

თბილისი

(რედაქციას მოუვიდა 16.6.1960)

დამოუმუშო ლიტერატურა

1. ვ. გამყრელიძე, ს. ჩიხელიძე. ძირულის ხეობის ნაწილის გეოლოგიისათვის. საქ. გეოლ. ინსტ.-ის მოამბე, ტ. 1, ნაკვ. 2, 1933.
2. П. Д. Гамкрелидзе. Геологическое описание долины рр. Дзиуры и Чхери-мели. Вестник Геологического инст. Грузии, т. 1, в. 2, 1933.
3. П. Д. Гамкрелидзе. Геологическое строение Аджаро-Триалетской складчатой системы. АН ГССР. Инст. геологии и минералогии. Монография № 2, 1949.
4. А. И. Джанелидзе. Геологические наблюдения в Окрибе и в смежных частях Рачи и Лечхума. Из-ство Груз. филиала АН СССР. Тбилиси, 1940.
5. Б. Ф. Мифферт. Геологический очерк области проектируемых мощных гидроэлектрических станций Грузии в бассейне Ингуре, Цхенис-Цхали, Риона и Куры. Тр. Всесоюзн. Г.-Р. Объединения, вып. 349, Ленинград, 1934.
6. С. Симонович, А. Сорокин, Л. Бацевич. Геологическое описание частей Кутаинского и Шорапанского уездов Кутаинской губернии. Мат. для геологии Кавказа, т. V, 1874.
7. М. С. Эристави. Грузинская глыба в нижнемеловое время. Труды геологического инс. АН ГССР, геологическая серия, т. VI (XI), 1952.
8. H. A bie h. Prodromus einer Geologie der Kaukasischen Länder. st. Peterburg, 1858.
9. M. Breistroffer. Sur les zones d'ammonites dans l'albien de France et d'Angleterre. Tr. du labor. de Géologie de la fac. des sciences de l'Université de Grenoble, t. XXVI, 1947.
10. E. Favre. Recherches géologiques dans la partie centrale de la chaîne du Caucase. Genève, 1875.

სამუნებლო ცაშვე

გ. ბასტატისძი

შეაფრიული ფილის ანგარიში 3. ვლასოვის ვარიაციული
მეთოდით

(წარმოადგინა აკადემიკოსმა ო. ონიაშვილმა 4.2.1961)

შეაფრიული ფილები-ბრტყელკონტურიანი ორმაგი სიმრუდის თხელი დამრეცი გარსებია, რომლებიც წარმოდგენილია ი. შტაერ მანის მიერ [1, 2]. ამგვარმა ფილა-გარსებმა მხოლოდ გაჭიმვაზე მომუშავე კონტურით შეიძლება ფართო მოხმარება პპოვონ, თუ მათ არმოცემენტში შევასრულებთ. წინამდებარე შრომაში მოყვანილია ამგვარი გარსების ანგარიში ვ. ვლასოვის დამრეცი გარსების მომენტური ტექნიკური თეორიის საფუძველზე [3].

გარსის შუა ფართეული (ფიგ. 1) დეკარტის კოორდინატებში შეიძლება გამოვსახოთ ანალოგიურად [4]-ში მო-
ცემული ტოლობისა

$$\zeta = \frac{16f}{a^2 b^2} x(a-x)y(b-y),$$

საღაც a და b ($a \leq b$) გადასახურავი ფართის ზომებია, f -შეაფრიული ფილის ცენტრის შემაღლების ისარი.

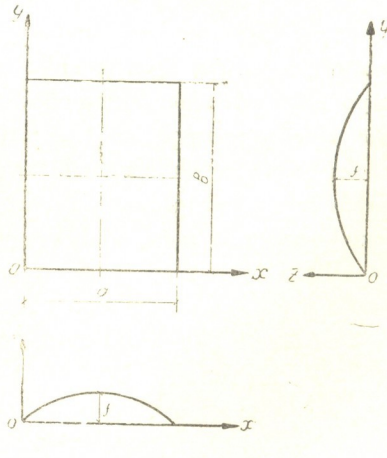
ამ ტექნიკური თეორიის ძირითადი დიფერენციალური განტოლებები დეკარტის კოორდინატთა სისტემაში მოცემულია [5, 6]-ში. ეს განტოლებები კოორდინატთა მარჯვენა სისტემის ღროს იღებს სახეს

$$\left. \begin{aligned} \frac{I}{Eh} \nabla^2 \nabla^2 \varphi - \nabla_k^2 w &= 0, \\ \nabla_k^2 \varphi + D \nabla^2 \nabla^2 w - Z &= 0. \end{aligned} \right\} \quad (1)$$

აქ ∇^2 და ∇_k^2 სიმბოლოებით აღნიშნულია მეორე რიგის დიფერენციალური ოპერატორები

$$\nabla^2 = \frac{\partial^2}{\partial x^2} + \frac{\partial^2}{\partial y^2},$$

$$\nabla_k^2 = k_x \frac{\partial^2}{\partial y^2} + k_y \frac{\partial^2}{\partial x^2} - 2 k_{xy} \frac{\partial^2}{\partial x \partial y};$$



ფიგ. 1

k_x და k_y კონსტრუქციის ორტოგონალური კვეთების სიმრუდეებია, k_{xy} — ფართეულის გრეხვის „სიმრუდე“.

როგორც ო. ონიაშვილმა გვაჩვენა [7], ამ უკანასკნელის მხედველობაში მიღება ორმაგი ცვალებადი სიმრუდის გარსებისათვის არსებით გავლენას ახდენს კონსტრუქციის მუშაობაზე.

ჩვენ შემთხვევაში აღნიშნული სიმრუდეები მიახლოებით შემდეგი ფორმულით გამოვსახოთ:

$$k_x = \frac{32 f y (b - y)}{a^2 b^2}, \quad k_y = \frac{32 f x (a - x)}{a^2 b^2},$$

$$k_{xy} = \frac{16 f}{a^2 b^2} (a - 2x) (b - 2y).$$

ანგარიში ჩატარებულია მთლიან თანაბრად განაწილებულ დატვირთვის — გ შემთხვევაში, რომელიც ყველაზე უფრო ხშირად გვხვდება სამოქალაქო და სამრეწველო მშენებლობაში.

ამოცანის სასაზღვრო პირობებია:

როდესაც

$$x = 0, a; \quad w = 0, \quad M_x = 0, \quad N_x = S = 0;$$

როდესაც

$$y = 0, b; \quad w = 0, \quad M_y = 0, \quad N_y = S = 0.$$

დიფერენციალური განტოლებების (1) ინტეგრება ჩატარებულია ვ. ვლასოვის ვარიაციული მეთოდით [3]. ამ უკანასკნელის გამოყენება ორმაგი ცვალებადი სიმრუდის გარსების მიმართ საშუალებას გვაძლევს მივიღოთ ეფექტური გადაწყვეტილებები [7].

თუ გავითვალისწინებთ (1) გამოსახულებათა ფიზიკურ შინაარსს და მოვახდეთ პირველის ვარიარებას ძაბვათა ფუნქციის $\varphi(x, y)$, ხოლო მეორე ჩაღვნების ფუნქციის $w(x, y)$ საშუალებით, მივიღებთ შემდეგ ვარიაციულ განტოლებებს:

$$\left. \begin{aligned} \iint_F L_1 \delta \varphi \, dx \, dy &= 0, \\ \iint_F L_2 \delta w \, dx \, dy &= 0, \end{aligned} \right\} \quad (2)$$

სადაც

$$L_1 = \frac{I}{Eh} \nabla^2 \nabla^2 \varphi - k_x \frac{\partial^2 w}{\partial y^2} - k_y \frac{\partial^2 w}{\partial x^2} + 2 k_{xy} \frac{\partial^2 w}{\partial x \partial y},$$

$$L_2 = k_x \frac{\partial^2 \varphi}{\partial y^2} + k_y \frac{\partial^2 \varphi}{\partial x^2} - 2 k_{xy} \frac{\partial^2 \varphi}{\partial x \partial y} + D \nabla^2 \nabla^2 w + q.$$

ძაბვის ფუნქცია φ და ნორმალური ჩანალუნი w მივიღოთ, [7]-ის თანახმად, შემდეგი მწერივების სახით:

$$\left. \begin{aligned} \varphi &= \sum_m \sum_n A_{mn} \varphi_{mn}, \\ w &= \sum_m \sum_n B_{mn} w_{mn}. \end{aligned} \right\} \quad (3)$$

რიცხვითი შეფასებისათვის, თუ დავკმაყოფილდებით პირველი მიახლოებით, ა. ვოლმირის [8] მიხედვით, (3) ფუნქციები მიიღებენ შემდეგ სახეს:

$$\left. \begin{aligned} \varphi &= A \left(\sin \frac{\lambda x}{a} - \operatorname{sh} \frac{\lambda x}{a} - \alpha \cos \frac{\lambda x}{a} + \alpha \operatorname{ch} \frac{\lambda x}{a} \right) \times \\ &\times \left(\sin \frac{\lambda y}{b} - \operatorname{sh} \frac{\lambda y}{b} - \alpha \cos \frac{\lambda y}{b} + \alpha \operatorname{ch} \frac{\lambda y}{b} \right), \\ w &= B \sin \frac{\pi x}{a} \sin \frac{\pi y}{b}, \end{aligned} \right\} \quad (3a)$$

სადაც

$$\lambda = 1,51 \pi \approx 4,73; \quad \alpha = 1.018.$$

ვარიაციული განტოლებების (2) ინტეგრალური ფორმების ანგარიში ჩატარებულია ლენინის სახელობის საქართველოს პოლიტექნიკური ინსტიტუტის უმაღლესი მათემატიკის კათედრასთან არსებულ გამომთვლელი ბიუროს მიერ.

ამის შედეგად მიღებულია ორი წრფივი ალგებრული განტოლებების შემდეგი სისტემა A და B კოეფიციენტების მიმართ:

$$\left. \begin{aligned} 537,4305 \frac{1}{Eh} \frac{a^4 + b^4}{a^3 b^3} + 324,5876 \frac{1}{Eh} \cdot \frac{1}{ab} A + 79,4540 \frac{f}{ab} B &= 0, \\ 2,0294 \frac{Eh^3}{1 - \gamma^2} \frac{(a^2 + b^2)^2}{a^3 b^3} B - 116,2824 \frac{f}{ab} A + 0,4053 qab &= 0, \end{aligned} \right\} \quad (4)$$

აქედან ვპოულობთ

$$A = \frac{qa^2b^2}{h} c_1, \quad (5)$$

$$B = -\frac{qa^4}{Eh^3} (1 - \gamma^2) c_2, \quad (6)$$

სადაც

$$c_1 = \frac{0,4053 \psi (1 - \gamma^2)}{13,7264 \gamma^4 + 13,7264 \frac{1}{\gamma^4} + 35,7431 \gamma^2 + 35,7431 \frac{1}{\gamma^2} + 44,0334 + 116,2824(1 - \gamma^2)\psi^2},$$

$$c_2 = \frac{2,7412 \gamma^4 + 1,6556 \gamma^2 + 2,7412}{13,7264 \gamma^4 + 13,7264 \frac{1}{\gamma^4} + 35,7431 \gamma^2 + 35,7431 \frac{1}{\gamma^2} + 44,0334 + 116,2824(1 - \gamma^2)\psi^2}$$

$$\psi = \frac{f}{h}, \quad \gamma = \frac{b}{a}.$$

$c_1, 2$ ජෝජිවිපියෙන් එයෙන් සාක්ෂිතා දේ මෙහෙයුම් ලිපියෙන් යොමු කළ අවස්ථාව නැත්තු ඇත. රැකිවූ ප්‍රාග්‍රහණය නිසු නොවූ ඇත.

ගාමන්‍යාච්‍යාලේදා (6) තාර්මානාදුගේ ප්‍රාග්‍රහණය නිසු නොවූ ඇත. මෙයින් ප්‍රාග්‍රහණය නිසු නොවූ ඇත. මෙයින් ප්‍රාග්‍රහණය නිසු නොවූ ඇත.

තුළ මෙවිස්මාරුත (4) සිස්ට්‍රේමාස, අවස්ථාව මෙවිලුද ප්‍රාග්‍රහණය නිසු ඇත මෙයින් ප්‍රාග්‍රහණය නිසු ඇත. මෙයින් ප්‍රාග්‍රහණය නිසු ඇත. මෙයින් ප්‍රාග්‍රහණය නිසු ඇත. මෙයින් ප්‍රාග්‍රහණය නිසු ඇත. (4) සිස්ට්‍රේමාස මෙවිස්මාරුත ප්‍රාග්‍රහණය නිසු ඇත. මෙයින් ප්‍රාග්‍රහණය නිසු ඇත.

දාකාඩුලු මෘදුකාංගනාධික ප්‍රාග්‍රහණය නිසු ඇත මෙයින් ප්‍රාග්‍රහණය නිසු ඇත. මෙයින් ප්‍රාග්‍රහණය නිසු ඇත.

1. ඊංගේනුරු මාලුව් දාලුව්

$$\left. \begin{aligned} N_x &= \frac{\partial^2 \varphi}{\partial y^2} = 22,3729 \frac{qa^2}{h} c_1 \left(\sin \frac{\lambda x}{a} - \operatorname{sh} \frac{\lambda x}{a} - \alpha \cos \frac{\lambda x}{a} + \right. \\ &\quad \left. + \alpha \operatorname{ch} \frac{\lambda x}{a} \right) \left(-\sin \frac{\lambda y}{b} - \operatorname{sh} \frac{\lambda y}{b} + \alpha \cos \frac{\lambda y}{b} + \alpha \operatorname{ch} \frac{\lambda y}{b} \right), \\ N_y &= \frac{\partial^2 \varphi}{\partial x^2} = 22,3729 \frac{qb^2}{h} c_1 \left(-\sin \frac{\lambda x}{a} - \operatorname{sh} \frac{\lambda x}{a} + \alpha \cos \frac{\lambda x}{a} + \right. \\ &\quad \left. + \alpha \operatorname{ch} \frac{\lambda x}{a} \right) \left(\sin \frac{\lambda y}{b} - \operatorname{sh} \frac{\lambda y}{b} - \alpha \cos \frac{\lambda y}{b} + \alpha \operatorname{ch} \frac{\lambda y}{b} \right), \\ S &= -\frac{\partial^2 \varphi}{\partial x \partial y} = -22,3729 \frac{qab}{h} c_1 \left(\cos \frac{\lambda x}{a} - \operatorname{ch} \frac{\lambda x}{a} + \alpha \sin \frac{\lambda x}{a} + \right. \\ &\quad \left. + \alpha \operatorname{sh} \frac{\lambda x}{a} \right) \left(\cos \frac{\lambda y}{b} - \operatorname{ch} \frac{\lambda y}{b} + \alpha \sin \frac{\lambda y}{b} + \alpha \operatorname{sh} \frac{\lambda y}{b} \right). \end{aligned} \right\} (7)$$

2. දුෂ්‍රිත දා ඊංගේනු මෙයින් එයෙන්

$$\left. \begin{aligned} M_x &= D \left(\frac{\partial^2 w}{\partial x^2} + \nu \frac{\partial^2 w}{\partial y^2} \right) = 0,8221 \left(1 + \frac{\nu}{\gamma^2} \right) q^2 a c_2 \sin \frac{\pi x}{a} \sin \frac{\pi y}{b}, \\ M_y &= D \left(\frac{\partial^2 w}{\partial y^2} + \nu \frac{\partial^2 w}{\partial x^2} \right) = 0,8221 \left(\nu + \frac{1}{\gamma^2} \right) q a^2 c_2 \sin \frac{\pi x}{a} \sin \frac{\pi y}{b}, \\ H &= - (1 - \nu) D \frac{\partial^2 w}{\partial x \partial y} = 0,8221 \frac{1}{\gamma} (1 - \nu) q a^2 c_2 \cos \frac{\pi x}{a} \cos \frac{\pi y}{b}. \end{aligned} \right\} (8)$$

ඩාකාඩු දාලුව්

$$\begin{aligned} -\sin \frac{\lambda x}{a} - \operatorname{sh} \frac{\lambda x}{a} + \alpha \cos \frac{\lambda x}{a} + \alpha \operatorname{ch} \frac{\lambda x}{a} &= 0, \\ -\sin \frac{\lambda y}{b} - \operatorname{sh} \frac{\lambda y}{b} + \alpha \cos \frac{\lambda y}{b} + \alpha \operatorname{ch} \frac{\lambda y}{b} &= 0. \end{aligned}$$

გამოითვლება სიმეტრიის ღრერძის გასწვრივ არსებული ორმხრივი კუმ-შეის შუა ზონის საზღვრები, რომელიც საკმარისი სიზუსტით გამოითვლება შემდეგ საზღვრებში:

$$0,224 a \leq x \leq 0,776 a; \quad 0,224 b \leq y \leq 0,776 b.$$

შემაღლების ისარი f , რომლის დროსაც მთელი ფართის გასწვრივ მოქმედი ღუნვისაგან გამოწვეული გამჭიმავი ძაბვები შეიძლება მიიღოს მხოლოდ ბეტონმა, გამოითვლება შემდეგი ფორმულით:

$$f \cong \sqrt{0,02823 \frac{q a^2}{R_p} d_1 - h^2 d_2}, \quad (9)$$

სადაც

$$d_1 = 2,7412 \gamma^4 + 2,1125 \gamma^2 + 0,4569 \frac{I}{\gamma^2} + 3,0171,$$

$$d_2 = 0,1214 \gamma^4 + 0,1214 \frac{I}{\gamma^4} + 0,3161 \gamma^2 + 0,3161 \frac{I}{\gamma^2} + 0,3894,$$

q —საანგარიშო დატვირთვა გარსზე,

R_p —საანგარიშო წინაღობა ბეტონის გაჭიმვაზე.

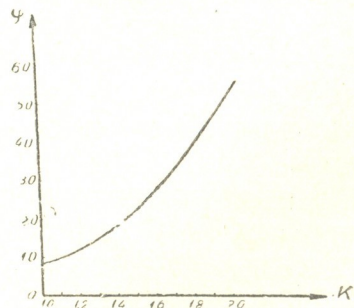
ფორმულა (9) სამართლიანია ფიგ. 2-ზე ნაჩვენები ტ-ს არანაკლები მნიშვნელობებისათვის. პრაქტიკულად ეს პირობა დაცულია. ამ ფორმულებით გათვალისწინებულია ნაწილობრივი გაბათილება შუა ზონაში ღუნვისაგან გამოწვეული გამჭიმავი ძაბვებისა ტანგენციალური კუმშვადი ძალვების მიერ.

ჩატარებული ანგარიშები გვიჩვენებენ, რომ ჩვეულებრივი პრაქტიკული გეომეტრიული მახასიათებლების მქონე შეაფრული ფილებისათვის, ჩვეულებრივ დატვირთვებისა და ბეტონის მარკების შემთხვევებში შემაღლების ისარი f , რომელიც გამოითვლება (9) ტოლობიდან, შეიძლება არ იყოს

$\frac{I}{15} - \frac{I}{20} a$ -ზე მეტი. ეს მდგომარეობა, თუმცა არ გამოთიშვას გარსის შუა ზონის არმირებას, მაგრამ მიგვითითებს კონსტრუქციის მაღალ სიხისტეზე.

გარსის ცენტრში ტანგენციალური კუმშვადი ძალვებით და მომენტებით გამოწვეული მაქსიმალური მკუმშვადი ძაბვები გამოითვლება შემდეგი ფორმულებით:

$$\max \sigma_x \Big|_{\substack{x=0,5 \\ y=0,5}} a = \frac{N_x}{F} - \frac{M_x}{W} = - \frac{qa^2}{h^2} \left[44,7458 c_1 + \right. \\ \left. + 4,9326 \left(1 + \frac{\gamma}{\gamma^2} \right) c_2 \right], \quad (10)$$



ფიგ. 2

$$\max \sigma_y |_{\substack{x=0,5 \\ y=0,5}} = \frac{N_y}{F} - \frac{M_y}{W} = -\frac{qa^2}{h^2} \left[44,7458 \gamma^2 c_1 + 4,9326 \left(\gamma + \frac{1}{\gamma^2} \right) c_2 \right]. \quad (10)$$

ჯამური გამჭიმავი ძალვა კონტურის შუა ადგილებში, რომელიც განსაზღვრავს მუშა არმატურის კვეთს, იქნება

$$\left. \begin{aligned} N_x' &= \int_0^{0,224b} N_x|_{x=0,5} dy = 8,0594 c_1 \frac{qa^2 b}{h}, \\ N_y' &= \int_0^{0,224a} N_y|_{y=0,5} dx = \gamma N_x'. \end{aligned} \right\} \quad (11)$$

მხები ტანგენციალური ძალვები თავიანთ მაქსიმალურ მნიშვნელობას იღებენ წერტილში, რომლის კოორდინატებია $x = 0,224a$; $y = 0,224b$ და ამ წერტილის სიმეტრიულ სხვა წერტილებში.

ექსპერიმენტალური გამოკვლევები და დაკვირვებები უკვე აშენებულ შეაფრულ ფილებზე, გვიჩვენებენ, რომ აღნიშნული კონსტრუქციის თავისუფლად დაყრდნობილი პანელების სუსტ ადგილებს წარმოადგენენ კუთხის ზონები, სადაც იწყება გარსის ნგრევა დიაგონალური დზარების გაჩენასთან ერთად. ჩვენი ყურადღება გამახვილებულია გამჭიმავი ზონის სიგრძის გამოვლაზე და არსებული ჯამური გამჭიმავი ძალვის ანგარიშზე დიაგონალურ კვეთში.

აღნიშნოთ კუთხე დიაგონალის დაზრისა აბსციდისა დერძის მიმართ $\beta = \operatorname{arctg} \gamma$; ნორმალური ტანგენციალური ძალვის ინტენსივობა დიაგონალური კვეთის ნებისმიერ m წერტილში გამოითვლება დრეკადობის თეორიის ცნობილი ფორმულით

$$N_\alpha = N_x \sin^2 \beta + N_y \cos^2 \beta + 2 S \sin \beta \cos \beta.$$

შევიტანთ რა (12)-ში N_x , N_y , S და β შესაბამის მნიშვნელობებს, მივიყვანთ მას შემდეგ გამოსახულებამდე:

$$\begin{aligned} N_\alpha &= 22,3729 \frac{q}{h} c_1 \left[(a^2 \sin^2 \operatorname{arctg} \gamma + b^2 \cos^2 \operatorname{arctg} \gamma) \left(\sin \frac{\lambda x}{a} - \operatorname{sh} \frac{\lambda x}{a} - \right. \right. \\ &\quad \left. - \alpha \cos \frac{\lambda x}{a} + \alpha \operatorname{ch} \frac{\lambda x}{a} \right) \left(-\sin \frac{\lambda x}{a} - \operatorname{sh} \frac{\lambda x}{a} + \alpha \cos \frac{\lambda x}{a} + \alpha \operatorname{ch} \frac{\lambda x}{a} \right) + \\ &\quad \left. + ab \sin 2 \operatorname{arctg} \gamma \left(\cos \frac{\lambda x}{a} - \operatorname{ch} \frac{\lambda x}{a} + \alpha \sin \frac{\lambda x}{a} + \alpha \operatorname{sh} \frac{\lambda x}{a} \right)^2 \right]. \end{aligned}$$

რადგანაც

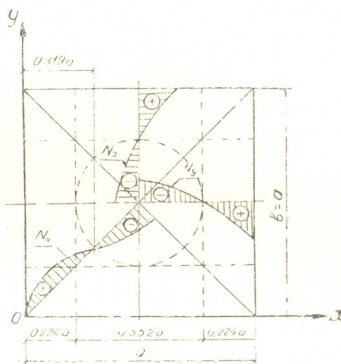
$$a^2 \sin^2 \operatorname{arctg} \gamma + b^2 \cos^2 \operatorname{arctg} \gamma \equiv ab \sin 2 \operatorname{arctg} \gamma$$

აბსცისა, რომელიც განსაზღვრავს გაჭიმული ზონის სიგრძეს დიაგონალურ კვეთში, არ არის დამოკიდებული γ -გან და უდრის $x=0,319 \text{ a.}$

გამჭიმავი ძალვის ჯამური სიღიდე დიაგონალურ კვეთში მოინახება ფორმულიდან

$$N_{\alpha'} = 9,71 c_1 \frac{qa^2 b}{h} \sin \operatorname{arctg} \gamma . \quad (13)$$

ფიგ. 3-ზე შეაფრული კვადრატული ფილის მაგალითზე ნაჩვენებია ტანგენციალური ნორმალური ძალვების ეპიურები სიმეტრიის ლერძებისა და დიაგონალის გასწვრივ.



ფიგ. 3

ანალიზი გვიჩვენებს, რომ კვადრატული შეაფრული ფილის კონტურთან არსებული ჯამური გამჭიმავი ძალვები ცენტრზე გამავალ კვეთებში ერთმანეთს უახლოვდებიან, ხოლო შეკუმშული შუა ზონის მოხაზულობა უახლოვდება წრიულს.

ა. ვ. ვინტერის სახელობის
ნაგებობათა და პიროვნერებულიერის
თბილისის სამეცნიერო-კვლევითი
ინსტიტუტი
თბილისი

(რედაქტურას მოუვიდა 4.2.1961)

დამოუმებული ლიტერატურა

1. Ю. Я. Штаерман. Вспарушенные плиты. Тбилиси, 1954.
2. Ю. Я. Штаерман и Б. Н. Бастатский. Изгиб вспарушенной плиты. М.—Л., 1960.
3. В. З. Власов. Общая теория оболочек. М.—Л., 1949.
4. В. Н. Шаишмелашивили. Расчет вспарушенной плиты методом конечных разностей. Труды научных корреспондентов Института строительного дела АН ГССР, II, 1958.



5. В. З. Власов. Некоторые задачи сопротивления материалов, строительной механики и теории упругости. Известия Академии Наук СССР. ОТН, № 9, 1950.
6. В. З. Власов. Пространственные облегченные конструктивные формы гидротехнических сооружений и методы их расчета. Известия АН СССР, ОТН, № 10, 1951.
7. О. Д. Ониашвили. Некоторые динамические задачи теории оболочек. М., 1957.
8. А. С. Вольмир. Гибкие пластинки и оболочки. М., 1956.

მნერგების

ა. ნოზაძე

ცვლადი დენის სარელსო წრედების გადასვლის წინაღობის
 განსაზღვრა

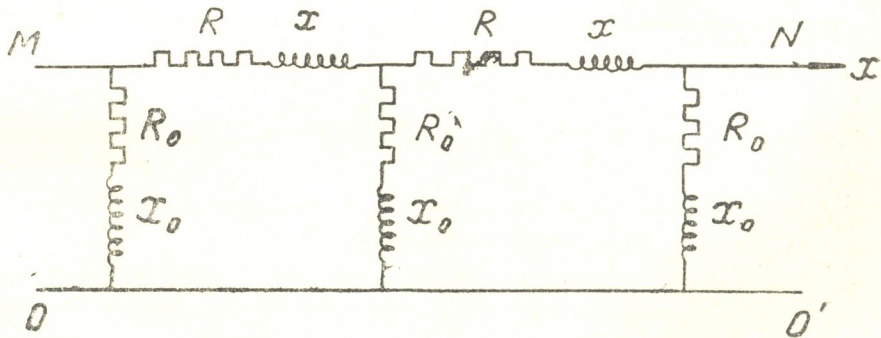
(წარმოადგინა აკადემიის წევრ-კორესპონდენტმა ლ. აბელიშვილმა 8.2.1961)

განვიხილოთ ცვლადი დენის სარელსო წრედების შენაცვლების სქემა
 (სურ. 1), სადაც

MN სარელსო ხაზია;

OO' —რელსილან დაშორებული მიწის წერტილების ერთობლიობა
 (ნულოვანი სადენი);

R , X , R_0 და X_0 —გრძივი და გადასვლის წინაღობის აქტიური და ინდუქცი-
 ური შემადგენლები.



სურ. 1

სურ. 1-ზე მოყვანილი სქემისათვის შეგვიძლია დავწეროთ პოტენცია-
 ლისა და დენის განაწილების განტოლებები კომპლექსურ სახეში

$$\dot{U}_x = m(Be^{-kx} - Ae^{kx}), \quad (1)$$

$$I_x = Ae^{kx} + Be^{-kx}, \quad (2)$$

სადაც,

$$k = \sqrt{\frac{Z}{Z_0}} = \sqrt{\frac{R + jX}{R_0 + jX_0}}, \quad (3)$$

და

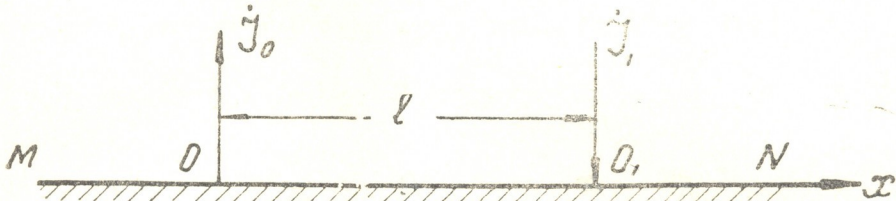
$$m = V \overline{ZZ_0} = V(R + jX)(R_0 + jX_0), \quad (4)$$

A და *B* ინტეგრების მუდმივებია,

x —მიმღინარე კოორდინატი.

დატვირთვის სხვადასხვა შემთხვევების დროს (1) და (2) განტოლებების გამოყენებით შეგვიძლია ვიპოვოთ დენისა და პოტენციალის განაწილება ცვლადი დენის სარელსო წრედებში.

ვთქვათ, გვაქვს უსასრულოდ დიდი სიგრძის სარელსო წრედის MN უბანი ორი ურთიერთ გამაწონასწორებელი შეყურსული დატვირთვით (სურ. 2), სადაც, მოძრავი შეყურსული I_0 დატვირთვა დაშორებულია უსასრულო მანძილით შემწოვი O წერტილიდან (ასეთი შემთხვევები ხშირია ცვლადი დენის ელექტრონების უბნებზე, როცა წევის ქვესადგურის საფიდერო ზონაში იმყოფება ერთი ელმავალი დაშორებული საკმაოდ დიდი l მანძილით შემწოვი წერტილიდან).



სურ. 2

მოვდოთ კოორდინატა სათავე O , უმწოვი ფიდერის მიერთების წერტილში.

I_0 და I_1 უმწოვი ფიდერის დატვირთვის და მოძრავი შეყურსული დატვირთვის დენების კომბლექსური მნიშვნელობებია.

(1) და (2) ფორმულებისა და სასაზღვრო პირობების გამოყენებით O წერტილისათვის შეგვიძლია დავწეროთ რელსის პოტენციალის განტოლება, დაშორებული მიწის მიმართ კომბლექსურ სახეში მოყვანილი დატვირთვის მყისა მნიშვნელობის დროს [1]

$$\dot{U}_0 \cong -\frac{\dot{I}_0 Z}{2k}, \quad (5)$$

საიდანაც,

$$k \cong -\frac{\dot{I}_0 Z}{2 U_0}. \quad (6)$$

კომბლექსური სიდიდეების შემადგენლების ჩასმით გვექნება

$$k = -\frac{(I_a + jL_r)(R + jX)}{2(U_a + jU_r)}, \quad (7)$$

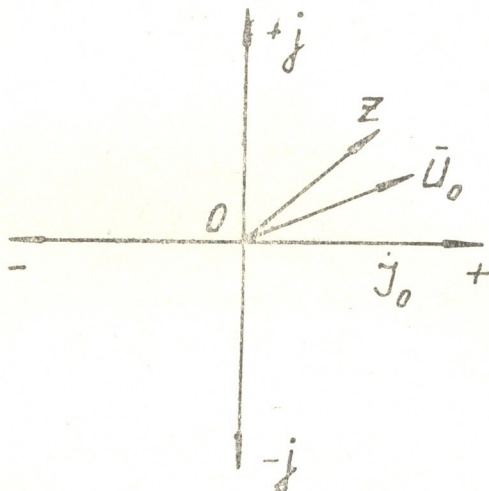
სადაც,

$$\dot{I}_0 = I_a + jI_r ,$$

$$\dot{Z} = R + jX ,$$

$$\dot{U}_0 = U_a + jU_r .$$

ავილოთ სწორკუთხა კოორდინატთა სისტემა კომპლექსურ სიბრტყეზე და მოვალეობით შემწოვი ფიზერის დენის ვექტორი დადებითი ნამდვილი ღერძის მიმართულებით (სურ. 3).



სურ. 3

ასეთ შემთხვევაში $I_r = 0$, ამიტომ

$$k = -\frac{I_a(R + jX)}{2(U_a + jU_r)} = -I_a \frac{U_a R + U_r X}{2 U_a^2} - j I_a \frac{U_a X - U_r R}{2 U_a^2} \quad (8)$$

(3) ფორმულიდან გვაქვს

$$k^2 = \frac{RR_0 + XX_0}{R_0^2 + X_0^2} + j \frac{R_0 X - RX_0}{R_0^2 + X_0^2} . \quad (9)$$

ალგებრუროთ:

$$k = P + jQ ,$$

ლ

$$k^2 = p + jq .$$

მაშინ,

$$k^2 = P^2 - Q^2 + j 2 PQ = \frac{RR_0 + XX_0}{R_0^2 + X_0^2} + j \frac{R_0 X - RX_0}{R_0^2 + X_0^2} ,$$

$$p = P^2 - Q^2 = \frac{RR_0 + XX_0}{R_0^2 + X_0^2} ,$$

$$q = 2PQ = \frac{R_0X - RX_0}{R_0^2 + X_0^2} .$$

ამ ბოლო ფორმულებიდან გვაქვს

$$R_0 = \frac{pR + qX}{p^2 + q^2} ,$$

$$X_0 = \frac{pX - qR}{p^2 + q^2} .$$

გვქონდა

$$P = -I_a \frac{U_a R + U_r X}{2U_0^2} ,$$

$$Q = -I_a \frac{U_a X - U_r R}{2U_0^2} .$$

მოყვანილი განტოლებებიდან ვპოულობთ

$$R_0 = 4 \frac{(U_a^2 - U_r^2) R + 2U_a U_r X}{I_a^2 Z^2} , \quad (10)$$

$$X_0 = 4 \frac{(U_r^2 - U_a^2) X + 2U_a U_r R}{I_a^2 Z^2} . \quad (11)$$

თუ \bar{U}_0 და \bar{I}_0 ვექტორებს შორის ძვრის კუთხე α -ს ტოლია, მაშინ შევიძლია დაგწეროთ, რომ

$$U_a = U_0 \cos \alpha ,$$

$$U_r = U_0 \sin \alpha .$$

მაშინ (10) და (11) განტოლებებიდან გვექნება

$$R_0 = 4 U_0^2 \frac{R \cos 2\alpha + X \sin 2\alpha}{I_a^2 Z^2} , \quad (12)$$

$$X_0 = 4 U_0^2 \frac{R \sin 2\alpha - X \cos 2\alpha}{I_a^2 Z^2} , \quad (13)$$

სადაც U_0 , Z და I_a შესაბამისი სიდიდეების მოდულებია ($I_r=0$, რადგანაც \bar{I}_0 ვექტორი დამთხვეულია არსი ღერძის მიმართულებას).

(12) და (13) ფორმულები წარმოადგენერ ცვლადი დენის სარელსო წრედების გადასვლის, და გრძივი წინაღობის პარამეტრებს შორის დამოკიდებულების განტოლებებს.

რელსის გრძივი წინაღობის განსაზღვრა შეიძლება როგორც ცდების, ისე სათანადო ემბირიული ფორმულების გამოყენებით [2].

საქართველოს სსრ მეცნიერებათა აკადემიის ა. დიდებულიძის სახელმწიფო უნივერსიტეტის ინსტიტუტის ლაბორატორიაში ჩატარებული გაზომვიდან განმხოლობებული $P=50$ ტიპის რელსისათვის სამრეწველო სიხშირის ცვლადი დენის დროს გვექვს ის მონაცემები, რაც მოყვანილია 1 ცხრილში⁽¹⁾.

ცხრილი 1

ნომერი	დენი რელსში ამპ- რებით	ძაბვის ვარდნა ვოლტე- ბით	სრული წინაღობა $ Z $ ომი/კმ	ძვრის კუთხე ძაბვასა და დენს შო- რის $ \varphi $ გრადუ- სებით	$\cos \varphi$	$\sin \varphi$	აქტიური წინაღო- ბა R ომი/კმ	რეაქტი- ული წი- ნაღობა X ომი/კმ
1	20	0,0092	0,153	45,5	0,7009	0,713	0,107	0,109
2	25	0,0115	0,154	45,1	0,707	0,708	0,109	0,109
3	50	0,025	0,165	44,8	0,708	0,705	0,117	0,116
4	75	0,040	0,173	44,6	0,712	0,702	0,123	0,120
5	100	0,054	0,180	43,3	0,728	0,685	0,131	0,123
6	150	0,083	0,184	42,7	0,735	0,678	0,136	0,125
7	200	0,115	0,192	42,6	0,736	0,677	0,141	0,130
8	250	0,150	0,200	42,4	0,738	0,674	0,148	0,135
9	300	0,186	0,206	41,3	0,750	0,660	0,155	0,136

1 ცხრილში მოყვანილი ექსპერიმენტული მონაცემები დაბალი დენების შემთხვევაში კარგად ემთხვევა სხვა ავტორების მოყვანილ მონაცემებს [2], ხოლო შედარებით დიდი დენების შემთხვევაში ვლებულობთ მცირე გადახრებს. ასეთი მცირე გადახრები მოსალოდნელია რელსების სტრუქტურის და გარემო პირობების სხვადასხვაობის გამო.

ექსპლოატაციაში მყოფი რელსების წინაღობა გაიზრდება პირაპირული შემაერთებლების წინაღობის გამო. თანახმად სათანადო ანგარიშებისა [3], პირაპირული შემაერთებლების წინაღობა მიიღება 0,024 ომ/კმ, როცა სტანდარტული რელსის სიგრძე 12,5 მეტრია (50 ჰერცი ცვლადი დენის შემთხვევაში ეს შესწორება ძირითადად მოდივი წინაღობის აქტიურ შემადგენელზე).

მაშასაღამე, (12) და (13) ფორმულებით შეიძლება განვითაროთ გადასვლის წინაღობის აქტიური და რეაქტიული შემადგენლები, თუ მოხერხდა U_0 და I_0 სიღიდეების ერთდროული გაზომვა, ძვრის კუთხის განსაზღვრა ამ სიღიდეებს შორის და ექსპლოატაციაში მყოფი რელსების გრძივი წინაღობის პარამეტრების განსაზღვრა დენის მოცემული მნიშვნელობისათვის.

მაგალითი. სამრეწველო სიხშირის ცვლად დენზე ელექტროფიცირებულ ოჯერები—პაველეცის რკინიგზის (მოსკოვის რკინიგზა) მშანება წლის

⁽¹⁾ ცდების ჭარმალებაში დიდ დახმარებას გვიშვდა ინსტიტუტის უფროსი მეცნიერ-თანამშრომელი ლ. თავდგირიძე.

ქვესაღგურზე და ამავე წევის ქვესაღგურის შემწოვი ფიდერის მიერთების წერტილთან ჩატარებული ექსპერიმენტების შედეგად გვქონდა შემდეგი მონაცემები: ოოლა რელსის ერთი ხაზიდან გამავალი დენი იყო დაახლოებით 8 ამპერი, მაშინ რელსის პოტენციალი დაშორებული მიწის მიმართ შეადგენდა 2,5 ვოლტს; ძრის კუთხე დატვირთვის დენსა და რელსის პოტენციალს შორის დაშორებული მიწის მიმართ ამ შემთხვევაში შეადგენდა დაახლოებით 37° -ს.

თუ ამ მონაცემებსა და 1 ცხრილში მოყვანილი რელსის წინალობის პარამეტრებს (შესწორებულს პირაპირული შემაერთებლების გავლენის მხედველობაში მიღებით) დენის მოცემული მნიშვნელობის დროს ჩავსვამთ (12) და (13) ფორმულებში, მივიღებთ

$$R_0 = 4 \cdot 2,5^2 \frac{0,13 \cdot \cos 74^\circ + 0,109 \sin 74^\circ}{8^2 \cdot 0,17^2} \cong 1,905 \text{ ამი/ქმ},$$

$$X_0 = 4 \cdot 2,5^2 \frac{0,13 \sin 74^\circ - 0,109 \cos 74^\circ}{8^2 \cdot 0,17^2} \cong 1,284 \text{ ამი/ქმ}.$$

გადასვლის სრული წინალობა იქნება

$$\dot{Z}_0 \cong 1,905 + j 1,284 \text{ ამი/ქმ};$$

გადასვლის სრული წინალობის მოდული იქნება

$$|Z_0| = \sqrt{R_0^2 + X_0^2} \cong 2,3 \text{ ამი/ქმ}.$$

ქრობის კოეფიციენტის მოდულის მნიშვნელობა შემწოვი წერტილის ახლო მიდამოში იქნება

$$k = \sqrt{\frac{Z}{Z_0}} \cong 0,27 \frac{1}{\sqrt{3}}.$$

მკაცრად დაცული სინქრონული გაზომვები შესაძლებლობას მოგვცემს მიღებული ფორმულების საშუალებით უფრო ზუსტად განვსაზღვროთ გადასვლის წინალობის აქტიური და რეაქტიული შემაღენლები.

საქართველოს სსრ მეცნიერებათა აკადემია

- ა. დიდებულიძის სახელობის
ენერგეტიკის ინსტიტუტი

(რედაქციას მოუვიდა 10.2.1961)

დამომხმარელი ლიტერატურა

1. ა. ნოზაძე. სამრეწველო სიხშირის ცელადი დენის გლეჭტრონული პარამეტრების განსაზღვრის საკითხისათვის. საქართველოს სსრ მეცნიერებათა აკადემიის მოამბე, ტ. XXVI, № 2, 1961.
2. К. Г. Маквардт. Энергоснабжение электрических железных дорог. Москва, 1958.
3. Устройства СЦБ при электрической тяге переменного тока. Труды ЦНИИ. Вып. 126. Транскелдориздат, М., 1956.

მიტალურგია

ა. ვაშაპიძე

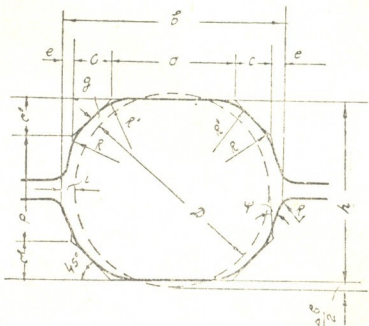
**ლითონის დეფორმაციის გამოქვლევა სანაზღადო
ლგან 900/750-ის ათკუთხოვან
კალიბრიზე**

(წარმოადგინა აკადემიკოსმა ფ. თავაძემ 1.3.1961)

ლიდი ზომების მრგვალი ფოლადი, დიამეტრით $110 \div 230$ მმ და მეტი, იგლინება სქემით, რომელშიც სუფთა მრგვალ კალიბრს წინ უსწრებს წრისაგან უორმით უწინიშვნელოდ განსხვავებული მრავალქუთხოვანი კალიბრი. ჩვეულებრივ სუფთას წინა მრავალკუთხედი წარმოადგენს ათკუთხედს (ნახ. 1), რომელიც საშუალებას იძლევა შემცირდეს დეფორმაციის უთანაბრობა მომდევნო სუფთა კალიბრში და ერთდროულად უზრუნველყოფს მდგრად გლინგას რთული მიმმართველების გამოყენების გარეშე.

სუფთასწინა ათკუთხოვანი კალიბრის ზომები მისალები მრგვალი ფოლადის ზომებთან დაკავშირებით, მოცემულია 1 ცხრილში.

ლითონის დეფორმაციის უთანაბრობის გამოკვლევა ჩატარდა სანამზადო დგან 900/750-ის ყუთოვან და ათკუთხოვან კალიბრებში თანამიმდევრულად გატარების მიხედვით $D = 110 \div 230$ მმ მრგვალი ფოლადებისათვის. ლითონის ფაქტური ფორმაციებისათვის. ლითონის ფაქტური ფორმაციებისათვის მრავალსაფეხურებრივი ნაგლინის მიღების მეთოდით. მეგვარად, მიღებულ გლინგაუკმარზე მიღებოდა დეფორმაციის კე-



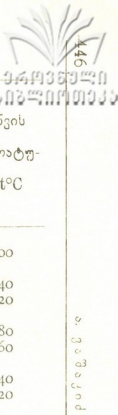
ნახ. 1. სუფთასწინა კალიბრის ფორმა დიდი ზომების მრგვალი ფოლადისათვის

ათკუთხოვანი კალიბრის ზომები მრგვალი ფოლადისათვის,
დიამეტრით 100-დან 250 მმ-მდე

ცხრილი 1

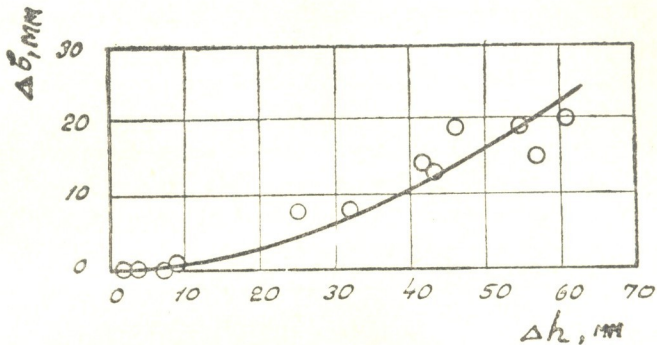
ნო.	მრგვალი ფოლადის დიამეტრი D მმ	კალიბრის სიმაღლე h მმ	კალიბრის სიგანუ b მმ	a მმ	c მმ	c' მმ	e მმ	R მმ	R' მმ
1	110; 100	98	129	79	22,0	27,5	3,0	50	23
2	130; 120; 115	113	146	86	16,0	15,0	14,0	50	30
3	150; 140	136	170	90	34,5	36,5	5,5	67	37
4	180; 170	165	206	109	41,5	43,0	7,0	78	50
5	230	225	262	140	52,0	55,0	9,0	100	60
6	250	246	282	150	55,0	55,0	11,0	90	70

სანამზადო დგან 900/750-ის ათკუთხოვან კალიბრებში გლიცერინის ცდების შედეგები ფოლადისათვის მარკით ფლ. 20



№ № რიცხვი	მრგვალი ფო- ლადის დია- მეტრი $D_{\text{მმ}}$	ნოტ- გატარების რიცხვი $n_{\text{მმ}}$	ლითონის ზო- მები		გ/მ ას ღილაკზე ჭრის ჭრის დრო Δt სამიზნო დრო დრო Δh	გაფართოების მაჩვენებელი Δh Δt	ფარდობითი მოჭიმვა n	კალიბრის ფართი $F_K \text{ მმ}^2$	ლითონის გა- ნივი კვეთის ფართი $F_n \text{ მმ}^2$	გამოჭიმვის კოეფიციენტი λ	გლიცერინის რა $t^{\circ}\text{C}$		
			გატარების სიმაღლე h მმ	სიგანე h მმ									
1	110	9	105	125	27	14	0,5186	0,1986	11790	11678	1,1698	900	
2	140	5	139	159	53	22	0,4151	0,3255	19755	19321	1,3614	940	
		6	135	159	4	0	0,0329	19075	18785	1,0285	920		
3	160 (1-ლი ცდა)	3	166	174	57	15	0,2632	0,2534	28567	26465	1,2584	980	
		4	158	174	8	0	0,0526	26915	25069	1,0557	960		
4	160 (მე-2 ცდა)	5	163	177	61	20	0,3279	0,2712	27949	26225	1,2546	940	
		6	156	177	7	0	0,0473	26507	24986	1,0496	920		
5	170 (1-ლი ცდა)	5	175	188	42	14	0,3334	0,2273	30421	29437	1,2323	990	
		6	166	189	9	1	0,1110	0,0575	28567	27828	1,0578	960	
6	170 (მე-2 ცდა)	5	176	187	43	13	0,3024	0,2255	30627	29530	1,2330	1030	
		6	166	188	10	1	0,1000	0,6333	28567	27745	1,0644	1020	
7	170 (მე-3 ცდა)	5	170	192	55	19	0,3455	0,2562	29391	28663	1,2592	920	
		6	168	192	2	0	0,0134	0,0134	28979	28279	1,0136	900	
8	180 (1-ლი ცდა)	5	180	201	46	19	0,4231	0,2036	31451	31244	1,2305	930	
		6	177	201	3	0	0,0193	30833	30689	1,0181	910		
9	180 (მე-2 ცდა)	3	185	192	32	8	0,2500	0,1965	32481	31543	1,2188	940	
		4	179	193	6	0	0,0305	31245	30482	1,0348	920		
10	230	3	237	245	25	8	0,3200	0,1559	53070	51628	1,1672	1040	
		4	228	245	9	0	0,0427	50712	49424	1,0446	1020		

რებიც. გლინვის შემდეგ გლინგაუქმარი ლითონი ცივდებოდა და იზომეტრიული კრონცირკულის მეშვეობით.



ნახ. 2. მოჭიმვასა და გაფართოებას შორის დამოკიდებულება ათკუთხოვან კალიბრში მრგვალი ფოლადისათვის $\Phi 160 \div 180$ მმ

წინამდებარე შრომაში განხილულია ლითონის დეფორმაცია (გამოჭიმვა, გაფართოება, მოჭიმვა) შხელოდ ათკუთხოვან კალიბრებში, შრგვალი ფოლადებისათვის დიამეტრით 110-დან 230 მმ-მდე. კვლევის მასალად აღებული იყო ფლ. 20.

გასაგლინავი ზოლის გლინვის ტემპერატურები იზომებოდა ოპტიკური პირომეტრით დგანის პოსტილან. დგანი „900“-ის სიმძლავრე $N = 4400/2950$ კვტ, გლინების ბრუნვათა რიცხვი— $n = 75/120$ ბრ/წუთ. ზედა გლინის საწყისი დიამეტრი ტოლია 905 მმ, ქვედასი—910 მმ.

კალიბრებში ლითონის პლასტიკური ფორმაცილიერების ზოგადი კანონზომიერების დადგნის მიზნით, გარდა აბსოლუტური მოჭიმვისა, ისაზღვრებოდა აგრეთვე ფარდობითი მოჭიმვა, როგორც ფარდობა გადაადგილებული ფართისა საწყის ფართთან, ე. ი.

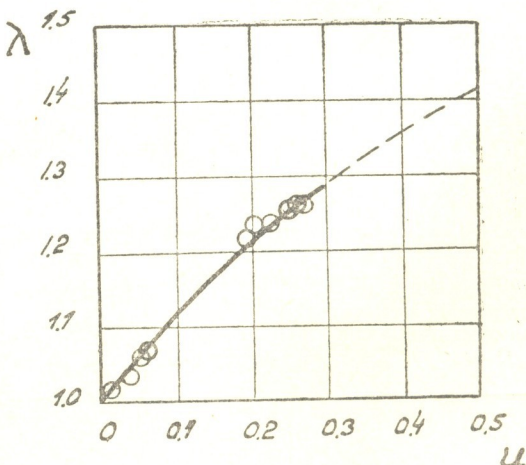
$$n = \frac{F_{cm}}{F_0} = \frac{F_0 - F'}{F_0},$$

სადაც

F_{cm} გადაადგილებული ფართია,

F_0 — ზოლის საწყისი ფართი,

F' — კალიბრის ფართი ზოლის სიგანეზე.



ნახ. 3. გამოჭიმვასა და ფარდობით მოჭიმვას შორის დამოკიდებულება ათკუთხოვან კალიბრში მრგვალი ფოლადისათვის $\Phi 160 \div 180$ მმ

1 ცხრილში მოყვანილია სუფთასწინა ათკუთხოვან კალიბრებში გლინივის კვლევის შედეგები, ხოლო მე-2 და მე-3 ნახაზებზე მოცემულია გაფართოებისა და გამოჭიმვის კოეფიციენტის დიაგრამები მოჭიმვასთან დაკავშირებით.

დიდი ზომების მრგვალი ფოლადის გლინივა იწყება ბლუმსილან განივი კვეთით $\sim 300 \times 250$ მმ (ან 280×200 მმ), რომელიც იგლინება რიგ ყუთოვან, ათკუთხოვან და სუფთა წრიულ კალიბრებში. გაგლინული ბლუმსების ფაქტიური ზომები მოცემულია მე-3 ცხრილში, ხოლო ათკუთხოვანი ზოლის წრიულ კალიბრში გლინივის მონაცემები მოყვანილია მე-4 ცხრილში.

ცხრილი 3

გაგლინული ბლუმსების საწყისი ზომები

მრგვალი ფოლადის დიამეტრი D მმ	ბლუმსის ზომები	
	სიმაღლე H მმ	სიგანე B მმ
110	272	193
140	277	197
160	278	199
160	305	251
170	299	244
170	297	242
170	297	248
180	302	247
180	275	200
230	306	251

ცხრილი 4

ათკუთხოვანი ზოლის გლინივის მონაცემები მრგვალ კალიბრში

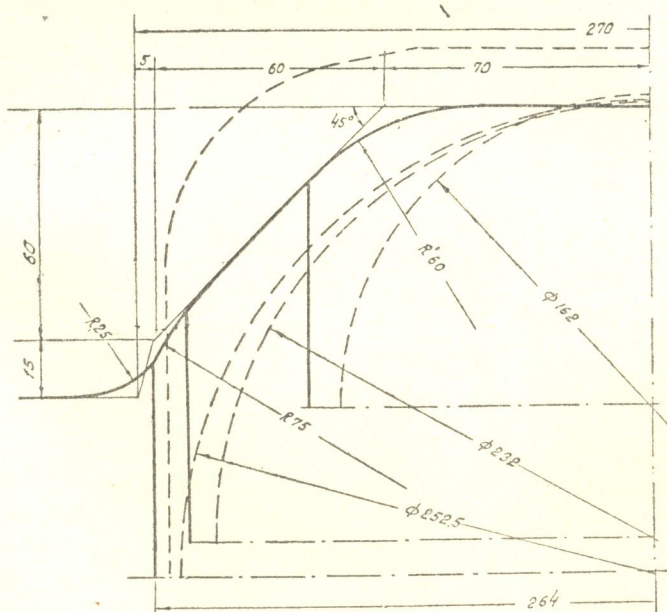
მრგვალი ფოლადის დიამეტრი D მმ	ათკუთხოვანი ზოლის ზომები		აბსოლუტური მოჭიმვა Δh მმ	აბსოლუტური გაფართოება Δb მმ	$\frac{h}{D}$	გამოჭიმვის კოეფიციენტი λ
	სიმაღლე H მმ	სიგანე B მმ				
110	105	125	15	5	0,9546	1,2296
140	135	159	19	4	0,9643	1,2209
160	156	177	17	4	0,9750	1,2433
160	158	174	14	2	0,9875	1,2475
170	166	189	19	4	0,9765	1,2266
170	166	188	18	4	0,9765	1,2230
180	177	201	21	3	0,9834	1,2066
230	228	245	15	2	0,9914	1,1902

ნამზადები მრგვალი ფოლადისათვის, დიამეტრით $140 \div 230$ მმ, იგლინება ათკუთხოვან კალიბრებში ორი გატარებით (ცხრილი 2), ამასთან ბლუმსის საწყისი ზომებთან დაკავშირებით გლინივაუქმარი ლითონი იგლინება ათკუთხოვან კალიბრებში ან მესამე და მეორე გატარებისას (მაგალითად, მრგვალი ფოლადი $\Phi 160$ მმ, 1-ლი ცდა, ბლუმსი 278×199 მმ), ან მეხუთე

და შეექვეს გატარებისას (მრგვალი ფოლადი $\Phi = 160$ მმ, მე-2 ცდა, 305×251 მმ).

მოყვანილი საცდელი მონაცემები ათკუთხოვან კალიბრებში გვიჩვენებს, რომ, როდესაც აბსოლუტური მოჭიმვა იცვლება ზღვრებში $\Delta h = 2 \div 9$ მმ, ლითონის გაფართოებას არა აქვს ადგილი. გაფართოების მაჩვენებელი $\left(\frac{\Delta b}{\Delta h} \right)$ ამ კალიბრებში დებულობს მნიშვნელობას 0-დან 0,5-მდე, ხოლო გამოჭიმვის კოეფიციენტის (λ) მაქსიმალური მნიშვნელობა აღწევს 1,36-მდე. რაც შეეხება გამოჭიმვას მრგვალ კალიბრებში, როგორც გამოკვლევამ გვიჩვენა (ცხრილი 3), ის შერყეობს ზღვრებში $1,19 \div 125$. ლიტერატურული მონაცემების მიხედვით [2], გამოჭიმვის კოეფიციენტის სიდიდე მრგვალ კალიბრებში ტოლია $\frac{b}{D} = 1,08 \div 1,20$.

მრგვალი ფოლადისათვის $\Phi = 170 \div 180$ მმ სუფთასწინა კალიბრად გამოიყენება ერთი და იგივე ათკუთხოვანი კალიბრი. ცდებმა დაგვანახვა, რომ



ნახ. 4. უნივერსალური ათკუთხოვანი კალიბრი ტრიბული ფოლადისათვის $\Phi = 160 \div 250$ მმ

მრგვალი ფოლადის ალნიშნული დიაპაზონი, რომლისთვისაც საერთოა ათკუთხოვანი კალიბრი, შეიძლება გაზრდილ იქნეს. მე-4 ნახაზზე ნაჩვენებია შემუშავებული უნივერსალური ათკუთხოვანი კალიბრი მრგვალი ფოლადისათვის დიამეტრით 160-დან 250 მმ-მდე.

უნივერსალური ათეუთხოვანი კალიბრის კონსტრუირების ღროს გამოვლიოდით ათეუთხოვანი ზოლის მოჭიმვის თანაბარი განაწილების პრინციპიდან წრიულ კალიბრში.

ამრიგად, მიღებული ექსპერიმენტული მონაცემები დიდი ზომების მრგვალი ფოლადის გლინვისას სანამზადო დგან 900/750-ზე, საშუალებას იძლევა დაგეგმარდეს რაციონალური ათეუთხოვანი კალიბრი, ხოლო რაც შეეხება რეკომენდებულ უნივერსალურ კალიბრს, მან საგრძნობი ეკონომიური ეფექტი უნდა მოგვცეს.

საქართველოს სსრ მეცნიერებათა აკადემია

მეტალურგიის ინსტიტუტი
თბილისი

(რედაქციას მოუვიდა 9.3.1961)

დამოუმებული ლიტერატურა

1. П. И. Полухин, Н. М. Федосов, А. А. Королев, Ю. М. Матвеев. Прокатное производство. Металлургиздат, 1960.
2. Б. П. Бахтинов и М. М. Штернов. Калибровка прокатных валков. Металлургиздат, 1953.
3. А. Д. Нозадзе и А. С. Вацакидзе. Исследование калибровки стана 900/750. Отчет по научно-исследовательской работе. Институт металлургии АН ГССР, 1960.

გოტანისა

ი. თუმაჯანოვი და ნ. მარგალიაშვილი

ქართლისა და კახეთის ქედების კალთები ძირითადად წიფლნარი ტყეებითაა დაფარული; შედარებით დაბალ სარტყელში და აღმოსავლეთ ნაწილში კი განვითარებულია მუხის, რცხილის, ჯაგრცხილისა და სხვა ჯიშებისაგან შემდგარი ფართოფოთლოვანი ტყეები.

(ჭარმადებინა აკადემიკოსმა ნ. კეცხველმა 6.2.1961)

ქართლისა და კახეთის ქედების კალთები ძირითადად წიფლნარი ტყეებითაა დაფარული; შედარებით დაბალ სარტყელში და აღმოსავლეთ ნაწილში კი განვითარებულია მუხის, რცხილის, ჯაგრცხილისა და სხვა ჯიშებისაგან შემდგარი ფართოფოთლოვანი ტყეები.

ქართლის, განსაკუთრებით კი კახეთის ქედის ტყის მცენარეულობის ერთ-ერთ თავისებურებად ითვლება მასში ფიჭვის – *Pinus sylvestris*-ს სამრადიული მონაწილეობა, რომელიც ჩვეულებრივ ცალკეულ კუნძულებად იზრდება ზედა სარტყლის მოშიშვლებულ კალთებზე წიფლნარებს მორის. ამვე დროს, ფშავის არაგვის სათავეებთან ფიჭვი ჩვეულებრივია კავკასიონის კალთებზედაც. ქართლის ქედზე დღეისათვის ფიჭვი ცნობილია იალნოს მასივზე ერწოს ქვაბულის სამხრეთით. კახეთის ქედისათვის აკად. ნ. კეცხველი [1] მიუთიებს ფიჭვნარების მთელ რიგ პუნქტებზე, სადაც ფიჭვი, როგორც წესი, დასახლებულია მოშიშვლებულ კონგლომერატებზე. მხოლოდ ზოგიერთ ადგილზე იგი რიყითა და მის გაყოლებით ეშვება საკმაოდ დაბლა (მარიამჯვრის ხეობა და ანთოკის ხევი) 800 მ-მდე ზღვის დონიდან. ნ. კეცხველი მონაცემების მიხედვით ფიჭვი ვრცელდება ოელივ-საგარეჯოს მერიდიანის გაცილებით აღმოსავლეთით და აღწევს კოდის მიღამოებამდე, სადაც მის მიერ აღწერილია 1500 მ-ის სიმაღლეზე ფიჭვნარი კორომი ფართოფოთლოვანი ჯიშების მონაწილეობით.

ამავე დროს, კავკასიონის სამხრეთ ფერდობებზე აგრიჩა-ალაზნის დებრესის გასწევრივ ფიჭვი თოთქმის არ არის ცნობილი და მის აღმოსავლეთ ფორმოსტად ითვლება ბელაქნის რაიონი, სადაც ეს ჯიში იზრდება. ბელაქნის სათავეებში დაღებტნის საზღვრის მახლობლად. ი. თუმაჯანოვი [2], რომელმაც შეისწავლა ამ რაიონის ტყეები, ბელაქნის იზოლირებული ფიჭვნარების ჭარმოშობა უნდა დაუკავშირდეს დაღესტნის ფიჭვნარების, რადგან არ არსებობს ფიჭვის გავრცელების შუალედი დაბაკავშირებელი პუნქტები კავკასიონის სამხრეთი ფერდობების გაყოლებით, რაც დაგვიდასტურებდა მის გავრცელებას არაგვის სათავეებიდან აღმოსავლეთით.

ქართლისა და კახეთის ქედების ტყის მცენარეულობის ისტორიის უკანასკნელი ეტაპების აღსაღვენად ჩვენ მიერ 1959 წ. შემოდგომაზე ერწოს ქვაბულიდან აღებულ იქნა ტორფისა და ტბიური საბროპელის ნიმუშები. ერწოს ქვაბული მდებარეობს მდ. იორის აუზში, ქართლის ქედის აღმოსავლეთ ფერდობზე თიანეთის სამხრეთით. ნიმუშების ასაღებად შერჩეულ იქნა ორი

პუნქტი: ერთი ქვაბულის ცენტრში, მეორე მის ქვედა ნაწილში. ჩასალას ვიღებდით გილერის სისტემის ხელის ბურლით. ანალიზები მთლიანად შესრულებულია ნ. მარგალიტაძის მიერ.

ნიმუშები დამუშავებულ იქნა გრიჩუკის სეპარაციული და ერდტმანის აცეტოლიზური მეთოდებით თბილისის ბოტანიკის ინსტიტუტში. მე-2 ჭრილის ნიმუშების ანალიზები ჩატარდა მოსკოვის გეოგრაფიის ინსტიტუტის პალინოლოგიის ლაბორატორიაში, ლაბორატორიის გამგის პროფ. ვ. გრიჩუკის დახმარებითა და მეცნიერ თანამშრომლის ზ. გუბონინას ხელმძღვანელობით. I ჭრილის ნიმუშების ანალიზები მთლიანად შესრულდა თბილისის ბოტანიკის ინსტიტუტის ბალინოლოგიის ლაბორატორიაში.

ერწოს ქვაბული საკმაოდ ვრცელია (სიგანე დაახლოებით 5 კმ, სიგრძე: 15 კმ-დე) და ზღვის დონიდან დაახლოებით 1200 მ-ის სიმაღლეზე მდებარეობს. იგი შემოფარგლულია ქართლის ქედის განშტოებებით; მისი აღმოსავლეთი მხარე კი მდ. იორისკენ არის გადაშლილი. ქვაბულს გასდევს მდანები (იორის მარჯვენა შენაკადი).

ნ. ა ს ტ ა ხ ო ვ ი ს [3] მიხედვით, ერწოს ქვაბული სტრუქტურის მხრივ წარმოადგენს დამრეც სინკლინალურ ნაოჭს. ქვაბულის შემომფარგვლელი ქედები ძირითადად შედგება მესამეული ტერიგენული დანალექებისაგან — კონგლომერატების, თიხების, ფაზარი ქვიშნარისა და თიხნარებისაგან.

ამ ქედებზე გავრცელებულ ძირითად ტყის ფორმაციას წარმოადგენს წიფლნარები სხვა ფართოფოთლოვანი ჯიშების შერევით (რცხილა, მუხა და სხვა). თვით ქვაბულში და ქედების ქვედა ნაწილში ტყე გაჩეხილია. განთავისუფლებული ფართობები ძირითადად ნათესებს უჭირავს. ქვაბულის ცენტრალურ ნაწილში შემორჩენილია ისლიან-ჰიპნუმიანი ჭაობის მცენარეულობა, რომელიც ამაგად განიცდის დეგრადირებას სადრენაჟო ლონისძიებათა ჩატარების გამო. ტორფნარისა და აღგილ-აღგილ ტიბიური ჭაობის მცენარეულობის ზოგიერთი წარმომადგენლის, როგორიცაა *Menyanthes trifoliata* *Parnassia palustris*, ზოგიერთი ისლის, ჰიპნუმის ხევების: *Cratoneurum decipiens* *C. filicinum*, *Thuidium philibertii*, *Calliergonella cuspidata*, *Brachythecium mildeanum*, *Calliergon giganteum* და სხვათა არსებობა მიუთითებს სულრამდენიმე ხნის წინათ ამ აღგილებში ტორფიანი ჭაობების ფართო გავრცელებაზე. ამასვე მოწმობს ერთ-ერთი ტორფიანი ნაკეთის აღგილობრივი სახელწილება „ზანზარა“.

როგორც ზემოთ აღვნიშნეთ, ნიმუშები ჩვენ მიერ აღებული იყო ორი შურდიდან. პირველი მათგანი გაიბურლა საბრენაჟო არხის ფსკერზე და მთლიანად შედგება ტბიური საპროპელისაგან; მეორე შურფი კი ზედა ფენებში მოიცავს 1,25 მ-იან ტორფს, შემდეგ 1,30 მ-იან ტორფს საპროპელის მინარევით, ქვედა ნაწილში კი 2 მ-ის სისქის ტბიურ საპროპელს.

შედარებით სრულსახიანი მასალა მივიღეთ 1 ჭრილის ნიმუშების ანალიზების შედეგად, რომელიც საფუძვლად ედგა საკვლევი ტერიტორიის ტყის მცენარეულობის ისტორიის რეკონსტრუქციას (იხ. დიაგრამა 1—2). 1 ჭრილი 5,75 მ-ის სისქისაა. მისი ქვედა ნაწილის ნიმუშები შეიცავს მსხვილ-მარცვლოვან მასალას, რაც დამახასიათებელია ფსკერული შრეებისათვის.

შერქნიან და ბალახოვან მცენარეთა მტკვრის რაოდენობის შეფარდების მიხედვით ეს ჭრილი შეიძლება გაიყოს ქვედა ($5,75-3,25$ მ) და ზედა ($3,25-0$ მ) ნაწილებად. ჭრილის ქვედა ნაწილში აშეკარად ჭარბობს ბალახოვან მცენარეთა მტკვერი ($90\%-მდე$). შერქნიან მცენარეთა მტკვერი გვხვდება მცირე რაოდენობით ($10\%-მდე$). ასევე უმნიშვნელოა სპორების რაოდენობა, თუმცა სპორებში ყველგან ჭარბობს შერქნიანთა მტკვერი.

კრილის ქვედა და ზედა ნაშილების საზღვარზე აღიღილი აქვს ბალახოვან მცენარეთა მტვრისა და სპორების რაოდენობათა შეფარდების მკვეთრ ცვლილებას, სადაც სპორების რაოდენობა მკვეთრად იზრდება და აღწევს 66%-ს. ბალახოვან მცენარეთა მტვერი კი მცირდება 28%-მდე.

ჭრილის ზედა ნაწილში ბალახოვან მცენარეთა მტევრი კვლავ გაბატონებულ იყო იდეის იშვიათი, სპორტის რაოდენობა კი 10% -მდე მცირდება.

ჭრილის ზედა ნაწილის მთავრმ დამახასიათებელ ნიშნად უნდა ჩაითვა-
ლოს მეტქნიან ჯიშთა მტკრის რაოდენობის თანდათანობითი ზრდა, რომე-
ლიც 25%-მდე აღწევს. ჭრილის მთელ გაყოლებაზე მტკრისა და სპორების
მრუდების სელის ხასიათი საკმაო დამაჯერებლობით ასახეს ერწოს ქვა-
ბულში არსებული წყალსატევების ისტორიას, მის დეგრადაციას და ქვაბუ-
ლის ტერიტორიაზე ტყის მცენარეულობის თანდათანობით დასახლებას.

როგორც მოყვანილ დღიგრამიდან ჩანს, ჭრილის ქვედა ნაწილში 4,75 მ-ის სიმაღლემდე, ე. ი. საპრობელის ფსკერულ სისქეზი, ჭარბობს ფიჭვის მტკვრი, რომელიც 57%-ს აღწევს. აღსნიშნავია, რომ ამ სისქის ნიმუშებში მტკვრის მარცვლები ძლიერ მიხერალიზებულია და დეფორმირებული. უკანასკნელმა გარემოებამ უთუოდ გავლენა მოახდინა ცალკეულ ჯიშთა პროცენტული რაოდენობის დადგენაზე.

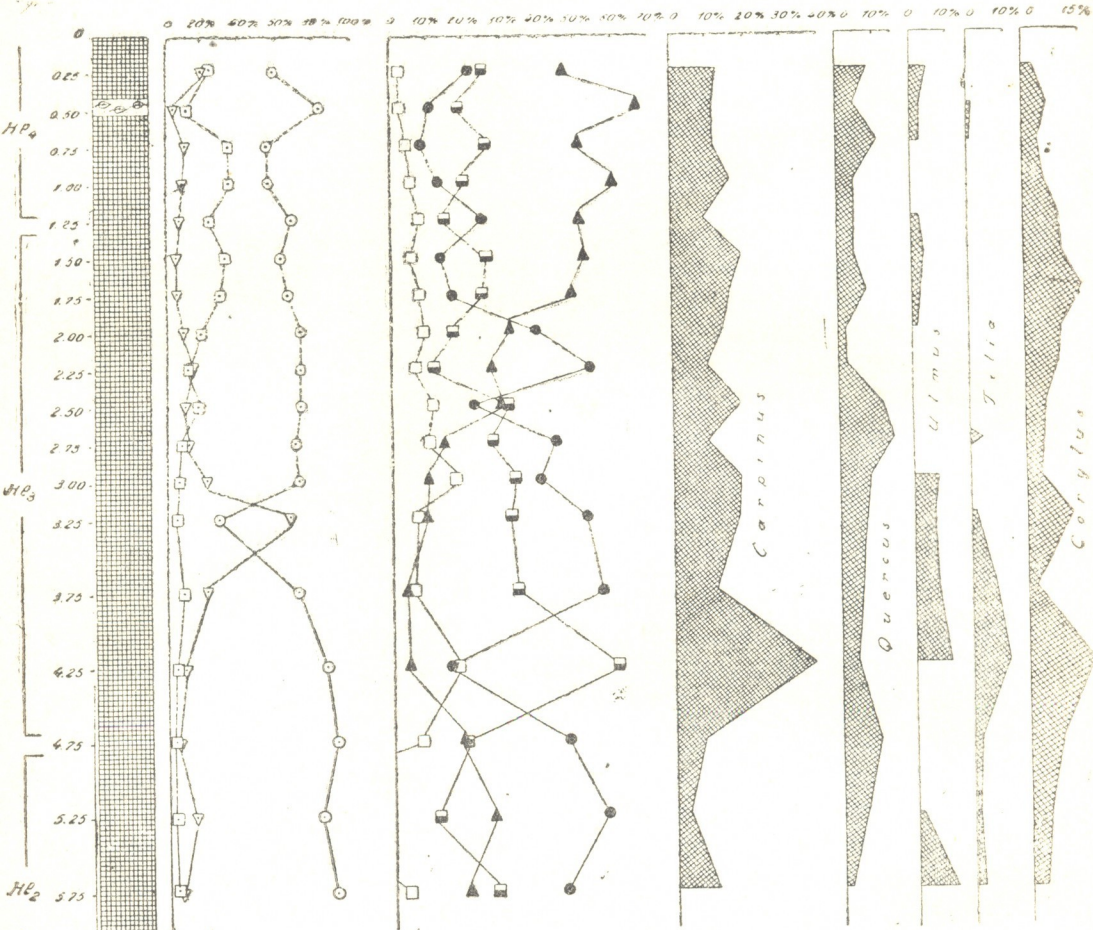
საპროპელის მომღევნო ფენებში ($4,75-3,75$ მ) იცვლება ცალქული მერქნიანი ჯიშების მტკრის რაოდენობრივი შეფარდება. სახელდობრ, ფიჭვი მცირდება $16\%-მდე$, ფართოფოთლოვან ჯიშთა კამბლექსი იზრდება $60\%-მდე$. ფართოფოთლოვან ჯიშებიდან გამოირჩევა რცხილის მტვერი, რომელიც $38\%-ს$ აღწევს.

რცხილასთან ერთად უნდა აღინიშნოს ცაცხვისა და თხილის მტვრის სიჭარებები. ამასთანავე, თხილი გვხვდება ჭრილის მთელ სიმაღლეზე. ცაცხვი კი მხოლოდ ამ სიმაღლის სივრცისაა დამახასიათებელი.

საპროპელის მომდევნო ზედა ფენებში ($3,75-2,50$ მ) კვლავ ჭაბბობს ფიჭვის შტვერტი, მაგრამ უკვე ნაქლები რაოდენობით და ზედა ფენების ქერძის მიერთების აშეართ ტენდენციით.

ფართოფლოვან ჯიშთა კომპლექსის მტვერი 30—34 % -ის რაოდენობითაა წარმოდგენილი. განსაკუთრებით მნიშვნელოვანია ის, რომ წილის მტვერი ამ სისქეში აღწევს 30%-ს, რაც ფართოფლოვან კომპლექსთან ჯამში იძლევა 60%-ს.

ამ ჰორიზონტიდან დაწყებული, ფიჭვის მტკრის რაოდენობა უნინიშვნელოდ მერყეობს, მაგრამ გაინც სავრძნობლად მცირდება და ზოგ ადგილის 10% -ს არ აღემატება. პარალელურად, თანდათანობით მატულობს წიფლის მტკვერი. მისი რაოდენობა ზედა ჰორიზონტში ისტოც აღწევს. ამასთანავე ჭრილის ამცვე სისქეზი ფართოფორმოვანთა კომპლექსის შტკერი აღინიშნება



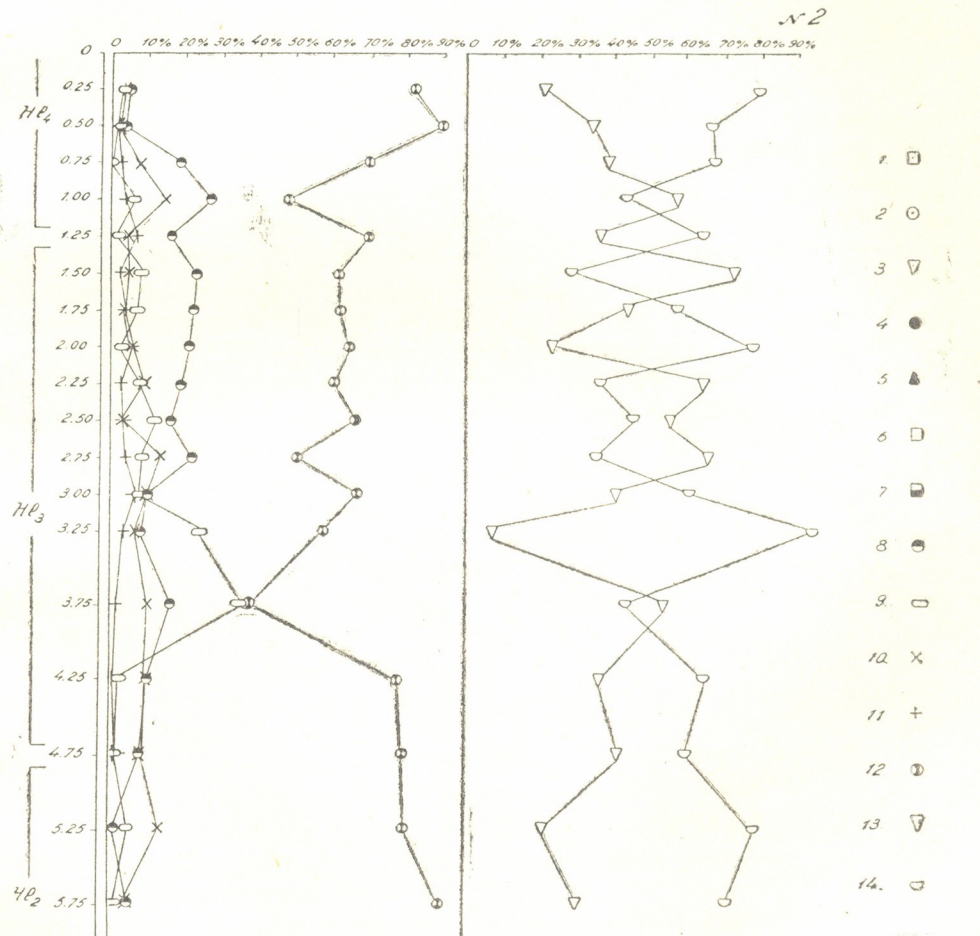
დიაგრამა 1

ცოტად თუ ბევრად თანაბრად, 20—25%-ის რაოდენობით. ამგვარად, ფართო-ფოთლოვან ჯიშთა მტერის ჯამი წილით 85—90%—მდე იღწევს.

ამავე დროს უნდა აღინიშნოს, რომ ჭრილის მთელ სიმაღლეზე გვხვდება მურყნის მტერი, რომელსაც სხვა ჯიშებთან შედარებით დაქვემდებარებული აღილი უჭირავს.

ბალახოვანი მცენარეებიდან ყველგან ჭარბობს ნაირბალახოვანთა მტერი; დანარჩენები კი—*Gramineae*, *Chenopodiaceae*, *Artemisia* და *Cyperaceae*—ჭრილის მთელ სიგრძეზე უმნიშვნელო რაოდენობითაა წარმოდგენილი და მხოლოდ ისლის მტერი იზრდება მკვეთრად—35%—მდე 4,25—3,25 მ-ის სიმაღლეზე, რაც ემთხვევა ბალახოვან მცენარეთა მტერის შემცირებას და გვიმრათა სპორების რაოდენობის გადიდების პერიოდს. იშვიათად, უმთავრესად ჭრილის ქვედა ნაწილში გვხვდება *Ephedra*-ს მტერი 1—2%-ის რაოდენობით.

აღწერილი ჭრილის მტერის სპექტრის ზედა ნაწილი არ ასახავს ერთს ქვაბულის მცენარეული საფარის თანამედროვე უტყვეობის სურათს. ამ მხრივ საინტერესოა მე-2 ჭრილის ტორფის ზედა ნახევარმეტრიანი სისქის ნიმუშების ანალიზების მონაცემები, სადაც წიფლის მტერი ფიქსირებულია უმნიშვნელო რაოდენობით, რაც, შესაძლებელია, ტყის გაჩეხვასთან არის დაკავშირებული.



დიაგრამა 2

1 და 2 დიაგრამების პირობითი აღნიშვნები:

- 1—მერქნიან ჯიშთა ტრიან საერთო რაოდენობა; 2—ბალახოვან მცენარეთა ტრიან საერთო რაოდენობა; 3—სკორების საერთო რაოდენობა; 4—Pinus; 5—Fagus; 6—Alnus; 7—ფართოფოთლოვან ჯიშთა ტრიან ჯამი (Carpinus, Quercus, Ulmus, Tilia, Acer); 8—Gramineae; 9—Cyperaceae; 10—Chenopodiaceae; 11—Artemisia; 12—ნაირბალახოვანთა ტრიან; 13—Bryales; 14—Polypodilaceae



მოცემული ჭრილის პოლოვენის სხვადასხვა ფაზებად დაყოფისათვის მხედველობაში უნდა იქნეს მიღებული მეტკნიან ჯიშთა მტკრის მრუდების თავისებურება და ერწოს ქვაბულის ვერტიკალური მდგრადობა.

მოცემული ტერიტორიის გეომორფოლოგიური გამოკვლევებიდან (ა. ჯავახიშვილი [6], ნ. ასტახოვი, დ. წერეთელი [7]) ჩანს, რომ ტექტონიკურ მოძრაობებს, რომელთა საფუძვლისზეც ჩამოყალიბდა თანამედროვე რელიეფი, პერიოდული ხასიათი ჰქონდა. ნ. ასტახოვის აზრით, ერთსო ჭვაბულის სინკლინალური ხასიათი და დიდი სისქის მეოთხეული დანალექები მოწმობს, რომ ჭვაბულის თანამედროვე რელიეფის ჩამოყალიბება ახალგაზრდა ტექტონიკურ მოძრაობათა შედეგია. როგორც ჩანს, ერთსო ჭვაბულის დაწევა ხდებოდა ცალკეულ ეტაპებად, რომელთაც თან სდევდა სტაბილური მდგრადარეგობის პერიოდი. მაგან დროს ადგილი ჰქონდა მოსაზღვრე ქედების აწევას, რის გამოც რელიეფი და ერთხული პროცესები და შიშვლებოდა ქედების ფიქციური დანალექები.

յ՞ր վաս յշածողութեան անցութարցեան պահանքնել յըտած ճ. օսքաթռց պյուտց-
նեած զըմբույսալուր մոժհամօնատ ախալցողալունու դաշիս. ըլլոցցու և ծածոլուն
սաեց յո հմայալունօն թուլուցնու օսքեցիունի.



როგორც ჩვენ მიერ ჩატარებულმა დაბურღვამ გვიჩვენა, ერთს ქვაბულის ფსკერი ამოვსებულია ტბიური დანალექებით, რაც მიუთითებს ამ ტერიტორიაზე შეყალსატევის არსებობაზე პოლოცენში¹. ნ. ასტახოვი მიუთითებს ამ ბერიოდში მდ. აძების დაგუბებაზე, რაც შეიძლებოდა მომხდარიყო ეროზიის ადგილობრივი ბაზისის აწევით, ან ქვაბულის ფსკერის განმეორებითი დაწევით.

ამგვარიც, ფიჭვის გავრცელება ადრეულა პოლოცენის ბოლოს ემთხვევა ქვაბულის მოსაზღვრე ქედების ერთზიული პროცესების უჯანასკნელ გამლიერებას, რაც დაკავშირებული იყო მთათაწარმომბის ახალხვალინის ფაზისთან. ამ დროს ფიჭვნარები, შესაძლებელია, უწყვეტ ზოლად გასდევდა ქართლისა და კახეთის ქედის ზედა სარტყელს.

ჩვენ შემთხვევაშიც, ისევე როგორც ი. თუმაჯანოვსა და ფ. მჭედლიშვილს, თებერდის აუზისათვის აქვთ ნაჩენები, ფიჭვის მაქსიმუმი ედაფიური პირობებით უნდა აიხსნას, ვინაიდან ფიჭვი თავის გავრცელებაში ეროვნულ ფერდობებზე არ ხვდებოდა სხვა ჯიშების წინააღმდეგობას. ფიჭვნარების განვითარებას ხელს უწყობდა იგრეთვე ამ ქედების შედარებით კონტინენტური ჰავა. მაშინ როდესაც, კახეთის კავკასიონის კალთებზე შიდა კახეთის ტენიანი ჰავის პირობებში ფიჭვმა ფართო გავრცელება ვერ ჰქონდა.

წარსულში ფიჭვნარების ფართო გავრცელება, როგორც საერთო მოვლენა ამიერკავკასიის მთელ რიგ სხვა, უფრო წეტად კონტინენტურ მთაგორიანი რაიონებისათვის, აღნიშნული აქვს იგრეთვე ვ. გ ულისა შვილს [8].

შეუა პოლოცენის დასაწყისი, როგორც ერთხვევა ფართოფოთლოვანი რცხილნარი ტყეების განვითარების ფაზას, მიეკუთვნება უფრო თბილი და მშრალი კლიმატური პირობების ჩამოყალიბების პერიოდს, რაც ხელს უწყობდა ვერტიკალური სარტყელების აწევის, ფართოფოთლოვან ჯიშების გავრცელების და მათ მიერ ფიჭვის გამოიძევების.

რცხილის, როგორც წიფლნარის წინამორბედის, ფართო გავრცელება იიხსნება ამ ჯიშის ეკოლოგიური თავისებურებით. ცნობილია, რომ რცხილა ეკუთვნის იმ ჯიშთა რიცხვს, რომლებიც ადვილად სახლდებიან და ფერდობებზე, აქვთ კარგი განახლების უნარი ზრიოვ ნიადაგებსა და გაშიშვლებაზე. თანამედროვე პირობებშიც გაჩეხილი წიფლნარების ადგილებზე რცხილის განახლება წინ უსწრებს წიფლისას. რცხილნარებში საქმაოდ დიდი რაოდენობით ეროვნულ ცაცხვი და თხილი, რაც იგრეთვე, შეუა პოლოცენის დასაწყისში თბილი და მშრალი ჰავის არსებობის მაჩვენებელია.

შემდგომ ეტაპებზე კვლავ იქმნება პირობები ფიჭვის გავრცელებისათვის. მის ძარიალურად უფრო მეტად მოიწევს წინ წიფელი და შეუა პოლოცენის მეორე ნახევრიდან იგი გაბატონებულ ადგილს იყავებს. წიფლნარების გაბატონების პერიოდში ფიჭვი იდევნება, მისი კორომების ფართობები ძლიერ მცირდება და ამჟამად მხოლოდ ქედის მაღლით სარტყელის ცალკეულ მოძირებულ კონკლავერატებზეა შემორჩენილი. საგარეჯოსთან კი მთის ხეობე-

¹ ტექტონიკური მოძრაობის პერიოდული ხასიათი არ გამორიცხავს ამ ქვაბულში შეყალსატევის არსებობას პლეისტოცენშიც.

ბის რიცნარების გაყოლებით ფიჭვი ჩამოდის დაბლა და მუხნარ სარტყელში იჭრება.

წიფლნარი ტყების გაბატონება გვიანა ჰოლოცენშიც გრძელდება, როდესაც წიფელი თვით ერწოს ქვაბულის ფსკერზე, დეგრადირებული წყალსა-ტევის ნაპირებთან სახლდება. ამას მტკრის გამომხატველი მრუდის გარდა ამტკიცებს აგრეთვე 1 ჭრილთან საპროპელის ზედაპირზე წიფლის ფოთლების ნამარხი ფენის არსებობა.

ქვაბულის ფსკერზე წიფლნარების განვითარებას წინ უსწრებდა ტბის ღონის დაწევა, წყალსატევის დეგრადაცია და მისი ნაპირების დაჭაობება. ეს კარგად ჩანს შუა ჰოლოცენის დიაგრამაზე, რომელიც ისლისებრთა მტკრის და გვიმრათა სპორების მრუდეთა მცენერი წინ წამოწევით ხასიათდება. ზესაძლებელია ამ დროისათვის აქ არსებობდა ჭაობის მცენარეულობა გვიმრების—*Dryopteris thelipteris* და *Struthiopteris filicastrum*-ის მონაწილეობით, რომლებიც მახლობელ ტყეებში დღესაც იზრდებიან.

როგორც ვხედავთ, წიფლის ტყემ ქართლისა და კახეთის ქედების ტყის მცენარეულობის განვითარების მხოლოდ უკანასკნელ ეტაპზე მიიღო გაბატონებული მდგომარეობა. საღლეისოდაც წიფელი აქ დიდ ფართობებზე ქმნის დაბურულ კორომებს.

ამგვარად, წიფლნარების დომინანტურ ფორმაციად ჩამოყალიბება ასახავს ტყის ჯიშთა ცვლის ხანგრძლივი პროცესის უკანასკნელ ეტაპს, რომელიც მიმდინარეობდა ეროზიის ჩაქრობასა და ფერდობებზე ელუვიისა და ნიაღვის ფენების განვითარებასთან ერთად.

ბოლოს, მცენარეულობის განვითარების უკანასკნელი ფაზები, რომელიც მე-2 ჭრილის ტორფის ფენაშია ფიქსირებული, გვიჩვენებენ წიფლის მკვეთრ ზემორებას. ამას მხოლოდ იდგილობრივი მნიშვნელობა აქვს და ასახავს ერწოს ქვაბულის მცენარეულობის თანამედროვე სახეს, რაც იდამიანის ჩიერ ტყის გაჩერებით არის გამოწვეული.

საქართველოს სსრ მცნიერებათა აკადემია

ბოტანიკის ინსტიტუტი
 თბილისი

(რედაქციას მოუვიდა 16.2.1961)

ლიტერატურა

1. ნ. კეცხვალი. საქართველოს მცენარეული საფარი. თბილისი, 1959.
2. И. И. Тумаджанов. Краткий очерк лесной растительности бассейна р. Белоканчай. Тр. Бот. ин-та Аз. ФАН СССР, т. IV, 1938.
3. Н. Е. Астахов. Опыт геоморфологической характеристики бассейна верхнего течения р. Иори (Восточная Грузия) в связи с геотектоническими процессами. Тр. ин-та географии им. Вахушти АН ГССР, т. VI, 1955.
4. М. И. Нейштадт. История лесов и палеогеография СССР в голоцене. М., 1957.
5. И. И. Тумаджанов и П. А. Мчедлишвили. Последниковые движения лесной растительности в долине Теберды по данным пыльцевых анализов. Труды Тбилисского бот. ин-та АН ГССР, т. XII, 1948.
6. А. Н. Джавахишвили. Геоморфологические районы Грузинской ССР. М.—Л., 1947.
7. Д. В. Церетели. К палеогеографии и истории развития рельефа Алазанской долины в четвертичном периоде. Сообщ. АН ГССР, т. XV, № 7, 1954.
8. В. З. Гулиашвили. Генезис сосновых и бересозовых лесов Кавказа. В сб. „Акад. В. Н. Сукачеву к 75 летию со дня рождения“. М.—Л., 1956.



მიმღების მიერ მიმღების

პ. ლოლოგვარიძე

ბერების რეპეტიციების სხვადასხვა შტამების სერილოგიური და
იმუნიტაციური შესწავლა

(წარმოადგინა აკადემიის წევრ-კორესპონდენტმა ს. ნარიკაშვილმა 24.6.1961)

ქუ ცხელების სერილოგიური დიაგნოსტიკისა და პროფილაქტიკური ვაჭცინაციის საკითხში ბერების რიკეტსიების სხვადასხვა შტამების სერილოგიურ და იმუნიტაციურ შესწავლას დიდი პრაქტიკული მნიშვნელობა აქვს. ჩვენი მუშაობის მიზანი იყო საქართველოს სსრ-ში და სხვა მხარეებში გამოყოფილი ბერების რიკეტსიების სხვადასხვა შტამების სერილოგიურ და იმუნიტაციურ თვისებათა შედარებითი შესწავლით დაგვეღინა სამხარეო პათოლოგიაში მათი მნიშვნელობა და პრაქტიკული გამოყენების შესაძლებლობანი.

კვლევითი მუშაობისათვის გამოყენებული იყო ბერების რიკეტსიების შტამები, საქართველოში გამოყოფილი შტამები „ჩარგეიშვილის“, „ტყეშელაშვილის“, ყირიმის „1140“ და ხმელთაშუა ზღვის სანაპიროზე გრიტას შტამი. კორპუსულარული ანტიგენი შზადდებოდა ოლინიშნული შტამებით დასწრებოვანებული ქათმის ემბრიონის ყვითრის პარკებიდან. ანტიგენს ვამზადებდით გოლინგიჩის ეთილის-ეთერისა და თხელფენიანი სეპარაციის კომბინირებული მეთოდით [1].

კომპლექსურის შებოჭვის რეაქციებში ანტიგენები არ იჩენდნენ ანტიგონმცლემენტურულ თვისებებს და ხისიათდებოლნენ სპეციფიკურობით. სპეციფიკური შრატების მისაღებად ზღვის გოჭებს ვასნებოვნებდით შტამებით: „ჩარგეიშვილი“, „ტყეშელაშვილი“, „1140“ და გრიტას შტამის ყვითრის პარკის 10^{-2} განზავებული მასალით ($1,0$ მლლ. რაოდენობით). დასნებოვნებიდან მე-7, მე-14, 21-ე, 30-ე, მე-60, 90-ე, 120-ე და 180-ე დღეზე ზღვის გოჭებს ვუღებდით სისხლს და ვდგამდით კომპლექსურის შებოჭვის რეაქციას ერთდროულად ჩვენ მიერ დამზადებულ ბერების რიკეტსიების ჩარგეიშვილის, ტყეშელაშვილის და 1140 შტამის ანტიგენებთან და აგრეთვე სსრკ გამალეის სახ. მიკრ. ებიდ. ინსტიტუტიდან მიღებული გრიტას შტამის ანტიგენებთან (სერია № 44). კომპლექსურის შებოჭვის რეაქცია იდგმებოდა 37°C ტემპერატურის პირობებში 1 მლლ მიკულობაში. ქუ ცხელების იმუნიტეტის შესწავლის მიზნით საქართველოში (ჩარგეიშვილი, ტყეშელაშვილი) და სხვა მხარეებში (1140, გრიტა) გამოყოფილი შტამებით დასნებოვანებული ზღვის გოჭის ორგანიზმში კანქვეშ, საზარდულის არეში განმეორებით შეგვევდა ამცე შტამის ყვითრის პარკის კულტურები (1 მლლ.), რომელთა ინფექციური დოზა წინასწარ დადგენილი იყო ზღვის გოჭებზე. იმავე შტამებით, მასალითა და დოზით ვასნებოვნებდით ჯანმრთელ ზღვის გოჭებს. შედეგის შემოწმება ხდებოდა ტემპერატურისა და განვითარებული ინფილტრატის მონაცემებით. რიკეტსიებზე მიკროსკოპული გამოკვლევისათვის ისინჯებოდა კანქვეშა ექსუდატი და აგრეთვე ელენთისა.



და ღვიძლის ქსოვილი. პრეპარატებს ვღებავდით ზღრუდოსკის მეთანით [2]. იმუნიტეტის ცდები და სეროლოგიური გამოკვლევები ჩატარებულია 90 ზღვის გონიზე.

ბერნეტის რიკეტისიების სხვადასხვა შტამპით ღანსებონებული ზღვის გოჭების შრატების გამოკვლევის შედეგები ჰომოლოგიური და ჰეტეროლო-გიური შტამის ანტიგენებთან მოცემულია 1 ცხრილში.

ପ୍ରଶରୀଲୀ 1
କୁଳମୂଲେଭେନ୍ତିରୀର ଶୈଖିତ୍ୱରେ ଏହାମୁଦ୍ରିତ ଶୈଫ୍ଟ୍‌ସ୍ଟାର୍‌ଜେଟର ବିଷୟରେ କାହାରେ କାହାରେ କାହାରେ କାହାରେ କାହାରେ

იმუნური შრატები	გამოცვლების გაფეხი (დღისშემცირები)	შესატების რაოდენობა	კომპლექსური შესატების რეაქციის შედეგები ანტიგენის ბთან							
			ჩარგებელი შევილი	ტყეშელაშვილი 1140	1140	გრიტა	გრიტა	გრიტა		
ჩარგებელი ტყეშელაშვილი 1140 გრიტა	5 5 5	5 7 5	1 — 1	10 — 10	1 1 1	10 10 10	— — —	— — —	1 1 1	10 10 20
ჩარგებელი ტყეშელაშვილი 1140 გრიტა	4 4 4	4 14 14	95 140 44	4 4 55	32 80 4	4 4 20	37 60 4	4 4 55	90 140 27	
ჩარგებელი ტყეშელაშვილი 1140 გრიტა	8 8 8	21—30 8 8	270 680 340	8 8 6	118 420 220	8 8 19	110 210 8	8 8 4	125 440 160	
ჩარგებელი ტყეშელაშვილი 1140 გრიტა	3 3 3	60	120 293 133	3 3 3	67 120 93	3 3 3	67 120 107	3 3 3	57 67 27	
ჩარგებელი ტყეშელაშვილი 1140 გრიტა	9 9 9	90—180	8 116 9	55 9 33	8 9 9	30 60 18	8 60 9	6 9 22	11 40 17	
ჩარგებელი ტყეშელაშვილი 1140 გრიტა	9	9	1	10	—	—	—	4	18	

როგორც 1 ცხრილიდან ჩანს, დასწებოვნების აღრეულ ვადებში (7 დღე) გრიტას ანტიგენი სხვა შტამის ანტიგენებთან შედარებით უფრო ხშირად გვაძლევდა ჰომოლოგიურ შრატებთან კომპლექსების შებოჭვის დადებით რეაქციას (3—5-დან), ხოლო ჰეტეროლოგიურ შრატებთან იჩენდა ისეთივე მგრძნობელობას, როგორც საქართველოს სსრ-ისა და ყირიმის შტამის ანტიგენები. დასწებოვანების მე-14—60-ე დღეზე ზღვის გაჭებში ქურ რიკეტსიონის დასადაგენად ერთნაირად გამოისადგევი ილმიჩნდა ჩატვირტებისა და გრიტას ანტიგენი. რაღაც ყველა (60 შრატი) ჰომოლოგიურ და ჰეტეროლოგიურ შრატებთან იძლეონდნენ დადებით შედეგს. დასწებოვნების უფრო შორეულ ვა-

დებზი (90—180) ჩარგეოშვილის, ტყეშველაშვილისა და 1140 ანტიგენებმა ძალის გვცეს, გარდა გრიტას შტამის იმუნური შრატებისა, თითქმის ყველა ჰომოლოგიურ და ჰეტეროლოგიურ შრატებთან დადებითი შედეგი; გრიტას ანტიგენი კი საქმაოდ ხშირად გვაძლევდა უარყოფით შედეგს ოგონც ჰომოლოგიურ (4—6-დან), ისე ჰეტეროლოგიურ ჩარგეოშვილისა და 1140 შტამის (9—18-დან) იმუნურ შრატებთან, ე. ი. ექსპერიმენტულ პირობებში ქუ რიცეტსიოზით დასწრებოვნებული ზღვის გოჭების ორტროსპექტული დიაგნოსტიკისათვის გრიტას ანტიგენი ნაკლებად მგრძნობიარე აღმოჩნდა, ვიდრე დანარჩენი ანტიგენები. ანტისხეულთა ტიტრი მაქსიმალურ დონეს აღწევდა დასწრებოვნების 21-ე—30 ე დღეზე, მე-60 დღიდან კი აღინიშნებოდა ტიტრის დაცემა. ჩარგეოშვილის ანტიგენი სხვა შტამის ანტიგენებთან შედარებით იძლეოდა ანტისხეულთა მაღალ ტიტრებს ყველა ჰომოლოგიურ და ჰეტეროლოგიურ შრატთან, გარდა გრიტას შტამის იმუნური შრატისა. ეს უკანასკნელი შალალ ტიტრებს იძლეოდა მხოლოდ შესაბამის ანტიგენებთან. ანალოგიური სურათი მიიღო იაბლონსკარამაც [3] საბჭოური (73, 353, 321, 1140, 1182 „შპერლინგ“) და გრიტას შტამის ანტიგენების შედარებითი შეფასების დროს, როდესაც ცდებში ივტორის მიერ გამოყენებული იყო მხოლოდ დასწრებოვნებიდან მე-11—მე-60 დღეზე აღებული ზღვის გოჭის ჰომოლოგიური და ჰეტეროლოგიური შრატები.

ექსპერიმენტში ქუ ცხელების იმუნიტეტის შესასწავლად გამოყენებულმა ზღვის გოჭების დასწრებოვნების კანქვეშა მეთოდმა გვიჩვენა (იხ. ცხრილი 2), რომ საქართველოს სსრ-ში, ყირიმის ლექში და ხმელთაშუა ზღვის სანაპიროზე გამოყოფილი შტამები იძლევან ჯვარედინ იმუნიტეტს პირველადი დასწრებოვნებიდან 2—3 თვის განმავლობაში. მხოლოდ ერთ შემთხვევაში გრიტას შტამით დასწრებოვნებული ზღვის გოჭი აღმოჩნდა არაიმუნური ტყეშველაშვილის შტამის მიმართ. დასწრებოვნებიდან 6—7 თვეზე იმუნიტეტზე ჩატარებულმა ცდებმა გვიჩვენა, რომ 15 ზღვის გოჭიდან არაიმუნური აღმოჩნდა 6 ძირითადად ჰეტეროლოგიური შტამების მიმართ (5—6-დან). როგორც არაიმუნურ, ასევე საკონტროლო ჯგუფის ყველა ზღვის გოჭს რიკეტსიოზული მასალის შევანიდან მე-4—მე-14 დღეზე განვითარდა ინფილტრატი საზარდულის არეში, რომელიც საშუალოდ 15 დღის განმავლობაში არ ქრებოდა. ცხელება საკონტროლო ჯგუფის ზღვის გოჭებში შემჩნეული იყო 27-დან 21 შემთხვევაში და არაიმუნურ ზღვის გოჭებში 7-დან 2 შემთხვევაში.

მიკროსკოპულად რიკეტსიებს ვნახულობდით ოგონც არაიმუნურ, ისე საკონტროლო ზღვის გოჭების ინფილტრატის ანთებად ექსუდატში და აგრეთვე მათი გაქვეთის დროს ელენითისა და ღვიძლის ქსოვილიდან დამზადებულ პრეპარატებში. ყველა ზემოაღნიშნული მოვლენა იმუნურ ზღვის გოჭებს არ აღვინიშნებოდა. მიღებული მონაცემებიდან ჩანს, რომ საქართველოს სსრ-ში და სხვა მხარეებში გამოყოფილი რიკეტსიების შტამებს შორის არსებობს გარკვეული ნათესაური კავშირი და ამიტომ დასაშვებად მიგვაჩნია ვაქცინის დასაშადებლად გმოვიყენოთ საქართველოს სსრ-ის შტამები.



ცხრილი შესაბამისობა

ბერნეტის რიცეტსიების სხვადასხვა შტამებით დასწებოვნებული ზღვის გოჭების
ჯვარედინი იმუნიტეტი

პირველადი დასწებოვ- ნება შტამებით	ზოლის გენტინი რაოდენობა	ცენტრ (თვეები)	მეორადი დასწებოვნება შტამებით							
			ჩარგეიშვილი		ტყეშელა- შვილი		1140		გრიტა	
			ცენტრ	ზოლის რაოდენობა	მათ გენტინი	ცენტრ	ზოლის რაოდენობა	მათ გენტინი	ცენტრ	ზოლის რაოდენობა
ჩარგეიშვილი	23	2—3	6	6	6	6	5	5	5	5
	3	6	1	1	—	—	—	—	2	1
ტყეშელაშვილი	19	2—3	5	5	4	4	5	5	5	5
	3	6	—	—	1	0	—	—	2	1
1140	13	2—3	4	4	4	4	3	3	2	2
	5	6	3	2	1	1	1	1	—	—
გრიტა	15	2—3	5	5	3	2	3	3	4	4
	4	6	1	3	1	—	—	—	1	1

დასკვნები

1. ზღვის გოჭებში ქუ რიცეტსიონის სეროლოგიური დიაგნოსტიკა უმჯობესია წარმოებდეს დასწებოვნების 14 დღიდან. დასწებოვნებიდან მე-14—მე-60 დღეზე სადიაგნოსტიკოდ ერთნაირად გამოსადეგია როგორც გრიტას, ისე ჩარგეიშვილის ანტიგენი, ხოლო ზორეული რეკონვალესცენტის პერიოდში (90—180 დღე) გრიტას ანტიგენი ნაკლებად მგრძნობიარეა, ვიდრე ადგილობრივი და ყირიმის შტამის ანტიგენები.

2. ჩარგეიშვილის ანტიგენით კომპლემენტის შებოჭვის ანტისხეულების გამოაშკარავება ხდება მაღალ ტიტრებში სხვა შტამის ანტიგენებთან შედარებით. გრიტას შტამით დასწებოვნებული ზღვის გოჭების შრატებში ანტისხეულთა სპეცტრი ღარიბია, ვიდრე ჩარგეიშვილისა, ტყეშელაშვილის და 1140 შტამით დასწებოვნებული ზღვის გოჭების შრატებში.

3. საქართველოს სსრ-ში გამოყოფილი შტამები შეიძლება გამოყენებული იქნეს ვაქცინის დასამზადებლად, რადგან მათ აღმოაჩნდათ ფართო ანტიგენური სპეცტრი და იძლევებან ჯვარედინ იმუნიტეტს ბერნეტის რიცეტსიების როგორც პომლოგიურ, ისე ჰეტეროლოგიურ შტამებთან.

ვაქცინებისა და შრატების თბილისის

სამეცნიერო-კვლევითი ინსტიტუტი

(რედაქციას მოვალე 24.6.1961)

დამოუმუშებელი ლიტერატურა

- E. M. Голиневич. Сухие корпскулярные антигены... ЖМЭИ, № 6, 1955.
- П. Ф. Здроевский, Е. М. Голиневич. Учение о риккетсиях и риккетсииозах. Москва, 1953.
- В. А. Яблонская. Серологический анализ различных штаммов *Rickettsia burnetii*, Вопросы вирусологии, № 5, 1956.

მეტეოროგია

ა. სვანიძე

აღმოსავლეთ საქართველოს ნათელი ტყეებისა და მთების შინა
კალთების მუხნარ-რცხილების ურთიერთობის საკითხები

(წარმოადგინა აკადემიკოსმა ნ. კერძოელმა 16.1.1961)

ნათელი ანუ არიდული მეჩხერი ტყე ჩეულებრივი ტყისაგან განსხვავ-
დება თავისი გარეგანი იერით, ხეების მეჩხერი დფომით, განათების დიდი
ინტენსივობითა და კორომის საბურელის შეუკვრელობით [2]. გარდა ამისა,
ნათელ ტყეში გეხვდება ველისა და ნახევრადულაბნოს მცენარეულობის წარმო-
მადგენლები. ყოველივე ამის შედეგად იქმნება ისეთი გარემო, რომელიც
განსხვავდება როგორც ტყის, ისე ღია, უტყვიო ფართობების გარემო პირო-
ბებისაგან [3].

ნათელი ტყეები გავრცელებულია აღმოსავლეთ საქართველოს აღმო-
სავლეთ ნაწილში: წითელწყაროს, ბოლნისის, მცხეთის, გარდაბნის, სიღნაღის
რაიონებში, ზღვის დონიდან 200—600 მ სიმაღლეზე. აღნიშნული ნათელი
ტყეები წარმოდგენილია ქსეროფიტული ხე-მცენარეებით, ბუჩქნარებითა და
ბალაზული მცენარეებით.

ნათელი ტყის მთავარი შემქმნელი ჯიშებია: ფოთლოვანებიდან—საქმ-
ლის ხე (*Pistacia mutica* F. et M.), აკაკი (*Celtis caucasica* W.), ბერებულები
(*Pyrus salicifolia* L. და *P. georgica* Sch. Kuthath. და სხვა), ქართული ნე-
კერჩხალი (*Acer ibericum* M. B.), თელა (*Ulmus foliacea* Gilib); წიწვანები-
დან—ლვიები (*Iuniperus rufescens* L., *I. foetidissima* W., *I. polycarpos*
C. და *I. oblonga* M. B.); ბუჩქნარებიდან—ძებვი (*Paliurus spina-Christi*
Mill.), ზავჯაგა (*Rhamnus Pallasii* F. et M.), ქართული ცხრატყავა (*Loni-
cera iberica* M. B.), ჟამბინი (*Iasmium fruticans* L.), გრაქლა (*Spiraea hipe-
rericifolia* L.), თრიმლი (*Cotinus coggygria* Scop.), თუთუბო (*Rhus coriaria*
L.), ჯორის ძუა (*Ephedra procera* F. et M.), ქართული კოწანური (*Berbe-
ris iberica* Stev. et Fisch.), ბრონეული (*Punica granatum* L.), კუნეული
(*Crataegus kirtostilla* Fing.) და სხვა. ნათელი ტყეების ბალაზული საფარი
შედგება როგორც ველისა და ნახევრადულაბნოს, ისე მდელოს მცენარეულო-
ბის ელემენტებისაგან, რომელთაგან ბირველ რიგში აღსანიშნავია ურო (*An-
dropon ischaemum* L.), ვაციწვერები (*Stipa capillata* L., *S. Lessingiana*
F. et R.). იაბონური შვრიელი (*Bromus japonicus* Thunb), ბოლქვიანი თივაქას-
რა (*Poa bulbosa* L.), მხოხავი ჭანგა (*Agropyron repens* (L.) F. B.), წითელწყე-
რა (*Kochia prostrata* L.), ჩირანი (*Salsola ericooides* M. B.), ყარღანი (*Salsola*
dendroides Pall.), ქუჩი (*Festuca sulcata* L.), აბზინდა (*Artemisia Meieriana*



Bess), კობრჩხილა (*Falcaria vulgaris* Bernh.), ფარსმანლუკი (*Achillea millefolium* L.), სამყურა (*Tritolium echinatum* M. B.), ცისფერი იონჯა (*Medicago coerulea* Less.) და სხვა მრავალი.

აღმოსავლეთ საქართველოში გავრცელებული ნათელი ტყეები ქვემან შემდეგ ფორმაციებს [2]: 1. საქმლისხიანები — *Pistacieta* (მთავარი, ძირითადი ფორმაცია); 2. ნეკერჩხლიანები — *Acereta*; 3. აკაკიანები — *Celtiseta*; 4. ბერეჟნიანები — *Pjreta*; 5. თელიანები — *Ulmata*; 6. ლვიიანები — *Iunipereta*.

საკმლისხიანი ნათელი ტყის ურთიერთმოქმედება მთების წინაკალთების მუხნარებთან ყველაზე უფრო მევეტრად გამოსცხულია ჩარის მარჯვის მიმდევის ხევში, საგუბულოს ხევში, საწორე ხევში და ზანგილოს ხევში.

საქმლისხიანი ნათელი ტყის ურთიერთმოქმედება მთების წინაკალთების მუხნარებთან ყველაზე უფრო მევეტრად გამოსცხულია ჩარის მარჯვის მიმდევის ხევში, საგუბულოს ხევში და სწორე ხევში.

ჩარის ჩრდილო ფერდობებზე გაძატონებულია მუხნარ-რცხილნარი კორომები შეკრული საბურვლით (საბურვლის შეკრულობა უდრის 0,6—0,7), ხოლო განათებულ ადგილებში და ფანჯრებში ერევა დაბალი სიცოცხლისუნარიანობის მქონე საქმლის ხე და ლვიები. აქ კარგადაა გამოხატული აგრეთვე მეზოფიტულ და ქსეროფიტულ ხე-მცენარეებსა და ბუჩქნარებს შორის ადგილსამყოფელოს განაწილება. მაგალითად, ქართული მუხა, რცხილა, იფანი, ნეკერჩხალი და სხვა შედარებით მეზოფილურ პირობებში იზრდებიან — ხევებში და ჩრდილო ფერდობებზე, ხოლო საქმლის ხე, ლვია, ბროჭეული და ნათელი ტყის სხვა წარმომადგენლები გვხვდებიან ინტენსიური განათების მქონე ქსეროფიტულ პირობებში. გადაბერებული ხეების არსებობით ჩანს, რომ წინათ აქ იყო ტყე რცხილის გაბატონებით, მაგრამ დროთა განმავლობაში მუხის მონაწილეობა უფრო და უფრო გაიზარდა და ბოლოს მოხდა ეკოგენეტური სუქცესია: აქ რცხილა იცვლება მუხით. ამასთან ერთად, საქმლის ხე, როგორც სინათლის მოყვარული ჯიში, მუხნარ-რცხილნარ ტყეში ეძებს ლია ადგილს ან ფანჯარას და იქ სახლდება, რის გამოც იგი მის ერთ-ერთ კომპონენტად იქცევა.

იმ დროს, როდესაც ჩარის გვერდის სუქცესია ამჟამად მიმდინარეობს, ბოლნისის ჩრდილო-დასავლეთით, მდ. ქციასა და მაშავერას შორის მდებარე წყალგამყოფზე იგი უკვე დამთავდა. ახლა ამ ადგილებში მუხნარი ტყე ალარ არის, მაგრამ ქველად მის არსებობას მოწმობს შემორჩენილი ერთეულად მდგომი ქართული მუხის ხეები და ბუჩქები. მუხნარი იხევდა უკან — ზევით თავისი ზედა საზღვრისკენ, ხოლო აქვე მეზობლად მყოფი ნათელი ტყის ქსეროფიტული ელემენტები (საქმლის ხე, აკაკი, შავჯავა და განასაკუთრებით ძეძვი) იწევდნენ წინ და იკავებდნენ მუხნარისგან განთავისუფლებულ ადგილებს. მაშასადამე, მდ. ქციასა და მაშავერას შორის მდებარე წყალგამყოფზე, ისევე როგორც ჩარის გვერდის მუხნარ-რცხილნარ ტყეში ხება ნათელი ტყის წარმომადგენლების წინ წაწევა მუხნარ ტყეზე [3]. აქ

ჩვენ ეკოგენეტური სუქცესის შედეგად საქმე გვაქვს მუხნარი ტყის უკაზულებები ხევასთან.

მაგრამ ჩვენ შევცვლით აგრეთვე საკმლისხიანი ნათელი ტყის ისეთ ასოციაციებსა და მის ფრაგმენტებს, სადაც ქართული მუხა თავისი თანამეზავრებით (იფანი, მინდვრის ნეკერჩხალი და სხვა) კვლავ მტკიცედ იკავებს თავის ადგილს.

ჩაიბულახის სამხრეთი ფერდობი დაფარულია ნათელი ტყით, რომელიც შექმნილია საკმლის ხის, ბროჭეულის, ძებევის, მავჯაგის, და აკაკის ცალკეული ხეებისაგან. ბალახეული საფარი ტიპობრივია ნათელი ტყისათვის. ქართული მუხის ხეები განლაგებულია ხევის ფსკერზე, სამხრეთისა და ჩრდილოეთის ფერდობებს შორის. უფრო ზევით, სამხრეთ ფერდობზე, ქართული მუხის მონაწილეობა თანდათან მცირდება, მაგრამ საკმლისხიან ფორმაციაში იგი ერთეულად იზრდება დაბალტანიანი ეგზემპლარების სახით.

ისეთი შოვლენა, როცა ნათელი ტყის საკმლისხიან ფრაგმენტში იზრდება ქართული მუხა, აღნიშნულია სარკინეთის ქედის ყველა ხევში (მცხეთის რაიონი). ამ ადგილებში შეხვედრილი ქართული მუხის ეგზემპლარები ბუჩქნარის ტიპისაა, ხოლო ზევით, სარკინეთის ქედისკენ, იგი უკვე კორომებს ქმნის.

შოომლვიმის ხევის მცენარეულობის ანალიზის შედეგად შეიძლება ითქვას, რომ იქ ერთსა და იმავე აღგილსამყოფელოს პირობებში მჭიდრო ერთობლივ კაშირში იმყოფებიან როგორც ქსეროფიტული, ისე მეზოფიტული ხე-მცენარეები, მაგალითად, საკმლის ხე და ქართული მუხა, ღვია და იუანი და სხვა. მაგრამ ქსეროფიტული ხე-მცენარეების, ბუჩქნარებისა და ბალახოვან მცენარეთა მონაწილეობა უფრო მეტია, ვიდრე მეზოფიტურისა. აქ კარგად არის გამოსახული ქართული მუხის შერევა ნათელი ტყის შედგენილობაში და მის მიერ იქმნება საკმლისხიან-მუხიანი ტყის ტიპი.

ამრიგად, საკმლისხიანი ნათელი ტყეები და მთების წინა კალთების შუბნარები მჭიდრო ურთიერთკავშირშია და ადგილსამყოფელოს მცირე ცვლილების შედეგად ზემოქმედებას ახდენენ ერთომეორებზე.

ნეკერჩხლიანი ბოლნისის რაიონში, ნაწილობრივ ჩათახში, ბერდიკის ციხის დასავლეთით და აგრეთვე წითელწყაროს რაიონში – სოფ. ქედთან მდებარე ნავისწყლისა და ჭადრისწყლის ხევებში. ისინი წარმოდგენილი არიან ქართული და მინდვრის ნეკერჩლებით (*Acer ibericum* M. B., *A. campestre* L.).

ზემოაღნიშნული ნეკერჩლები ნათელ ტყეებში წმინდა კორომებს არსად არ ქმნიან: ისინი შერეული არიან ტყის შემქმნელ სხვა ჯიშებთან. მაგალითად, ჩათახში ეს კორომები გვხვდება სამხრეთ ექსპოზიციის ფერდობებზე, სადაც ისინი წყვეტილი გაგრცელებით ხასიათდებიან. ისინი დაფარული არიან ნათელი ტყით ქართული და მინდვრის ნეკერჩლების, ქართული მუხის, იფანის, ჯაგრცხლის, მცირე და ძებევის, ზავჯაგის, გრაქლის, კუნძლის დიდი მონაწილეობით, ხოლო ბერდიკის ციხის ახლოს მდებარე აღმოსავლეთის, დასავლეთისა და ჩრდილოეთის ფერდობები დაფარულია მუხნარ-ჯაგ-30. „მოამბე“, ტ. XXVII, № 4, 1961

რცხილნარი ტყით მასში იფნის მონაწილეობით. აღბათ აქ მუხნარ-ჯაგრუცხილნარმა დაიხია უკან თავისი ზედა საზღვრისაკენ, რაც ნაწილობრივ გამოწვეული იყო უსისტემო ჭრებით, სადაც განათებულ ადგილებში დასახლდნენ ველის მცენარეულობის წარმომადგენლები. აღნიშნული ტყის უკან დახევაზე იმოქმედა აგრეთვე ნიადაგისა და გრუნტის პირობების გაუარესებამ, რაც გამოწვეული იყო ზედაბირული ჩადენის გამო ნიადაგის ჩარცეხით და გამოფიტვით, ეს გარემოება კი აფერხებს ქართული მუხისა და მისი თანამგზავრების ბუნებრივ განახლებას და ხელს უწყობს ველის შეცენარებისა და ნათელი ტყის წარმომადგენლების გავრცელებას. აქ დრუდეს სკალით აღწერილი ნეკერჩხლიანი ნათელი ტყის შედგვნილობა ასეთია: *Acer iberica* Stev, et Fisch.—Sol, Sp¹; *A. campestre* L.—Sol; *Quercus iberica* Stev.—Sol; *Fraxinus excelsior* L.—Sp¹; *Carpinus orientalis* Mill.—Sp²; *Paliurus spinacristi* Mill.—Sp³; *Rhamnus Pallasii* F. et M.—Sp²; *Spirea hypericifolia* L.—Cop¹; *Crataegus kyrtostilla* Fing.—Sol.

ნეკერჩხლიანის ბალახეული საფარი მკვეთრად განსხვავდება ნათელი ტყის ელემენტებიანი მუხნარ-ჯაგრუცხილნარის ბალახეული საფარისაგან. მაგალითად, თუ იგი ნეკერჩხლიანის ქვეშ შედგება ისეთი სახეობებისაგან, როგორიცაა: *Andropogon ischaemum* L., *Diplachne bulgarica* (I. Bornm.). Roshev., *Setaria viridis* (L.), P. B., *Achillea nobilis* L., *Hypericum perforatum* L., *Teucrium chamaedrys* L., *T. polium* L., *Euphorbia hircana* A. Grossh., *Xeranthemum squarrosum* Boiss., სამაგიეროდ მუხრან-ჯაგრუცხილნარის ნათელი ტყისკენ გარდამავალ საფეხურზე ბალახეული საფარის შედგენილობა უფრო მეზოფილურია: *Melandrium Boissieri* B. Schischk, *Lactuca serriola* L., *Fragaria vesca* L., *Nepeta parviflora* M. B., *Brachipodium sylvaticum* (Huds.) R. et Sch., *Dactilis glomerata* L.

მუხნარ-ჯაგრუცხილნარის მთავარი კომპონენტის—ქართული მუხის და ნეკერჩხლიანების ურთიერთზემოქმედება შესამჩნევად არის გამოსახული აგრეთვე კაზრეთში დიდგვერდის მთაზე (ბოლნისის რაიონში, მდ. მაშავერის მარჯვენა ნაპირი). აქ მცირე დაქანების ფერდობზე ($5-10^{\circ}$) გაბატონებულია ძეგვი, რომელთანაც შერეულია ქართული ნეკერჩხალი, ქართული მუხა, შინდი, ჯაგრუცხილა, კუნელი, შავჯავა, გრაქლა. ფერდობზე ზევით ქართული მუხის მონაწილეობა თანდათან დიდდება—Sp², Sp³, იზრდება აგრეთვე ჯაგრუცხილის მონაწილეობაც—Sp³ (უფრო ზევით Cop¹, Cop²); მათ ერევათ ქართული ნეკერჩხალი—Sol., შინდი—Sol., იფანი—Sp¹. კიდევ უფრო ზევით ($700-750$ მ ზღვის დონიდან) იზრდება საშუალო სიხშირის მუხნარ-რცხილნარი ტყე ($0,5-0,6$). მაგრამ უნდა აღინიშნოს, რომ ზოგიერთ ლია ადგილში მეზობლად მდგომი ნეკერჩხლიანიდან მასში სახლდება ძეგვი, რომელიც ადგილს იკავებს მუხას, რცხილას, იფანსა და სხვა ჯიშებს შორის და შემდგომ ხელს უწყობს ნათელი ტყის სხვა ელემენტების ჩასახლებას.

ზემოაღნიშნულიდან შეიძლება გამოვიყვანოთ დასკვნა, რომ სხვადასხვა ზიოლოგიური და ანთროპოგენური მიზეზების გამო აქ ხდება ნათელი ტყის ელემენტების შემდგომი წინ წაწევა მუხნარ-რცხილნარის ხარჯზე, რომელიც თანდათანობით იხევს უკან თავისი ზედა საზღვრისაკენ.

ეკაკიანები გვხვდება ოლეს მთაზე და გზაზე ოლეს მთიდან ლექიტულ წყლამდე (შირაქი). ისინი დაკავშირებული არიან ღელე ოლესწყლის ორივე ნაბირთან და გავრცელებული არიან მისი დაშრობის ადგილამდე (ღელე იკარგება ნიადაგში) 1 კმ სიგრძეზე. ეკაკის ხეები იზრდებიან დიდ თარგებად, სადაც ხეები ერთმანეთისაგან დაშრობული არიან 4—5 მ მანძილით. აკაკის ხესთან ერთად იზრდება ძერვი, შავჯავა, თრიმლი, უსმინი და სხვა. ბალახეული საფარი გელისაა, რომლის მთავარ კომპონენტს ურო ჭარმოადგენს.

მდ. ფოლადაურის მარჯვენა ნაპირზე, ბერდიკის ციხის ძირში (ბოლნისის რაიონი) აკაკი ქმნის წმინდა თარგებს. მაგრამ ეს თარგები დიდი ხნის წინათ ხელოვნურად უნდა იყოს გაშენებული.

აკაკის ბუნებრივი ზრდა გვაქვს მდ. ალაზნის მარჯვენა ნაპირზე, წითელ-წყაროს რაიონის სოფ. ქედის ახლოს—ყაშებში, ნავისწყალზე, ჭადრისწყალზე, მილარის ბოლოზე, ყვარლის რაიონში ზაქრიანის ახლოს მთების ფერდობებზე და ბოლნისის რაიონში მდ. ქუიასა და შაშვერას შორის მდებარე წყალგამყოფ ქედზე, სადაც აკაკის ხეები საუკეთესოდ იზრდებიან უშუალოდ კლდეებზე. აკაკიანს ხშირად ერევა ქართული მუხა, რომელიც ქმნის აკაკიან-მუხიან ტყის ტიპს [2]. ასეთი შერევა გვხვდება ყვარლის რაიონში—სამგბის სერის სამხრეთ ფერდობზე, რომლის დაქანება უდრის 20—25°, ხოლო ზღვის დონიდან სიმაღლე 500 მ. ნათელი ტყის ამ ფრაგმენტში აკაკი იზრდება გაფანტულად, მაგრამ მასთან ერთად მონაწილეობას იღებს უქვე არა ქართული მუხა, არამედ ჭალის მუხა (*Quercus longipes* Stev.). მაშასადამე, აქ ჩვენ გვაქვს ჭალის მუხის შექრა აკაკიანის ფრაგმენტის შედგენილობაში.

მაგრამ ძალიან ხშირად გვხვდება შებრუნებული შოვლენა, როდესაც აკაკი იზრდება მუხნარ ტყეში [2]. აკაკის ასეთი შერევა გვხვდება ყვარლის რაიონში, კუსწყაროს მთების წინა კალთებზე (550 მ ზ. დ.). ისინი დაფარულნი არიან მუხნარ-რცხილნარი ტყით, რომელშიაც ჭალის მუხასთან, რცხილასთან, იფანთან, ჯაგრცხილასთან, შინდთან, ცაცხვთან და სხვებთან ერთად ღია ადგილებში და ფანჯრებში იჭრებიან აკაკი, ძერვი, თრიმლი და სხვები.

ზემოთქმულიდან გამომდინარეობს, რომ ტყის კირქვიან ფერდოდან, რომელიც წარმოადგენს ნათელი ტყის წარმომადგენლების პირველად ადგილ-სამყოფელოს (ამ შემთხვევაში აკაკის, ძერვის, თრიმლისა და სხვებისა), ეს უკანასკნელები ვრცელდებიან მუხნარ-რცხილნარში ბიოლოგიური თუ ანთროპოგნური მისზების გამო ფანჯრის სახით განთავისუფლებულ ადგილსამყოფელოზე, რადგან აქ მათი ოესლითი განახლების ყველა პირობა არსებობს, ხოლო ჭალის მუხისა და მისი სხვა თანამეზავრებისათვის არ არის სათანადო პირობები ნიადაგის ჩარეცხვისა და საკვები ნივთიერებების ნაკლებობის გამო.

ბერყენიანები გავრცელებული არიან ყაშებში, ნავისწყლის ხევის პირდაპირ და ზილიჩაში (შირაქი). ისინი უმთავრესად წარმოდგენილნი არიან შემდეგი სახეობებით: *Pyrus salicifolia* Pall., *P. georgica* Sch. Kuthath., *P. ketzkhovellii* Sch. Kuthath., *P. Sachokiana* Sch. Kuthath. და სხვა.

ყველაზე მეტად გავრცელებულია *Pyrus salicifolia* Pall. და *P. georgica* Sch. Kuthath., რომლებიც ნათელ ტყეს ქმნიან ყაშებმი, შირაქიდან დაქანებულ ფერდობებზე, ზღვის დონიდან 450 მ სიმაღლეზე, რომლის დაქანება არის 5—10°. სამხრეთი ფერდობი აქ ხასიათდება ბერებულიანისა და მუხნარი ტყის მეზობლობით. ამიტომ მუხნარში არის ბერებულიანის საგრძნობი მინარევი.

ბერებულიანი ნათელი ტყის ნაშთი გვხვდება აგრეთვე ზილიჩაში, სადაც ჩრდილო და ჩრდილო-დასავლეთი ფერდობები დაფარულია საბურველ შეკრული ტყით—რცხილის, იუნის, ქართული ნაკერჩხლის, ზინდის და სხვათა მონაწილეობით. ქართული მუხნის მონაწილეობა ამ ტყეში ნაკლებია — Sol, Sp¹. აქ ღია ადგილებში — გზებზე, სირონებზე და ფანჯრებში კარგად გრძნობენ თავს ბერებულიანი, რომლებიც მუხნარ-რცხილნარის ერთ-ერთ კომბონენტად იქცევიან. სამხრეთისა და სამხრეთ-დასავლეთის ფერდობები მოქლებულია მეზოფილურ ხე-მცენარეთა ჯიშებს და დაფარულია ნათელი ტყის ნაშთით *Pyrus salicifolia* Pall. და ერთეული *P. Sachokiana* Sch. Kuthath. მონაწილეობით. აქ დამახასიათებელია ის, რომ ნათელი ტყე ადგილ-ადგილ სოლივით იჭრება ფოთლოვან ტყეში.

თელიანები ნათელ ტყეს უშუალოდ არ ქმნიან. ისინი უნდა ჩაითვალონ ნათელსა და ჭალის ტყეებს შორის გარდამავალ ფორმაციად. ზოგჯერ ისინი იზრდებიან ნათელი ტყის გავრცელების არეში, მაგრამ გრუნტის შესაბამისობით დატენიანებულ ადგილებზე. თელის მხიშენელოვანი არსებობა ნათელი ტყის სხვა კომბონენტთა შორის დამახასიათებელია აღმოსავლეთ საქართველოს პირობებში. მაგალითად, ლექისწყალში, ლელე ლექისწყლის მარჯვენა ნაპირზე, ლერწამთან და ქართულ კაწახურთან ერთად იზრდება ბერებიანი და საკმლის ხე. ცენტრალურ ნაწილში გავრცელებულია საქმლის ხე და მეტვი, ხოლო ბალახულ საფარში აქ გვხვდება ურო, ვაციწვერა, იაპონური შვრიელა, ჩარანი და სხვა მრავალი. ტრიასისიარია ნაწილზე გვხვდება *Ulmus foliacea* Gilib., *Pistacia mutica* F. et M., *Paliurus spina-Christi* Mill., *Iasminum fruticans* L., *Cotinus coggygria* Scop., *Rhamnus Pallassii* F. et M. და სხვა მრავალი.

ღვიანები გავრცელებული არიან პანტიშარაში, ლექისწყალში, ვაშლოვანში (შირაქი), არმაზის ქედზე, კარსნის ხეობაში, მდ. მტკვრის მარცხენა ნაპირზე სოფ. ძეგვთან და სარკინეთის ქედის სამხრეთ ექსპოზიციაზე განლაგებულ შიომღვიმის, მახარის, საგუბულოს ხევებში (მცხეთის ჩაიონი). ისინი წარმოდგენილი არიან უმთავრესად ოთხი სახეობის ღვიანი: *Iuniperus foetidissima* W., *I. rufescens* Link., *I. polycarpos* C. Koch., *I. oblonga* M. B.

ლექისწყლის, პანტიშარისა და ვაშლოვანის ღვიანები მკვეთრად განსხვავდება არმაზის, კარსანის და ზემოაღნიშნული ხევების ღვიანებისაგან [2], რადგან იქ არ არის მუხნარებთან კონტაქტი ამ უკანასკნელების არარსებობის გამო. არმაზის, კარსანის და ჩამოთვლილი ხევების ღვიანებში დიდ მონაწილეობას იღებენ დაბალი სარტყლის ტყის მეზოფილური ელემენტები, მაშინ როდესაც შირაქის ღვიანებში ჭარბობენ ველის ქსეროფიტული ელე-

шіністю. Магалянітад, яркістью, архітектурою та містичністю. Національна бібліотека Республіки Білорусь є її символом.

Національна бібліотека Республіки Білорусь є її символом. Вона є не тільки засобом збереження і передачі історичного спадщини, а й центром культури та освіти, місцем зустрічей та обговорювання сучасних проблем. Вона є місцем, де можна зустрітися з великими письменниками, науковцями, художниками та інтелігентами. Вона є місцем, де можна зустрітися з великими письменниками, науковцями, художниками та інтелігентами.

Національна бібліотека Республіки Білорусь є її символом. Вона є не тільки засобом збереження і передачі історичного спадщини, а й центром культури та освіти, місцем зустрічей та обговорювання сучасних проблем. Вона є місцем, де можна зустрітися з великими письменниками, науковцями, художниками та інтелігентами. Вона є місцем, де можна зустрітися з великими письменниками, науковцями, художниками та інтелігентами.

Національна бібліотека Республіки Білорусь є її символом. Вона є не тільки засобом збереження і передачі історичного спадщини, а й центром культури та освіти, місцем зустрічей та обговорювання сучасних проблем. Вона є місцем, де можна зустрітися з великими письменниками, науковцями, художниками та інтелігентами. Вона є місцем, де можна зустрітися з великими письменниками, науковцями, художниками та інтелігентами.

Національна бібліотека Республіки Білорусь є її символом. Вона є не тільки засобом збереження і передачі історичного спадщини, а й центром культури та освіти, місцем зустрічей та обговорювання сучасних проблем. Вона є місцем, де можна зустрітися з великими письменниками, науковцями, художниками та інтелігентами. Вона є місцем, де можна зустрітися з великими письменниками, науковцями, художниками та інтелігентами.

Національна бібліотека Республіки Білорусь є її символом. Вона є не тільки засобом збереження і передачі історичного спадщини, а й центром культури та освіти, місцем зустрічей та обговорювання сучасних проблем. Вона є місцем, де можна зустрітися з великими письменниками, науковцями, художниками та інтелігентами. Вона є місцем, де можна зустрітися з великими письменниками, науковцями, художниками та інтелігентами.

ამრიგად, სხვადასხვა ენდო- და ეგზოგენური და მათ შორის ანთროპოგენური ფაქტორების გამო, ჩვენ გვაქვს როგორც ველის შეჭრა ნათელ ტყეში, ისე მისი უკან დახევა ნათელი ტყის ზეგავლენის მეშვეობით. ამასთან ერთად აღსანიშნავია ამ უკანასკნელის მჭიდრო ურთიერთზემოქმედება მთების წინა კალთების ტყეებთან, რომელიც გამოსახულია როგორც მუხნარ-რცხილნარ ტყეებში ნათელი ტყის ელემენტების შეჭრით (რის გამოც პირველი იხევენ უკან), ისე ქართული და ჭალის მუხის შეჭრით (თანამგზავრებთან ერთად) მათ მიერ ნათელ ტყეებში შესაფერისი აღგილსამყოფელოს მტკიცედ დაკავებით.

საქართველოს სსრ მეცნიერებათა აკადემია

სატყეო ინსტიტუტი

თბილისი

(რედაქციას მოუვიდა 16.1.1961)

დამოუმჯობელებელი დიტიჩატურა

1. В. З. Гулиашвили. О лесостепной зоне Восточного Закавказья. Сообщения АН Грузинской ССР, т. III, № 4, Тбилиси, 1942.
2. გ. ე. ც. თ. ვ. ე. ლ. ჩვენი ნათელი ტყეების და ველების დინამიკის საკითხისათვის. თბილის ბოტანიკის ინსტიტუტის მრომები, ტ. XIX, 1958.
3. გ. ე. ც. თ. ვ. ე. ლ. კიდევ ნათელი ტყეების წარმომადის შესახებ. თბილისის ბოტანიკის ინსტიტუტის მრომები, ტ. XX, 1959.
4. Н. Н. Кецховели. Прошлое прибрежных лесов Восточной Грузии и к вопросу об их восстановлении. Труды Грузинского с/х института, т. XVIII, 1942.
5. Н. Н. Кецховели. Ширакский заповедник фисташника. Эльдарская сосна. Заповедники и памятники природы. ГССР, № 1. 1937.

1961
გ. 6.
2. 6. 1961

ზოოლოგია

დ. კობახიძე

ორუმორივლის—*CHELIFER CANCROIDES* (L.)—გამოცელების
შესახებ საქართველოს ტერიტორიაზე

(ჭარბობაზე აკადემიის წევრ-კორესპონდენტმა ლ. კალანდაძემ 18.10.1960)

როგორც ცნობილია, *Chelifer cancroides* (L.) თიქმის კოსმობოლიტია და ითვლება [1,2]. *Chelifer cancroides* (L.) ასეთი ფართო გავრცელება აისხნება მისი შეტანით ყველა მისაწვდომ ადგილსამყოფელოში სხვადასხვა ნივთებითა და ავეჯით, ადამიანისა და სატრანსპორტო საშუალებების მიერ. აქამდე *Chelifer cancroides* (L.) ითვლებოდა თითქმის მხოლოდ სინათრობად, ხშირად პოლლობდენ მას ადამიანის საცხოვრებელი ბინის ნაგავში, ზგრამ ამას-წინანდელმა გამოკვლევებმა [3] გვიჩვენა, რომ ავსტრიის პირობებში *Chelifer cancroides* (L.) ჩვეულებრივ შეცდომით მიკუთვნებულია თითქმის მხოლოდ სინათრობული სახეობებისადმი, რადგან იქ შეგროვილი ეგზემპლარების უმრავლესობა არის არა ადამიანის საცხოვრებელი ბინიდან. გამოირკვა, რომ *Chelifer cancroides* (L.) ავსტრიაზე ყველაზე უფრო ჩვეულებრივია ფარდულებსა და სარაიტში, ეგზემპლართა უმრავლესობა ნაპოვნი, წიწვოვანი ხეების ამსეფარი ქერქის ქვეშ. ასე რომ ეს ადგილსამყოფელი, ყოველ შემთხვევაში კლიმატური პირობების მიხედვით არა ლერმ მკაცრ ადგილებში, განხილულ უნდა იქნეს როგორც ამ სახეობის ბუნებრივი ადგილ-საყოფალი. ფართოდ გავრცელებული *Chelifer cancroides* (L.) მიკუთვნებულია, ალბათ, ავსტრიის ავტოხტონური სახეობებისადმი [3].

ჩვენ მიერ მოპოვებული მრავალრიცხვანი მასალების, საქართველოს მუზეუმის ზოოლოგიურ განყოფილებაზე დაცული მასალებისა და სსრკ მეცნ. აკად. ზოოლოგიის ინსტიტუტის ზოოლოგიურ მუზეუმში დაცული მასალების მიხედვით *Chelifer cancroides* (L.) ნაპოვნია საქართველოს სსრ შემდეგ ადგილებში:

1. თბილისი, კუს ტბის ახლო, ქვის ქვეშ ნაგავში (10.VI.1908);
2. თბილისი, ბროსეს ქ. 5, ადამიანის საცხოვრებელი ბინა, ცელ წიგნებში (27.IV.1928);
3. თბილისი, ადამიანის საცხოვრებელი ბინა, ცხოველის დამტვერილ ფიტულზე (3.VI.1948);
4. თბილისი, საბურთალო (სპეციალისტების სახლი), ადამიანის საცხოვრებელი ბინა, ცელ წიგნებში (1.VI.1934);
5. თბილისი, ყიფიანის ქ. 9, ადამიანის საცხოვრებელი ბინა, ცელ წიგნებში (10.VIII.1954);

6. ობილისი, ბოტანიკურ ბაღთან მიმავალ გზაზე ქვის ქვეშ ნაგავში (14.VI.1954);
7. სტალინირი, ადამიანის საცხოვრებელი ბინა, ნაგავში (18.IV.1917);
8. ბორჯომის რაიონი, სოფ. ციხისჯვარი, ადამიანის საცხოვრებელი ბინა, ნაგავში (18.VI.1957);
9. ბორჯომი-ლიკანი, ფიჭვის ტყე, ფიჭვის ქერქის ქვეშ (11. VII. 1953);
10. ლაგოდეხი, ადამიანის საცხოვრებელი ბინა, ნაგავში (25.IX.1905);
11. ხობის რაიონი, სოფ. ზენიგონი, ნაგავში, (15.IX.1954);
12. სოხუმი-ქელასური, ნაგავში (11.VI.1958);
13. თებერდა, ტალიბაში, ფიჭვის ამსკდარი ქერქის ქვეშ (8.IX.1954).

ამგვარად, *Chelifer cancroides* (L.) ნააოვნია აღმოსავლეთ და დასავლეთ საქართველოში, უმთავრესად, სინანთრობულ რიტობებში. ამდენად, ჩვენ გვე-ჩვენება, რომ გამორიცხულია ამ სახეობის რესპუბლიკის ტიდა აბსოლუტური კოსმოპოლიტურობის შესაძლებლობა, თუმცა შემდგომ გამოკვლევებს შეუ-ლიათ კიდევ უფრო გააფართოონ და გაამრავილდეოროვნონ ადგილსამყალე-ლთა პროექტი. ამასთან ისიც უნდა აღინიშნოს, რომ ეს სახეობა ყოველ-თვის შედარებით მცირე როლებით გვხვდება. ბოლოს, *Chelifer cancroides* (L.) შესაძლოა ჩაითვალოს საქართველოს სსრ ტერიტორიის ისეთსავე ავტონომიად, როგორც მისი ძირითადი რევილის სხვა ზონაში.

საქართველოს სსრ მეცნიერებათა აკადემია

ზოოლოგიის ინსტიტუტი

თბილისი

(რედაქტირ მოუვიდა 18.10.1960)

დამოუწეული ლიტერატურა

1. M. Beier. Pseudoscorpionidea. I u. II. Das Tierreich. 57 u. 58. Liefl. Berlin u. Leipzig. 1932.
2. H. Lohmander. Zur Kenntnis der Pseudoscorpionfauna Schwedens. Entomologisk Tidskrift, 1939.
3. F. Rebl u. M. Beier. Zur Ökologie, Biologie und Phänologie der heimischen Pseudoscorpione. Zool. Jahrbücher, Band 86, Heft 1/2, 1958.

ზოოლოგია

D. ლიხარევი და გ. ლეჟაშვილი

ხელლეოთის მოლუსკის ახალი სახეობა სთათუმავთიღან
(*GASTROPODA, CLAUSILIIDAE*)

(ჭარბოւდგინა კადემიის წევრ-კორესპონდენტმა ლ. კალანდაძემ 2.2.1961)

ჭინამდებარე შრომაში აღწერილია ახალი სახეობა *Euxina tuschetica* Likharev et Lezhava, რომელიც გ. ლეჟაშვილმ იპოვნა მთათუშეთში. მალაკოლოგიური თვალსაზრისით აღმოსავლეთ საქართველოს ეს მხარე თითქმის შეუსწავლელია.

ფიზიკურ-გეოგრაფიული მდებარეობის მხრით მთათუშეთი დაღესტნის სამხრეთ-დასავლეთ ნაწილს წარმოადგენს. ამ მხრის საშუალო სიმაღლე ზ. დ. 1800—2400 მ უდრის. ქვემოთ აღწერილი სახეობა ნაპოვნია სოფ. ზემო ომალოს მახლობლიდ 1959 წ. 8 აგვისტოს, 1900 მ სიმაღლეზე ზ. დ., მთის სამხრეთ ფერდობზე, შერეულ ტყეზე, ნოტით ნამსხრევ ფილაქებს შუა და კლდეზე. აქ სულ მოპოვებულია 10 ცოცხალი ეგზემპლარი, მათ რიცხვში 5 ზრდასრული. გარდა ამისა, თუშეთის ალაზნის მარცხნა ნაპირზე, 1700 მ სიმაღლეზე, სოფ. ზემო ომალოსა და ხახაბოს ჩემართვებელი ხიდის ახლო ნაპოვნია 4 ცარიელი ნიჟარა, რომელიდანაც ერთი ამორჩეული იყო, როგორც მოცემული სახეობის ჰოლოტინი. დაბოლოს, იმავე ევტორმა, იმოგზაურა რა მეორეჯერ მთათუშეთში, იპოვა ეს სახეობა სოფ. ჯვარბოსელთან, კლდეზე, 1960 წ. 20 აგვისტოს, 2200 მ სიმაღლეზე. როგორც ჩანს, უფრო მაღლა ეს მოლუსკი არ შინადრობს, რადგანაც, მიუხედავად მისი ძებნისა 3000 მ სიმაღლემდე, ის არ იყო იქ ნაპოვნი.

აღნიშნულ სახეობას ეწოდა აღმოსავლეთ საქართველოს იმ მხარის სახელი, სადაც იგი პირველად იქნა ნაპოვნი.

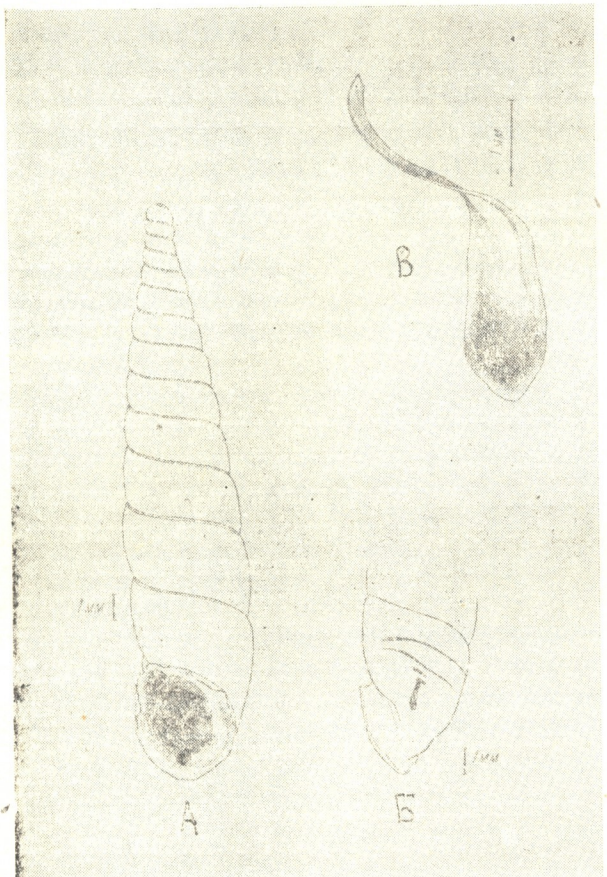
ჰოლოტიპი და 11 პარატიპიდი ინახება სსრ კავშირის მეცნიერებათა აკადემიის ზოოლოგიის ინსტიტუტის კოლექციისგან (ლენინგრადი), ხოლო დანარჩენი პარატიპიდები (44 ეგზემპლარი) — საქართველოს სსრ მეცნიერებათა აკადემიის ზოოლოგიის ინსტიტუტის კოლექციისგან (თბილისი).

მოგვყავს ახალი სახეობის აღწერა.

Euxina (Euxina) tuschetica Likharev et Lezhava, sp. nov.

ღიაგნოზი. სახეობა უფრო წააგავს *E. difficilis* (Ret.). მაგრამ ამ უკანასკნელისაგან მას ასხვავებს ზედა და შუა ბალატალური ნაოჭების არსებობა, კლაუზილის ფორმა, ქვედა პალატალური ნაოჭის უქონლობა, სუბკლუმელარული ფირფატის ნაკლებად ღრმა ჩაწოლა, აგრეთვე ისიც, რომ იმ ფირფატის ქვედა ბოლო ბაგიდან მოჩანს.

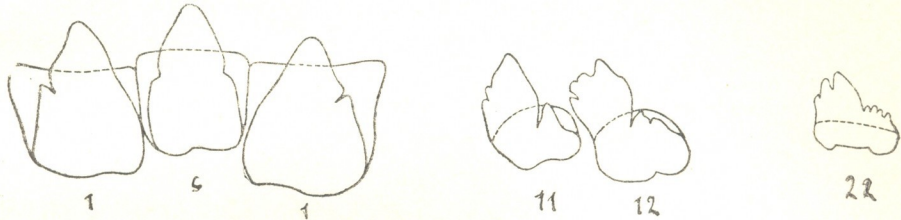
აღ წერა. ნიჟარი (ნახ. 1) კოშკისებრ-თითისტარისებრია, ტანკებულებული ზედა დეფინიტურ ბრუნებზე წვრილი და არახშირი წიბოებიანია, ქვედა ბრუნებზე წვრილი და ხშირად დახაზულია, სუსტად გამჭვირვალეა, აბრეშუმისებრი ბზინეარებით, მუქი რქისფერია. ოხემი ვიწრო, მომრგვალებულია (სიგანე 1,0—1,2 მმ); თხემის დაბლა ხევულის გვერდითი კონტური ოდნავ უცნებელია. ბრუნები 13, ნელა მზარდია, ზედა ბრუნები სუსტადაა გამოზნექილი, ქვედა თითქმის ბრტყელია; ემბრიონული ბრუნები (3) გლუვია, გამოზნექილია, ბაცი შეფერილობისაა. უკანასკნელი 2—3 ბრუნი თითქმის ერთნაირი სიგანისაა, უკანასკნელი ბრუნი ბაგის უკან წიბოებიანია და შემჭიდროებულია, ქვემოთ მსხვილი დანაოჭებული ქვედით. ბაგე ფართოა, მსხლისებრია, შიგნით ყავისფერია, დაბლა მდებარებით განიერი სინულუსითა და საქმიან ლრმა ბაზალური ღრით. ბაგის კიდეები ფართოდაა გადმოკეთილი, თეთრია; ქვედა კიდე მომრგვალებულია. ზედა ფირფიტა წინ ბაგის კიდემდე აღწევს, უკანა ბოლო კი თანდათან კლებულობს იმგვარად, რომ ის სპირალური ფირფიტის ქვედა დონემდე ვერ აღწევს. სპირალური ფირფიტა ლრმად მდებარეობს და ბაგიდან ცუდად ჩანს. ქვედა ფირფიტაც ლრმად მდებარეობს და მხოლოდ ბაგის ირიბ მდგომარეობაში მოჩანს; ამ ფირფიტას გარეთა კიდის გასქელებით სქელი ლანცეტისებრი ნაოჭის ფორმა აქვს, იგი მჭიდროდ იჭრება ნიჟარის სილრმეში და მხოლოდ ბოლოს იძლევა მოქლე ლუნვილს. ქვედა ფირფიტის ქვედა ბოლო ბაგეს არ უკავშირდება.



ნახ. 1. *Euxina tuschetica* Likharev et Lezhava, sp. nov.
A—ნიჟარის საერთო ხედი (პლატიბი); B—ნახევრადმოვარისებრი, მთავარი და პალატალური ნაოჭის განლაგება;
B—კლაუსილი

ცილი, თეთრია; ქვედა კიდე მომრგვალებულია. ზედა ფირფიტა წინ ბაგის კიდემდე აღწევს, უკანა ბოლო კი თანდათან კლებულობს იმგვარად, რომ ის სპირალური ფირფიტის ქვედა დონემდე ვერ აღწევს. სპირალური ფირფიტა ლრმად მდებარეობს და ბაგიდან ცუდად ჩანს. ქვედა ფირფიტაც ლრმად მდებარეობს და მხოლოდ ბაგის ირიბ მდგომარეობაში მოჩანს; ამ ფირფიტას გარეთა კიდის გასქელებით სქელი ლანცეტისებრი ნაოჭის ფორმა აქვს, იგი მჭიდროდ იჭრება ნიჟარის სილრმეში და მხოლოდ ბოლოს იძლევა მოქლე ლუნვილს. ქვედა ფირფიტის ქვედა ბოლო ბაგეს არ უკავშირდება.

სპირალური და ქვედა ფირფიტების ზედა ბოლოებს შუა ძეგს პატარა, უმცირესი კარგად გამოსახული ჩართული ფირფიტა. არის შუალედური ნაოჭი, ორმელიც ძეგს ქვედა ფირფიტის ქვედა ბოლოსა და ზედა ფირფიტის ზედა ბოლოს შეა. სუბკოლუმელარული ფირფიტა თითქმის ქვედას პარალელურია; მისი ქვედა ბოლო შეიმჩნევა ბაგის ირიბ მდგომარეობაში. მსხვილი ნახევარმოვარისებრი ნაოჭი ძეგს ნიჟარის მარჯვნივ ზურგის მხრიდან; მისი ქვედა ბოლო გადაზნექილია წინ, ბაგისაკენ. რამდენადმე უფრო ღრმად იღებს დასა-



ნახ. 2. *Euxina tuschetica* Likharev et Lezhava. sp. nov.

რადულა; C—შუა კბილი; ციფრები—გვერდითი და ბოლო კბილების რიგითი ნომრები

წყის მთავარი და ზედა პალატალური ნაოჭები, ორმელიც ვრცელდებიან წინ, ბრუნის $\frac{1}{4}$ -ზე, ასათან პირველი ბარალელურია მეორესი და რამდენადმე დიდია მასზე. არის მოკლე, მაგრამ სქელი შეალა პალატალური ნაოჭი, ორმელიც მდებარეობს ნიჟარის უკანასკნელი ბრუნის მარცხენა მხარეს. კლაუზილის (ემაგრება ბოძს უკანასკნელი ბრუნის დასაწყისში) შედარებით მოკლე სახელური, ფართოვდება რა თანდათან, გადაიდის ვიწრო, მაგრამ გრძელ ენისებურ, ბოლოში ოდნავ გასქელებულ ლაპოტში.

(ზომები მმ-ით)

ცხრილი

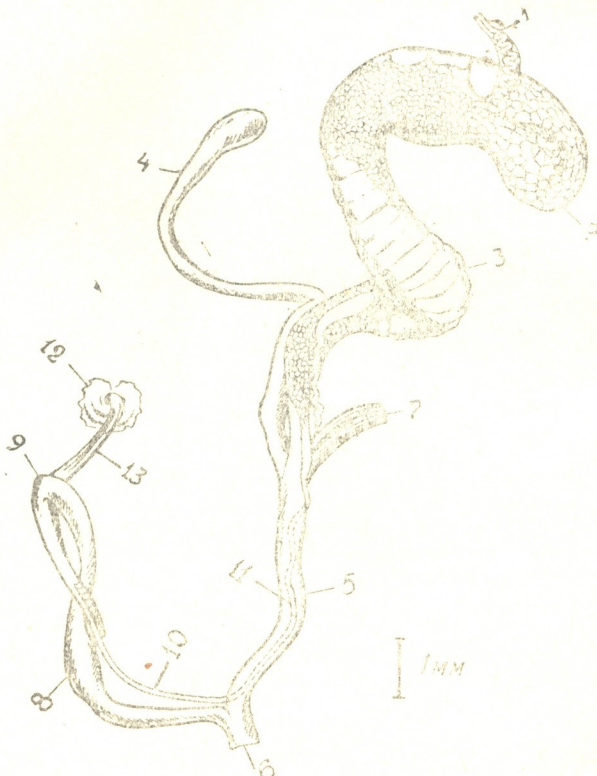
№№	ნიჟარის სიმაღლე	ნიჟარის სიგანე	ბაგის სიმაღლე	ბაგის სიგანე	ბრუნების რიცხვი	შენიშვნა
1	22	4,7	4,5	3,8	$13\frac{3}{4}$	ჰოლოკიპი
2	20,6	4,7	4,5	3,3	$13\frac{1}{2}$	თხემი
3	—	4,5	4,5	3,5	—	მომტკრე-
4	21,8	4,7	4,5	3,4	$13\frac{1}{2}$	ულია
5	22,6	4,8	4,6	3,3	14	
6	21,9	4,7	4,5	3,4	$13\frac{3}{4}$	

ზინაგანი აგებულება. მასალა: საქართველო, მთათუშეთი, სოფ. ზემო ომალო, 1900 მ ზღვის დონიდან, შერეული ტყე, 8.VII.59 წ. გაკვეთილია 1 ეგზემბლარი.

რადული (ნახ. 2). შუა კბილი, დამატებითი კბილების ოდნავი აღნიშვნით. ერთკბილიანია; მისი ზომებია: სიგრძე 25 მ, სიგანე 13,4 მ. მწკრივის თითოეულ მხარეს გვერდით კბილები 10—10 ცალია, ყველა დამატებითი კბილით. ბოლო კბილები მწკრივის თითოეულ მხარეს 18—18-ია; ისინი აღჭურვილი არიან 4—7 დამატებითი კბილით. კბილთა მწკრივის საერთო რიცხვია 120. რადულის სიგანე 800 მ.

სასქესო სისტემა (ნახ. 3). გრძელი თესლმიმღები ბოლოვდება არცთუ ისე დიდი მომრგვალებული რეზერვუარით. ეს უკანასკნელი მიბჯენილია ცილოვან ჯირკვალზე. თესლმიმღების მორჩი ძალზე წვრილია და ძლიერ დაკლავნილია, ზემოთ იგი, თესლგამტარის ზედა ბოლოსთან შედარებით $\frac{1}{2}$ ბრუნით უფრო მაღლა მთავრდება. საშვილოსნო ძალზე მოკლეა. საშო გრძელია, ცილინდრისებრი, იგი საშვილოსნოზე $4\frac{1}{2}$ უფრო გრძელია. გრძელი პენისი შეუა ნაწილში თითისტარისებურადაა გაგანიერებული. არის შედარებით გრძელი (დაახლოებით 1 მმ) შოლტი. თესლმიმღების რეტრაქტორი მიმაგრებულია როგორც ამ უკანასკნელის ყელთან, აგრეთვე ნაწილობრივ საშვილოსნოზე.

მარცხენა თვალის საცეცის რეტრაქტორი გაღის პენისსა და საშოს შეა.



ჩახ. 3. *Euxina tuschetica* Likharev et Lezhava, sp. nov. სასქესო სისტემა: 1—გერმაფრთდიატული სადინარი, 2—ცილოვანი ჯირკვალი, 3—ოქსლუერცხამტარი, 4—თესლმიმღები, 5—საშო, 6—სასქესო კლავა, 7—თესლმიმღების რეტრაქტორი, 8—პენისი, 9—პენისის მიერ შექმნილი მარტული, 10—თესლგამტარის აღმავალი მუხლი, 11—თესლგამტარი, 12—დიაფრაგმა, 13—პენისის დიაფრაგმალური რეტრაქტორი

სისტემატიკური ადგილი. აღწერილი მოლუსკის როგორც ნიჟარა, ისე სასქესო სისტემის აპარატის აღნავობა მიგვითოვგბს, რომ იგი

მიეკუთვნება წინააზის ვრცელ გვარ *Euxina* Bttg.-ს. სწორედ ამ ჯგუფის მიეკუთვნება თვისაა დამახასიათებელი ნიშნების ისეთი კომპლექსი, როგორიცაა ზედა სპირალური ფირფიტის ურთიერთდამოუკიდებლობა, რომლებიც ბრძანდან სხვადასხვა მანძილზე მდებარეობენ, ქვედა ფირფიტის ორმაღ ჩაწოლა და მისი ლანცეტისებრი ფორმა, აგრეთვე ჩართული ფირფიტის არსებობა. წეორე მხრივ, სასქესო სისტემის შიმართ აღნიშნული ჯგუფისათვის დამახასიათებელი ბენისის მიერ შექნილი მარყუფი და თესლგამტარის აღნავალი მუხლი, ბენისის დიაფრაგმული რეტრაქტორი, შოლტი და თესლმიმდების მორჩი.

Euxina-ს გვარის ფარგლებში ჩვენს სახეობისთან უფრო დიდ მსგავსებას იჩენს *E. difficilis* (Ret.), რომელიც ბინადრობს ჩრდილო-აღმოსავლეთურქეთში (ჭოროხის ვილაიეთი). ამ უკანასკნელთან ჩვენს მოლუსკს აახლოებს ნიერის ფორმა და ზომები, ფირფიტების მდებარეობა და ფორმა, ნახევარმთვარისებრი ნაოჭის არსებობა, მისი ფორმა და ნიერაში ჩაწოლის სიღრმე. არის განსხვავებაც. *E. difficilis*-საგან ჩვენი მოლუსკი განსხვავდება ჩართული ფირფიტის არსებობით, ზედა და შუა პალატარული ნაოჭებით, კლაუზილის ფორმით და იმითაც, რომ ჩვენი სახეობის სუბკოლუმელარული ფირფიტის ქვედა ბოლო ბაგიდან მოჩანს, მაშინ როდესაც *E. difficilis* იგი არ უჩანს.

ჩვენი მოლუსკი ეკუთვნის *Euxina* s. str. ქვეგვარს. ამაზე მიგვითითებს როგორც მსგავსება *E. difficilis*-თან, რომელიც მიეკუთვნება ამავე ჯგუფს, აგრეთვე ისიც, რომ აღწერილ სახეობას აქვს რიგი საერთო ნიშნები აღნიშნულ ქვეგვარში შემავალ სხვა სახეობებთან.

მართალია, ზედა პალატალური წარჭის თანარჩებობა მთლიანი ნახევარმთვარისებრი ნაოჭის შენარჩუნებით აქამდე შეუმჩნეველი მოვლენაა სსენებული ქვეგვარის ფარგლებში, იგი უფრო დამახასიათებელია *Elia* H. et A. Adams. ქვეგვარისათვის, მაგრამ ეს ჯგუფი მკერთად განსხვავდება *Euxina tuschetica*-საგან, პირველ რიგში ზემო პალატალური ნაოჭების გარდა კიდევ 3—4 ქვემოთმდებარე პალატალური ნაოჭის არსებობით, რომლებიც წარმოიშვნენ პალატალური კორძის ხარჯზე. განსხვავებაა აგრეთვე ბაგის კიდეებზე მრავალრიცხვანი ნაოჭებისა და კვანძების არსებობაში. ამიტომ, ჩვენი აზრით, არა გვაქვს იმის საფუძველი, რომ ჩვენი სახეობა *Elia*-ს ქვეგვარს მივაკუთვნოთ.

საქართველოს სსრ მეცნიერებათა კადემია

ზოოლოგიის ინსტიტუტი

(რედაქციას მოუვიდა 8.2.1961)

დაოვალებული ლიტერატურა

1. И. М. Лихарев и Е. С. Раммельмейер. Наземные моллюски фауны СССР. Опред. по фауне СССР. Изд. Зоол. Института СССР, 41, 1952, 511.
2. И. М. Лихарев. Морфо-функциональный анализ организации *Clausiliidae* и некоторые вопросы их систематики и филогении. Зоолог. журнал, 37, 5: 1958, 750—763.
3. И. И. Тумаджанов. Леса Горной Тушетии. Труды Тбилисск. Ботанич. Института Грузинского Фил. АН СССР, 5, 1938, 106—237.

ფიზიოლოგია

3. მოსიძე

კუდიანი სხეულის ცალმნიდი გაღიზიანების
გავლენა პირობით რეზლეჩსევ

(წარმოადგინა აკადემიკოსმა ო. ბერიტაშვილმა 27.7.1960)

ზოგიერთი ავტორის მონაცემებით, კუდიანი სხეულის სუსტი გაღიზიანება იწვევს სპონტანური მოძრაობების თანდათანბით შემცირებას და ცხოველის დამშვიდებას, ზოგჯერ კი ძილს [1].

სხვა ავტორები [2] კითხვის ნიშნის ქვეშ აყენებენ კუდიანი სხეულის გაღიზიანების შედეგად შექავების მიღების შესაძლებლობას. პირიქით, ტენის ამ ნაწილის გაღიზიანების შედეგად ისინი იღებდნენ ცხოველის სხვადასხვა მოტორულ რეაქციებს: თავის მოძრაობას, კიდურების მოხრას და სხვა.

თუ კუდიანი სხეულის გავლენის საკითხი ცხოველის მოტორულ რეაქციებზე სადაცოა, მით უფრო გაურკვეველია ამ წარმონაქმნის როლი პირობითი რეფლექსების გამომუშავებაში.

უნდა აღინიშნოს, რომ უკანასკნელ დროს კუდიანი სხეულის მნიშვნელობა პირობითრეფლექსურ მოქმედებაში შეისწავლებოდა ბ. კლოსოვსკის და ნ. ვოლფინას [3], ე. რომანოვსკაიას [4], ბ. სადოვსკის [5] და სხვათა მიერ, კუდიანი სხეულის მოცილების ან მისი დაზინდების გზით. ზემომოყვანილი ავტორების მიერ არაერთგარი მონაცემებია მიღებული. ასე მაგალითად: ბ. კლოსოვსკის და ნ. ვოლფინას ცდებში კუდიანი სხეულის ორმხრივი მოცილება იწვევდა პირობითრეფლექსური მოქმედების მკვეთრ მოშლას. მათი აზრით, ასეთ ძალლებს პირობითი რეფლექსები ან სრულიად არ გამოისულია გვდებათ, ან გამოისულია გვდებათ ძლიერ ნელა. ე. რომანოვსკაიას ცდებში კი კუდიანი სხეულის ორმხრივი მოცილება არ იწვევდა თავდაცვით-მოძრაობითი რეფლექსების გაქრობას.

უნდა აღინიშნოს, რომ კუდიანი სხეულის გაღიზიანების გავლენა კვებით პირობით რეფლექსებზე შესაწავლებლია. გამოვიყენეთ რა ყბაყურა სანერტყველოების მიერ გამოყოფილი ნერტყვის რაოდენობის ცალ-ცალკე რეგისტრაციის მეთოდიკა, ჩვენ განვიხრახეთ შეგვესწავლა კუდიანი სხეულის ცალმხრივი გაღიზიანების გავლენა კვებით პირობით რეფლექსებზე.

ც დ ე ბ ი ს მ ე თ ო დ ი კ ა

ც დ ე ბ ი ჩატარებულ იქნა 4 ძალებზე ხმისგაუმტარი კაბინების გამოყენებით. ძალებს გამოტანილი ჰქონდათ ყბაყურა ჯირკვლის საღინარები ორივე მხარეს გლინსკის წესით. პირობით სიგნალის მიცემის შემდეგ (სიგნალის ხანგრძლივობა—20"), ცხოველებს ეძლეოდათ ორცხობილას და ხორცის ფხვნილის გარკვეული რაოდენობა ყოველ 5 წუთში ერთხელ. გამოყოფილი ნერწყვის რაოდენობის რეგისტრაცია წარმოებდა განიკერდა განვითარების მარტივობანი სისტემის შეკალაზე და კიმოგრაფის ლენტზე, ცალ-ცალკე მარცხნა და მარჯვენა სანერწყვე ჯირკვლებიდან. კვებითი პირობითი რეფლექსები გამომუშავდებოდა ტონ 1000 გც და ზარზე. ძალებს პირობითი რეფლექსების გამომუშავებამდე და მის შემდეგაც თავის ტვინში ჩაესმებოდა ორბოლუსიანი ვერცხლის ელექტროდები (ელექტროდების წვერის დიამეტრი 70—80 მიკრონი, ელექტროდთაშორის მანძილი 3—4 მილიმეტრი), რომელიც იზოლირებული იყვნენ ბაკელიტის თხელი ფენით. ტვინის გაღიზიანება წარმოებდა ელექტრონული სტიმულატორით, ჩასმული ელექტროდების მეშვეობით. ცხოველების სიკვდილის შემდეგ წარმოებდა ელექტროდების ბოლოების ლოკალიზაციის დადგენა, ტვინის მორფოლოგიური შესწავლის გზით.

ც დ ი ს შ ე დ ე გ ე ბ ი დ ა გ ა ნ ხ ი ლ ვ ა

პირობითი რეფლექსების გამომუშავების სხვადასხვა პერიოდში ძალებს თავის ტვინის ერთ რომელიმე მხარეზე ჩაესმებოდა ბიბოლარული ელექტროდები. შემდეგ, აღნიშნული ელექტროდებით ტვინის ელექტრული გაღიზიანების ფონზე შეისწავლებოდა პირობითი რეფლექსების სიდიდის ცვალებადობა.

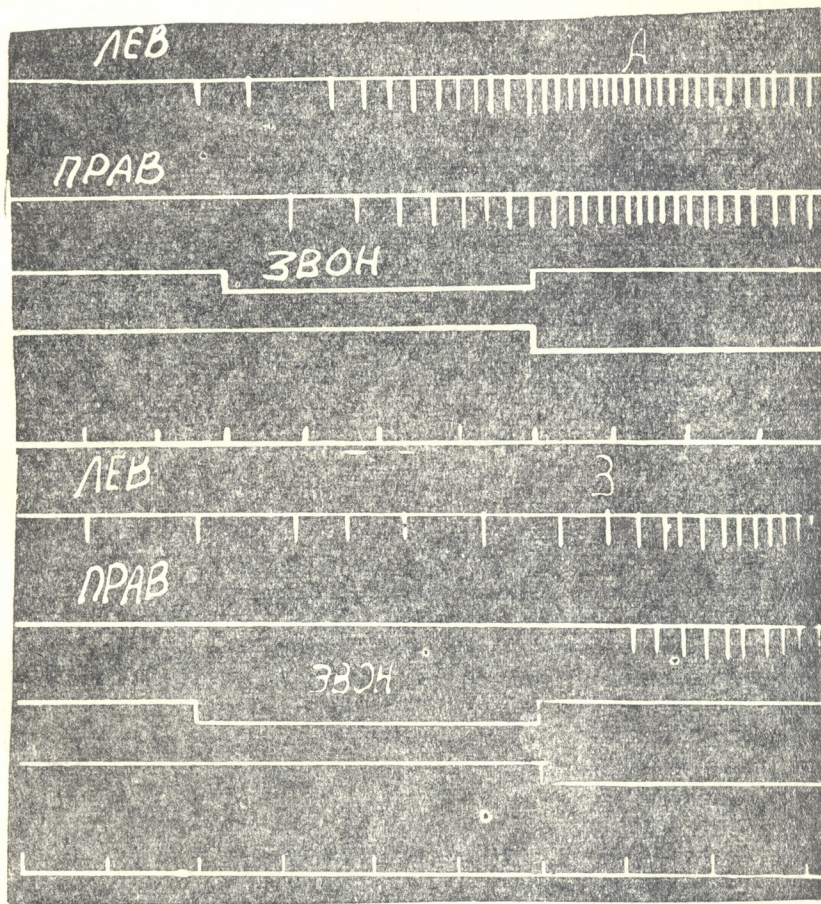
ძალ დაზორზე გამომუშავებული ცუკვებითი პირობითი რეფლექსები ზარზე და ტონ 1000 გც-ზე. 3.VI.1959 წ. დაზორს ჩაესვა ელექტროდები ქერქქვეშ, ტვინის მარცხნა ნახევარში. ელექტროდების ჩასმიდან 3 დღის შემდეგ დაყენებულ იქნა პირველი ცდა. ცდამ გვიჩვენა, რომ პირობითი ნერწყვის დენა მცვეთრად შემცირდა მარცხნა ყბაყურა სანერწყვე ჯირკვლიდან. პირობითი რეფლექსის სიდიდის სუსტი დათრგუნვა აღინიშნებოდა აგრეთვე მარჯვენა სანერწყვე ჯირკვალზედაც.

18. VI. 1959 წ. ძალმა ამოიგდო ტვინში ჩასმული ელექტროდი. ცდამ, რომელიც დაყენებულ იქნა 29.VI.1959 წ. აჩვენა, რომ პირობითი რეფლექსების სიდიდე ორივე სანერწყვე ჯირკვალზე გახდა თანაბარი (იხ. სურ. 1 A, B, B).

ელექტროდების წვერის ლოკალიზაციის მორფოლოგიურმა შემოწმებამ აჩვენა, რომ დაზორს ელექტროდები ჩასმული ჰქონდა მარცხნა კუდიანი სხეულის წინა მესამედში.

ასე, რომ, დაზორზე მარცხნა კუდიან სხეულში ელექტროდების ჩასმაში გამოიწვია პირობითი რეფლექსის სიდიდის მცვეთრი შემცირება ძირითადად

მარცხენა ყბაყური სანერწყვე ჯირკვალზე. ამავე დროს პირო ბითი ნერწყვის დენა მოპირდაპირე სანერწყვე ჯირკვლიდანაც შემცირდა, მაგრამ ძლიერ მცირედ.

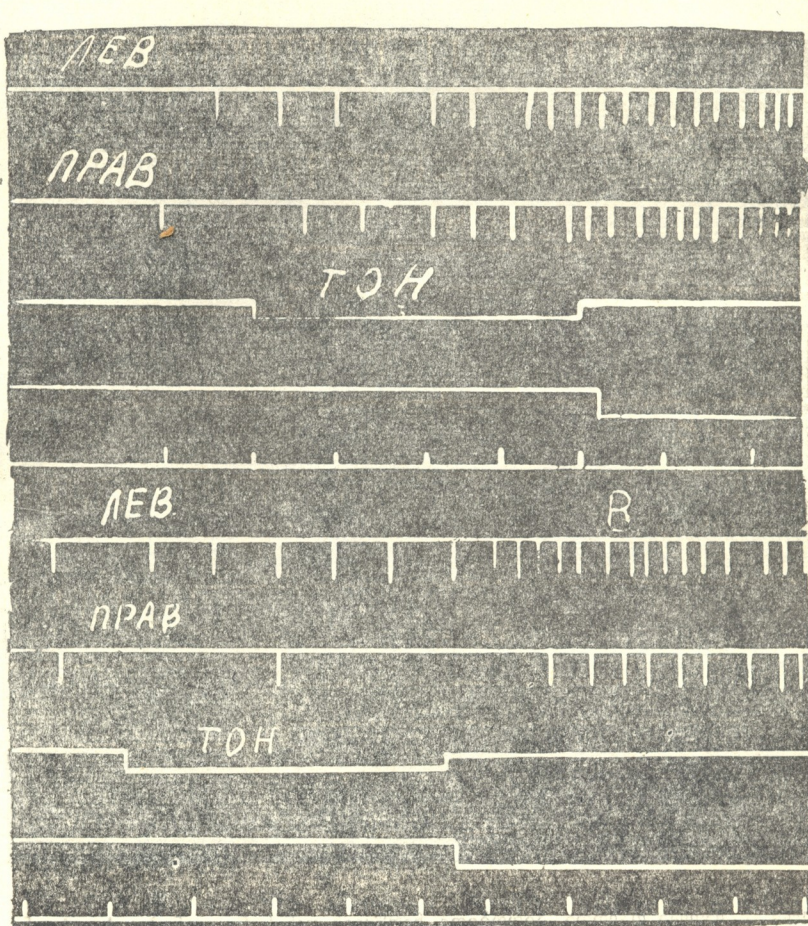


სურ. 1. ძაღლი დაზორი. პირობითი ნერწყვის დენის რაოდენობა: А—ტვინ-ში ელექტროდების ჩასმამდე, Б—მარცხენა კუდან სხეულში ელექტროდების ჩასმის შემდეგ, В—ჩასმული ელექტროდების ამოცლის შემდეგ: I—ზემო ხაზი—ნერწყვის წვეთების რეგისტრაცია მარცხენა და II—მარჯვენა სანერწყვე ჯირკვლებიდან, III—აღნიშვნა პირობითი და IV—უპირობო გამღიზიანებლებისა, V—დროის აღნიშვნა (5'')

მეორე ძაღლს, ჭრელას, ბიპოლარული ელექტროდები ჩაესვა მარჯვენა კულიანი სხეულის უკანა მესამედში. ელექტროდების ჩასმიდან ერთი თვის გავლის შემდეგ დავიწყეთ პირობითი რეფლექსების გამომუშავება ტონ 1000 გც და ზარზე.

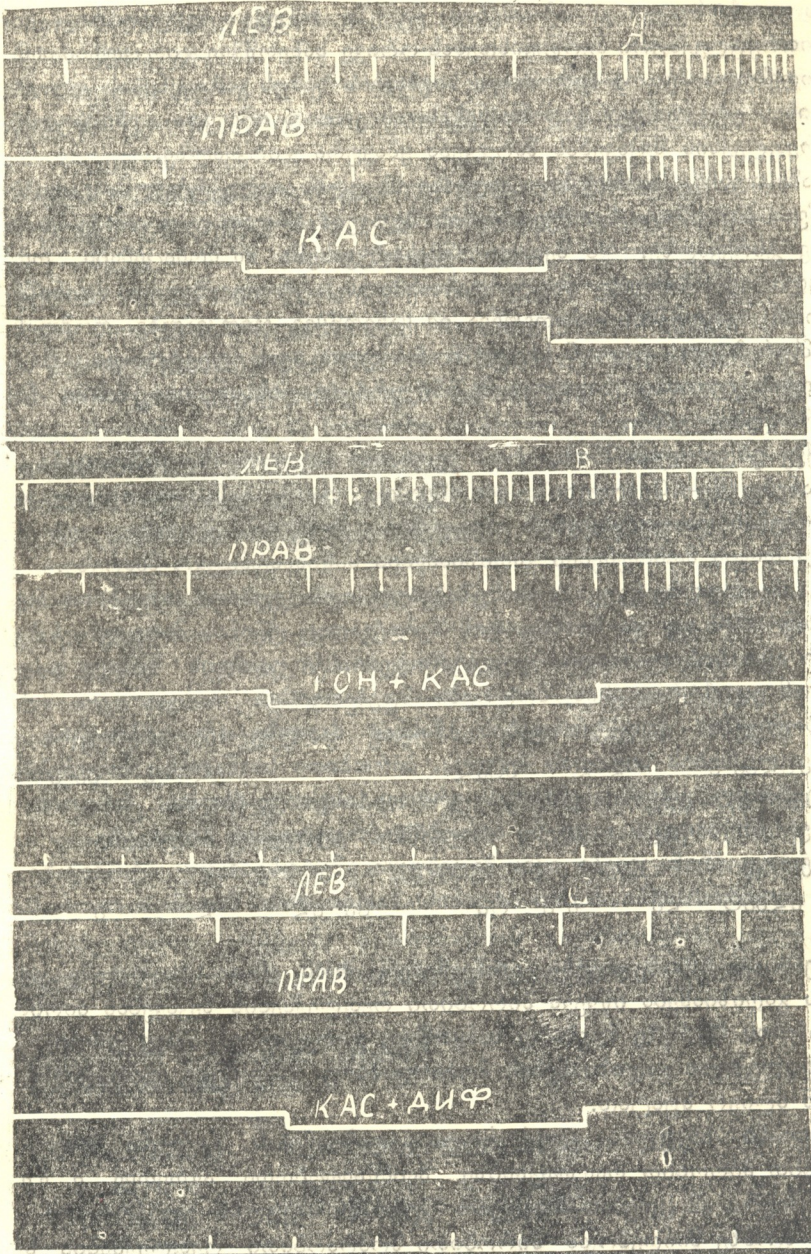
პირობითი ოცნებების გამოყენების შემდეგ, პირობითი სიგნალი ტონი გამოყენებულ იქნა ტვინის ელექტრულ გალიზიანებასთან ერთად (დენის ძაბვა—10 ვოლტი, სიხშირე—10 გც) (სურ. 2 A, B).

როგორც წარმოდგენილი სურათიდან ჩანს, პირობითი სიგნალის ტონის გამოყენებამ ტვინის ელექტრულ გალიზიანებასთან ერთად გამოიწვია



სურ. 2. ძალით ჭრელა. პირობითი ნერწყვსადენის სიდიდე: A—ტონ 1000 გც-ზე, B—ტონ 1000 გც-ზე მარჯვენა კუდიანი სხეულის ელექტრულ გალიზიანებასთან ერთად

პირობითი ოცნებების დათოვუნვა ძირითადად მარჯვენა სანერწყვე ჯირკვალზე. ამავე დროს პირობითი ოცნებების ძლიერ მცირე შეკავება აღინიშნებოდა აგრ ეთვე მარცხენა სანერწყვე ჯირკვალზედაც. ტვინის ელექტრული გალიზიანებიდან 5 წუთის გავლის შემდეგ, იგრვე პირობითი სიგნალი (ტონი)



სურ. 3. ძაღლი ცუგა. პირობითი ნერწყვისდენის სიფიდე: A—მარცვენა და B—მარჯვენა სანერწყვე ჯირკვლებიდან ტონ 1000 გც ზე: A—ტვინში ელექტროდების ჩასმამდე, B—ელექტროდების ჩასმის შემდეგ, C—პირობითი სიგნალის და ოთხვილაკის ზედა ბორცვის ელექტრული გალიზიანების (10 გრამტი, 10 გც) ერთდღრულად მიცემის დროს

ტვინის ელექტრული გალიზიანების გარეშე იწვევდა ჩვეულებრივ, თკიცვილი პირობითრეფლექსური ნერწყვისდენას ორივე სანერწყვე ჯირკვლებიდან. იგივე იქნა მიღებული მეორე პირობითი სიგნალის ზარის გამოყენების დროსაც. ზარი ტვინის ელექტრულ გალიზიანებასთან ერთად იწვევდა აღნიშნული პირობითი რეფლექსის შეკვებას მარჯვენა ყბაყურა ჯირკვალზე.

მაშასადამე, მარჯვენა კუდიანი სხეულის ელექტრულმა გალიზიანებამ გამოიწვია პირობითი ნერწყვისდენის შეკვება ძირითადად ამავე მხარის სანერწყვე ჯირკვალზე. ეს შედეგი შეესატყვისება იმ მონაცემებს, რომელიც მიღებული იყო პირველ ძალლ დაზორტედაც, რომელზედაც აღინიშნებოდა პირობითი რეფლექსის დათრგუნვა იმ სანერწყვე ჯირკვალზე, რომლის შესატყვის მხარეზედაც კუდიან სხეულში ჩასმული იყო ელექტროდი. ეს შედეგი უნდა იყოს კუდიანი სხეულის მექანიკური გალიზიანებისა, მასში ჩასმული ელექტროდების გამო.

აქვე უნდა აღინიშნოს, რომ კუდიანი სხეულის ზღურბლოვანი ძალით გალიზიანება (8—10 ვოლტი), არ იწვევდა რაიმე განსაკუთრებულ გარეგან გამოვლინებას და არ ახდენდა გავლენას ცხოველის ქცევაზე. იგი იწვევდა მხოლოდ თავის მობრუნებას გალიზიანების საწინააღმდეგო მხარეზე.

მესამე ძალლზე (ცუგა) გამომუშავებულ იქნა კვებითი პირობითი რეფლექსები ტონ 1000 გც და ზარზე, რის შემდეგადაც ტვინის მარჯვენა ნახევარში ჩასმული იყო ბიპოლარული ელექტროდები. სიკვდილის შემდეგ დადგენილ იქნა, რომ ელექტროდების ბოლოები მდებარეობენ ოთხგორაკის მარჯვენა ზემო ბორცვში. ელექტროდების ჩასმამ ძალლზე არ გამოიწვია პირობითი რეფლექსების სიდიდის შეცვლა. პირობითი სიგნალის გამოყენებამ ტვინის ელექტრულ გალიზიანებასთან ერთად (ისეთივე ძალით, როგორც ძალლ ჭრელაზე), არ მოვცა გავლენა პირობითი რეფლექსის სიდიდეზე.

ასეთივე მონაცემები იქნა მიღებული შეოთხე ძალლ ტობიაზე, რომელსაც ელექტროდები ჩასვა ტვინის საფეთქლის მიღამოს თეთრ ნივთიერებაში.

ჩვენი ცდების შედეგები გვიჩვენებენ, რომ ერთი რომელიმე კუდიანი სხეულის გალიზიანება იწვევს პირობითი რეფლექსების შეკვებას ძირითადად გალიზიანების მხარეზე მდებარე სანერწყვე ჯირკვალზე. ამავე დროს, პირობითი რეფლექსები გალიზიანების მოძირავით სანერწყვე ჯირკვალზე ითრგუნებიან ძლიერ სუსტად.

კუდიანი სხეულის ელექტრული გალიზიანების გავლენა თავდაცვით-მოძრაობით პირობითი რეფლექსებზე შეისწავლებოდა აგრეთვე ვ. ჩერკესის [6] მიერ. ამ ცდების მიხედვით კუდიანი სხეულის ელექტრული გალიზიანების ფონზე მიიღებოდა პირობითი მოძრაობითი რეფლექსების სრული შეკვება. კუდიანი სხეულის გალიზიანების შეწყვეტის შემდეგ პირობითი რეფლექსი ნორმას უბრუნდებოდა. ამ მიმართულებით ჩვენი მონაცემები ემთხვევა ვ. ჩერკესის მონაცემებს. განსხვავება აღინიშნება მხოლოდ იმაში, რომ ჩერკესის ცდებში კუდიანი სხეულის ცალმხრივი გალიზიანება იწვევდა თანაბარი ძალით შეკვებას, როგორც იპსი, ისე კონტრალატერალური კიდუ-

რების პირობითი რეფლექსებისას. ჩვენ ცდებში კი შეკავება ძირითადად გაღიზიანების შესატყვის მხარეზე ვლინდებოდა. მაგრამ უნდა აღინიშნოს, რომ კუდიანი სხეულის უფრო ძლიერი ძალით გაღიზიანების დროს მოპირდაპირე სანერწყვე ჯირკვალზე პირობითი რეფლექსების დათრგუნვა უფრო ძლიერად იყო გამოხატული.

მთელ რიგ მკვლევართა მიერ მიღებული იყო მონაცემები თავის ტვინის ქრქის ელექტრულ აქტივობაზე კუდიანი სხეულის გაღიზიანების გავლენის შესახებ [7, 8, 9]. ამასთან ერთად ნაჩვენები იყო ორმხრივი კავშირების არსებობა კუდიან სხეულსა და ტვინის ისეთ სტრუქტურებს შორის, როგორიცაა თალამუსის ბირთვები და ტვინის ღეროს ზოგიერთი ნაწილი [10, 11, 12]. ამიტომ შესაძლებელია ვიფიქროთ, რომ სტრიალური სისტემა, კერძოდ კი კუდიანი ბირთვები, იღებენ არსებით მონაწილეობას საერთო ქრქულ პროცესებში, როგორც ამას ს. ბუთხუზი ფიქრობს, ტვინის ღეროს სხვა არასპეციფიკური სტრუქტურების მსგავსიდ, კუდიანი სხეული შესაძლებელია აწირმოებდეს თავის ტვინის ქრქის აგზებადობის დონის რეგულაციას.

ჩვენი ცდების მონაცემების საფუძველზე შესაძლებელია მივიღეთ დასკვნამდე, რომ კუდიანი სხეულის გაღიზიანება შემაკავებელ გავლენას ახდენს პირობითი რეფლექსების მიმდინარეობაზე, რომ ყოველი კუდიანი სხეული უბირველს ყოვლისა განსაკუთრებით მჭიდროდ არის დაკავშირებული შესატყვისი მხარის ტვინის ჰემისფეროსთან, რადგანაც კუდიანი სხეულის ზღურბლოვანი ძალით ცალმხრივი გაღიზიანება იწვევს პირობითი რეფლექსების დათრგუნვას უბირველსად ყოვლისა გაღიზიანების მხარეზე არსებულ სანერწყვე ჯირკვალზე.

ამიტომაც სანერწყვე პირობითი რეფლექსებზე ქრქვება კვანძების ცალმხრივი გაღიზიანების გავლენის შესწავლის დროს გათვალისწინებულ უნდა იქნეს აღნიშნული გარემოება და აუცილებლად უნდა წარმოებდეს ორივე სანერწყვე ჯირკვლის ნერწყვისდენის რეგისტრაცია, წინააღმდეგ შემთხვევაში შესაძლებელია ქრქვება წარმონაქმნის გაღიზიანების გავლენა პირობითი რეფლექსზე ვერ აღმოვაჩინოთ, ანდა შეგვექმნას მასზე არასწორი წარმოდგენა.

საქართველოს სსრ მეცნიერებათა აკადემია

ფიზიოლოგიის ინსტიტუტი
თბილისი

(რედაქციას მოუვიდა 27.7.1960)

დამოუმტკიცებული ლიტერატურა

- K. Akert u. B. Andersson. Experimenteller Beitrag zur Physiologie des Nucleus Caudatus. Acta Physiol. Scand., 2, 1951.
- D. Froman a. J. W. Ward. Responses to electrical stimulation of caudate nucleus in cats in chronic experiments. J. Neurophysiol., 20, 1957, 230—244.
- Г. Н. Клосовский и Н. С. Волжина. Развитие роста и поведения щенков с удаленными подкорковыми ядрами (хвостатыми телами) при сохранной коре больших полушарий. Arch. patol., I, 1956, 35.

4. Е. А. Романовская. Некоторые последствия раздражения хвостатых тел у кроликов и собак. Бюллетень эксп. биол. и мед., 44, 9, 1957, 43.
5. B. Sadowski. Defensive conditioned reflexes in rabbits after unilateral extirpation of caudate nucleus. Acta Physiol. Polonica, 10, 1: 1—10, 1959.
6. В. А. Черкес. Изменение условного рефлекса у собак в зависимости от места раздражения подкоровых образований. Журн. ВНД, вып. 3, 1955, 415.
7. R. Stoupel et G. Trezuolo. Etude des connexions et de la physiologie du noyau caudé. Acta Neurol. Psychiatr. Belgica, 54, 1954, 239.
8. F. A. Mettler, G. A. Hovde a. H. Grundfest. Electrophysiologic phenomena evoked by electrical stimulation of caudate nucleus. Fed / Proc., 11, 1952, 107.
9. D. P. Purpura, E. H. Housepian a. H. Grundfest. Analysis of caudate cortical connections in neuroaxially intact and telencephalic isolates cats. Arch. Int. Biol., 96, 1958, 155.
10. T. P. S. Powell a. W. M. Cowan. A study of thalamo-striate relations in the monkey. Brain, 79, 1956, 364.
11. M. J. G. Showers. Correlation of medial thalamic nuclear activity with cortical and subcortical neuronal arcs. J. comp. Neurol., 102, 1958, 261.
12. M. Veraeano a. T. Shimamoto. Relations between the caudate nucleus and the diffuse thalamic projections system. 3-rd Int. EEG Congr., 1953 (Abstracts 71). Supplement 3, p. 86.

ესახერისხთული მედიცინა

6. ჯიალაძე და 6. ციცელაძე

ბაჭიის სისხლისა და ძვლის ტვინის ნორმალური შედგენილობის შესწავლის აუცილებლობას გვიკარნახებს ამ ცხოველის ფართო გამყენება ექსპერიმენტულ პრაქტიკაში.

ლიტერატურაში საქმაოდ ფართოდაა ცნობილი ბაჭიის პერიფერიული სისხლის ნორმები. ეს მონაცემები საკალი დიდ საზღვრებში მერყეობს, ზოგი მათგანი კი მიუღებელიცაა. მაგ., ზოგიერთ ავტორს ეოზინოფილები არ შეაქვს ლეიკოციტურ ფორმულაში და მათ ფსევდოეოზინოფილების ჯგუფში აერთიანებს. სხვები არ გამოყოფენ მონოციტებს, აერთიანებენ რა მათ ლიმფოციტებთან.

ძვლის ტვინის სურათი შესწავლილია რამდენიმე უცხოელი ავტორის, ხოლო ჩვენში—ი. სმირნოვისა და მისი მოწავეების მიერ. ცალკეულ მაჩვენებელთა მერყეობის საზღვრები და ძვლის ტვინის ინდექსები აღნიშნულ ავტორებს არ მოჰყავთ.

არსებულ ხელმისაწვდომ ლიტერატურაში ეკრ შევხვდით მონაცემებს საქართველოს პირობებში მობინადრე ბაჭიის პერიფერიული სისხლისა და ძვლის ტვინის შედეგნილობაზე.

ბაჭიებს სისხლს ანალიზისათვის ულებენ ყურის ვენიდან, ძვლის ტვინს—თეძოს ძვლის ან ბარძაყის ძვლის შიდა ზედაპირის პუნქციით. ძვლის ტვინის პუნქციისათვის ჩვენ ვარჩევთ ბარძაყის ძვალს, რაღაც ამ შემთხვევაში გამოთიშულია ძვლის განგმირვის საშიშროება, რაც არაიშვიათია ბაჭიის ოეძოს ძვლის პუნქციის დროს.

ჩვენ მიერ შესწავლილია 50 ბაჭიის პერიფერიული სისხლის სურათი და 30 ბაჭიის ძვლის ტვინი. მონაცემების დამუშავება ტარდებოდა ჩვეულებრივი ჰემატოლოგიური მეთოდებით, ნაცხები იღებებოდა მაგრუნვალზ—რომანვესის წესით. მესაფერის ცხრილებში მოცემული გვაქვს საშუალო მაჩვენებლები, აგრეთვე სისხლისა და ძვლის ტვინის ცალკეული ინგრენდიენტის მერყეობის ფარგლები.

ჰემოგლობინისა და ერითროციტების რაოდენობა ბაჭიებში შესამჩნევად მერყეობს, ჰემოგლობინი 51-დან 81%-მდე, ერითროციტები 4100000-დან 6230000-მდე. ერითროციტები ანიზოციტურია, მიკროციტებისა და შედარებით მცირე რაოდენობით არსებული მაკროციტების ხარჯზე. როგორც წესი, აღინიშნება მკაფიოდ გამოხატული პოლიქრომაზია, ძალიან იშვიათად—ერითროციტების ბაზოფილური ფუნქტაცია და ერთეული ნორმობლას ტები. ხშირად



გვხვდებოდა პოიკილუციტები, რის გამოც არ შეიძლება დავეთანხმოთ ზოგადულების თების აზრს, რომლებიც უარყოფენ ბაჭის სისხლში პოიკილუციტების არსებობას.

ცხრილი 1

ბაჭის პერიფერიული სისხლის სურათი

სისხლის მაჩვენებლები	საშუალო	მერყეობის ფარალები
ჰემოგლობინი	67,9	51—81
ერთობლივიტები	5.114.000	4.100000—6.230,000
ფერადობის ძარენებელი	0.66	
ე დ ო	1,5	1—5
რეტიკულუციტები	67	20—106
ლეიკოციტები	7760	4 400—10.000
ახალგაზრდა ჩარიბირთვიანი	0,03	0—0,5
სეგმენტირთვიანი	0,89	0—3
ს უ ლ, %	40,88	19' 5—58,5
აბსოლუტური რიცხვებით	41,8	21,5—58,5
ლიმფოციტები, %	3244	1.034—5.850
აბსოლუტური რიცხვებით	50,3	32,5—68,5
მონიციტები, %	3 903	2.093—6.600
აბსოლუტური რიცხვებით	3,4	1—7
ერთობლივი, %	264	72—574
აბსოლუტური რიცხვებით	1,0	0—2
ბაზოფილი, %	78	0—300
აბსოლუტური რიცხვებით	3,5	0,5—7
	271	41—1000

ლეიკოციტების რაოდენობა საჭის სისხლში ასევე საკმარისად დიდ ხაზღვრებში მერყეობს: 4.400-დან 10.500-მდე.

ლეიკოციტების შორის ჭარბობენ ლიმფოციტები და ფსევდოოზინოფილები. აღამიანთან შედარებით ეოზინოფილების რაოდენობა ბაჭის სისხლში ორჯერ ნაკლებია, ბაზოფილების რიცხვი კი საგრძნობლად მეტი. ლეიკოციტულ ფორმულას უწმირესად ლიმფოციტური პროფილი ახასიათებს, იშვიათად — ფსევდოოზინოფილური. ჩვენ ვერ დავეთანხმებით იმ ეტორებს, რომ ლებიც საძნელოდ თვლიან, ხანდახან უცუძლებლადაც, გაარჩიონ ეოზინოფილები ფსევდოოზინოფილებისაგან. ყურადღებით გასინჯვისას ძნელი გასარჩევი არ არის წვრილი, ნაზი, ღია ვარდისფერი, ზოგჯერ თითქმის წითელი ფსევდოოზინოფილური მარცვლოვანება მსხვილი, უხეში, ერთიმეორებზე შიწყობილი ჭუჭუიანი ღია იასამნის ფერი ეოზინოფილური მარცვლებისაგან. ეოზინოფილურისაგან განსხვავებით ფსევდოოზინოფილური მარცვლოვანება ძლიერ იღებება ცენტრში და მთლარ სურათში ქმნის შთაბეჭდილებას პროტოპლაზმის ხორცლოვანებისას, მაშინ როდესაც ეოზინოფილური მარცვლები უფრო ძლიერ იღებება ძერიცერიაზე და, თუ იძვევ დროს მცირდოდ არიან დაღავებული, დაიჭირებით განსხვავების შთაბეჭდილებას ტოვებენ. ეოზინოფილური უჯრედები ხშირად უფრო დიდი დადენობისაა, ვიდრე ფსევდოოზინოფილები (ხანდახან 2-ჯერ ზეტან). ფსევდოოზინოფილის ბირთვი ხშირად შეიცვეს 5—7

ბაჭიის მიელოგრამა

ძვლის ტვინის ელემენტები	საშუალო მონაცემები	მერყეობის ფარგლები
ჰემოკისტობლასტები	0,02	0—0,25
ჰემოციტობლასტები	0,2	0—0,75
მიელობლასტები	1,93	0,25—6,75
ძვლის ტრომიელოციტები	1,93	0,25—3,75
ბიელოციტები	2,73	0,25—6,5
ახალგაზრუები	4,52	1,5—7,75
ჩისირბირთვიანები	13,56	8,25—19,5
სეგმენტბირთვიანები	17,72	8,5—32
ს უ ლ	40,46	
ძვლის ტრომიელოციტები	0,89	1—1,75
ახალგაზრუები	0,89	0—2
ჩისირბირთვიანები	0,67	0—1,75
სეგმენტბირთვიანები	0,53	0—1,75
ს უ ლ	2,98	
ბაზოფილები	1,72	0,75—6,25
ლიმფოციტები	12,72	10—17
მოხოცეატები	1,13	0—2,25
თეთრი სისხლის მიტიზი	0,27	
	61,39	
პლაზმური უჯრედები	0,99	0,25—2,75
რეტ. ენდოთ. უჯრედები	0,64	0—1,5
პროტეინორინობლასტები	0,13	0—1,25
ბაზოფ. მიკრობლასტები	0,63	0—2,5
პოლიქრომატოფილური	0,43	0—2
ბაზოფილური ნორმობლასტები	4,82	1—9,75
პოლიქრომული	27,87	9,5—42,75
ორთოქ-ომული	1,25	0—7,25
შიშველი ბირთვები	0,92	0—2,75
წითელი სისხლის მიტიზი	6,6	0—1,5
სულ ერითრობლასტები	36,65	
მეგაკარიოციტები	0,11	0—0,5

—8 სეგმენტს. გვხვდება ერთეული უჯრედი — გიგანტი, ასევე მიკროუჯრედები ერითროციტის ოდენობის, 2—3 სეგმენტიანი ბირთვით. ერთ შემთხვევაში აღინიშნებოდა ფსევდოეოზინოფილების პოიკილოციტოზი: მრგვალ უჯრედთან ერთად გვხვდებოდა პატარა, რომბისებრი უჯრედები, ოთხსეგმენტიანი; წვრილი ქრომიტინის ძაფით ერთმანეთში შეერთებული სეგმენტები განლაგებული იყო რომბის კუთხეებში.

ეოზინოფილების ბირთვები უფრო ხშირად შეიცავს 2—3—4 სეგმენტს, მკრთალადაა შეფერილი და ზოგჯერ უცნაური ფორმისაა. ბაჭიის ბაზოფილური მარცვლოვანება ადამიანის ბაზოფილებთან შედარებით უფრო ნაზია.

ზოგი ავტორი ვერ ნახულობს საჭმარის განსხვავებას ბაჭიის მონოციტებსა და ლიმფოციტებს შორის და ერთ ჯგუფს მიაკუთვნებს მათ — მონოციტებს ან ე.წ. გარდამავალ ფორმებს. ჩვენ მონოციტების ჯგუფს ვაკუტვენებდით მსხვილ უჯრედებს, ლობიოს მარცვლის ფორმის ან პოლიმორფული ბირთვით, შეღებილს ლია იასამნისფრად ქრომატინის ნაზი ბაღით, საჭმაოდ ფართო რუხი კვამლის-

ფერი პროტოპლაზმით, რომელსაც მოვარდისფრო ელფერი დაკრავს წესით უძლიერი მარცვლოვანების ასესქობის გამო. ლიმფოციტების ბირთვებს უბშირესად მრგვალი ფორმა აქვს. ქრომატინი მასში განლაგებულია ცალკეული მარცვლების სახით, პროტოპლაზმა ვიწრო ზოლად გარს ერტყმის ბირთვებს ზოგჯერ კი პატარა ნაფლეთების სახით არის განლაგებული უჯრედის ორ მოწინააღმდეგე მხარეს. გეხვდება დიდი უჯრედებიც ლობის გარცვლის ფორმის ბირთვით.

ძვლის ტეინოვანი ინდექსები

ლეიკო-ერითრობლასტური შეფარდება	1,67
ერითრობლასტების ბორციფების ინდექსი	0,83
ნეიტროფილების ბირთვოვანი ინდექსი	0,29

არაიშეიათად პერიფერულ სისხლში აღინიშნება ტიურკის გალიზიანების უჯრედი 1—3200 ლეიკოციტზე და ძლიერ იშვიათად რეტიკულო-ენდოთელური უჯრედები (1 : 200).

ბაჭის შეელოგრამის საშუალო მონაცემები განსხვავდება ადამიანის შეელოგრამისაგან ერითრონიდული ელემენტების სიჭარბით პოლიქრომატოფილური ელემენტების ხარჯზე. ნეიტროფილების ძვლის ტეინოვანი ინდექსი, ისევე როგორც ერითრობლასტების მომწიფების ინდექსი, რამდენადმე დაბალია. პირველი უდრის 0,29, მეორე — 0,83. ლეიკობლასტური ელემენტების შეფარდება ერითრობლასტურ ელემენტებთან შედარებით დაბალია.

ბაჭის ძვლის ტეინის უჯრედები თავისი მორფოლოგიური აღნაგობით არ განირჩევა ადამიანის უჯრედებისაგან, თუ არ ჩავთვლით ფსევდოენზინფილურ მარცვლოვანობას, რომლებიც ჭარბად ავსებენ ნეიტროფილური უჯრედების ანალოგების პროტოპლაზმას. საკმარისად ხშირად უკანასკნელში ფსევდოენზინფილურ მარცვლოვანებასთან ერთად აღინიშნება რამდენიმე ბაზოფილური მარცვალიც (5—7). მსგავსი მარცვლოვანება პერიფერიული სისხლის ფსევდოენზინფილებშიც გეხვდება.

დასასრულ საჭიროა აღინიმნოს, რომ არა გარტო სხვადასხვა ბაჭის, არამედ ერთისა და იმავე ცხოველის ლეიკოციტების რაოდენობა და ლეიკოციტური ფორმულა, ხშირად კი ჰემოგლობინისა და ერითროციტების მაჩვენებელიც ფართო საზღვრებში მერყეობს. ეს გამოწევული უნდა იყოს სისხლის გადანაწილებით თუნდაც გაზომოტორების თამაშის გავლენით ამ ცხოველის ძლიერი ფსიქიური აგზებით და აგრეთვე ბაჭის კურის განსხვავებული სისხლსაგეობით, რაც დამოკიდებულია სისხლის აღების დროს გათხე შარმოებული მეტი თუ ნაკლები ხახუნისაგან.

ცხადია, რომ შესადარი მონაცემების მისაღებად არ შეიძლება შემოვიფარგლოთ სისხლის მხოლოდ ერთჯერადი გამოკვლევით; აუცილებელია რიგოთანმიმდევრული გამოკვლევებით დავადგინოთ სისხლისა და ძვლის ტეინის მაჩვენებლების მერყეობის ფარგლებით თითოეული ცხოველისათვის ცალკე.

საქართველოს სსრ მცნიერებათა აკადემია
ექსპერიმენტული და კლინიკური ქირურგიისა და

ჰემატოლოგიის ინსტიტუტი
თბილისი

(რედაქციას მოუმდა 21.6.1960)

ექსპრესიონი მედიცინა

ა. გეგულაშვილი და გ. მარსაბა

თავის ტვინის ტრავმული ჯეშუაზების ნოვოკაიით მკურნალობის
საკითხისათვის¹

(წარმოადგინა აკადემიის წევრ-კორესპონდენტმა ა. ბაკურაძემ 5.8.1960)

ნოვოკაინი, როგორც ფარმაკოლოგიური საშუალება, ფართოდ გამოიყენება კლინიკაში რიგ და ვადებათა სამკურნალო (პიპერტონიული და აგადება, კუჭის წყლული, მათბლიტირებელი ენდარტერიტი და სხვ.). უკანასკნელ წლებში ფართოდ მიმართავენ ნოვოკაინის შეყვანას ორგანიზმში სხვადასხვა გზით (პარანეფრულად, ინტრაარტერიულად, ვაგონიმპატიკურ და სინკაროტიდულ ზონებში) ქალა-ტვინის ტრავმულ დაზიანებათა შემთხვევებში [1, 2, 3, 4, 5, 6, 7, 8].

ჩვენ შევისწავლეთ სინკაროტიდულ ზონაში და საძილე არტერიაში ნოვოკაინის შეყვანის სამკურნალო მოქმედება თავის ტვინის ტრავმული შეშუპების შემთხვევებში. მიღებულია რა მხედველობაში ტენიანი ტეორიის წამყვანი მნიშვნელობა და, განსაკუთრებით, დეპრესორული აპარატის როლი [9] ქალა-ტვინის ტრავმული დაზიანების დროს ტვინის შეშუპება-გაფუების წარმოშობის პათომექანიზმების ახსნაში, საქართველოს ტრავმატოლოგისა და ორთოპედიის სამეცნიერო-კვლევითი ინსტიტუტის ნეიროქირურგიულ კლინიკაში ფართოდ გამოიყენება ნოვოკაინის სინკაროტიდულ ზონაში და, უკანასკნელ წლებში, საერთო საძილე არტერიაში შეყვანა.

მეთოდიკა

კლინიკაში ჩვენ ვაკვირდებოდით 332 ვადმყოფს, ქალა-ტვინის მწვავე ტრავმული დაზიანებით, რასც თან ერთოდა ქალას შედაწნევის მომატების მოვლენები, გამოწვეული ტვინის შეშუპება-გაფუებით. გარდა ამისა, ჩატარდა ექსპრესიონტები 12 დაღლზე და 8 შინაურ კურდელზე.

მკურნალობას ვატარებდით 0,25% ნოვოკაინის ხსნარის (7—10 მლ) სინკაროტიდულ ზონაში და საძილე არტერიაში შეყვანით, და ვადების კლინიკური მიმდინარეობის სიმძიმის მიხედვით ერთიდან ოთხერად. ამავე დროს შეისწავლებოდა ავადმყოფთა საერთო მდგომარეობა, კლინიკურ-ნევროლოგიური

(1) მოხსენდა აზალგაზრდა ნეიროქირურგთა III გაერთიანებულ კონფერენციას 1960 წლის 27 ივნისს ქ. კიევში.



სურათი (მაჯა, სუნთქვა, ტემპერატურა, არტერიული, ვენური და ლიქვიდური წნევა დინამიკაში, სისხლისა და ლიქვორის კლინიკურ-ლიაგნოსტიკური და ბიო-ქიმიური ანალიზები).

დაკვირვებათა შედეგები და მათი განხილვა.

მკურნალობის ეფექტურობის შედარების მიზნით გამოვიყენეთ საკონტროლო ჯგუფი ავაღმყოფებისა, რომელთაც უტარდებოდათ მკურნალობა ოსმოთერაპიით. ჩვენი დაკვირვების ქვეშ მყოფი ავაღმყოფები დაყოფილი იყო პროფ. კ. ჩიქვანის კლასიფიკაციის მიხედვით: ფუნქციურ-დინამიკური სანდრომის (თავისი ტვინის შერყევა II—III ხარისხისა), სუბარაქნოდული სისხლ-ჩაქცევის სინდრომის, ჰიპერტენზიული სინდრომის, ბაზალურ-ლეროვანი სინდრომის და მენინგო-ენცეფალოტური სინდრომის მქონე ავაღმყოფთა ჯგუფად.

ფუნქციურ-დინამიკური სინდრომის მქონე ავაღმყოფების (რიცხვით 220) არტერიული წნევა მერყეობდა ნორმის ფარგლებში, ვენური წნევა მომატებული იყო და უდრიდა 100—200 მმ (წყლის სვეტის), ლიქვორის წნევა უდრიდა 12—20 მმ (ტონომეტრი „მინიმუმს“), თავზურგვინის სითხე იყო გამჭვირვალე, ბიოქიმიურად აღინიშნებოდა: ქოლინესტერაზის დაქვეითება, რომელიც უდრიდა 1—5%-ს (ლ. ლივშიცის აზრით, ნორმად ითვლება 13,9—16,5%). აღინიშნებოდა აგრეთვე ქლორიდებისა და სხვა ბიოქიმიური ინგრედიენტების ზომიერი დაკლება. მდ ჯგუფიდან ნოვოკაინის სინოკაროტიკული ზონის ბლოკადით ჩაუტარდა მკურნალობა 98 ავაღმყოფს, ხოლო საძილე არტერიაში ნოვოკაინის შეყვანით — 122 ავაღმყოფს. ნოვოკაინის შემდეგ ავაღმყოფებს ტვინის საერთო მოშლილობის მოვლენები უქრებოდათ, ვენური და ლიქვორის წნევა, ქოლენესტერაზას შემცველობა და სხვა ბიოქიმიური მაჩვენებლები ნორმას უბრუნდებოდა. ავაღმყოფები დაზიანებიდან მე-7—9 დღეზე კარგ მდგომარეობაში ეწერებოდნენ კლინიკიდან. ექვე უნდა აღინიშნოს, რომ რომელთაც ემკურნალობით ნოვოკაინის საძილე არტერიაში შეყვანით, მათი საერთო მდგომარეობა უფრო ჩქარა უჭიბესდებოდა და აღრე ეწერებოდნენ კლინიკიდან, ვიდრე ის ავაღმყოფები, რომელთაც ნოვოკაინის ინექცია უკეთებოდათ სინოკაროტიდულ ზონაში.

ავაღმყოფთა საკონტროლო ჯგუფი, რომელთაც მკურნალობა ჩაუტარდათ ისმოთერაპიით, გაწერილი იყვნენ ბინაზე მე-15—18 დღეზე. ამრიგად, შეაძლება დაგასკვნათ, რომ ნოვოკაინის საძილე არტერიაში შეყვანა განსაკუთრებულ კარგ სამკურნალო ეფექტს იძლევა.

სუბარაქნოდური სისხლჩაქცევის სინდრომის მქონე 58 ავაღმყოფი დავუავით ორ ჯგუფად: მძიმე (35) და მსუბუქი (23) ფორმებად. ამ დროს არტერიული წნევა ოდნავ დაქვეითებულია (5—10 მმ-ით), ვენური წნევა მომატებულია და უდრის წყლის სვეტის 180—220 მმ. ლიქვორის წნევა მომატებულია და შეადგენს 20—30 მმ. ლიქვორი სისხლნარევია, ბიოქიმიურად მასში შემცარებულია ყველა ინგრედიენტი. ქოლინესტერაზა შეადგენს მხოლოდ (0,1—2,5%, შექრის რაოდენობა მცირედ მომატებულია (80—100Mg%). როგორც

მსუბუქ, ისე მძიმე ფორმების შემთხვევებში ნოვოკაინის შეყვანა სინოკარი-ტიდულ ზონაში ან საერთო საძილე არტერიაში ორჯერ ან ოთხჯერდ, იძლევა თავის ტვინის ზოგადი მოშლის მოვლენების გაქრობას, არტერიული, ვენური და ლიქვიდორის წნევა და ბიოქიმიური ინგრედიენტები უბრუნდება ნორმას. ქოლინესთერაზა იზრდება 4—10%-მდე.

ჰიპერტენზიული სინდრომით იყო 27 ავადმყოფი. ამ ჯგუფში შევიდნენ ავადმყოფები ეპი- სუბდიურული და ინტრაცერტბრული ჰემატომებით, ქალას კომპრესიული მოტეხილობებით, რომელთაც თან ერთოდა ტვინის შეშუპება-გაფუქრება. ამ შემთხვევებში როგორც ნოვოკაინის სინოკაროტიდულ ზონაში, ისე საერთო საძილე არტერიაში შეყვანამ მყარი სამკურნალო ეფექტი არ მოგვცა, რამაც სხვა კლინიკურ-ნევროლოგიურ მონაცემებთან ერთად გვაფიქრებინა აპერაციულ ჩარევაზე. მაშასადამე, ნოვოკაინის ამ გზებით შეყვანას სადიაგ-ნოზო მნიშვნელობაც აქვს.

კომპრესიის გამომწვევი ფაქტორების მოცილების შემდეგ ნოვოკაინის სინოკაროტიდულ ზონაში და საძილე არტერიაში შეყვანა საუკეთესო სამკურ-ნალო ეფექტს იძლევა. ორ ავადმყოფზე ნოვოკაინის მრავალჭერადმა შეყვანამ საძილე არტერიაში გაუმჯობესება არ მოგვცა, ავადმყოფი მოგვდა. გავვეთაზე, აღმოჩნდა: თავის ტვინის მრავლობითი დაზიანება, მასობრივი სისხლჩაქცევები ტვინის სუბსტანციის დარბილებით.

ბაზალურ-ლეროვანი სინდრომით ჩვენ გვქონდა 17 შემთხვევა, რომელთა-გან 11 შემთხვევაში ნევროლოგიურად იყო გაღიზიანების სიმპტომები (შექცე-ვადი ფორმა), ხოლო 6 შემთხვევაში ჭარბობდა ტვინის ლეროს დათრგუნვის სიმპტომები (შექცევადი ფორმა). ყველა შემთხვევაში ავადმყოფებს აღნიშ-ნებოდათ არტერიული წნევის მკვეთრი მომატება (15—20 მმ-ით), ვენური წნე-ვის მკვეთრი მომატება — 200—350 მმ, ლიქვიდორის წნევა — 20—60 მმ. (ლიქ-ვორების შემთხვევაში ადგილი ჰქონდა ლიქვიდორული წნევის დაქვეითებას). ლიქვორი ერთოროქომული, ბიოქიმიურად მკვეთრი დაქვეითება ყველა ინგ-რენდიფეტის, გარდა შაქრისა, რომელიც მაღალ მაჩვენებლებზე დგას (100—120 Mg%). ქოლინესთერაზა ზოგჯერ ნულს უდრიდა. ნოვოკაინის სინოკაროტი-დულ ზონაში ან საძილე არტერიაში შეყვანის შემდეგ შექცევად ფორმებში აღნიშნებოდა საგრძნობი გაუმჯობესება, ავადმყოფები გამოდიონენ ნახვ-რად სოპოროზული მდგომარეობიდან, ნორმალიზდებოდა ლიქვიდორის და ვენუ-რი წნევა, ქოლინესთერაზა და სხვა ბიოქიმიური მაჩვენებლები. ხოლო 6 ავად-მყოფისათვის, სადაც ლეროს დათრგუნვის მოვლენების სიმპტომები აღნიშ-ნებოდა, ნოვოკაინის შეყვანამ შედევი არ მოგვცა. მათი სხეულის ტემპერატუ-რა 39—40° უდრიდა, ვენური, ლიქვიდორის და არტერიული წნევა მაღალ დონე-ზე იყო, ქოლინესთერაზას შემცველობა და ბიოქიმიური მაჩვენებლები მკვე-რად დაქვეითებული. მიუხედავად მიღებული ენერგიული სამკურნალო ლონის-ძიებებისა (საშუალებანი, გლუკოზა, უანგბალი, ანტიბიოტიკები), ავად-მყოფები მოკვდნენ. სექციაზე ნახული იყო თავის ტვინისა და ლეროს მასობ-რივი დაზიანებანი.

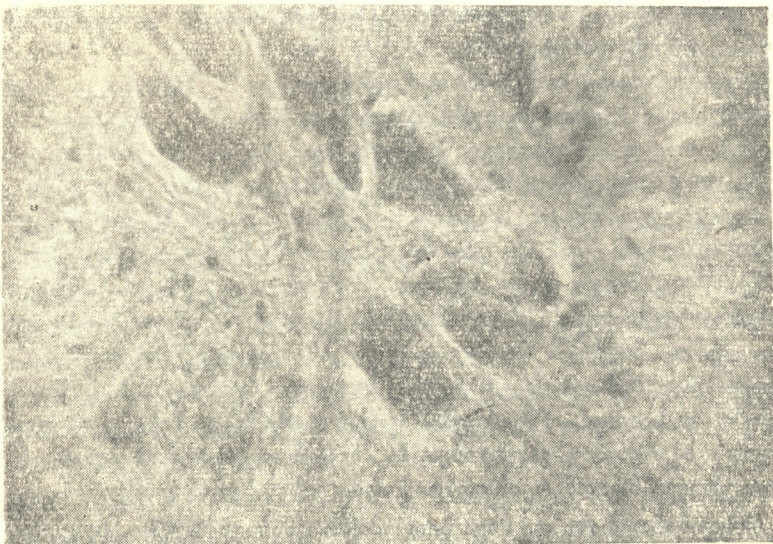
მენინგო-ენცეფალიტური სინდრომით გვყავდა 10 ავალმყოფი. კლინიკურად ავადმყოფები ნახევრად სოპოროზულ მდგომარეობაში იმყოფებოდნენ, ტემპერატურა 39—40°, მკვეთრად გამოხატული მენინგიალური სიმპტომები ბულობრივი გამოვარდნის ნიშნებით. ლიქვორში ციტოზი მომატებული.

ამ ჯგუფის ავალმყოფებს უტარდებოდათ მკურნალობა მრავალჭერად ნოვოკაინისა და პენიცილინის ან სტრეპტომიცინის შეყვანით საძილე არტერიაში, რამაც საუკეთესო სამკურნალო შედეგი მოგვცა.

ცხოველებზე ჩატარებული ცდების შედეგები

ნოვოკაინის საძილე არტერიაში შეყვანის მოქმედების მექანიზმის გარკვევის მიზნით, ტვინის ტრავმული შეშუპების შემთხვევაში, ჩვენ ცდები ჩვატარეთ ცხოველებზე.

ტვინის შეშუპება-გაფუებას ვიწვევდით თავის ტვინის უშუალო ტრავმული დაზიანებით, ან სინოკარიტიფული ზონის გაღიზიანებით. ექსპერიმენტები ჩატარდა როგორც მწვავე, ისე ქრონიკულ პირობებში. იზომებოდა არტერიული და ვენური წნევა. მწვავე ცდებში ნოვოკაინის საძილე არტერიაში შეყვანა თა-



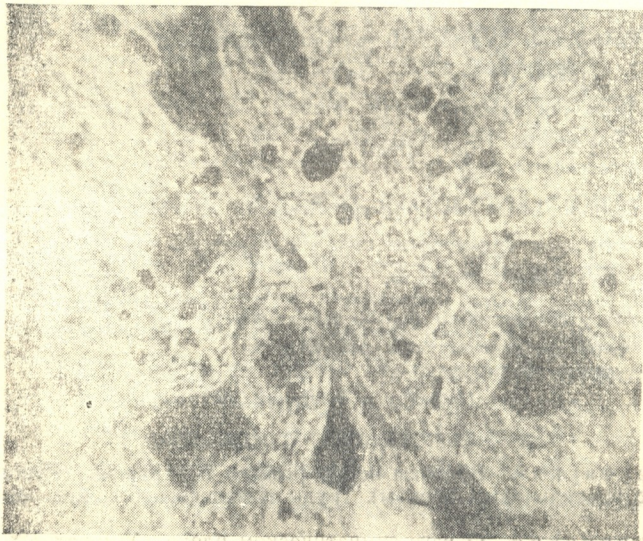
სურ. 1

ვის ტვინის ნივთიერების დაზიანების გარეშე იწვევდა არტერიული წნევის აწევას 10—15 მმ-ით, გულის რიტმის განშირებას, სუნთქვის ოღზნებას, ხოლა ვენური წნევა თითქმის არ იცვლებოდა. თავის ტვინის ტრავმული დაზიანების შემდეგ, რომელსაც თან ახლდა ტვინის შეშუპება-გაფუება და რომლის დროსაც ვენური წნევა იყო აწეული, საძილე არტერიაში ნოვოკაინის შეყვანა ყოველ-თვის ვენური წნევის საგრძნობ დაქვეითებას იძლეოდა.

მწვავე ცდების მეორე ჯგუფში საცდელ ცხოველებს მექანიკურად ვუკირავდებდით თავის ტვინს. დაზიანების მომენტში და შემდეგ ვაჭარმოებდით საძილე არტერიაში ნოვოკაინის ($0,25\% - 10 - 15$ მლ) შეყვანას. 3—45 წუთის შემდეგ ცხოველებს ვკლავდით და ტვინს ვიღებდით ჰისტომორფოლოგიური გამკვლევისათვის, რომელმაც გვიჩვენა, რომ საძილე არტერიაში ნოვოკაინის შეყვანის შემთხვევაში თავის ტვინის შეშუპება-გაფუქრება საკონტროლო ჯგუფ-თან შედარებით საგრძნობლად ნაკლებად იყო გამოხატული.

ქრონიკული ცდები ჩატარდა ნოვოკაინის საძილე არტერიაში შეყვანის სამკურნალო ეფექტის გარკვევის მიზნით, საკონტროლო ცდებში თავის ტვინის დაზიანებას ვიწვევდით ნოვოკაინის შეყვანის გარეშე. მე-5 დღეზე ცხოველებს ვკლავდით.

მეორე ჯგუფის ცხოველებს წინასწარ კანქვეშ ვან-ლერზუმის წესით გამოყვანილი ჰქონდათ საერთო საძილე არტერია და შემდეგ ვიწვევდით თავის



სურ. 2

ტვინის, დაზიანებას, როგორც საკონტროლო ჯგუფში. 5 დღის განმავლობაში აშენდუფის ცხოველებს ვმკურნალობდით ნოვოკაინის საძილე არტერიაში შეყვანით.

ცხოველებს, ისევე როგორც საკონტროლო ჯგუფისას, ვკლავდით საერთო საძილე, არტერიებიდან სისხლის გამოშვებით. თავის ტვინს ვიღებდით ჰისტომორფოლოგიური შესწავლისათვის. აღმოჩნდა, რომ საკონტროლო ჯგუფში შეშუპება მკვეთრად იყო გამოხატული (სურათი № 1). იმ ჯგუფის ცხოველებს, სადაც მკურნალობა ჩატარებული იყო ნოვოკაინით, შეშუპება მცირედ ან სულ არ აღინიშნებოდათ (სურ. 2).

১০৮৩৩৬৯৮০

1. ნოვოკაინის შეცვანა სინკეროტილულ ზონაში ან საერთო საძილე არ-ტერიაში მეტად კარგ ეფექტურ სამკურნალო საშუალებას წარმოადგენს თავის ტკინის შეშუპების პროცესიდანტიკისა და მკურნალობის საქმეში.

2. ნოვოკაინის სინოკაროტიდულ ჴონაში ან საძილე არტერიაში შეკვეთის შემდეგ ავადმყოფებს აღნიშნებოდათ საერთო მდგომარეობის გაუმჯობესება, გონება უხდებათ სალი, უმჯობესდება მაჭა და სუნთქვა, აღნიშნებათ არტერიული წნევის ხანმოკლე აწევა შემდგომ ჰიპერტენზიული სინდრომისა და კეროვანი ნიშნების უკუგანვითარებით. უნდა გაესვას ხაზი, რომ ინტრაკარიოტიდულად ნოვოკაინის შეყვანა უფრო ეფექტურ სამკურნალო მეთოდს წარმოადგენს.

3. შეიძლება დავუშვათ, რომ ნოვოკაინი, როგორც ქოლინოლიზტური ნივთიერება, შეყვანილი ხინოკაროტილულ ზონაში ან ინტრაკაროტილულად, მოქმედებს დეპრესორულ რეცეპტორებზე, არეგულირებს ქალას შიდაწნევას, ხელს უწყობს ტვინის შემუცების უკუგანვითარებას.

4. თავის ტვინის ტრავმული შეშუპების პროფილაქტიკისა და მკურნალობის კომპლექსში სინოკაროტიდულ ზონაში ან ინტრაკაროტიდულად ნოვოკანის შეყვენა შეიძლება რეკომენდებულ იქნეს ნეიროქირურგიული კლინიკის პირობებში.

5. ნოვენის სინოკაროტიდულ ზონაში ან ინტრაკაროტიდულ შეკვენა ოსმოთერაპიასთან შედარებით ორჯერ ამცირებს ავადმყოფების სტაციონარ-ში მკურნალობის ხანგრძლიობას.

საქართველოს სსრ ჯანმრთელობის დაცვის სამინისტრო
ტრადიციული გერბისა და ორთოკედაის სამეცნიერო-

(కుమార్‌బాబు, విషణువు, 5-8-1960)

ଭାରତୀୟ ଜ୍ଞାନପଦ୍ଧତିର ଅଧ୍ୟାତ୍ମିକ ଉତ୍ତର

1. А. В. Вишневский. Вопросы нейротрофики и хирургии (Руководство к пользованию новокаиновым блоком). Труды Казанского гос. мед. института, т. I-II, 1934.
 2. А. В. Вишневский. О ваго-симпатическом блоке. Журнал „Хирургия“, № 4, 1942.
 3. Ф. Н. Доронин. Интракаротидное введение раствора новокаина при черепно-мозговых повреждениях. Вестник хирургии, № 8, 1960, стр. 120—123.
 4. Л. А. Иванова. Влияние ваго-симпатической новокаиновой блокады на проницаемость капилляров при сотрясении мозга. Экспериментальная хирургия, № 5, 1959, стр. 54—60.
 5. И. Н. Ищенко. Блокада новокаином синусокаротидной зоны при синдромах головного мозга. Врачебное дело, 1947, № 9, стр. 755—759.
 6. В. П. Матешук и А. И. Чуйкова. Метод введения лекарственных веществ в артериальное русло. Сборник трудов Ярославского гос. мед. института. 1957.
 7. Г. М. Новиков. Новый способ борьбы с повышением внутричерепного давления при повреждениях черепа. „Новый хирургический архив“, № 6—7, 1939.
 8. А. Н. Новиков. Сотрясение мозга. Москва, 1955.
 9. К. П. Чиковані. Роль депрессорных механизмов в патогенезе отека мозга. Третья объединенная нейрохирургическая конференция. Киев, 1960, стр. 9—10.
 10. К. П. Чиковані. О новой классификации острой закрытой черепно-мозговой травмы. Доложено на симпозиуме, на Всесоюзной конференции нейрохирургов, 1959.

კლინიკური მდიდარი

ი. ჯავახიშვილი და ნ. შეჩელაძე

კოლოიდური რეაქციების კლინიკური მნიშვნელობა
მწვავე ჰეპატიტის დროს

(ჭარმალი აკადემიკოსმა გ. ასათიანმა 9.2.1961)

მწვავე პარენქიმული ჰეპატიტის გამოსავალი სრული გამორჩენაა, მაგრამ მის მიმდინარეობაში მოსალოდნელია გართულება ღვიძლის მწვავე ღისტროფიის სახით, რაც ჩვეულებრივად სწრაფი და გარდუვალი სიკვდილით მთავრდება. მწვავე ჰეპატიტი შესაძლებელია გაღავიდეს ქრონიკულ ჰეპატიტში და გართულდეს ისეთი შორს წასული ღვიძლის დაზიანებით, როგორიცაა ღვიძლის ციროზი. ამიტომ მეტად მნიშვნელოვანია მწვავე ჰეპატიტის დროული შეურნალობა, მეტად მნიშვნელობა სრულ გამორჩენამდე, რათა შეძლებისდა გვარაუ აცდენილი იყოს როგორც გართულება მწვავე ჰეპატიტის მიმდინარეობაში, ასევე მწვავე ჰეპატიტის ქრონიკულ ჰეპატიტში და შემდგომ ღვიძლის ციროზში გადასვლა.

მეტად მნიშვნელოვანია იმის დადგენა, თუ რა მონაცემებით უნდა ისარგებლოს მეტად მნიშვნელობა ექიმმა დაავადების პროგნოზის დასადგენად. მწვავე ჰეპატიტის ერთ-ერთი თვალსაჩინო ნიშანია ღვიძლის, ელენთის გადიდება და ღვიძლის პიგმენტური ცვლის დარღვევა, მაგრამ მხედველობაში უნდა იყოს მიღებული, რომ მწვავე ჰეპატიტი შესაძლებელია მიმდინარეობდეს პიგმენტური ცვლის დარღვევის გარეშე, და ისიც, რომ ღვიძლის გადიდება ყოველთვის არ შეეფარდება ღვიძლის ფუნქციურ ცვლილებებს. ამიტომ, მწვავე ჰეპატიტის ცალკეულ შემთხვევაში პროგნოზის დასადგენად უნდა ვიხელმძღვანელოთ ღვიძლის ფუნქციური მდგომარეობით და გამორჩენა ღვიძლის ფუნქციის ნორმიზაციით განვითაროთ.

ღვიძლის ფუნქციური მდგომარეობის გამოსავლინებლად მრავალი ცდა მოწოდებული, რაც ღვიძლის მრავალფეროვანი ფუნქციით აიხსნება. უკანასკნელ წლებში მოწოდებული კოლოიდური რეაქციები საკმარისი სიზუსტით განსაზღვრავენ ღვიძლში პათოლოგიური პროცესის სიძლიერეს.

ელექტროფორეზით გამოვლინდა, რომ სხვადასხვა კოლოიდური რეაქცია ცილის ფრაქციის განსხვავებული ცვლილებების მაჩვენებელია. ერთი სახის რეაქცია მაჩვენებელია გამა-, სხვა კოლოიდური რეაქციები კი—ალფა- და ბეტა-გლობულინის ცვლილებებისა. ფოტომეტრული წესით ისაზღვრება ცილის მოლექულის განლაგება ელექტროველში, კოლოიდური რეაქციები კი ავლინებს ცილის სხვადასხვა ფრაქციების ცვლილებებს გარკვეულ ფაქტორთა ზემოქმედებით. ამიტომ არის, რომ ღვიძლის ფუნქციური დიაგნოსტიკისათვის რამდენიმე კოლოიდურ რეაქციას აქვს მნიშვნელობა.

ჩვენ შევისწავლეთ მწვავე ჰეპატიტების დროს 4 კოლოიდური რეაქცია: ტყატა-არას, სულემით დალექვის, კადმიუმისა და ველტმანისა. სულ შესწავლილია 10 ჯანმრთელი პირი და 25 ავაღმყოფი მწვავე პარენქიმული ჰეპატიტით. აქედან მამაკაცი — 13, დედაკაცი — 12.

ასაკის მიხედვით ავაღმყოფები შემდეგნაირად ნაწილდებიან: 18—20 წლამდე — 2 ავაღმყოფი, 21—30 წლამდე — 8, 31—40 წლამდე — 5, 41—50 წლამდე — 7, 51—60 წლამდე — 3.

ავაღმყოფები კლინიკაში შემოსული იყვნენ დაავადების მწვავე პერიოდში. გამოხატული იყო სიყვითლე, ბილირუბინი სისხლში ცალკეულ შემთხვევებში აღწევდა 18,8 მგ%-ს, ავაღმყოფთა უმრავლესობას ბილირუბინი სისხლში არ აღმატებოდა 5 მგ%-ს, ხოლო 3 შემთხვევაში ბილირუბინი სისხლში რყო 2 მგ%-ზე ნაკლები (1,38 მგ%, 1,7 მგ%, 0,8 მგ%). გამოხატული ბილირუბინების შემთხვევებში პიმიანს ვან დენ ბერგის რეაქცია იყო პირდაპირი და აჩქარებული, ბილირუბინის სისხლში არამკაფიოდ მომატების შემთხვევებში — პირდაპირი და დაგვიანებული.

გამოხატულ სიყვითლესთან ერთად აღსანიშნავია ბილირუბინურია და ურობელინურია, იშვიათ შემთხვევებში მკაფიოდ გამოხატული სიყვითლით, შარდში არ იყო ურობელინი და განავალში სტერკობილინი, მაგრამ ხანმოკლე დროით.

მწვავე ჰეპატიტის ყველა 25 შემთხვევაში ღვიძლი გადიდებული იყო. ღვიძლის მაქსიმალური გადიდება აღინიშნებოდა 3 სმ-ით. ღვიძლის გადიდებასთან ერთად აღსანიშნავია ელენთის გადიდებაც. უმრავლეს შემთხვევაში ელენთა ისინჯებოდა ღრმა ჩასუნთქვისას. 25 შემთხვევიდან მხოლოდ 4 შემთხვევაში აღინიშნებოდა ელენთის გადიდება 2—3 სმ-ით.

ტყატა-არას რეაქცია დადებითი აღმოჩნდა 25 შემთხვევაში. 10 ავაღმყოფს (შემთხვევათა 40%) ალინიშნებოდა დადებითი რეაქცია 1+-ით, 14 შემთხვევაში (56%-ში) დადებითი რეაქცია იყო 2+-ით, 1 შემთხვევაში (4%-ში) დადებითი რეაქცია 3+-ით.

სულემით დალექვის რეაქცია აგრეთვე აღმოჩნდა დადებითი 100%-ით. 13 შემთხვევაში (52%-ში) დადებითი რეაქცია 1+-ით, 8 შემთხვევაში (32%-ში) 2+-ით და 4 შემთხვევაში (16%-ში) დადებითი რეაქცია 3+-ით.

კადმიუმის ცდა 25 შემთხვევიდან 7 შემთხვევაში აღმოჩნდა დადებითი 1+-ით (28%-ში), 14 შემთხვევაში (56%-ში) დადებითი რეაქცია 2+-ით, ხოლო 3+ დადებითი რეაქცია აღინიშნებოდა 4 შემთხვევაში (16%-ში).

ველტმანით კოაგულაციური ლენტის ნორმალური სიგრძე, კოაგულაცია 8 სინჯარაში, ალინიშნებოდა 4 შემთხვევაში (16%-ში), ხოლო დახარჩენ 21 შემთხვევაში (84%-ში) ალინიშნებოდა კოაგულაციური ლენტის მარჯვნივ გადახრა. 15 შემთხვევაში (60%-ში) კოაგულაცია ალინიშნებოდა 10 სინჯარაში, ხოლო 6 შემთხვევაში (24%-ში) კოაგულაცია ალინიშნებოდა 11 სინჯარაში.

საშუალოდ ოთხივე კოლოიდური რეაქციის მონაცემების შეჯამებით დადებითი რეაქცია აღმოჩნდა შემთხვევათა 96%-ში, უარყოფითი რეაქცია კა

4%-ში, ისიც მხოლოდ ველტმანის ცდის მონაცემებით. 1+დადებითი რეაქცია აღინიშნება 45%-ში, 2+-ით 42%-ში და 3+-ით 9%-ში.

კლინიკაში ჩატარებული მკურნალობის შემდეგ ავადმყოფების საერთო მდგრადარეობა საგრძნობლად გაუმჯობესდა, სიყვითლემ გაიარა ან საგრძნობლად შემცირდა. ღვიძლის ოდენობამ ყველა 25 შემთხვევაში დაიკლო, 11 შემთხვევაში ღვიძლის ოდენობამ ნორმალური გახდა, ხოლო 14 შემთხვევაში ღვიძლი ისინჯებოდა ღრმა ჩასუნთქვისას. ელენთის გადიდება მხოლოდ 2 შემთხვევაში აღინიშნებოდა.

სიყვითლე კლინიკიდან გაწერისას ყველა შემთხვევაში შემცირდა. განმეორებით შესწავლილი 20 ავადმყოფიდან 6 შემთხვევაში (30%-ში) ბილირუბინა სისხლში განიცადა ნორმალიზაცია, არ აღემატებოდა 0,8 მგ%, 14 შემთხვევაში (70%-ში) ბილირუბინის რაოდენობა სისხლში საგრძნობლად შემცირდა, 2,5 მგ%-ს არ აღემატებოდა.

განმეორებით შესწავლილი 20 ავადმყოფიდან ტაკატა-არას რეაქცია ნორმალური აღმოჩნდა 3 შემთხვევაში (15%-ში), დადებითი რეაქცია 1+-ით აღინიშნებოდა 14 შემთხვევაში (70%-ში), დადებითი რეაქცია 2+-ით კი 3 შემთხვევაში (15%-ში).

განმეორებით შესწავლილი 20 ავადმყოფიდან სულემით დალექვის რეაქციამ ნორმალიზაცია განიცადა 4 შემთხვევაში (20%-ში), დადებითი რეაქცია 1+-ით აღინიშნებოდა 12 შემთხვევაში (60%-ში), დადებითი რეაქცია 2+-ით 4 შემთხვევაში (20%-ში).

კადმიუმის ცდამ ნორმალიზაცია განიცადა 2 შემთხვევაში (10%-ში), 1+-ით დადებითი რეაქცია აღინიშნებოდა 8 შემთხვევაში (40%-ში), 2+-ით დადებითი რეაქცია კი 10 შემთხვევაში (50%-ში).

მკურნალობის შემდეგ ველტმანის ცდის ნორმალიზაცია აღინიშნებოდა 9 შემთხვევაში (45%-ში), დანარჩენ 11 შემთხვევაში (55%-ში) იყო კოაგულაციური ლენტის გადახრა მარჯვნივ 10 სინჭარამდე.

მკურნალობის შემდეგ ოთხივე კოლოიდური რეაქციის მონაცემების საშუალო რიცხვი ასეთია: უარყოფითი რეაქცია აღინიშნება შემთხვევათა 23%-ში, რაც მკურნალობამდე 4%-ს არ აღემატებოდა. 1+-ით დადებითი რეაქცია მკურნალობის შემდეგ შემთხვევათა 56%-ში გვხვდება, მკურნალობამდე 45%-ში აღინიშნებოდა, 2+-ით დადებითი რეაქცია მკურნალობის შემდეგ 21%-ში გვხვდება, მკურნალობამდე კი აღინიშნებოდა შემთხვევათა 42%-ში, ე. ი. ორგვერ შემცირდა. მკურნალობის შემდეგ 3+-ით დადებითი რეაქცია აღარ აღინიშნებოდა, რაც მკურნალობამდე შემთხვევათა 9%-ში იყო.

მკურნალობის შემდეგ კოლოიდური რეაქციების გაცილებით უფრო უკეთესი მონაცემები გვაქვს, ვიდრე მკურნალობამდე, მაგრამ ამ მხრივ სასურველია უკეთესი მაჩვენებლები.

კოლოიდური რეაქციების, ბილირუბინებისა და ღვიძლის ობიექტური მონაცემების დაპირისპირებით ირკვევა, რომ მწვავე ჰეპატიტების დროს მწვავე პერიოდში ღვიძლის გადიდებას შეეფარდება კოლოიდური რეაქციების გარჩევაზე ცვლილებები და სისხლში ბილირუბინის მომატება.

გამორჩენის პერიოდში ღვიძლის ოდენობის ნორმალიზაციის 10 შემთხვევაში 3 შემთხვევაში აღინიშნებოდა ბილირუბინების ნორმალიზაცია, 7 შემთხვევაში (70%-ში) ბილირუბინი სისხლში აღწევდა 1,6 მგ%-2,5 მგ%-ს, ე. ი. ღვიძლის ოდენობის ნორმალიზაციის 70%-ში ღვიძლის პიგმენტური ცვლა დათრგუნვილი რჩება.

ღვიძლის ოდენობის ნორმალიზაციის 10 შემთხვევიდან მხოლოდ 1 შემთხვევაში აღინიშნებოდა ყველა კოლოიდური რეაქციის ნორმალიზაცია, 4 შემთხვევაში დადგებითი რჩება 2 ან 3 კოლოიდური რეაქცია. ამრიგად, ღვიძლის ნორმალიზაციის 90%-ში ესა თუ ის კოლოიდური რეაქცია რჩება დადებითი.

უნდა აღინიშნოს, რომ სისხლში ბილირუბინის ან ზოგიერთი კოლოიდური რეაქციის ნორმალური მაჩვენებლების დროსაც არის შესაძლებელი ღვიძლის ობიექტური ცვლილებები.

ბილირუბინის ნორმალიზაციის 6-დან 2 შემთხვევაში (23%-ში) აღინიშნებოდა ღვიძლის გადიდება, ხოლო 4 შემთხვევაში (57%-ში) ზოგიერთი კოლოიდური რეაქცია აღმოჩნდა დადებითი.

უარყოფითი ყველა კოლოიდური რეაქციის დროს ღვიძლის გადიდება არც ერთ შემთხვევაში არ აღინიშნებოდა, მაგრამ დადებითი 1—2 კოლოიდური რეაქციის 10 შემთხვევიდან ღვიძლის გადიდება აღინიშნებოდა 4 შემთხვევაში (40%-ში).

ამრიგად, მწვავე ჰეპატიტების გამორჩენის პერიოდში ღვიძლის ობიექტური მონაცემები, ჰიპერბილირუბინებია და კოლოიდური რეაქციების მაჩვენებლები პარალელურად არ მიმდინარეობს.

ჩვენი მასალის მიხედვით ღვიძლის ოდენობის და სისხლში ბილირუბინის ნორმალურ მაჩვენებლებს საგრძნობლად ჩამორჩება კოლოიდური რეაქციების ნორმალიზაცია.

ამიტომ მწვავე ჰეპატიტების სრული გამორჩენა კოლოიდური რეაქციების ნორმალიზაციით უნდა განისაზღვროს.

დასკვნები

1. კოლოიდური რეაქციები საკმარისი სიზუსტით ასახავენ ღვიძლში პათოლოგიური პროცესის სიძლიერეს. მწვავე ჰეპატიტების დროს კოლოიდური რეაქციების დინამიკაში შესწავლას დიდი მნიშვნელობა აქვს დაავადების პროგნოზის დასადგენად.

2. დაავადების მწვავე პერიოდში ღვიძლის გადიდებას შეეფარდება სისხლში ბილირუბინის მომატება და კოლოიდური რეაქციების მაჩვენებლები.

3. მწვავე ჰეპატიტის გამორჩენის პერიოდში ღვიძლის ობიექტური მონაცემებისა და სისხლში ბილირუბინის ნორმალიზაციას საგრძნობლად ჩამორჩება კოლოიდური რეაქციების ნორმალიზაცია.

4. მწვავე ჰეპატიტების სრული გამორჩენა კოლოიდური რეაქციების ნორმალიზაციით უნდა განისაზღვროს.

თბილისის სახელმწიფო სამედიცინო
ინსტიტუტი

(რეაქციას მოუვიდა 23.2.1961)

კლინიკური მედიცინა

შ. გოგიძეავილი

პერაცეტინის მოქმედება უცნოქვაზე ორგანიზმის
 სხვადასხვა ნაწილის მმოღვაცებორივი
 გაღიზიანების გზით

(წარმოადგინა აკადემიის ჭეკრ-კორესპონდენტმა ა. ბაკურაძემ 5.9.1960)

ჩვენ მიერ გამოსაკვლევი ნივთიერება „პერაცეტინი“, ანუ აცეტილ-ა-ამინონიკოტინი მიეკუთვნება განგლიურ შხამთა ჯგუფს. დადგენილია, რომ იგი წარმოადგენს სასუნთქ ანალეპტიკს [1, 2, 3]. იგი აღგზნებს სუნთქვას არა მხოლოდ ინტრავენური გზით შეყვანისას, არამედ აგრეთვე კანქვეშ კუნთებსა და კუჭიში შეყვანისას.

როგორც ცნობილია, განგლიური შხამები მსგავს ამომრჩევითი მოქმედებას იჩენენ არა მარტო ვეგეტაციურ განგლიებზე, არამედ კაროტიდულ სინუსზე და თირკმელზედა ჯირკვლის ტენიოვან შრეზე [4, 5, 6, 7].

პერაცეტინის მოქმედება არტერიულ სისხლის წნევასა და სუნთქვაზე კაროტიდული სინუსის რეცეპტორების გაღიზიანების გზით შესწავლილია [8, 9]. პერაცეტინით აღნიშნული ზონის გაღიზიანებით მკვლევარებმა მიიღეს სუნთქვის მკვეთრი აღგზნება და სისხლის წნევის მნიშვნელოვანი ცვლილებები. სხვა ზონებიდან პერაცეტინის მოქმედება სუნთქვაზე ლიტერატურულ წყაროებში არაა აღნიშნული. ამიტომ ჩვენ მიზნად დავისახეთ, შეგვესწავლა პერაცეტინის გავლენა სუნთქვაზე როგორც ციგისისხლიან, ისე თბილისისხლიან ცხოველებში უკანა კიღურების, ნაწლავის, ელექტისა და კაროტიდული სინუსის რეცეპტორების გაღიზიანების გზით.

შედარების მიზნით პერაცეტინი შეგვყავდა კუნთებსა და ვენაში.

მ ე თ ო დ ი კ ი

ცდები ტარდებოდა ორივე სქესის ბაყაყებზე (*Rana ridibunda*) და კატებზე. ბაყაყის უკანა კიღურები სხეულთან დაკავშირებული იყო მხოლოდ ნერვების საშუალებით. ყველა დანარჩენი მაგარი და რბილი ქსოვილი იგვეთებოდა. საპერფუზიო სითხე (ოქსიგენირებული რინგერის სსნარი) შეგვყავდა მუცლის აორტაში მისი გაორკაპების ზემოთ და გამოგვყავდა მუცლის ვენიდან. ამ დროს წარმოებდა სუნთქვის კიმოგრაფიული რეგისტრაცია, რომელიც იწერებოდა ქვედა ყბის კანიდან, რომლის რეგი დაკავშირებულია ფილტვის სუნთქვასთან [11] თბილისისხლიანი ცხოველების შემთხვევაში უკანა კიღური იზოლირებული იყო ვ. ზაკუსოვის [7] წესით. ამ წესის დროს ერთ-ერთი

უკანა კიდურის ბარძაყის ზემო მესამედში გამოცალებული ბარძაყის უფლებებისა და არტერია, ბარძაყისა და საჯდომი ნერვები. ამ ადგილას ბარძაყის ვენისა და არტერიის წინასწარი გადასკვნის შემდეგ გადაიკეთებოდა ყველა რბილი ქსოვილი და ძვალი. ბარძაყის არტერიაში მისი გადასკვნის ქვემოთ შეგვყავდა საპერფუზიო სითხე, ხოლო გამოგვყავდა ბარძაყის ვენიდან. უკანა კიდური ორგანიზმან დაკაგშირებული იყო მხოლოდ ბარძაყისა და საჯდომი ნერვით.

ნაწლავისა და ელენთის იზოლირებულ პერფუზიას ვაწარმოებდით ჩერნიგოვსკის წესით. ამ დროს ელენთა და ნაწლავი სხეულთან დაკაგშირებული იყო მხოლოდ ნერვების საშუალებით. საპერფუზიო ხსნარი შეგვყავდა ერთ შემთხვევაში ელენთის არტერიაში და გამოგვყავდა ელენთის ვენით, ხოლო მეორე შემთხვევაში საპერფუზიო ხსნარი შეგვყავდა ჯორჯლის ზემო არტერიაში და გამოგვყავდა ჯორჯლის ზემო ვენიდან.

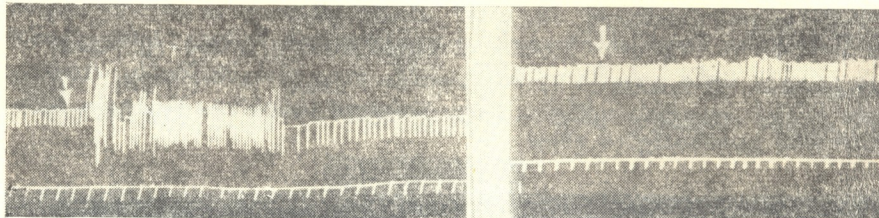
იზოლირებულ კაროტიდული სინუსის პერფუზიას ვაწარმოებდით ჰერმანს-ანიჩკოვ-მოისეევის წესით. ამისათვის წინასწარ გადაისკვნებოდა საერთო საძილე არტერია, გარეთა, შიგნითა და სხვა დამატებითი არტერიები. საპერფუზიო ხსნარი შეგვყავდა საერთო საძილე არტერიაში მისი გადასკვნის ზემოთ და გამოგვყავდა გარეთა საძილე არტერიიდან. კაროტიდული სინუსში გატარებული სითხის მოცულობით სიჩქარე დაახლოებით წუთში უდარიდა 50 მლ-ს. ყველა შემთხვევაში გაკვირდებოდით სუნთქვის ცვლილებას. ცდები იწყებოდა მაშინ, როდესაც პერფუზატი ჩნდებოდა სრულიად გამჭვირვალე. ცდები ჩატარდა 20 კატაზე. ყველა შემთხვევაში ცდის დაწყებამდე რევალე. ცდები რეალურების მგრძნობელობის გამოკვლევის მიზნით წინასწარ საპერფუზიო მილის გზით შეგვყავდა აცეტილქოლინი (1:1,000,000). თუ აცეტილქოლინზე რეაქცია დადებითი იყო, მაშინ ვაგრძელებდით ცდებს.

ცდების შედეგები და მათი განხილვა

ჩვენ პირველ რიგში აღვწერთ ცდებს, რომლებიც ჩატარდა ბაყაყებზე. პერაცეტინი სხვადასხვა კონცენტრაციებში შეგვყავდა უკანა კიდურების საპერფუზიო მილის გზით. ცდებიდან ირკვევა, რომ ბაყაყის უკანა კიდურების იზოლირებული პერფუზია პერაცეტინის ხსნარით (1:10.000—1:1.00) იწვევს სუნთქვის აგზნებას. იზრდება როგორც რიტმი, ისე სუნთქვის ამპლიტუდა. ამისთანავე უნდა აღინიშნოს, რომ, რაც უფრო მეტია პერაცეტინის კონცენტრაცია, მით უფრო მეტადა გამოხატული ეფექტი (სურ. 1-ი).

მიღებული მოვლენის რეფლექსურ ბუნებას იმტკიცებს ის, რომ უკანა კიდურის წინასწარი ნოვოკაინიზაციის შემდეგ პერაცეტინი არ იწვევს ცვლილებას სუნთქვაში (სურ. 1).

ამის შემდეგ ჩვენ გამოიყელიეთ პერაცეტინის გავლენა ბაყაყის სუნთქვაზე ვენაში შეყვანის პირობებში, რათა შეგვედარებინა ეფექტები მიღებული ასეთი გზით შეყვანისას და უკანა კიდურების პერფუზიის გზით მოშედებისას. ამ მიზნით პერაცეტინი იგივე კონცენტრაციით შეგვყავდა ბაყაყის კანის დიდ ვენაში 0,2—0,3 მლ რაოდენობით.



a

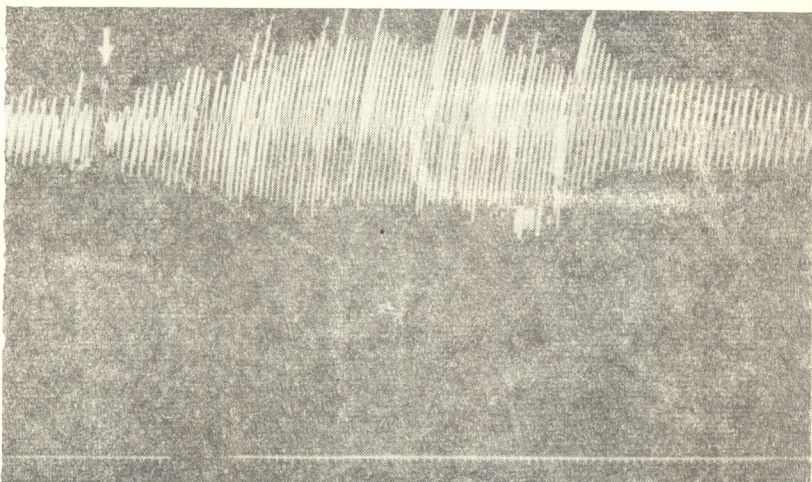
b

სურ. 1. ოქმი № 4.15.5.1958.

ა—პერაცეტინის ხსნარით (1:5000) ბაყაყის უკანა კიდურების რეცეპტორების გაღიზიანების გავლენა სუნთქვაზე:

ბ—პერაცეტინის (1:5.000) გავლენა სუნთქვაზე წინასწარი ნოვოკაინიზაციის შემთხვევა; ზედა მრუჟი—სუნთქვა, ქვედა—დრო 5 წამი. ის-რები ალნიშნავენ პერაცეტინის შეევანის მოძენტს.

ჩატარებულია ცდებმა გვიჩვენა, რომ პერაცეტინი ვენაში შეყვანის შემთხვევაში უფრო მეტად იწვევს სუნთქვის აგზებას, ვიდრე იმ შემთხვევაში, როდესაც პერაცეტინი ისკონივე კონცენტრაციით გამოიყენებოდა უკანა კიდურების იზოლირებული პერფუზიის დროს.



სურ. 2. ოქმი 15. 20.5.1958. პერაცეტინის (1:5.000 – 0,2 მლ), გავლენა ბაყაყის სუნთქვაზე კანის ლიდ ვენაში შეყვანის დროს. ისრით ალნიშნულია პრეპარატის შეყვანის მომენტი. დრო — 5 წამი.

შემდეგ შესწავლილი იქნა პერაცეტინის გავლენა კატის სუნთქვაზე უკანა კიდურის, ნაწლავის, ელენთისა და კაროტიდული სინუსის რეცეპტორების გაღიზიანების გზით.

კატის კაროტიდული სინუსის იზოლირებული პერფუზია პერაცეტინის ხსნარით (1:1.000) იწვევს სუნთქვის მკვეთრ აგზებას — აღიდებს სუნთქვის



მოძრაობით ამბლიტუდას და ახშირებს რიტს (სურ. 3-ა). კაროტიდული მარცვალი სუსის წინასწარი ნოვოკანიზაციის ან დენერვაციის შემდეგ პერაცეტინი არ იწვევს ეფექტს სუნთქვის მხრივ (სურ. 3-ბ), რაც იმას მოწმობს, რომ პერაცეტინი იწვევს სუთქვის აგზებას კაროტიდული სინუსში არსებული ქემორეცეპტორების გაღიზიანების გზით.



ა

ბ

სურ. 3. ოქმი № 12. 1958 წ. 18.5. 1958. კატა 3100 გრამი.

ა—პერაცეტინით (1:1.000) კაროტიდული სინუსის გაღიზიანების გავლენა სუნთქვაზე;

ბ—პერაცეტინის (1:1000) გავლენა სუნთქვაზე კაროტიდული სინუსის წინასწარი ნოვოკანიზაციის შემდეგ.

ზედა ჩრდილი—სუნთქვა. ქვედა—დრო 3 წამი. ისრებით აღნიშულია პერაცეტინის მეფეზის მოქმედება.

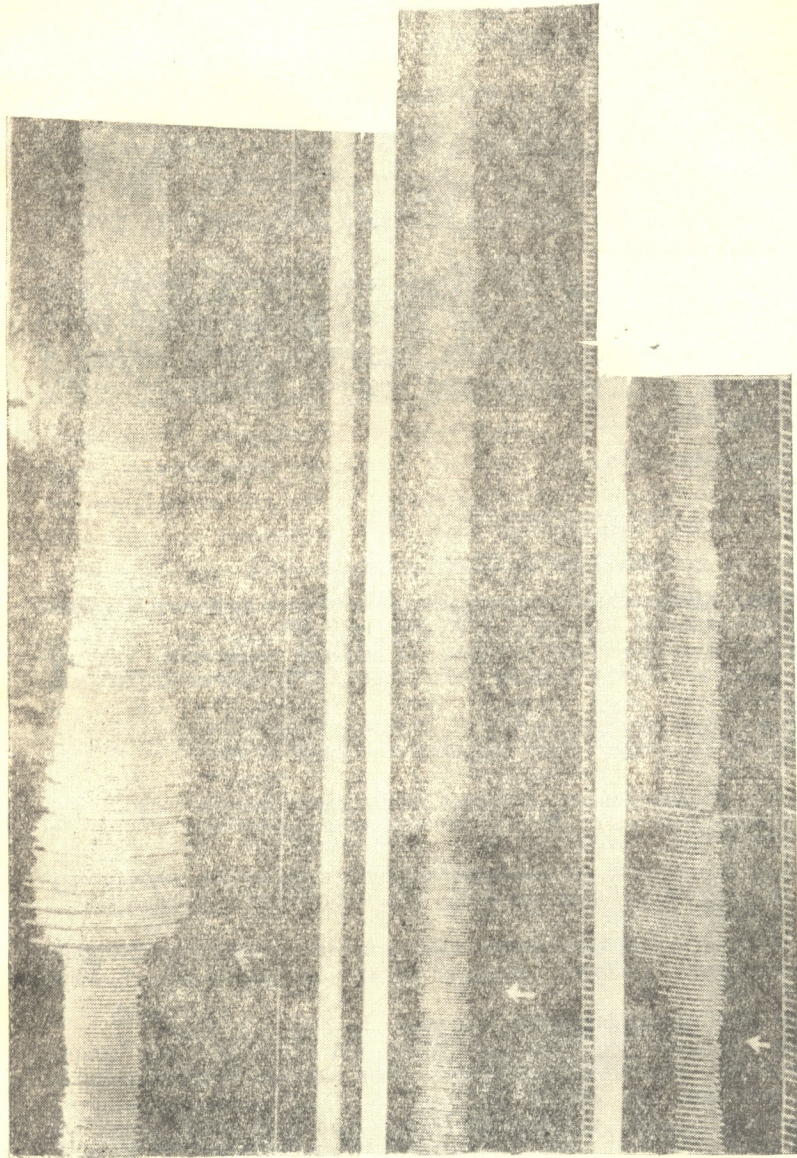
დადგნენილია, რომ, თუ განგლიური შხამების ხსნარით წარმოებს ზოგიერთი ორგანოს რეფლექსოგენური ზოგების ხანგრძლივი პერიოდზე (კაროტიდული სინუსი—ს. ასრატიანი [9]), თარექილზედა ჯირჯვალი—(ა. კუზნეცოვი [3]). მაშინ სუნთქვა არამც თუ აღიგზება, არამედ დანინებასაც კი განიცდის. ჩვენც ზევისწყვლეთ ჰერაცეტინის გავლენა სუნთქვაზე იხოლირებული კაროტიდული სინუსის ხანგრძლივი პერიოდზის დროს. გამოირკვა, რომ იხოლირებულ კაროტიდულ სინუსში პერაცეტინის ხსნარის ხანგრძლივად გატარება, დასაწყისში ყოველთვის იწვევს სუნთქვის დღიუნებას, მაგრამ ზემდეგ სუნთქვის ამღლიტუდა თანდათანაბით კლებულობს და ხდება ზოგჯერ ნაკლები (გაძოსევილთან ზედარებით). იძგვარად, პერაცეტინის მოქმედება უასლოვდება ნიკორტინის მოქმედებას.

პერაცეტინი სუნთქვაზე ახდენს ამგზნებ გავლენის, აგრეთვე კატის უკანა კიდურის, ნაწლევისა და დღენთის რეცეპტორების გაღიზიანების გზითაც. აღნიშნული ორგანოების წილაშწარი ნადგურინიზაციის ზემდეგ პერაცეტინი არავითარ ეფექტს ამ იძლევა სუნთქვის მხრივ, რაც იმას მოწმობს, რომ პერაცეტინი სუნთქვის ცვლილებას აღნიშნული ორგანოებიდან იწვევს რეფლექსურად ქებორეცეპტორების გაღიზიანების გზით.

ამის ზემდეგ ჩვენ შედარების მიზნით ზევისწვლეთ ჰერაცეტინის გავლენა სუნთქვაზე მისი ვენაზი, კანქვემ ან კუნთებში ზევისწვლისას და უკანა კიდურის რეცეპტორების გაღიზიანების გზით. ასეთი სახის ცდები ხშირად ტარდებოდა ერთსა და იმავე კატაზე, რომელსაც მარცხენა კიდური პქონდა იზოლირებული პერუზის წარმოების მიზნით და ეს კიდური სხეულთან და-

კავშირებული იყო მხოლოდ ნერვებით; მარჯვენა კიღური გამოყენებული შეკვეთის გზია ან კანქვეშ პერაცეტინის შეყვანის მიზნით.

ჩვენი ცდებილან ირკვევა, რომ პერაცეტინი (1:500) 2 მლ რაოდენობით, შეყვანილი კანქვეშ ან კუნთებში მარჯვენა ბარძაყის მიღამოში იწვევს სუნთ-



სურ. 4. ოქმ № 18. 25.5.1948. გარა 3200 გრამ:
—პერაცეტინის გაფლუნა (1:200 - 2 მლ) სუნთქვაზე მისი სარტყაყის გვაში შეყვანასას;
—პერაცეტინის (1:200 — 3 მლ). გაფლუნა სუნთქვაზე მისი კანქვეშ შეყვანასას; გ—პურატილ-
ნის გაფლუნა (1:200) სუნთქვაზე მისი უკანა კიღურის სასრულობის მილაში შეყვანისას; ზედა
მრავალი—სუნთქვა. ჭველა მრავალი—დოზი 5 წარ. ისორათ ალნიშულია პურატილის შეყვანის შეცვალას
მომენტი.

ქვეის აგზნებას, მაგრამ მიღებული ეფექტი სუსტია (ვენაში შეყვანასთან შედა-
რებით). ეს ეფექტი იწყება დაახლოებით 5—6 წუთის შემდეგ (სურ. 4-ა), ხოლო
პერაცეტინის იგივე დოზის შეყვანა ბარძაყის ვენაში იწვევს სუნთქვის ძლიერ



აგზნებას—ზრდის სასუნთქ მოძრაობათა ამპლიტუდას და ახშირებს რაოდის მიღებას (სურ. 4-ა).

სუნთქვის აგზნება მიიღება მაშინაც, როდესაც პერაცეტინი იგივე დოზით შეიყვანება უკანა კიდურის საპერფუზით მიღმი. ამ დროს ეფექტი, როგორც ვენაში შეყვანის შემთხვევაში, იწყება სწრაფად, მაგრამ, მისგან განსხვავებით, ნაკლებად ინტენსიურია (სურ. 4-გ).

დ ა ს კ ვ ნ ე ბ ი

1. პერაცეტინი იწვევს სუნთქვის აგზნებას არა მარტო სუნთქვის ცენტრზე უშუალო მოქმედების გზით, არამედ აგრეთვე კაროტიდული სინუსისა და არეანიზმის სხვადასხვა ნაწილის (ელენთა, ნაწლავი, უკანა კიდური) ქემორეცეპტორების გაღიზიანების გზით.

2. პერაცეტინი სუნთქვის აგზნებას იწვევს არა მხოლოდ ვენაში, არამედ კუნთებსა და კანქვეშ შეყვანის დროსაც. ამასთან სუნთქვის აგზნება უფროძლიერაა გამოხატული პერაცეტინის ვენაში შეყვანისას, ვიდრე კანქვეშ ან კუნთებში შეყვანისას და სხეულის გარკვეული მიდამოს ქემორეცეპტორებზე პერაცეტინის მოქმედებისას.

თბილისის სახელმწიფო სამედიცინო

ინსტიტუტი

(რედაქტირა მოუვიდა 5.9.1960)

დამოუკიდებლი ლიტერატურა

1. Г. А. Медникян. Сравнительная фармакология некоторых производных никотина. Архив биологических наук, в. 2, 1936, стр. 113—136.
2. Г. А. Медникян. Сравнительное действие на дыхание некоторых ганглионарных ядов. Физиологический журнал СССР, том XXIV, выпуск 4, 1938, стр. 801—817.
3. გ. გოგნიაშვილი. პერაცეტინის (აცეტილ ა' ამინონიკოტინი) მოქმედება სუნთქვასა და სისხლის წნევაზე. საქართველოს სსრ მეცნიერებათა აკადემიის მოამბე, ტ. XXVII, № 3, 1961.
4. А. И. Кузнецов. Сравнительное действие на функцию изолированного надпочечника ганглионарных ядов. Журнал экспериментальной биологии и медицины, 26, 1928, стр. 226.
5. К. Гейманис и Г. Буккерт. О рефлекторной чувствительности синокаротидной области к химическим возбудителям. Физиологический журнал СССР, т. XXI, в. 5—6, 1936, стр. 770.
6. С. В. Аничков. Участие рефлекторных механизмов в резорбтивном действии на дыхание ядов группы никотина. Физиологический журнал СССР, т. XVII, в. 6, 1932, стр. 1323.
7. В. В. Закусов. Фармакология нервной системы. Л., 1953.
8. С. Я. Арубузов. Сравнительное действие оптических изомеров а и а' аминоникотина и ацетила а' аминоникотина (перацетина). Фармакология и токсикология, т. VII, в. 6, 1945, стр. 22—28.
9. Г. А. Медникян. Значение кардиоартериальной рефлексогенной зоны для действия дыхательных аналептиков. Фармакология и токсикология, т. VI, в. 2, 1943, стр. 17—20.
10. С. Н. Астратян. Действие ганглионарных ядов на изолированный каротидный синус. Труды ВМЛ, т. XVIII, 1938, стр. 229.
11. В. Н. Черниговский. Интерорецепторы. Медгиз, Москва, 1960.
12. П. В. Терентьев. „Лягушка“, 1950 г. М.

ფილოლოგია

(საქართველოს სსრ მეცნიერებათა აკადემიის აკადემიკოსი)

ახალი ნარჩვივი ძართული სტამბის ისტორიიდან

გასულ 1960 წელს გამოქვეყნდა ა. აბრამიშვილის ნაშრომი, რომელიც მიზნად ისახავს მკითხველს მიაწოდოს საჭირო მასალები XVII—XVIII საუკუნეებში საქართველოს გარეთ ქართული სტამბის ისტორიიდან ([1], გვ. 251—299). ვისაც ქართული წიგნის ბეჭდვის საკითხები აინტერესებს, ის ხალისით აიღებს ხელში დასახელებულ ნაშრომს, რადგანაც ა. აბრამიშვილი, შეიძლება ითქვას, მუშაობს ამ საკითხთან დაკავშირებული ძველად დაბეჭდილი წიგნებისა და დოკუმენტების საცავების ცენტრში.

ა. აბრამიშვილის ნაშრომი არ არის მნიშვნელობას მოქლებული, მაგრამ, ჩვენი აზრით, ის უფრო საინტერესო იქნებოდა, ავტორს რომ გეოთვალსწინებინა ქართულ ენაზე, განსაკუთრებით საბჭოთა პერიოდში, შექმნილი ხელმისაწვდომი სამეცნიერო ლიტერატურა. ნაშრომში განსაკუთრებით წარაწეულია კრიტიკული ელემენტი. რა თქმა უნდა, კრიტიკა ყოველგვარ ნაშრომში აუცილებელია, მაგრამ ამ შემთხვევაში იგი უმთავრესად უნდა მიმართულიყო არა იმდენად მიმდინარე საუკუნის დასაწყისში (1808—1914, 1924 წლები) გამოქვეყნებულ ნაშრომებში დაწვებული შეცდომებისა და lapsus-ების მიმართ, რამდენადაც ჩვენი დროის გამოკვლევებისადმი. უნდა გვიხსოვდეს, რომ მიმდინარე საუკუნის დასაწყისში განსახილებულ საკითხზე კიდევ არ იყო გამოქვეყნებული არც აუცილებელი საარქივო მასალები და არც სპეციალური სამეცნიერო გამოკვლევანი. ამის შედეგად ჩვენ, იმდროინდელ მკვლევრებს, გვიხდებოდა გვესარებლა არა იმდენად საარქივო ხასიათის მისალებით, რამდენადაც ცალკეულ პირთა გამონათქვაშებით, რომელნიც ყოველთვის როდი იყვნენ დოკუმენტურად ორიენტირებულნი. ჩვენი ავტორი უკეთ მოიქცეოდა, თუ ის წარსულში გამოქვეყნებული ნაშრომების ხარვეზებზე მიუთითებდა და, ამავე დროს, უჩვენებდა, თუ ამჟამად ეს საკითხი როგორ აქვს გადაწყვეტილი ამა თუ იმ მკვლევარს. რადგანაც იმ პირთაგან, რომელნიც რევოლუციამდე ამ საკითხს ეხებოლნენ, ვგონებ, ჩემ გარდა არავინაა ცოცხალი, იძულებული ვარ ვთქვა რამდენიმე სიტყვა, თავის თავად იგულისხმება, pro domo sua.

ა. აბრამიშვილს 1908 წელს გამოქვეყნებული ჩემი შრომიდან ([2], გვ. XXXI) მოჰყავს ცნობა იმის შესახებ, თითქოს ანტონ პირველი ვლადიმირში საღვთისმსახურო წიგნებს ბეჭდადა ([1], გვ. 292—93). თ. უორდანიას, ზ. ჭიჭინაძისა და ა. ხახანაშვილის შრომების მიხედვით (სხვა შრომები გაშინ არც არსებობდა) იმ დროს სხვა არაფრის თქმა არ შეიძლებოდა. მაგრამ ჩემს შემდგომ ნაშრომებში ეს დასკვნა არა თუ არ მეორდება, არამედ კატეგორიულადა უარყოფილი შემდეგი სიტყვებით: „ცნობა ვლადიმირის სტამბის შესახებ ზღაპრად უნდა ჩაითვალოს: არავითარი სტამბა ვლადიმირში ანტო-

ნის არ ჰქონია, არც ერთი ვლალიმირში დაბეჭდილად მოხსენებული წიგნი არ არსებობს არსად და არც არავინ იხსენიებს სახეთს“ ([3], გვ. III).

ა. აბრამიშვილი ეკამათება ჩემს დასკვნას, რომელიც ოდესალაც გამომითქვამს, რომ, თითქოს არჩილმა 1703 წელს მოსკოვში ჩამოასხა ხუცური შრიფტი, რომლითაც 1705 წელს იქვე დაბეჭდა ფსალმუნთა წიგნი. შრიფტი, ამბობს ის, ჩამოასხეს არა მოსკოვში, არამედ პოლანდიაში და, თუ მოსკოვში ჩამოასხეს, მხოლოდ იზრე პოლანდიაში დამზადებულის შესავსებად და განსაახლებლად ([1], გვ. 272). უპირველეს ყოვლისა, როგორც გხედავთ, აბრამიშვილმა თითონაც არ იცის ზუსტად, ეს შრიფტი მოსკოვში ჩამოასხეს თუ პოლანდიაში; შემდეგ – ეს ცნობა მე კი არ მეკუთვნის, არამედ ა. ხახანაშვილს ([4], გვ. 366–67). იგი აღარ გვხვდება ჩემი „ქართული ლიტერატურის ისტორიის“ ბოლო გამოცემებში [5]. ამასთან, რა „განახლება“ სჭირდებოდა შრიფტს 1705 წელს პოლანდიიდან ჩამოტანის შემდევ, როცა ის ამ დრომდე არ ყოფილა გამოყენებული? იოსებ სამებელისეული ნოვგოროდის სტამბის შესახებ ცნობა, რომელსაც უარყოფს ა. აბრამიშვილი, მე კი არ გამომიგონებია, არამედ იღებული მქონდა თ. უორდანიასაგან [6] 1908 წელს გამოქვეყნებულ ჩემს შრომაში [2], ხოლო „ძველი ქართული ლიტერატურის“ პირველი ტომის 1951 და 1960 წლების გამოცემებში ეს ცნობა არ გამიმეორებია.

280 გვერდზე (შენ. 66) ა. აბრამიშვილი წერს: „в описании титульного листа „Тестамента“ К. Кекелидзе неправильно полагал, что перевод этой книги с русского сделал пэревич Александр Бакаровиц“. ამასთან ის მიუთითებს ჩემი „ძველი ქართული ლიტერატურის ისტორიის“ II ტომის პირველ გამოცემაზე (1924 წ.). იმისი თქმა, რომ მე ტესტამენტის მთარგმნელად მიმაჩნდა ალექსანდრე ბაქარის ძე, ცილისწამებას უახლოვდება: კ. კეკელიძეს ეს არ უმტკიცებია ლიტერატურის ისტორიის არც ერთ გამოცემაში, პირიქით მეცნიერებაში გან პირველმა დადგინა, რომ ეს თარგმნი ეკუთვნის ალექსანდრე არჩილის ძეს და არა ბაქარის ძეს (იხ. პირველი გამოცემა, გვ. 299–300). თუ პირველ გამოცემაში ტესტამენტის დაბეჭდილი ტექსტის სატიტულო ფრაკლის აღწერაში მოხვდა სახელი „ბაქარის ძე“, ცხადია, უნებლივით, განსვენებული დ. კარიჭაშვილის გავლენით, რომელსაც ჩვენ ვეკამათებით ამ საკითხზე. სამაგიეროდ შემდგომ გამოცემებში (1941, 1952, 1958) ეს არ გვხვდება.

პროფ. ალ. ცაგარელი, იყად. კ. კეკელიძე და სხვები, წერს ა. აბრამიშვილი, მიეკიდნენ იმ დასკვნამდე, რომ სადღესასწაულო თთვენი დაბეჭდილია მოსკოვში დაახლოებით 1756—1764 წლებში (გვ. 293). პირველ ყოვლისა, წიგნი, რომელიც მას ჩხედველობაში იძეს, არის არა სადღესასწაულო თთვენი (აგიოგრაფიული), არამედ საგალობელი თთვენი (ჰიმნოგრაფიული). ეს არის ორი სხვადასხვა რამ. რა თქმა უნდა, იგი არ შეიძლება დაბეჭდილიყო მოსკოვში 1756—1762 წლებში, როგორც ეს მე მიმაჩნდა 1914 წელს გამოქვეყნებულ შრომაში. შემდეგში კი 1955 წელს თვითონვე უარყყავი ეს ([3], გვ. 108—115). მაგრამ ეს წიგნი არ შეიძლებოდა დაბეჭდილიყო მოსკოვში იოსებ სამებელის სტამბაში, როგორც ამას ამტკიცებს ახლა ა. აბრამიშვილი. საქმე ის

არის, რომ წიგნი, რომელიც შეიცავს მთელი წლისათვის საგალობელი თაუენის დასაწყისს (სექტემბერი, ოქტომბერი, ნოემბერი) ავტორია, ალექსი ვესიშვილმა დაამთავრა 1758 წელს (ხელნ. ინსტიტუტი, A 1093 ფ. 727). აგი, რა თქმა უნდა, ვერ დაიბეჭდებოდა 1741—1744 წლებში (ამის შესახებ იხ. ჩვენი შრომა [3], გვ. 108—114).

მე ალვნიშნე ა. აბრამიშვილის ნაშროღის კრიტიკული ნაწილის ხარვეზები, აღნიშნე იძიტომ, რომ მათ დეზორიენტაცია არ მოახდინონ ქართული წიგნის ბეჭდვის ისტორიის საკითხებით დაინტერესებულ პირთა შევნებაში, რადგანაც მიმდინარე საუკუნის დასაწყისში (1908—1914, 1924 წლება) გამოქვეყნდულ ნაშრომებში და მცებული ხარვეზები გასწორებული და უარყოფილია თვითონ ავტორის მიერ შემდგომ გამოკვლევებში. ახლა კი მივუთითებ განსახილველ სტატიაში ავტორის საჯუთარ შეცდომებს.

ერთ-ერთი ასეთი შეცდომაა, როგორც ზემოთ ვნახეთ, იმისი მტკიცება, რომ 1758 წელს შედგენილი წიგნი თითქოს დაიბეჭდა 1741—1744 წლებში. სხვა შეცდომათაგან დავასახელებ შემდეგს:

ა. აბრამიშვილის ზტკიცებით, საქართველოში სტამბა დაარსდა ჯერ კიდევ არჩილის მიერ, სანამ ის რუსეთში გადასახლდებოდა (გვ. 269—270). არავითარი, არც დაბეჭდილი და არც ზეპირი, ცნობა ამის შესახებ ჩვენ არ გვაქვს. პირიქით, ვახტანგ VI მიერ თბილისში სტამბის დასაარსებლად გატარებული ღონისძიებანი გვარწეულნებენ, რომ მსგავსი არაფერი მომხდარი და, თუ საქართველოში არჩილის ცხოვრების პირობებს მივიღებთ მხედველობაში, არც შეიძლებოდა მომხდარიყო. 1709 წელს ვახტანგის მიერ დაბეჭდილ „სამოციქულის“ და 1712 წელს გამოქვეყნებულ „ვეფხისტყაოსნის“ წინასიტყვაობაში ჩატვაპირ ნათქვაია:

„სტამბას ბეჭდავდნენ ფრანგი და რუსი და მერე ვლახელნი, აქ არაად იყო აროდეს, ვერ ვპოვეთ მისნი მნახველნი.“

გიორგის მეფობაშიგან ვახტანგ აკვირვა მსახველი“.

რა საფუძველი აქვს აბრამიშვილს მსგავსი მტკიცებისათვის? ყველაზე დიდ მნიშვნელობას ის ანიჭებს 1703 წლის 2 ივნისს თ. ა. გოლოვინისაღმი არჩილის მიერ მიწერილ წერილს: „великую скудость книг церковных имеют“; „и тогда начатое дело за недостатком литер и людей, к делу способных, остановилось“ (გვ. 270); მაგრამ ლაპარაკობს თუ არა ეს მაშინდელ საქართველოში სტამბის არსებობაზე? სრულიადაც არა! გამოთქმაში „скудость книг“ იგულისხმება საერთოდ წიგნები და არა სტამბური გამოცემანი. ეს ნაკლოვანება რომ დაძლეულიყო, ამიტომ ოცნებობდა იგი სტამბაზე. ლიტერთა და საქმისათვის მომზადებულ პირთა ნაკლებობის გამო საქმე შეჩერდათ; შეჩერდა არა წიგნის ბეჭდვა, არამედ სტამბის დაარსება, რაჩედაც არჩილი ჯერ კიდევ საქართველოში რუსეთში გადასახლებამდე, აცნებობდა. როდის შეძლო არჩილმა საქართველოში, სტამბის გახსნა? 1686—87 წლებში მის მიერ დამზადებული შრიფტი საქართველოში არ მიუღიათ, ხოლო 1699 წლის შეკვეთით სტრუქტოლმში ჩამოსხმული შრიფტი მოსკოვში 1703 წლის შემდეგ მიიღეს (იხ. ალექსანდრეს წერილი არჩილთან). ამრიგად, ამგვარი მტკიცება არავითარ შემთხვევაში არ არის გამართლებული.

მეორე შენიშვნა შეეხება აბრამიშვილის მტკიცებას იმის შესახებ, რომ სტეფანე იავორსკის „კლდე სარწმუნოებისა“, რომელიც ქართულად თარგმნა ცნობილმა ისტორიკოსმა და გეოგრაფმა ვახუშტიმ, თითქოს დაბეჭდა 1739 ან 1744 წელს იოსებ სამებელის სტამბაში (გვ. 281). ეს არ არის სწორი. ჯერ ერთი, 1745 წლის 16 ოქტომბერს იოსებ სამებელის მიერ შედგენილ სიაში, რომელშიაც ჩამოთვლილია მის სტამბაში დაბეჭდილი წიგნები, „კლდე სარწმუნოებისა“ არ არის ნაჩვენები. შემდეგ, დღეს ცნობილია ამ თარგმანის ხელნაწერი, რომელშიც ვპოულობთ საკითხის ახსნას. აღნიშნული ხელნაწერით, თარგმანის წინასიტყვაობაში ნათქვამია: სადიდებლად ღარ ერთარსებისა წიგნი ესე, სახელდებით „კლდე სარწმუნოებისა“ მართლმადიდებელი კათოლიკურის აღმოსავლეთის წმილის ეკლესიის ძეთა განმტკიცებასა ზედა და სულიერსა აღშენებასა... გარდაიწერა სამეუფოს ქალაქსა მოსკოვს, პრესნის, შრომითა მეფის შვილის ვახუშტისათა წელსა შესაქმისაგან სოფლისა ყსწო, ხოლო შობითაგან ჯორციელად ღვთისა სიტყვისა ჩიშტი თვესა ცხრი (მაისსა)“.

ამას მიჰყვება ქვეთავი, „მიზეზნი წიგნისა ამის გარდმოღებისა ანუ ენისა ენასა ზედა შეცვალებანი...“ ამ წიგნს „მეფის შვილი ვახუშტი იწყებს წელსა ჩიშტი ნოემბერსათ, აღსრულებას სრულიად წელსა ჩიშტე იყდონებერსა ც, ხოლო ხუცურით იწყებს ნოემბერს იგ, აღასრულებს მაისს კც“ (ხელნაწერთა ინსტიტუტი S 5008,2)⁽¹⁾.

ამონაწერიდან ჩანს, ვახუშტიმ წიგნის თარგმნა დაიწყო 1746 წელს, ხოლო დაამთავრა 1747 წელს. მას 1747 წელს დაუწყია ხუცური. ასოებით სუფთა ეგზემპლარის გადაწერა, ცხადია, მისი მოსალოდნელი დასტაბვის მიზნით და დაუმთავრებია 1749 წლის მაისს. თავისითავად ცხადია, რომ ამ წიგნის ქართული თარგმანი, რომელიც 1746—1749 წლებში მომზადდა დასაბეჭდად, შეუძლებელია დაბეჭდილიყო 1739 ან 1744 წლებში. ამ წიგნის ბეჭდვა, როგორც ეს ჩევნ დავათგინეთ, დაიწყო 1762—1763 წლებში მოსკოვში ათანასე ამილახვრის სტამბაში ([3], გვ. 115). როგორც ჩანს, თავის დროზე ამ აზრამდე მისულა განსვენებული ალ. ხახანაშვილი, ოლონდ ბეჭდვის თარიღიად ის თვლიდა 1761 წელს, როცა ათანასეს სტამბა ჯერ კიდევ არ არსებობდა.

საქართველოს სსრ მეცნიერებათა აკადემია

(რედაქციას მოუვიდა 6.6.1961)

დაოვავაზული ლიტერატურა

1. А. А б р а м и ш в и լ и. Книга. Исследования и материалы. Сборник III, Москва, 1960.
2. К. С. Кекелидзе. Литургические грузинские памятники, 1908.
3. კ. კ ე კ ე ლ ი ძ გ. ეტიუფები ძველი ქართული ლიტერატურის ისტორიიდან, III, 1955.
4. А. Хаханов. Очерки по истории грузинской словесности, III, 1901.
5. კ. კ ე კ ე ლ ი ძ გ. ძველი ქართული ლიტერატურის ისტორია, ტ. II (1952 და 1958 წლების გამოცემები).
6. თ. უ რ ა დ ა ნ ი ა. იოსებ სამებელი, ივერია, 1884. II.

⁽¹⁾ ამონაწერი გადმოგვცა დოც. ტ. რუხა ძემ.

მთ რედაქტორი — საქართველოს სსრ მეცნიერებათა აკადემიის
აკადემიკოსი რ. დვალი

ხელმოწერილია დასაბეჭდად 21.9.1961; შეკვ. № 1180; ანაწყობის ზომა 7×11 ;
ქაღალდის ზომა 70×108 ; სააღრიცხვო-საგამომც. ფურცლების რაოდენობა 8,7;
საბეჭდის ფურცლების რაოდენობა 11; უ. 02870; ტირაჟი 700

საქართველოს სსრ მეცნიერებათა აკადემიის გამომცემლობის სტამბა, გ. ტაბიძეს ქ. № 3/5
Типография Издательства Академии Наук Грузинской ССР, ул. Г. Табидзе, № 3/5



დ ა მ თ ბ ი ც ე ბ უ ლ ი ა ს რ ე ც ე ბ ი რ ე ბ ა თ ა
საქართველოს სსრ მეცნიერებათა აკადემიის
პრეზიდიუმის მიერ 31.1.1957 წ.

დებულება „სამართველოს სსრ მეცნიერებათა აკადემიის მოამბის“ შესახებ

1. „მოამბეში“ იბეჭდება საქართველოს სსრ მეცნიერებათა აკადემიის მეცნიერი მუშა-კებისა და სხვა მეცნიერთა წერილები, რომლებშიც მოკლედ გადმოცემულია მათი გამოკ-ვლევების მთავარი შედეგები.

2. „მოამბეს“ ხელმძღვანელობს სარედაქციო კოლეგია, რომელსაც ირჩევს საქართვე-ლოს სსრ მეცნიერებათა აკადემიის საერთო კრება.

3. „მოამბე“ გამოიდის ყოველთვიურად (თვის ბოლოს), ცალკე ნაკვეთებად, დააბლოე-ბით 8 ბეჭდური თაბაზის მოცულობით თითოეული. ყოველი ნახევარი წლის ნაკვეთები (სულ 6 ნაკვეთი) შეადგენს ერთ ტომს.

4. წერილები იბეჭდება ქართულ ენაზე, იგივე წერილები იბეჭდება რუსულ ენაზე პარა-ლელურ გამოცემაში.

5. წერილის მოცულობა ილუსტრაციების ჩათვლით, არ უნდა აღმატებოდეს 8 გვერდს; არ შეიძლება წერილების დაყოფა ნაწილებად სხვადასხვა ნაკვეთში გამოსავალებრივად.

6. მეცნიერებათა აკადემიის აკადემიკოსებისა და წევრ-კორესპონდენტების წერილები უშუალდ გადაცემა დასაბეჭდად „მოამბის“ რედაქციას; სხვა აკტორების წერილები კი იბეჭდება მეცნიერებათა აკადემიის აკადემიკოსის ან წევრ-კორესპონდენტის წარმოდგენით. წარმომადგენის გარეშე შემოსულ წერილობს რედაქცია გადასცემს აკადემიის რომელიმე აკადე-მიკოს ან წევრ-კორესპონდენტს განსახილველად და, მისი დადგებითი შეფასების შემთხვევაში, წარმომადგენად.

7. წერილები და ილუსტრაციები წარმოდგენილ უნდა იქნეს აცტორის მიერ ორ-ორ ცალად თითოეულ ენაზე, საცემით გამზადებული დასახელდად. ცოდნმულები მკაფიოდ უნდა იყოს ტექსტში ჩაწერილი ხელით. წერილის დასაბეჭდად მიღების შემდეგ ტექსტში არავი-თარი შესწორებისა და დამატების შეტანა არ დაიშვება.

8. დამიწმებული ლიტერატურის შესახებ მონაცემები უნდა იყოს შექლებისდა გვარად სრული: საკირავა აღინიშნოს ურნალის სახელწოდება, ნომერი სერიისა, ტომისა, ნაკვეთისა, გამოცემის წელი, წერილის სრული სათაური; თუ დამოწმებულია წიგნი, სავალდებულა წიგნის სრული სახელწოდების, გამოცემის წლისა და ადგილის მითითება.

9. დამიწმებული ლიტერატურის დასხველება წერილის ბოლოში ერთვის სიის სანით. ლიტერატურაზე მითითებისას ტექსტში ან შენიშვნებში ნაჩენები უნდა იქნეს ნომერი სიის მიხედვით, ჩასული კვადრატულ ფრჩხილებში.

10. წერილის ტექსტის ბოლოს აცტორმა სათანადო ენებზე უნდა აღნიშნოს დასახე-ლება და ადგილმდებარეობა დაწესებულებისა, სადაც შესრულებულია ნაშრომი. წერილი თა-რილებება რედაქციაში შემოსვლის დღით.

11. აცტორს ეძღვევა გვერდებად შეკრული ერთი კორექტურა მკაცრად განსახლებული ვადით (ჩვეულებრივად, არა უმეტეს ორი დღისა). დადგენილი ვალისთვის კორექტურის წარმოუდგენლობის შემთხვევაში რედაქციას უფლება აქვს შეაჩეროს წერილის დაბეჭდვა ან დაბეჭდოს იგი აცტორის ვიზის გარეშე.

12. აცტორს უფასოდ ეძღვევა მისი წერილის 25-25 ამონაბეჭდი ქართულ და რუსულ ენებზე.

სილამციის მისამართი: თბილისი, ქართველის ქ., 8

ტელეფონი: 3-03-52

СООБЩЕНИЯ АКАДЕМИИ НАУК ГРУЗИНСКОЙ ССР, т. XXVII, № 4, 1961

Основное, грузинское издание